

## Zweites Capitel.

### Höhenbestimmungen.

#### I. Reciproke Zenithdistanzen der drei Beobachter, mit den daraus folgenden Resultaten.

Die Momente für welche von uns dreien die terrestrischen Zenithdistanzen beobachtet wurden, sind grösstentheils, und von der 13ten Station an fast ohne Ausnahme gleichzeitig. Zwar machen die ersten Stationen, für welche, (da die Disposition der Standpunkte der Beobachter noch nicht die möglichst vortheilhafteste war), diese Gleichzeitigkeit zum Theil nur nach der einen Seite Statt findet, eine Ausnahme; doch wird für diese wenigen Fälle der nicht durch reciproke Bestimmungen verbundene Theil, sich mit um so grösserer Sicherheit mit den entweder durch die gegenseitigen Zenithdistanzen oder anderweitig bestimmten Refractionscoefficienten berechnen lassen, als die Lokalität und der Zustand der Luft in den Herbsttagen, in diesen Fällen grade sehr günstig waren. Somit kann die Höhe der ganzen Reihe der Beobachtungspuncke vom Asow'schen bis zum Kaspischen Meere, als durch reciproke Zenithdistanzen bestimmt, angesehen werden, und diese Bestimmungen bilden, da bei ihnen zugleich die jedesmalige Refraction erkannt wird, gewissermassen die Basis des Ganzen. Die Beurtheilung des Werthes der auf diese Weise erhaltenen, und der mit den wahrscheinlichsten Refractionen berechneten Resultate, wird später folgen. — Die Berechnung der reciproken Beobachtungen ist nach den bekannten Formeln gemacht:

$$(I) \gamma = D \left( \frac{z' - z}{2} \right) \sin 1''$$

$$(II) 2\varrho = 180^\circ + C - (z + z')$$

wo  $\gamma$  den Höhenunterschied der beiden Beobachtungspunkte,  $D$  ihre Entfernung;  $z, z'$  die beiden beobachteten Zenithdistanzen,  $C$  den Winkel der Verticalen und  $\varrho$  die partielle terrestrische Refraction an jedem Endpunkte bedeutet. — Die einseitigen Beobachtungen sind mit:

$$(III) \gamma = D \tan(a + \frac{C}{2} - \varrho)$$

berechnet, wo  $a = 90^\circ - z$  bedeutet. In den bei weitem meisten Fällen reicht auch die Näherungsformel aus:

$$(IV) \gamma = D (a + \frac{C}{2} - \varrho) \sin 1''.$$

---

Die Höhe des ersten Signals  $P^1$  das unmittelbar am Ufer des Asow'schen Meeres stand, über dem mittleren Niveau desselben beträgt 146,0 Zoll (siehe Einleitung, pag. 7.)

---

In dem Tagebuche finden sich die von den Herren Fuss und Sawitsch bei  $P^1$  und von mir bei  $P^2$  beobachteten reciproken Zenithdistanzen, sammt den zur Reduction derselben auf die Marken der Signale nötigen Grössen. Werden diese Reductionen angebracht so sind die Beobachtungen mit den daraus folgenden Resultaten in folgendem Schema enthalten; wobei  $C = 126'',2$  und  $\log. D = 5,18729$

folglich  $P^2$  über dem Niveau des Asow'schen Meeres = 1314,0 Zoll.

Für die Punkte  $P^3, B^3$  finden sich folgende reciproke Beobachtungen:

hier ist  $C = 161''$ ,5 und  $\log. D = 5,29448$

Berechnet man die aus  $P^3$  gleichzeitig mitbeobachteten Zenithdistanzen von  $P^2$  mit den gefundenen Refractionscoefficienten (+ 0,062 und + 0,094) so erhält man:

$$\left. \begin{array}{l} \text{I Satz} = 525,5 \\ \text{II Satz} = 521,8 \end{array} \right\} \text{Mittel} = 523,6 \text{ Z.} \quad \begin{array}{l} \text{folgl. } B^3 \text{ über } P^2 = - 1156,3 \text{ Z.} \\ \text{also } B^3 \text{ über dem Meere} = + 157,7 \text{ Z.} \end{array}$$

Zwischen  $P^4$  und  $B^4$  sind folgende Beobachtungen gemeinschaftlich:

Mittl. Zeit	in $P^4 = z$	in $B^4 = z'$	$z + z'$	$\frac{z' - z}{2}$	$\gamma$	$2\varrho$	$\varrho : C$
<b>3<sup>h</sup> 6'</b>		89° 57' 29,7					
— 51		— — 24,6					
— 53	90° 4' 16,6	(24,4)	180° 1' 41,0	— 3' 26,1	— 147,5	+ 20,1	+ 0,083
<i>C</i> = 121''1,1			<i>D</i> = 546945				

$c = 121.1 \log_e D = 3.16915$ .

Berechnet man mit dem erhaltenen Refr. Coefficienten, die aus  $P^4$  gleichzeitig gemessene Zen. Dist. von  $B^3$  so ergibt sich  $B^3$  über  $P^4 = -1094,3$  Z.

hieraus:  $B^4$  über  $B^3 \equiv + 946,8$  «

$B^4$  über dem Meere = + 1104,5 "

Die Beobachtungen zwischen  $P^5$   $B^5$  sind nicht ganz gleichzeitig, und sie durch Interpolation auf dasselbe Moment zu bringen ist nicht ratsam, weil an dem Tage die Witterungsumstände nicht constant genug waren und Sonnenschein mit Wolken abwechselte, was immer Ungleichheiten der Refraction erzeugt, auch ergiebt sich

durch die Verbindung der Beobachtungen der ganz abnorme Refr.-coeff. 0,43. Aus diesem Grunde habe ich es vorgezogen die aus  $P^5$  gleichzeitig beobachteten Zenithdistanzen von  $B^4$  und  $B^5$  mit dem hypothetisch angenommenen Refr.-coeff. 0,08 zu berechnen, zumal da dieser Coeff. auf den Höhenunterschied dieser beiden nahezu gleichweit entfernten Puncte wenig Einfluss hat; damit erhält man:

111,0	0,82	0,5011	$B^4$ über $P^5$ = - 572,4 Z.
811,0	1,08	0,8011	$B^5$ " $P^5$ = - 885,4 "
011,0	0,72	0,2011	$B^5$ " $B^4$ = - 313,0 "
281,0	4,82		folgl. $B^5$ über dem Meere = + 791,5 "

In  $B^6$  sind folgende correspondirende Zen. Distanzen von  $P^6$  beobachtet:

$$\left. \begin{array}{l} 3^h 19' \dots 89^\circ 52' 42,1 \\ - 49 \quad \quad \quad \quad \quad 29,2 \end{array} \right\} \text{Fuss} \quad \left. \begin{array}{l} 3^h 21 \dots 89^\circ 52' 39,8 \\ 4 \quad 3 \quad \quad \quad \quad \quad 35,7 \end{array} \right\} \text{Sawitsch.} \quad \text{Interpolirt man aus beiden für } 3^h 17' \text{ (die}$$

Zeit der Beob. in  $P^6$ ) so erhält man im Mittel  $z' = 89^\circ 52' 41,6$

$$\text{in } P^6 \text{ Zen. Dist.} = z = 90^\circ 9' 3,9$$

$$\text{hieraus } \gamma = - 358,0 \text{ Zoll und } \varrho = + 8,9 = 0,073 C,$$

Mit diesem Refr. Coeff. gibt die Zen. Dist. von  $B^5$  dessen Höhe über  $P^6$  = - 63,7 Z.

$$\text{folgl. } B^6 \text{ über } B^5 = - 294,3 \text{ Z.}$$

$$\text{und } B^6 \text{ über dem Meere} = + 497,2 \text{ "}$$

Die correspondirenden Beobachtungen zwischen  $P^7$  und  $B^7$  am 19. Nov. wurden in  $P^7$  durch Regen unterbrochen. Die am folgenden Tage daselbst gemachten Beobachtungen sind nicht correspondirend. Um für die Berechnung derselben eine Kenntniss des Refr.-coeff. zu haben, bediente ich mich der Beobachtung der entfernten Kirchthurmspitze von Nowo-Nicolajewka, deren Höhe über  $P^7$  ich in  $P^6$  in nahezu gleichen Entfernung zu + 209,9 Zoll bestimmt hatte. Diese gab den Coefficienten + 0,059 C; und hiermit erhält man:

$$B^6 \text{ über } P^7 = - 1176,1 \text{ Z.}$$

$$B^7 \text{ über } P^7 = - 805,7 \text{ "}$$

$$B^7 \text{ über } B^6 = + 370,4 \text{ "}$$

$$B^7 \text{ über dem Meere} = + 867,6 \text{ "}$$

In  $B^8$  finden sich folgende correspondirende Zenithdistanzen von  $P^8$ :

$$\left. \begin{array}{l} 3^h 8' \quad 90^\circ 1' 49,4 \text{ Sawitsch} \\ - 12 \quad \quad \quad 37,5 \text{ Fuss} \end{array} \right\} \text{Interpolirt man aus den 3 ersten für } 3^h 18' \text{ die Zeit der Beobachtung in} \\ \left. \begin{array}{l} - 34 \quad \quad \quad 36,9 \text{ S.} \\ 4 \quad 2 \quad \quad 0 \quad 14,0 \text{ F.} \end{array} \right\} \text{so erhält man:} \quad P^8 \text{ so erhält man:} \\ z' = 90^\circ 1' 42,7 \quad \quad \quad \text{in } P^8 \dots z = 89^\circ 59' 47,4$$

Hieraus ergibt sich  $\gamma = + 49,1$  Z. und  $\varrho = + 27,3 = + 0,188 C$  (ein allerdings starker Coefficient, der jedoch schon durch den etwas unruhigen Zustand der Bilder angezeigt wird.) Mit diesem Coefficienten gibt die Zen. Dist. von  $B^7$

$$B^7 \text{ über } P^8 = - 58,2 \text{ Z.}$$

$$\text{folgl. } B^8 \text{ über } B^7 = + 107,3 \text{ "}$$

$$B^8 \text{ über d. Meere} = + 974,9 \text{ "}$$

Zwischen  $B^9$   $P^9$  sind keine correspondirenden Beobachtungen; zur Bestimmung des Refractioncoeffizienten in  $P^9$  diente die Beobachtung des Knopfes der entfernten Kirche Novo-Bataisk, dessen Höhe über  $P^9$  aus den Beobachtungen in  $P^8$  sich zu + 113,9 Zoll ergiebt. Daraus folgt  $\varrho = + 39,5 = + 0,087 C$  und mit diesem Coefficienten reducirt geben die Zenithdistanzen von  $B^9$  und  $B^8$

$$\begin{aligned} B^9 \text{ über } P^9 &= - 326,0 \text{ Z.} \\ B^8 \text{ " } P^9 &= - 188,0 \text{ "} \\ \hline B^9 \text{ " } B^8 &= - 138,0 \text{ "} \\ B^9 \text{ über dem Meere} &= + 836,9 \text{ "} \end{aligned}$$


---

Die correspondirenden Beobachtungen zwischen  $P^{10}$   $B^{10}$  sind in viel zu geringer Entfernung von einander angestellt, um den Refractionscoeffizienten mit Sicherheit zu geben. Mit dem in  $P^9$  bestimmten Coefficienten giebt aber die dort beobachtete Zen. Dist. von  $P^{10}$  dessen Höhe über  $P^9 = + 2069,9$  Z. und diese Bestimmung mit der Zen. Dist. von  $P^9$  in  $P^{10}$  beobachtet verglichen giebt den Coefficienten in  $P^{10} = + 0,10 C$ . Damit erhält man:

$$\begin{aligned} B^9 \text{ über } P^{10} &= - 2396,0 \text{ Z.} \\ P^{11} \text{ über } P^{10} &= - 1900,3 \text{ "} \\ \hline P^{11} \text{ über } B^9 &= + 495,7 \text{ "} \\ P^{11} \text{ über dem Meere} &= + 1332,6 \text{ "} \end{aligned}$$

$P^{11}$  bildete den Endpunkt des Nivellements im Jahre 1836, und um ihn für das folgende Jahr noch fester zu bezeichnen wurde bei  $P^{11}$  ein starker Balken tief eingerammt, dessen Oberfläche unter der Marke  $P^{11} = 125,0$  Zoll stand. — Die Höhe dieses Balkens über dem Niveau des Asowschen Meeres betrug also = + 1207,6 Z. —

Bei der Fortsetzung des Nivellements im Jahre 1837, wurde das Signal  $P^{11}$  in Bezug auf den unverrückten Balken, wieder genau an die frühere Stelle gesetzt, die Höhe der Marke  $P^{11}$  über der Oberfläche des Balkens betrug jetzt 123,7 Zoll. —

Der Höhenunterschied zwischen  $P^{12}$  und  $P^{11}$  ergiebt sich aus den in b<sup>11</sup> am 1ten Apr. 1837 genommenen Zenithdistanzen wie folgt:

Mit Uebergehung des ersten unruhigen Satzes, wollen wir für den zweiten ruhigen, den Coefficienten der Refraction 0,08 annehmen, da eine directe Bestimmung desselben nicht vorhanden ist, und diese hypothetische Annahme auf den Höhenunterschied der zwei nahezu gleichweit entfernten Signale von wenig Einfluss ist. Damit geben die Zen. Dist. von  $P^{11}$  und  $P^{12}$

$$\begin{aligned} P^{11} \text{ über } B^{11} &= - 593,4 \text{ Z.} \\ P^{12} \text{ über } B^{11} &= + 703,9 \text{ "} \\ \hline P^{12} \text{ über } P^{11} &= + 1297,3 \text{ "} \\ \text{folgl. } P^{12} \text{ über dem Meere} &= 1297,3 + 1331,3 = + 2628,6 \text{ Zoll.} \end{aligned}$$


---

Zwischen  $A^{12}$  und  $P^{12}$  finden sich folgende reciproke auf die Marken der Signale reducire Beobachtungen:

Mittl. Zeit	in $P^{12}$ Zen. Dist. = $z$	in $A^{12}$ Zen. Dist. = $z'$	$z + z'$	$\frac{z' - z}{2}$	$\gamma$ in Zollen	$2\varphi$	$\varphi : C$
3 <sup>h</sup> 51'	89° 56' 24",1	90° 4' 55",8	180° 1' 19",9	+ 4' 15",8	+ 126,6	+ 3",8	+ 0,023
4 39	— — 24,6	— — 52,3	— — 16,9	+ 4 13,9	+ 125,7	+ 6 8	+ 0,040
5 28	— — 19,9	— — 45,8	— — 5,7	+ 4 13,0	+ 125,2	+ 18,0	+ 0,107
6 8	— — 15,4	— — 34,6	— 0 50,0	+ 4 9,6	+ 123,6	+ 33,7	+ 0,200
folgl. $A^{12}$ über $P^{12}$ im Mittel = + 125,3 Z							
$A^{12}$ über dem Meere = + 2753,9 "							

Zwischen  $P^{13}$  und  $B^{13}$  sind folgende Beobachtungen correspondirend:

Mittl. Zeit	in $P^{13} = z$	in $B^{13} = z'$	$z + z'$	$\frac{z' - z}{2}$	$\gamma$	$2\varphi$	$\varphi : C$
5 <sup>h</sup> 10'		89° 58' 7",3					
— 14	90° 3' 47",8	(5,9)	180° 1' 53",7	- 2' 50",9	- 103,7	- 10",9	- 0,052
— 57	90 3 41,8	89 57 51,0	— — 32,8	- 2 55,4	- 106,4	+ 10,0	+ 0,050
Mittel — 105,1 Z.							

Mit diesen gefundenen Refractionscoefficienten geben die aus  $P^{13}$  gleichzeitig beobachteten Zen. Dist. von  $A^{12}$

$$\begin{aligned} A^{12} \text{ über } P^{13} (\text{I Satz}) &= - 512,4 \\ (\text{II Satz}) &= - 519,6 \end{aligned} \quad \left. \right\} \text{Mittel} = 516,0 \text{ Z.}$$

folgl.  $B^{13}$  über  $A^{12}$  = + 410,9 Z.

und  $B^{13}$  über dem Meere = + 3164,8 "

Die folgenden Beobachtungen nun sind nach beiden Seiten fast vollständig reciproke und gleichzeitige, daher ich sie in ein gemeinschaftliches Schema gebracht habe; die Bezeichnungen sind aus dem vorhergehenden klar. Obgleich in der Regel 3 Sätze vorhanden sind, so habe ich bei dem Mittel doch vorzugsweise nur die ruhigen Sätze berücksichtigt, weil nur für diese die Hypothese der gleichen Krümmung der Refractionscurve an beiden Endpunkten zulässig ist, welche jedoch für die unruhigen Sätze, zumal da die Hauptsignale im Durchschnitte eine etwas höhere Lage hatten als die Basispunkte, keinesweges anzunehmen ist.

Hinter. Signal	<i>C</i>	$\gamma$ in Zollen	$\rho$	$\frac{\rho}{C}$	Mittl. Sign.	Dat. 1857	M. Zt.	Vorder. Signal	<i>C'</i>	$\gamma'$ in Zollen	$\rho'$	$\frac{\rho'}{C'}$	U m s t ä n d e
$B^{13}$	126",8	- 68,3	- 3",7	- 0,030	$P^{14}$	Apr. 10	4 39' 5 28	$B^{14}$	97",0	- 1074,5	- 24",7	- 0,255	○, sehr unruhig
	- 62,4	+ 6,9	+ 0,055						- 1070,9	- 11,9	- 0,123	" zieml. ruhig	
	- 62 0	+ 14,0	+ 0,111						- 1073,3	+ 13,7	+ 0,142	" noch fast ruhig	
Mittel	- 62,2							Mittel	- 1072,1				
$B^{14}$ über $B^{13}$ = - 1009,9 Zoll													
$B^{14}$ über dem Meere = + 2154,9 "													
$B^{14}$	134,0				$P^{15}$	Apr. 11	3 47,5 4 38	$B^{15}$	74,3	+ 292,9	- 3,6	- 0,049	○ schw., etw. unruhig
	- 1076,0	+ 12,9	+ 0,096						+ 296,0	+ 7,6	+ 0,103	sehr ruhig	
	- 1074,6	+ 22,6	+ 0,169						+ 297,3	+ 25,5	+ 0,342	unruhig	
Mittel	- 1076,0							Mittel	+ 296,0				
$B^{15}$ über $B^{14}$ = + 1372,0 Z.													
$B^{15}$ über d. Meere = + 3526,9 "													
$B^{15}$	67,4	- 537,7	- 11,0	- 0,164	$P^{16}$	Apr. 12	3 47,5 4 38	$B^{16}$	92,8	- 369,0	- 18,7	- 0,202	ziemlich unruhig
	- 538,0	+ 3,3	+ 0,048						- 372,4	- 2,0	- 0,022	sehr ruhig	
	- 538,3	+ 9,5	+ 0,141						- 374,7	+ 5,4	+ 0,059	fast ruhig	
Mittel	- 538,4							Mittel	- 372,0				
$B^{14}$ über $B^{15}$ = + 166,4 Z.													
$B^{16}$ über d. Meere = + 3693,0 "													
$B^{16}$	100,0	- 216,4	- 30,6	- 0,306	$P^{17}$	Apr. 14	4 38 5 28	$B^{17}$	70,6	- 38,7	- 44,8	- 0,635	○, sehr unruhig
	- 205,7	+ 19,4	+ 0,194						- 37,8	+ 4,3	+ 0,061	" fast ruhig	
	- 202,0	+ 53,3	+ 0,533						- 35,8	+ 33,5	+ 0,536	" sehr unruhig	
Mittel	- 205,7							Mittel	- 37,8				
$B^{17}$ über $B^{16}$ = + 167,9 Z.													
$B^{17}$ über d. Meere = + 3860,9 "													
$B^{17}$	258,4	- 173,0	+ 28,6	+ 0,110	$P^{18}$	Apr. 16	5 27 5 58	$B^{18}$	93,0	- 84,6	+ 14,3	+ 0,153	sehr ruhig
	- 173,1	+ 37,8	+ 0,147						Mittel	84,6			
Mittel	- 173,0												
$B^{18}$ über $B^{17}$ = + 88,4 Z.													
$B^{18}$ über d. Meere = + 3949,3 "													

\*

Hinter. Signal	<i>C</i>	$\gamma$ in Zollen	$\rho$	$\frac{\rho}{C}$	Mittl. Sign.	Dat. 4357	M. Zt. Signal	$C'$	$\gamma'$ in Zollen	$\rho'$	$\frac{\rho'}{C'}$	Umstände
$B^{18}$	<b>115,0</b>	- 226,7	14,3	- 0,124	$P^{19}$	A pr. 17	$4^h37'5$ 5 27,5	$B^{19}$	44,0	- 80,1	- 15,2	○, unruhig fast ruhig
	- 222,3	+ 26,2	+ 0,228						- 78,5	+ 12,3	+ 0,281	
Mittel	- 222,3							Mittel	- 78,5			
					$B^{19}$ über $B^{18}$	= +	143,8					
					$B^{19}$ über d. Meere	= +	4093,1	“				
$B^{19}$	<b>51,6</b>	- 107,8	+ 25,3	+ 0,522	$P^{20}$	A pr. 18	3 38	$B^{20}$	147,6	+ 86,3	- 6,1	- 0,041
	- 107,0	+ 36,5	+ 0,753				5 27		+ 81,5	+ 9,4	+ 0,064	etwas unruhig sehr ruhig
Mittel	- 107,8							Mittel	+ 80,1	+ 22,4	+ 0,152	etwas unruhig
					$B^{20}$ über $B^{19}$	= +	189,3	Z.				
					$B^{20}$ über d. Meere	= +	4282,4	“				
$B^{20}$	<b>119,9</b>	- 309,8	+ 0,3	+ 0,002	$P^{21}$	A pr. 21	3 47,5	$\beta^{21}$	121,0	- 364,0	+ 4,3	+ 0,036
	- 309,7	+ 3,4	+ 0,026				4 37,5		- 368,2	+ 4,2	+ 0,035	trübe, fast ruhig “ ruhig
Mittel	- 310,4	+ 15,7	+ 0,131				5 27,5		- 367,8	+ 9,4	+ 0,077	“ fast ruhig
	- 309,9				$\beta^{21}$ über $B^{20}$	= -	367,1	Mittel	- 367,1			
					$\beta^{21}$ über d. Meere	= +	4225,2	“				
$\beta^{21}$	<b>89,6</b>	- 59,6	- 26,2	- 0,291	$P^{22}$	A pr. 22	3 47,5	$\beta^{22}$	102,5	- 399,6	- 13,3	- 0,130
	- 62,7	- 11,1	- 0,013				4 38		- 393,9	- 4,0	- 0,010	○, unruhig “ ruhig
Mittel	- 70,0	+ 4,1	+ 0,045				5 27		- 392,8	+ 13,7	+ 0,134	“ unruhig
	- 62,7				$\beta^{22}$ über $\beta^{21}$	= -	331,2	Z.				
					$\beta^{22}$ über d. Meere	= +	3894,0	“				
$\beta^{22}$	<b>43,0</b>	+ 94,0	- 11,8	- 0,273	$P^{23}$	A pr. 24	4 38	$\beta^{23}$	88,3	- 656,7	- 19,6	- 0,222
	+ 92,3	+ 7,5	+ 0,473				5 27,5		- 661,5	+ 8,4	+ 0,091	○, unruhig “ ruhig
Mittel	+ 90,6	+ 22,4	+ 0,510				6 13,5		- 664,0	+ 38,6	+ 0,437	“ unruhig
	+ 92,3							Mittel	- 661,5			
					$\beta^{23}$ über $\beta^{22}$	= -	753,8	Z.				
					$\beta^{23}$ über d. Meere	= +	3140,2	“				

Hinter. Signal	$c$	$\gamma$ in Zollen	$\rho$	$\frac{\rho}{c}$	Mittl. Sign.	Dat. 1857	M. Zt.	Vorder. Signal	$c'$	$\gamma$ in Zollen	$\rho'$	$\frac{\rho'}{c'}$	Umstände
$\beta^{23}$	186''6	+ 266,9	+ 12'',4	+ 0,063	$P^{24}$	Apr. 25	4 <sup>h</sup> 38' 5 28	$\beta^{24}$	142'',8	- 137,2	- 33,0	- 0,231	○, unruhig
	+ 271,8	+ 19,5	+ 0,106						- 135,2	+ 0,1	+ 0,001	" fast ruhig	
Mittel	+ 271,8							Mittel	- 135,2				
$\beta^{24}$	146,8	- 653,4	+ 15,0	+ 0,102	$P^{25}$	Apr. 27	3 47,5 5 27,5	$\beta^{25}$	101,5	- 75,9	+ 15,0	+ 0,148	bewölkt, sehr ruhig
	- 658,8	- 1,0	- 0,007						- 73,8	- 13,0	- 0,127	○, ziemlich unruhig	
Mittel	- 652,7	+ 17,7	+ 0,121				6 8		- 72,6	+ 15,7	+ 0,155	- sehr ruhig	
	- 653,4							Mittel	- 74,2				
$\beta^{25}$	103,6	- 501,2	+ 3,7	+ 0,036	$P^{26}$	Apr. 29	3 49 4 43	$\beta^{26}$	87,0	+ 457,9	+ 5,4	+ 0,063	trübe, sehr ruhig
	- 499,4	+ 8,5	+ 0,082						+ 459,7	+ 9,1	+ 0,105	" " "	
Mittel	- 498,5	+ 16,0	+ 0,155				5 27		+ 460,4	+ 17,6	+ 0,203	" fast ruhig	
	- 499,6							Mittel	+ 458,8				
$\beta^{26}$													
$\beta^{26}$ über $\beta^{25}$	= + 958,4 Z.												
$\beta^{26}$ über d. Meere	= + 3312,1 "												
$\beta^{27}$	106,6	+ 353,2	- 1,6	- 0,015	$P^{28}$	Mai 5	4 41 5 27,5	$\beta^{28}$	156,3	- 617,8	- 41,8	0,269	○, sehr unruhig
	+ 350,6	+ 5 1	+ 0,047						- 627,5	- 4,6	- 0,030	fast ruhig	
Mittel	+ 347,0	+ 17,3	+ 0,163				6 9		- 629,6	+ 28,3	+ 0,181	fast ruhig	
	+ 348,8							Mittel	- 628,5				
$\beta^{28}$													
$\beta^{28}$ über $\beta^{27}$	= - 977,3 Z.												
$\beta^{28}$ über d. Meere	= + 2814,6 "												

Für die aus  $P^{27}$  am 3. Mai beobachteten Zen. Distanzen fehlten die correspondirenden. Die Beobachtung des Signals  $P^{26}$  dessen relative Erhebung über  $P^{27}$  sich mit den daselbst bestimmten Refractionscoefficienten berechnen lässt, gibt für den ersten ziemlich ruhigen Satz in  $P^{27}$  den Coefficienten + 0,001 C und hiemit

$$\beta^{26} | \quad 90,2 | - 671,4 | + 0,1 | + 0,001 | P^{27} | \text{Mai } 3 | 5 \ 4 | \beta^{27} | 112,0 | - 1123,0 | + 0,1 | + 0,001 | \odot \text{ fast ruhig}$$

$$\beta^{27} \text{ über } \beta^{26} = - 451,6 \text{ Z.}$$

$$\beta^{27} \text{ über d. Meere} = + 3818,9 "$$

Hinter- Signal	$c$	$\gamma$ in Zollen	$\rho$	$\frac{\rho}{c}$	Mittl. Sign.	Dat. 1837	M. Zt.	Vorder. Signal	$c'$	$\gamma$ in Zollen	$\rho'$	$\frac{\rho'}{c'}$	U m s t ä n d e
$\beta^{28}$	140",2	- 96,6	+ 13",1	+ 0,088	$P^{29}$	Mai 6	3 47",5 4 37,5 5 27	$B^{29}$	124",0	- 1051,9	+ 3",7	+ 0,030	fast ruhig
		- 95,6	+ 17,0	+ 0,121					- 1054,1	+ 6,5	+ 0,052	ruhig	
Mittel	- 96,6								- 1052,7	+ 7,8	+ 0,063	fast ruhig	
									- 1054,1				
					$B^{29}$ über d. Meere	= -	957,5	Z.					
$B^{29}$	104,8	- 699,7	+ 11,0	+ 0,105	$P^{30}$	Mai 8	3 47,5 4 37,5 5 27,5	$\beta^{30}$	94,8	- 111,2	+ 9,4	+ 0,094	Regen sehr ruhig
	- 699,4	+ 11,0	+ 0,106						- 111,3	+ 8,0	+ 0,085	ebenso	
Mittel	- 698,9	+ 13,0	+ 0,125						- 111,2	+ 9,2	+ 0,097	ebenso	
									- 111,2				
					$\beta^{30}$ über $B^{29}$	= +	588,0	Z.					
$\beta^{30}$	137,2	+ 132,4	+ 3,6	+ 0,026	$P^{31}$	Mai 9	3 48 4 37,5 5 29	$\beta^{31}$	86,7	- 159,1	- 0,8	- 0,009	fast ruhig
	+ 132,1	+ 7,5	+ 0,055						- 160,0	+ 1,7	+ 0,020	ruhig	
Mittel	+ 132,7	+ 9,2	+ 0,067						- 159,8	+ 5,7	+ 0,067	ruhig	
									- 159,9				
					$\beta^{31}$ über $\beta^{30}$	= -	292,3	Z.					
$\beta^{31}$	86,8	- 137,6	+ 4,9	+ 0,056	$P^{32}$	Mai 10	3 47,5 4 37,5 5 27,5	$\beta^{32}$	198,8	- 236,0	- 6,2	- 0,063	○ etwas unruhig
	- 139,3	+ 6,9	+ 0,079						- 237,4	+ 2,9	+ 0,029	" fast ruhig	
Mittel	- 138,4								- 224,7?	+ 17,3	+ 0,176	" ruhig	
									- 237,4				
					$\beta^{32}$ über d. Meere	= -	99,0	Z.					
$\beta^{32}$	112,0	- 304,6	- 6,5	- 0,058	$P^{33}$	Mai 11	3 47,5 4 37,5 5 27,5	$\beta^{33}$	111,9	- 164,7	+ 3,0	+ 0,027	etwas unruhig
	- 305,4	- 2,2	- 0,019						- 164,8	+ 9,3	+ 0,083	fast ruhig	
Mittel	- 307,2	+ 8,6	+ 0,077						- 166,8	+ 11,6	+ 0,103	ruhig	
									- 166,8				
					$\beta^{33}$ über d. Meere	= +	140,4	Z.					
$\beta^{33}$					$\beta^{33}$ über d. Meere	= +	2224,2	"					



Hinter. Signal	<i>c</i>	<i>r</i> in Zollen	<i>r</i>	$\frac{r}{c}$	Mittl. Sign.	Dat. 1857	M. Zt.	Vorder. Signal	<i>c'</i>	<i>r'</i> in Zollen	$\frac{r'}{c'}$	U m s t ä n d e	
$\alpha^{38}$	173,9	- 1094,8	- 12,5	- 0,072	$P^{39}$	Mai	4 37,5	$\beta^{39}$	72,2	- 0,2	- 14,6	- 0,202	○, unruhig
	- 1095,4	+ 3,8	+ 0,022			19	5 27,5			- 1,4	- 3,4	- 0,047	“ fast ruhig
	- 1097,9	+ 18,0	+ 0,104			6 8,5							“ sehr ruhig
Mittel	- 1097,9							Mittel	- 1,4				
					$\beta^{39}$ über $\alpha^{38}$	= + 1096,5 Z.							
					$\beta^{39}$ über d. Meere	= + 7037,0 “							
$\beta^{39}$	123,0	+ 50,5	+ 13,9	+ 0,113	$P^{40}$	Mai	3 47,5	$\alpha^{40}$	97,2	- 312,2	+ 6,6	+ 0,068	trübe, fast ruhig
	+ 49,5	+ 11,8	+ 0,096			21	4 37,5			- 311,6	+ 3,4	+ 0,035	“ fast ruhig
	+ 48,0	+ 14,7	+ 0,120			5 27,5				- 309,8	+ 12,8	+ 0,132	“ fast ruhig
Mittel	+ 48,0							Mittel	- 311,2				
					$\alpha^{40}$ über $\beta^{39}$	= - 360,5 Z.							
					$\alpha^{40}$ über d. Meere	= + 6676,5 “							
$\alpha^{40}$	189,4	- 220,0	+ 6,8	+ 0,036	$P^{41}$	Mai	3 47,5	$\beta^{41}$	134,9	+ 398,4	- 0,4	- 0,003	etwas unruhig
	- 223,0	+ 11,8	+ 0,055			22	4 38			+ 396,2	+ 5,4	+ 0,040	ziemlich ruhig
	- 227,4	+ 17,3	+ 0,094			5 27,5				+ 396,6	+ 14,3	+ 0,106	ruhig
Mittel	- 225,2							Mittel	+ 396,4				
					$\beta^{41}$ über $\alpha^{40}$	= + 624,6 Z.							
					$\beta^{41}$ über d. Meere	= + 7298,1 “							
$\beta^{41}$	136,9	- 2704,8	+ 4,2	+ 0,031	$P^{42}$	Mai	3 48	$\beta^{42}$	66,6	+ 307,7	- 4,2	- 0,063	○ schwach fast ruhig
	- 2709,2	+ 15,0	+ 0,109			23	4 37,5			+ 309,4	- 4,8	- 0,072	“ fast ruhig
	- 2709,2	+ 17,4	+ 0,127			5 27,5				+ 307,0	+ 3,4	+ 0,051	sehr ruhig
Mittel	- 2709,2							Mittel	+ 307,0				
					$\beta^{42}$ über $\beta^{41}$	= + 3016,2 Z.							
					$\beta^{42}$ über d. Meere	= + 10314,3 “							
$\beta^{42}$	100,0	- 3255,4	- 2,2	- 0,022	$P^{43}$	Mai	3 47,5	$\beta^{43}$	99,7	+ 531,5	- 5,3	- 0,054	○ schw., etwas unruhig
	- 3255,3	+ 3,2	+ 0,032			25	4 37,5			+ 531,2	+ 0,5	+ 0,005	“ fast ruhig
	- 3257,8	+ 7,3	+ 0,073			5 27,5				+ 532,9	+ 7,7	+ 0,078	fast ruhig
Mittel	- 3256,6							Mittel	+ 531,0				
					$\beta^{43}$ über $\beta^{42}$	= + 3787,6 Z.							
					$\beta^{43}$ über d. Meere	= + 14101,9 “							

Hinten. Signal	$C$	$\gamma$ in Zollen	$\rho$	$\frac{\rho}{C}$	Mittl. Sign.	Dat. 4357	M.Zt.	Vorder. Signal	$C'$	$\gamma'$ in Zollen	$\rho'$	$\frac{\rho'}{C'}$	Umstände
$\beta^{43}$	97,4	- 706,5	+ 4,2	+ 0,043	$P^{44}$	Mai 30	3 <sup>h</sup> 47,5 4 37,4	$\beta^{44}$	82,3	- 1036,6	- 1,9	- 0,023	fast ruhig
		- 705,4	- 3,4	- 0,032					- 1035,6	- 1,7	- 0,021	« «	
		- 705,3	+ 2,4	+ 0,025			5 27,5						« <del>unruhig</del> « <del>spars. unruhig</del>
Mittel	- 705,7							Mittel	- 1036,1				
$\beta^{44}$ über $\beta^{43} \equiv - 330,4$ Z.													
$\beta^{44}$	191,6	- 1693,1	+ 6,9	+ 0,036	$P^{45}$	Mai 31	4 38 5 27,5	$\alpha^{45}$	166,9	+ 2068,4	- 11,6	- 0,070	○, unruhig
		- 1689,9	+ 12,2	+ 0,064					+ 2065,6	+ 1,0	+ 0,006	« fast ruhig	
		- 1691,9	+ 16,2	+ 0,084			6 12,5					« ruhig	
Mittel	- 1691,6							Mittel	+ 2065,6				
$\alpha^{45}$ über $\beta^{44} \equiv + 3757,2$ Z.													
$\alpha^{45}$	86,9	- 1267,9	+ 13,0	+ 0,145	$P^{46}$	Jun. 1	3 47 4 37,5	$\beta^{46}$	159,0	+ 1670,6	+ 19,4	+ 0,122	trübe, ruhig
		- 1267,0	+ 26,3	+ 0,293			5 29			+ 1667,1	+ 33,1	+ 0,208	Regen, etwas unruhig
		- 1266,2	+ 28,5	+ 0,317									ebenso
Mittel	- 1267,2							Mittel	+ 1669,4				
$\beta^{46}$ über $\alpha^{45} \equiv + 2936,6$ Z.													
$\beta^{46}$	81,3	- 1008,1	- 1,0	- 0,013	$P^{47}$	Jun. 4	3 49 4 38	$\beta^{47}$	72,5				○, etwas unruhig
		- 1008,0	- 2,5	- 0,030			5 31			- 2259,9	- 3,4	- 0,047	ebenso
		- 1010,6	+ 19,6	+ 0,244						- 2263,9	+ 7,3	+ 0,102	○, ziemlich ruhig
Mittel	- 1010,6							Mittel	- 2263,9				
$\beta^{47}$ über $\beta^{46} \equiv - 1253,3$ Z.													
$\beta^{47}$	110,9	- 3080,6	+ 13,0	+ 0,126	$P^{48}$	Jun. 6	3 48 4 37,5	$\beta^{48}$	89,2	- 2608,7	+ 2,4	+ 0,028	Regen, fast ruhig
		- 3082,9	+ 7,8	+ 0,065			5 30			- 2612,1	+ 4,3	+ 0,048	○ schwach, fast ruhig
		- 3081,4	+ 11,3	+ 0,095						- 2611,4	+ 6,0	+ 0,067	« « ruhig
Mittel	- 3081,4							Mittel	- 2611,4				
$\beta^{48}$ über $\beta^{47} \equiv + 470,0$ Z.													
$\beta^{48}$	$\beta^{48}$ über d. Meere $\equiv + 1968,0$ «												

$$\alpha^{4.9} \text{ über } \beta^{4.8} = -5956,0 \text{ Z}$$

$\alpha^{4.9}$  über d. Meere  $\equiv + 13726,0$  «

$\alpha^{49}$	108,2	+ 1486,4	- 17,5	- 0,161	$P^{50}$	Jun.	3 47,5	$\alpha^{50}$	98,5				
		+ 1482,2	- 0,1	- 0,001		11	4 37,5		- 1558,4	- 4,4	- 0,044	etwas unruhig	
		+ 1479,1	+ 12,5	+ 0,115			5 27,5		- 1561,0	+ 5,1	+ 0,052	fast ruhig	
		+ 1479,1							Mittel			ruhig	
									- 1561,0			etwas unruhig	

$\alpha^{50}$  über  $\alpha^{49} = -30401$  Z.

250 über das Meere = + 106859 »

$\alpha^{50}$	53,0	$P^{51}$	Jun.	438	$\alpha^{51}$	72,4	-621,8	-8,8	-0,121	○, fast ruhig
				17	527,5		-622,7	-5,1	-0,071	ebenso
					69		-625,1	+5,8	+0,080	○, sehr ruhig
Mittel	Mittel					Mittel	-625,1			

$\alpha^{51}$  über  $\alpha^{50}$  — + 1630 3 Z.

88 K. Z.

$\beta_{\text{ex}}$  über  $\alpha$ :  $\equiv =$  88,4 L.

MULCEI

$\alpha^{\circ\circ}_3$  über  $\beta^{\circ\circ}_2 \equiv +$

Hinter. Signal	$c$	$\gamma$ in Zollen	$\rho$	$\frac{\rho}{c}$	Mittl. Sign.	Dat. 4837	M. Zt.	Vorder. Signal	$C'$	$\gamma'$ in Zollen	$\rho'$	$\frac{\rho'}{C'}$	U m s t ä n d e	
$\alpha^{53}$	26,7	- 1475,3	- 2,5	- 0,095	$P^{54}$	Jun. 20	3 <sup>h</sup> 47,5	$\beta^{54}$	153,7	- 4750,9	- 3,3	- 0,022	○ etwas unruhig	
	- 1475,1	- 2,5	- 0,095			21	4 37,5			- 519,2	+ 7,1	+ 0,048	ebenso	
Mittel	- 1475,2						5 27,5			Mittel	- 4757,8	+ 1,2	+ 0,008	ruhig
										Mittel	- 4757,8			gleich
$\beta^{54}$	126,9	+ 1508,4	- 3,3	- 0,026	$P^{55}$	Jun. 21	4 37,5	$\beta^{55}$	146,8	- 515,9	- 0,2	- 0,002	○ etwas unruhig	
	+ 1509,6	+ 6,3	+ 0,049			22	5 27,5			- 519,2	+ 7,1	+ 0,048	ziemlich ruhig	
Mittel	+ 1506,4	+ 11,6	+ 0,091				6 9			Mittel	- 519,2			gleich
$\beta^{54}$ über dem Meere	= + 13623,4	"												
$\beta^{55}$ über d. Meere	= + 11596,2	"												
$\beta^{55}$ über d. Meere	= + 12513,6	"												
$\alpha^{56}$	131,2	- 896,9	- 21,3	- 0,162	$P^{56}$	Jun. 23	4 37,5	$\alpha^{56}$	54,2	+ 20,5	- 33,9	- 0,669	○, sehr unruhig	
	- 898,9	- 2,7	0,020			24	5 27,5			+ 16,7	- 10,2	- 0,200	" wenig unruhig	
Mittel	- 900,2	+ 16,1	+ 0,123				6 9			Mittel	+ 17,2	- 0,3	- 0,006	" ruhig
										Mittel	+ 17,2			gleich
$\alpha^{56}$ über d. Meere	= + 917,4	Z.												
$\beta^{57}$ über d. Meere	= + 11997,0	"												
$\beta^{57}$ über d. Meere	= + 516,6	Z.												
$\beta^{57}$	127,5	- 1546,3	- 3,7	- 0,029	$P^{58}$	Jun. 25	3 47,5	$\beta^{57}$	128,4	+ 291,3	+ 4,7	+ 0,036	○, etwas unruhig	
	- 1546,3	+ 3,4	+ 0,027			26	4 37,5			+ 288,5	+ 8,2	+ 0,064	" fast ruhig	
Mittel	- 1548,6	+ 1,0	+ 0,008				5 27,5			+ 290,3	+ 8,5	+ 0,067	" ruhig	
	- 1548,3	+ 11,3	+ 0,088				6 9			+ 290,2	+ 8,2	+ 0,064	" sehr ruhig	
										Mittel	- 290,2			gleich
$\alpha^{58}$ über $\beta^{57}$	= + 14855,2	Z.												
$\alpha^{58}$ über d. Meere	= + 2858,2	Z.												

Danzig 1906

α<sup>58</sup> über d. Meere = + 14855,2 "α<sup>58</sup> über β<sup>57</sup> = + 2858,2 Z.





Hinter. Signal	$c$	$\gamma$ in Zollen	$\rho$	$\frac{\rho}{c}$	Mittl. Sign.	Dat. 1857	M. Zt.	Vorder. Signal	$c'$	$\gamma'$ in Zollen	$\rho'$	$\frac{\rho'}{c'}$	Um ständ e
$\beta^{68}$	19,6	- 336,9	- 1,8	- 0,090	$P^{69}$	Juli	3 <sup>h</sup> 47,5	$\beta^{69}$	202,2	+ 572,4	+ 14,0	+ 0,069	Regen, ruhig ebenso
							9	4 37,5		+ 572,7	+ 14,3	+ 0,071	
							5 27,5			+ 571,4	+ 16,8	+ 0,083	k. Regen, ruhig
	Mittel	- 336,9						Mittel	+ 572,2				
					$\beta^{69}$ über d. Meere	= +	909,1	Z.					
$\beta^{69}$	91,1	- 873,9	+ 1,4	+ 0,015	$P^{70}$	Juli	4 37,5	$\beta^{70}$	78,0	- 1459,4	- 22,5	- 0,301	○ bisweilen, unruhig ebenso
							10	5 27,5		- 1459,2	- 21,7	- 0,277	
							6 9			- 1460,2	+ 2,1	+ 0,026	“ fast ruhig
	Mittel	- 875,6						Mittel	- 1459,7				
					$\beta^{70}$ über d. Meere	= -	584,1	Z.					
$\beta^{70}$	204,2	+ 3724,2	+ 21,8	+ 0,107	$P^{71}$	Juli	6 10						k. ○, ruhig
							11						
						A ug.	4 37,5	$\beta^{71}$	77,2	- 449,0	- 13,7	- 0,178	○, etwas unruhig
							10	5 27,5		- 451,7	- 1,2	- 0,016	“ fast ruhig
	Mittel	+ 3724,2					6 9			- 450,0	+ 32,7	+ 0,424	“ sehr unruhig
								Mittel	- 451,7				
					$\beta^{71}$ über $\beta^{70}$	= +	14029,6	“					
$\beta^{71}$	76,8	- 1561,3	+ 3,7	+ 0,048	$P^{72}$	A ug.	4 37,5	$\alpha^{72}$	138,4	- 565,9	- 24,4	- 0,176	○ bisweilen, unruhig
							12	5 27,5		- 583,0	0,0	0,000	○ schwach, ruhig
							6 8			- 582,6	+ 12,8	+ 0,093	“ ruhig
								Mittel	- 582,8				
					$\alpha^{72}$ über d. Meere	= +	984,0	Z.					
$\alpha^{72}$	189,8	- 1507,0	+ 9,1	+ 0,048	$P^{73}$	A ug.	4 37,5	$\beta^{73}$	202,3	- 219,7	+ 0,3	+ 0,001	k. ○, etwas unruhig
							13	5 27,5		- 224,2	+ 5,6	+ 0,028	“ fast ruhig
							6 9			- 231,4	+ 19,9	+ 0,098	“ ruhig
	Mittel	- 1512,4	+ 18,9	+ 0,099						Mittel	- 231,4		
					$\beta^{73}$ über $\alpha^{72}$	= +	1281,3	Z.					
					$\beta^{73}$ über d. Meere	= +	1216,0	“					

Umstände							
Hinter. Signal	C	$\gamma$ in Zollen	$\rho$	$\frac{\rho}{C}$	Mittl. Sign.	Dat. 1837	M. Zt.
$\beta^{*3}$	217,"4					P 74	$\alpha^{74}$
	- 1257,6	- 2,"8	- 0,013			Aug. 4' 37,"5	87,"3
	- 1277,9	+ 26,2	+ 0 121			14 5 27,5	- 427,7
Mittel	- 1267,8					6 9	- 33,"4
							- 439,8
							- 2,3
							- 442,2
						Mittel	+ 23,4
							- 441,0

$$\alpha^{74} \text{ über } \beta^{73} = + \quad 826,8 \text{ Z.}$$

$\alpha^{74}$	226,2	+ 51,2	- 9,6	- 0,037	$P^{75}$	Aug.	4 37,5	$\beta^{75}$	78,7	- 340,8	- 15,4	- 0,196	○ bisw., etwas unruhig
Mittel	+ 46,7	+ 52,8	- 6,9	- 0,029		15	5 27,5		- 344,0	+ 5,8	+ 0,074	“ schwach, fast ruhig	
		+ 30,3	+ 26,4	+ 0,117			6 6		- 346,4	+ 17,1	+ 0,218	“ “	unruhig
									Mittel		- 344,0		

$\beta^{75}$  über d. Meere  $\equiv + 12552,1$  «

$\beta^{78}$	89,0	- 455,2	- 2,7	- 0,031	$P^{76}$	Aug.	4 37,5	$\beta^{76}$	158,6	- 1029,5	+ 19,5	+ 0,423	k. O., fast ruhig
	- 457,1	+ 19,0	+ 0,215				16	5 29		- 1028,9	+ 38,4	+ 0,242	etwas unruhig
	- 458,3	+ 27,2	+ 0,305				6	4,5		- 1030,6	+ 56,0	+ 0,355	sehr unruhig
Mittel										Mittel			- 1029,3

$\beta^{76}$  über d. Meere  $\equiv +$  11979,0 «

$\beta^{76}$	143,6	+ 788,3	17,5	0,122	$P^{77}$	Aug	5 27,5	$\alpha^{77}$	105,0	- 324,2	- 19,7	- 0,488	○, wenig unruhig
Mittel		+ 785,4	+ 24,4	+ 0,161		17	6 7			- 332,7	+ 27,1	+ 0,259	« fast ruhig »
	+ 786,4								Mittel	- 329,9			

<sup>277</sup> über d. Meere = + 108627 ".

$\alpha^{77}$	116,4	+ 62,9	+ 12,3	+ 0,106	$P^{78}$	Aug.	4 37,5	$\beta^{78}$	89,2	- 464,2	+ 2,9	+ 0,033	Regen, ruhig
		+ 63,9	+ 15,3	+ 0,132		19	5 27,5			- 466,7	+ 11,5	+ 0,129	" fast ruhig
		+ 62,2	+ 18,0	+ 0,155			6 1			- 461,7	+ 8,3	+ 0,094	kein Regen, ruhig
	Mittel	+ 62,8								Mittel	- 464,9		

$\beta^{78}$  über  $\alpha^{77} = -527.7$  Z.  
 $\beta^{78}$  über d. Meere = + 103350 "

Hinter. Signal	$c$	$\gamma$ in Zollen	$\rho$	$\frac{\rho}{C}$	Mitt. Sign.	Dat. 1837	M. Zt.	Vorder. Signal	$C'$	$\gamma'$ in Zollen	$\rho'$	$\frac{\rho'}{C'}$	U m s t ä n d e
$\beta^{78}$	116,0	+ 176,9	- 4,2	- 0,036	$P^{79}$	3 <sup>h</sup> 47,5	$\beta^{79}$	144,8	- 606,9	+ 2,3	+ 0,016	bedeckt, fast ruhig	
	+ 177,4	- 5,6	- 0,047		20	4 37,5			- 606,9	+ 1,2	+ 0,008	ebenso	
	+ 174,6	+ 0,9	+ 0,008		15	5 27,5			- 608,4	+ 7,7	+ 0,053	zieml. ruhig	

$\beta^{79}$  über  $\beta^{78} \equiv - 783,5$  Z.

$\beta^{79}$  über d. Meere  $\equiv + 9551,5$  «

$\beta^{79}$	103,2	+ 301,3	+ 0,8	+ 0,008	$P^{80}$	Aug.	4 37,5	$\beta^{80}$	106,5	- 452,0	- 12,9	- 0,121	○ bisweilen, unruhig
	+ 302,4	+ 5,4	+ 0,052		21	5 27,5							ebenso
	+ 299,8	+ 15,1	+ 0,147		15	6 5							○ ruhig

$\beta^{80}$  über  $\beta^{79} \equiv - 757,8$  Z.

$\beta^{80}$  über d. Meere  $\equiv + 8793,7$  «

$\beta^{80}$	94,4	+ 207,2	+ 2,2	+ 0,023	$P^{81}$	Aug.	3 47,5	$\beta^{81}$	109,2	- 719,5	- 2,2	- 0,020	trühe, fast ruhig
	+ 207,3	- 2,8	- 0,029		22	4 37,5				- 718,9	- 5,3	- 0,048	ebenso
	+ 206,1	- 0,2	- 0,002		15	5 27,5				- 721,2	- 1,1	- 0,010	○ schwach, ruhig

$\beta^{81}$  über  $\beta^{80} \equiv - 926,9$  Z.

$\beta^{81}$  über d. Meere  $\equiv + 7866,8$  «

$\beta^{81}$	107,0	+ 154,7	- 18,4	- 0,171	$P^{82}$	Aug.	4 37,5	$\beta^{82}$	89,7	- 442,8	+ 6,9	+ 0,077	○, unruhig
	+ 154,2	- 4,7	- 0,016		23	5 27,5				- 442,8	+ 22,2	+ 0,247	○ matt, fast ruhig
	Mittel	+ 154,2			15	6 10				- 442,8	- 33	- 0,323	○ unruhig

$\beta^{82}$  über  $\beta^{81} \equiv - 597,0$  Z.

$\beta^{82}$  über d. Meere  $\equiv + 7269,8$  «

$\beta^{82}$	94,4	- 11,0	- 10,2	- 0,109	$P^{83}$	Aug.	4 37,5	$\beta^{83}$	107,4	- 275,3	- 8,8	- 0,082	○ bisweilen, fast ruhig
	- 19,5	+ 14,8	+ 0,157		24	5 27,5				- 281,6	+ 9,5	+ 0,088	« « fast ruhig
	Mittel	- 15,2			15	Mittel				- 278,5	- 33	- 0,323	○ platt, unruhig

$\beta^{83}$  über  $\beta^{82} \equiv - 263,3$  Z.

$\beta^{83}$  über d. Meere  $\equiv + 7006,5$  «

Hinter. Signal	$c$	$\gamma$ in Zollen	$\varrho$	$\frac{\varrho}{C}$	Mittl. Sign.	Dat. 1837	M. Zt. Signal	$C'$	$\gamma'$ in Zollen	$\varrho'$	$\frac{\varrho'}{C'}$	Umstände	
$\beta^{83}$	107,6	+ 23,2	- 16,1	- 0,149	$P^{84}$	Aug. 25	4 <sup>h</sup> 37,5 5 27,5	$\beta^{84}$ 6 5	101,9 Mittel	- 209,5 - 211,3 - 210,7	- 21,3 + 5,2 + 0,051	0,209 « 0,051 « 0,051	○, unruhig ○ bisweilen, fast ruhig « « ruhig
	+ 23,1	- 4,3	- 0,040										
Mittel	+ 16,9	+ 17,9	+ 0,166										

 $\beta^{84}$  über  $\beta^{83} = - 229,7$  Z. $\beta^{84}$  über d. Meere = + 6776,8 «

$\beta^{84}$	103,2	+ 165,8	+ 19,9	+ 0,194	$P^{85}$	Aug. 26	4 37,5 5 27,5	$\beta^{85}$	96,6 Mittel	- 145,4 - 144,6 - 145,0	+ 17,9 + 13,7 + 0,142	Regen, fast ruhig k. Regen, ebenso
	+ 163,4	+ 18,5	+ 0,179									
Mittel	+ 164,6											

 $\beta^{85}$  über  $\beta^{84} = - 309,6$  Z. $\beta^{85}$  über d. Meere = + 6467,2 «

$\beta^{85}$	93,2	+ 114,4	- 10,1	- 0,108	$P^{86}$	Aug. 27	4 37,5 5 27,5 5 57	$\beta^{86}$	138,6 - 238,8 - 239,5 - 238,8	- 238,5 + 6,9 + 17,7 + 0,128	- 5,6 + 0,050 + 0,128 + 0,085	○, ziemlich unruhig k. ○, ruhig « etwas unruhig
	+ 116,2	+ 9,2	+ 0,099									
Mittel	+ 116,0	+ 16,3	+ 0,175									

 $\beta^{86}$  über  $\beta^{85} = - 355,0$  Z. $\beta^{86}$  über d. Meere = + 6112,2 «

$\alpha^{87}$	138,6	+ 92,3	- 6,8	- 0,048	$P^{87}$	Aug. 28	4 37,5 5 27,5 5 57	$\alpha^{87}$	128,3 - 490,1 - 488,2 - 490,1	- 489,1 + 2,5 + 17,2 + 0,161	- 4,0 - 0,019 + 0,134 - 0,003	○, etwas unruhig « ruhig « etwas unruhig
	+ 94,0	+ 1,8	+ 0,013									
Mittel	+ 93,5	+ 19,0	+ 0,439									

 $\alpha^{87}$  über  $\beta^{86} = - 584,1$  Z. $\alpha^{87}$  über d. Meere = + 5528,4 «

$\alpha^{87}$	118,2	+ 42,3	- 26,2	- 0,222	$P^{88}$	Aug. 31	4 37,5 5 27,5 6 1,5	$\beta^{88}$	99,6 - 91,9 - 93,7 - 92,5	- 93,3 + 3,8 + 16,0 + 0,161	- 12,9 + 0,038 + 0,161 - 0,003	○, etwas unruhig « ruhig « fast ruhig
	+ 34,4	+ 4,6	+ 0,039									
Mittel	+ 33,0	+ 15,5	+ 0,431									

 $\beta^{88}$  über d. Meere = - 126,9 Z. $\alpha^{88}$  über d. Meere = + 5401,2 «

Hinter. Signal.	$c$	$\gamma$ in Zollen	$\rho$	$\frac{\rho}{c}$	Mittl. Sign.	Dat. 1857	M. Zt.	Vorder. Signal	$C'$	$\gamma$ in Zollen	$\rho'$	$\frac{\rho'}{C'}$	U m s t ä n d e
$\beta^{88}$	128,8	- 327,0	+ 9,8	+ 0,076	$P^{89}$	Sept.	4 <sup>h</sup> 37,5 2	$\beta^{89}$	108",3	- 480,4	- 9,7	- 0,089	○, fast ruhig
	- 330,3	+ 20,4	+ 0,158				5 27,5		- 489,6	+ 7",2	+ 0,067	“ ruhig	
	- 330,6	+ 28,1	+ 0,219				5 53,5		- 494,7	+ 35,1	+ 0,324	“ fast ruhig	
Mittel	- 330,3						Mittel	- 489,6			0,150		

 $\beta^{89}$  über d. Meere = - 159,3 Z. $\beta^{89}$  über d. Meene = + 3241,9 “

$\beta^{90}$	115,0	+ 71,7	+ 29,9	+ 0,260	$P^{90}$	Sept.	5 27,5 5 6 0	$\beta^{90}$	58,4	+ 51,0	- 2,5	- 0,044	○, fast ruhig
	+ 67,6	+ 86,5	+ 0,752				Mittel	+ 51,0	+ 46,2	+ 19,2	+ 0,329	“ sehr unruhig	
Mittel	+ 71,7						Mittel				0,010		

 $\beta^{90}$  über d. Meere = - 20,7 Z. $\beta^{90}$  über d. Meene = + 5221,2 “

$\beta^{90}$	57,0	- 89,1	- 2,5	- 0,042	$P^{91}$	Sept.	3 47,5 6 4 37,5 5 27,5	$\beta^{91}$	86,6	- 424,4	- 10,7	- 0,124	○, etwas unruhig
	- 88,6	+ 3,1	+ 0,054				Mittel		- 426,9	- 0,2	- 0,002	“ ruhig	
Mittel	- 88,6	+ 7,6	+ 0,133				Mittel		- 428,6	+ 8,9	+ 0,103	“ fast ruhig	

 $\beta^{91}$  über d. Meere = - 338,8 Z. $\beta^{91}$  über d. Meene = + 4882,4 “

$\beta^{91}$	87,8	- 466,6	- 5,4	- 0,061	$P^{92}$	Sept.	3 47,5 7 4 37,5 5 27,5	$\beta^{92}$	119,2	- 612,7	- 17,7	- 0,148	○, etwas unruhig
	- 468,7	+ 0,3	+ 0,004				Mittel		- 618,0	- 7,6	- 0,064	“ fast ruhig	
Mittel	- 472,4	+ 9,2	+ 0,105				Mittel		- 622,6	+ 8,8	+ 0,074	“ ruhig	

 $\beta^{92}$  über d. Meere = - 150,2 Z. $\beta^{92}$  über d. Meene = + 4732,2 “

$\beta^{92}$	131,8	- 195,0	- 10,0	- 0,076	$P^{93}$	Sept.	3 47,5 8 4 37,5 5 27,5	$\beta^{93}$	116,0	- 407,9	- 2,9	- 0,025	○, etwas unruhig
	- 195,2	+ 4,4	+ 0,034				Mittel		- 410,9	+ 12,7	+ 0,109	“ fast ruhig	
Mittel	- 198,4	+ 34,6	+ 0,262				Mittel		- 405,2	+ 33,2	+ 0,286	“ unruhig	

 $\beta^{93}$  über d. Meere = + 4516,5 “

Hinter. Signal	$C$	$\gamma$ in Zollen	$\varrho$	$\frac{\varrho}{C}$	Mittl. Sign.	Dat. 1857	M. Zt.	Vorder. Signal	$C'$	$\gamma'$ in Zollen	$\varrho'$	$\frac{\varrho'}{C'}$	U m s t ä n d e
$\beta^{93}$	150 <sup>"</sup> 2	- 133,4	- 4, <sup>"</sup> 4	- 0,029	$P^{94}$	Sept. 9	3 <sup>h</sup> 48, <sup>'</sup> 5	$\beta^{94}$	126, <sup>"</sup> 4	- 488,2	- 5, <sup>"</sup> 1	- 0,040	○ etwas unruhig
	- 132 8	- 7,9	- 0,053				4 37,5			- 496,2	+ 22,6	+ 0,179	« fast ruhig
	- 131,4	+ 38,9	+ 0,259				5 27,5			- 492,2			« fast ruhig
Mittel	- 132,6							Mittel					
					$\beta^{94}$ über $\beta^{93}$	= -							
					$\beta^{94}$ über dem Meere	= +							
$\beta^{94}$	134,2	- 101,0	- 28,4	- 0,212	$P^{95}$	Sept. 10	3 47,5	$\beta^{95}$	96,4	- 311,1	- 15,5	- 0,161	○ unruhig
	- 115,2	- 4,7	- 0,035				4 37,5			- 310,7	- 7,4	- 0,078	k. ○, ruhig
	- 120,2	+ 5,9	+ 0,045				5 27,5			- 310,5	- 2,4	- 0,025	« ruhig
Mittel	- 117,7							Mittel					
					$\beta^{95}$ über $\beta^{94}$	= -							
					$\beta^{95}$ über d. Meere	= +							
$\beta^{95}$	126,4	+ 65,8	- 22,6	- 0,179	$P^{96}$	Sept. 13	4 37,5	$\beta^{96}$	85,2	- 134,1	- 19,1	- 0,223	○, etwas unruhig
	+ 64,7	+ 9,8	+ 0,078				5 27,5			- 133,9	+ 1,4	+ 0,013	« sehr ruhig
Mittel	+ 64,7							Mittel					
					$\beta^{96}$ über $\beta^{95}$	= -							
					$\beta^{96}$ über d. Meere	= +							
$\beta^{96}$	95,8	- 196,7	- 3,7	- 0,038	$P^{97}$	Sept. 14	4 37,5	$\beta^{97}$	99,0	+ 55,8	- 7,6	- 0,076	○, etwas unruhig
	- 201,3	+ 11,4	+ 0,118				5 27,5			+ 52,7	+ 11,8	+ 0,118	« ruhig
Mittel	- 201,3							Mittel					
					$\beta^{97}$ über $\beta^{96}$	= +							
					$\beta^{97}$ über d. Meere	= +							
$\beta^{97}$	112,2	- 114,2	+ 0,2	+ 0,002	$P^{98}$	Sept. 15	4 37,5	$\alpha^{98}$	61,2	- 505,4	- 9,1	- 0,150	○ matt, fast ruhig
	- 115,1	+ 11,2	+ 0,100				5 27,5			- 505,5	+ 1,1	+ 0,018	« sehr ruhig
Mittel	- 114,8							Mittel					
					$\alpha^{98}$ über $\beta^{97}$	= -							
					$\alpha^{98}$ über d. Meere	= +							

Blaasen

Horn

Klarinette

Flöte

Oboe

Fagott

Trompete

Tuba

Posaune





Hinter. Signal	$c$	$\gamma$ in Zollen	$\rho$	$\frac{\rho}{c}$	Mittl. Sign.	Dat. 1837	M. Zt.	Vorder. Signal	$c'$	$\gamma'$ in Zollen	$\rho'$	$\frac{\rho'}{c'}$	U m s t ä n d e
$\beta^{109}$	103,2	+ 112,7	- 17,3	- 0,071	$P^{110}$	Sept.	3 h 17,5	$\beta^{110}$	116,4	- 34,4,2	- 20,1	- 0,173	○ bisw., etw. unruhig
	+ 114,7	+ 1,8	+ 0,017				28	4 7,5		- 348,5	- 3,9	- 0,033	○ matt, fast ruhig
	+ 110,9	+ 12,0	+ 0,116					57,5		- 352,9	+ 19,5	+ 0,167	○ bisw., ruhig
	Mittel	+ 111,2							Mittel	351,4			(0,028) (0,031) (0,034) (0,035)

 $\beta^{110}$  über  $\beta^{109} \equiv - 462,6$  Z. $\beta^{110}$  über d. Meere  $\equiv + 254,9$  «

$\beta^{110}$	97,8	+ 58,7	+ 4,8	+ 0,049	$P^{111}$	Sept.	3 17,5	$\beta^{111}$	140,6	- 262,8	+ 7,5	+ 0,053	trübe, ruhig
	- 60,7	+ 10,7	+ 0,109				29	4 7,5		- 262,8	+ 12,5	+ 0,090	« sehr ruhig
	- 61,7	+ 17,5	+ 0,179					57,5		- 262,9	+ 19,0	+ 0,136	« fast ruhig
	Mittel	- 60,7							Mittel	- 262,8			(0,031) (0,034) (0,035)

 $\beta^{111}$  über  $\beta^{110} \equiv - 202,1$  Z. $\beta^{111}$  über d. Meere  $\equiv + 52,8$  «

$\beta^{111}$	175,2	- 61,7	- 3,1	- 0,018	$P^{112}$	Sept.	3 17,5	$\beta^{112}$	174,2	- 218,0	+ 3,3	+ 0,019	bewölkt, nicht ruhig
	- 63,3	+ 4,5	+ 0,026				30	4 7,5		- 222,5	+ 9,5	+ 0,055	« fast ruhig
	- 66,5	+ 28,3	+ 0,162					57,5		- 226,1	+ 32,4	+ 0,486	« fast ruhig
	Mittel	- 64,9							Mittel	- 224,3			(0,031) (0,034) (0,035)

 $\beta^{112}$  über  $\beta^{111} \equiv - 159,4$  Z. $\beta^{112}$  über d. Meere  $\equiv - 106,6$  «

$\beta^{112}$	136,0	- 61,1	+ 10,0	+ 0,073	$P^{113}$	Oct.	3 17,5						trübe, ruhig
	- 62,4	+ 20,1	+ 0,146				2	4 7,5					« fast ruhig
	- 63,0	+ 23,6	+ 0,173				Oct.	57,5					« fast ruhig
	Mittel	- 61,9					14	3 47,5	$\beta^{113}$	92,6	- 122,8	- 4,8	- 0,051

 $\beta^{113}$  über  $\beta^{112} \equiv - 62,8$  Z. $\beta^{113}$  über d. Meere  $\equiv - 169,4$  «

$\beta^{113}$	104,8	- 34,2	+ 0,1	+ 0,001	$P^{114}$	Oct.	2 57,5	$\beta^{114}$	140,4	- 132,2	+ 0,5	+ 0,003	trübe, fast ruhig
	- 34,5	+ 9,2	+ 0,089				15	3 47,5		- 130,4	+ 12,2	+ 0,087	○ ruhig
	- 35,8	+ 15,1	+ 0,144					4 37,5					« ruhig
	Mittel	- 35,0							Mittel	- 134,0			(0,031) (0,034) (0,035)

 $\beta^{114}$  über  $\beta^{113} \equiv - 96,0$  Z. $\beta^{114}$  über d. Meere  $\equiv - 265,4$  «

Hinter. Signal	$C$	$\gamma$ in Zollen	$\rho$	$\frac{\rho}{C}$	Mittl. Sign.	Dat. 1837	M. Zt.	Vorder. Signal	$C'$	$\gamma$ in Zollen	$\rho'$	$\frac{\rho'}{C'}$	U m s t ä n d e
$\beta^{114}$	226,6	- 144,4	+ 10,1	+ 0,045	$P^{115}$	Oct.	2 57,5	$\alpha^{115}$	134,4	- 178,1	- 0,6	- 0,005	bewölkt, fast ruhig
	- 144,7	+ 23,0	+ 0,102		16	3 47,5				- 180,8	+ 8,6	+ 0,064	„ sehr ruhig
	- 146,8	+ 34,6	+ 0,153			4 37,5				- 182,6	+ 19,2	+ 0,143	„ fast ruhig
Mittel	- 145,1							Mittel		- 180,6			
					$\alpha^{115}$ über $\beta^{114}$	= - 35,5 Z.							
					$\alpha^{115}$ über d. Meere	= - 300,9 „							
$\alpha^{115}$	108,4	- 105,4	+ 14,8	+ 0,137	$P^{116}$	Oct.	4 37,5	$\beta^{116}$	163,8	- 182,0	+ 22,9	+ 0,140	○, fast ruhig
Mittel	- 105,4				17			Mittel		- 182,0			
					$\beta^{116}$ über $\alpha^{115}$	= - 76,6 Z.							
					$\beta^{116}$ über d. Meere	= - 377,5 „							
$\beta^{116}$	131,8	+ 6,5	- 2,3	- 0,018	$P^{117}$	Oct.	2 57,5	$\beta^{117}$	146,6	- 57,2	- 7,7	- 0,053	○ ungl., etwas unruhig
Mittel	+ 16,5	+ 12,2	+ 0,092		18	3 47,5				- 54,7	+ 8,9	+ 0,061	k. ○, sehr ruhig
	+ 15,9	+ 26,2	+ 0,199			4 37,5				- 52,2	+ 28,4	+ 0,194	“ etwas unruhig
Mittel	+ 16,5							Mittel		- 54,7			
					$\beta^{117}$ über $\beta^{116}$	= - 71,2 Z.							
					$\beta^{117}$ über d. Meere	= - 48,7 „							
$\beta^{117}$	119,2	- 134,9	- 8,0	- 0,067	$P^{118}$	Oct.	2 57,5	$\alpha^{118}$	108,4	- 192,2	- 14,3	- 0,132	○, etwas unruhig
Mittel	- 136,1	+ 5,4	+ 0,045		19	3 47,5				- 196,2	0,0	0,000	“ fast ruhig
	- 136,5	+ 19,1	+ 0,159			4 37,5				- 198,2	+ 14,4	+ 0,133	k. ○, ruhig
Mittel	- 136,4							Mittel		- 197,5			
					$\alpha^{118}$ über $\beta^{117}$	= - 61,1 Z.							
					$\alpha^{118}$ über d. Meere	= - 509,8 „							
$\alpha^{118}$	82,4	- 167,6	- 3,1	- 0,038	$P^{119}$	Oct.	2 57,5	$\beta^{119}$	142,2	- 183,8	- 3,0	- 0,021	bewölkt, etwas unruhig
Mittel	- 167,9	+ 3,2	+ 0,039		20	3 47,5				- 185,0	+ 3,8	+ 0,027	“ fast ruhig
	- 168,2	+ 9,3	+ 0,113			4 36				- 185,6	+ 9,4	+ 0,066	“ sehr ruhig
Mittel	- 168,1							Mittel		- 185,4			
					$\beta^{119}$ über $\alpha^{118}$	= - 17,3 Z.							
					$\beta^{119}$ über d. Meere	= - 527,1 „							



## II. Höhenbestimmungen aus den Zenithdistanzen von Sabler.

### a) Untersuchung der irdischen Strahlenbrechung.

Es ist einem jeden practischen Geodäten bekannt, ein wie wichtiges Element die Refraction bei allen terrestrischen Höhenbestimmungen ist, und wie schwer sich ihr Einfluss auf dieselben ganz beseitigen lässt. Obgleich die Theorie der *regelmässigen* irdischen Strahlenbrechung schon längst von den Geometern erschöpft ist, so finden wir dagegen, dass die in der Natur wirklich statt findende Strahlenbrechung von vielen zufälligen Nebenumständen modifizirt wird, und dass diese die Gesetze der Theorie nicht nur zu verändern, sondern sie in vielen Fällen sogar umzukehren scheinen. Zu diesen störenden Umständen gehört alles, was die Temperatur und daher auch die Brechungskraft der untern atmosphärischen Schichten afficirt; z. B. Sonnenschein, Verdunstung und Ausstrahlung des Bodens, ausserdem aber vorzüglich die grössere oder geringere Entfernung, in welcher der beobachtete Lichtstrahl über dem Erdboden hinstreicht, was natürlich ganz von den Localitäten bedingt wird.

Die Erfahrungen, besonders des Jahres 1837, in welches der bei weitem grösste Theil unserer Beobachtungen fällt, überzeugten uns auch bald von der Unregelmässigkeit und mitunter ungeheuren Veränderlichkeit der terrestrischen Refraction, welche in dem flachen Terrain der Caucasischen Steppen und dem, in den Frühlings- und Sommermonaten dort statt findenden fast beständigen Sonnenschein ihren Grund hatten. In den wenigen Tagesstunden, in welchen überhaupt eine Messung möglich war, änderten sich die Zenithdistanzen unserer doch nur in geringer Entfernung befindlichen Signale oft um eine halbe, in manchen Fällen gar um eine ganze Minute und darüber, wie die Tagebücher ausweisen. So grosse Aenderungen hatten wir in der That nicht erwartet, und sie liessen uns fast schon an dem Gelingen unseres Hauptzweckes, der genauen Ermittelung der Höhenunterschiede, verzweifeln. Indessen hat die spätere Untersuchung gezeigt, dass die auf den ersten Anblick scheinbare Regellosigkeit und grosse Veränderlichkeit der irdischen Refraction, innerhalb gewisser Gränzen doch bestimmten Gesetzen folgt, nach deren Berücksichtigung die Beobachtungen mit einer überraschenden Genauigkeit dargestellt werden, und der gesuchte Höhenunterschied des Caspischen und Schwarzen Meeres mit einer Sicherheit folgt, die erreichen zu können wir kaum hoffen durften. — Zwei Umstände waren es hauptsächlich, welche mir bei der Messung schon auffielen, und auf welche ich mein besondres Augenmerk zu richten beschloss. *Erstens* bemerkte ich zu meinem Erstaunen, dass die Zenithdistanzen der nach derselben Seite zu einfacher und doppelter Entfernung gelegenen Basissignale,  $\beta$ , und Hauptsignale,  $P$  (siehe Einleitung pag. 13), welche ich immer gleichzeitig in einem Satze mass, von einem Satze zum andern sich nahezu immer um dieselbe Quantität änderten, was der Theorie zu widersprechen schien. *Zweitens* erkannte ich bald, dass die grössere oder geringere Veränderung der Zenithdistanz eines Objectes jedesmal auch von einer entsprechenden Veränderung des Zustandes seines Bildes im Fernrohre (in Bezug auf die Ruhe oder Unruhe) begleitet war. Die allmähliche Zunahme der Refraction vom Mittage bis zum Sonnenuntergang ist wohl einem jeden Geodäten bekannt. Ebenso bekannt ist aber wohl auch die Aenderung, die die Bilder irdischer Gegenstände in diesen Stunden erfahren. Um Mittag und in den ersten Nachmittagsstunden erscheinen diese fast immer unruhig und wallend. Dieses Wallen nimmt dann allmählich ab, die Bilder nähern sich mehr dem Zustande der Ruhe, den sie (wie unser berühmter Struve soviel mir bekannt, zuerst in seinem trefflichen Werke: Gradmessung in den Ostseeprovinzen Russlands, Thl. I, p. 87 nachgewiesen hat) täglich zu einer bestimmten Zeit, ungefähr um  $\frac{2}{3}$ , der Zeit zwischen Mittag und Sonnenuntergang erreichen, und bald kürzere, bald längere Zeit behalten. Da- nach tritt aber wieder ein Schwirren ein, das bis zum Sonnenuntergang allmählich zunimmt. — Die Ursache

dieser Veränderung, sowohl der Refraction als des Zustandes der Bilder, ist unzweifelhaft dieselbe, einmal die Erwärmung der Erdoberfläche durch die Einwirkung der Sonne, und dann die Erkältung derselben durch die Ausstrahlung und Verdunstung. Beide Wirkungen theilen sich den untern Luftsichten mit, und dadurch entsteht eine Störung derselben und ein Bestreben nach Ausgleichung, das sich durch das Wallen und Schwirren der Objecte zu erkennen giebt. Sobald die Ausgleichung vollständig ist, tritt die Ruhe der Bilder ein, und dann muss auch die Brechung der untern atmosphärischen Schichten eine regelmässige sein. Die Störungen dieses regelmässigen Zustandes aber, die ganz von der Lokalität und so vielen andern zufälligen Umständen abhängen, der Rechnung zu unterwerfen, wird uns, wie gesagt, wohl immer unmöglich bleiben, und somit scheint auch die Kenntniss der jedesmaligen Refraction für eine einseitig beobachtete terrestrische Zenithdistanz a priori uns unerreichbar. — Vielleicht kann uns aber die eben erwähnte Aenderung in dem Zustande der Bilder, die mit der Aenderung der Refraction offenbar gleichen Schritt hält, auch *ein Maass* der letztern geben, und wenn dieses in der Natur bestätigt wäre, so hätten wir alles Erwünschte erreicht. Sobald ich diesen so natürlich sich darbietenden Gedanken gefasst hatte, schien es mir sehr wichtig, bei jeder Einstellung nach einem terrestrischen Objecte behufs der Zenithdistanzmessung den Zustand des Bildes desselben nach einer möglichst gleichmässigen Schätzung zu notiren, was ich mit einiger Uebung leicht und sicher erreichte. Ich hatte mir hierfür eine eigene Scale gemacht in folgender Ordnung, wie die Bilder an einem Nachmittage gewöhnlich sie darbieten: sehr unruhig, unruhig, etwas (wenig) unruhig, fast ruhig, ruhig, sehr ruhig; dann folgte in umgekehrter Reihe wieder: ruhig, fast ruhig, etwas unruhig, unruhig, und sehr unruhig<sup>\*)</sup>). Im Tagebuche findet man, mit Ausnahme der ersten Stationen, durchgängig diese Notirungen bei den Zenithdistanzen. Wichtig ist es nun, dass keine Verwechselung gleicher Zustände vor und nach der Ruhe der Bilder, welche von entgegengesetzten Ursachen herühren, und wo die Refractionen gänzlich verschieden sind, statt finde. Bei fortgesetztem Beobachten an einem Nachmittage, wo man den Uebergang der verschiedenen Zustände allmählig bemerk't, und bei Berücksichtigung der übrigen Umstände, als der Zeit und des etwa statt findenden Sonnenscheins oder bedeckten Himmels, ist jedoch eine solche Verwechselung nicht zu befürchten, und ich bin fast nie in dieser Hinsicht in Ungewissheit gewesen.

In dem mitgetheilten Tableau der Berechnung der gegenseitig gemessenen Zenithdistanzen findet man ausser den relativen Erhebungen der Signale und Basispunkte, auch noch die jedesmalige Refraction sowohl in Secunden ausgedrückt, als im Verhältniss zur geodätischen Distanz, die wir mit *C* bezeichnet haben. — Diese Refractionsionen können aber den an den Signalpunkten, an denen meine Beobachtungen angestellt sind, wirklich statt findenden unmöglich entsprechen, da die Lokalität und die übrigen Umstände an beiden Endpunkten zu verschieden waren, um die Hypothese der gleichen Krümmung der Refractionscurve an denselben zuzulassen. — Im Durchschnitte hatten die Hauptsignale eine etwas höhere Lage als die Basispunkte, daher findet man im Journale die Aenderung der Zenithdistanzen bei letzteren im Durchschnitte auch grösser, als an den ersteren. — Aus diesen Gründen schien es mir trüglich, auf diese durch gegenseitige Zenithdistanzen erhaltenen Refractionsionen irgend welche Schlüsse zu bauen. Dagegen werden die Mittel der Höhenunterschiede, bei denen vorzugsweise

---

<sup>\*)</sup> Ein anderer Beobachter wird diese Zustände vielleicht anders schätzen, und namentlich mag es befremdend erscheinen, dass ich noch einen Unterschied zwischen «ruhig» und «sehr ruhig» mache. Ich notirte ruhig alsdann, wenn das Object auf den ersten Anblick zwar ruhig erschien, bei genauerem Betrachten aber sich noch ein Minimum von Zittern wahrnehmen liess; gewöhnlich ist aber dieser Zustand den Zenithdistanzen dann beigelegt, wenn bei der Beobachtung in der einen Lage des Kreises «fast ruhig», in der andern «sehr ruhig» notirt ist. Diese Bemerkung gilt auch für die übrigen beobachteten Zustände.

nur die ruhigen Sätze berücksichtigt sind, gewiss schon der Wahrheit sehr nahe kommen, und daher als Fundament zu der Untersuchung aller Refractionen dienen können. — Diese Mittel zog ich mir also zunächst aus, und bildete durch Summirung je zweier derselben auch die schon sehr genäherten Höhenunterschiede zwischen den Hauptsignalen selbst. — Mit diesen Datis gab mir nun jede beobachtete Zenithdistanz sowohl der Basis-puncte ( $\beta$ ) als der in doppelter Entfernung gelegenen Hauptsignale ( $P$ ) einen Werth der Refraction, und somit erhielt ich eine Reihe von fast tausend Bestimmungen derselben, die durch ihre grosse Anzahl schon einiges Gewicht hat, und über die Gesetze der terrestrischen Refraction Einiges lehren kann. Die kleinen Fehler der zum Grunde gelegten, aus den gegenseitigen Zenithdistanzen bestimmten Höhenunterschiede müssen sich gleichfalls auf diese Anzahl fast vollkommen eliminiren. — Die Refractionsbestimmungen selbst, die ich aus den oben angegebenen Gründen nach dem beobachteten Zustande der Bilder, in die vorher erwähnten Rubriken (I. sehr unruhig, I. unruhig, I. etwas unruhig, I. fast ruhig, I. ruhig, — sehr ruhig, II. ruhig, II. fast ruhig, II. etwas unruhig, II. unruhig, II. sehr unruhig) brachte, findet man am Schlusse dieser Untersuchung, und ich gehe jetzt auf die nähere Erörterung derselben über.

Bekanntlich giebt die Theorie die irdische Strahlenbrechung, oder genauer ausgedrückt: die Abweichung der Tangente der, durch die Brechung in der Atmosphäre modifizirten Bahn des Lichtstrahls zwischen zweien Puncten der Erdoberfläche, von der die beiden Puncte verbindenden Geraden, an einem Endpuncte derselben, als einen aliquoten Theil der in Winkel ausgedrückten Entfernung beider Puncte; unter der Voraussetzung, dass die Atmosphäre aus concentrischen, nach dem Mariotteschen Gesetze von der Erdoberfläche aus gleichförmig an Dichte abnehmenden Kugelschichten bestehe. Es ist zu erwarten, dass dieser Ausdruck der Refraction mit der Natur wirklich übereinstimmt, sobald keine Störung der Brechungskraft der untern atmosphärischen Schichten durch irgend eine Ursache eintritt. Unter diesen Umständen muss dann auch, da der Lichtstrahl ungestört seinen Weg durchläuft, das Bild eines irdischen Gegenstandes in vollkommener Ruhe und Deutlichkeit, frei von dem sonst statt findenden Wallen erscheinen. — Die Beobachtungen, die bei diesem Zustande der Bilder gemacht und in die Rubrik «sehr ruhig» aufgenommen sind, werden uns daher diesen regelmässigen Zustand der Refraction näher kennen lehren. — 83 Beobachtungen der Basispuncte ( $\beta$ ) ergeben den Werth der Quantität, mit welcher die Winkelentferungen der Objecte zu multipliciren sind, um die Refraction derselben in Bogentheilen zu erhalten, oder den sogenannten *Refractionscoefficienten* = 0,0876 mit dem wahrscheinlichen Fehler 0,0019; 61 Beobachtungen der im Durchschnitte in doppelter Entfernung gelegenen Hauptsignale ( $P$ ) denselben = 0,0884 mit dem wahrscheinlichen Fehler 0,0013. Die Uebereinstimmung beider Bestimmungen aus einfacher und doppelter Distanz zeigt also, dass das durch die Theorie gegebene Gesetz der Proportionalität der Refraction und Entfernung in diesem Falle durch die Erfahrung vollkommen bestätigt wird.

Der so gefundene Werth des normalen Refractionscoefficienten 0,0880 ist beträchtlich grösser, als die von neuern Beobachtern dafür angegebenen Bestimmungen. So gibt mein hochverehrter Lehrer Struve in seiner Gradmessung \*) den Coefficienten 0,0619; Gauss \*\*) hat 0,0653 dafür erhalten; Bessel \*\*\*) 0,0685; Caraboeff \*\*\*\*) 0,0648. Am meisten nähert sich meiner Bestimmung die von Delambre †) bei der französischen Gradmessung gegebene 0,084. — Ich bemerke hiebei aber, dass die genannten Beobachter den Werth der Refraction nicht

\*) Breitengradmessung in den Ostseeprovinzen Russlands Bd. I. p. 187.

\*\*) Berliner Astronom. Jahrb. 1826.

\*\*\*) Gradmessung in Ostpreussen von Bessel und Bayer, p. 197.

\*\*\*\*) Mémoire sur les Operations Géodésiques des Pyrénées. Paris 1831.

†) Base du Système métrique.

ausschliesslich für den Zustand der regelmässigen Brechung der Atmosphäre geben, sondern als das Resultat aller ihrer Messungen, die im Durchschnitte in Zeiten angestellt sind, wo die immer etwas spät eintretende Ruhe der Bilder noch nicht statt fand, und wo die Refraction bekanntlich einen kleineren Werth hat. Struve bemerkt in seiner Gradmessung ausdrücklich, dass die Beobachtung der Zenitdistanzen in der Zeit angestellt ist, die der Ruhe der Bilder zunächst vorangeht, und dass alle späteren, näher dem Sonnenuntergang gelegenen Beobachtungen aus dieser Bestimmung ausgeschlossen sind. In der Besselschen Gradmessung finde ich gleichfalls die Beobachtungen der Zenithdistanzen mit wenigen Ausnahmen, entweder in den früheren Nachmittagsstunden angestellt, oder in den Vormittagsstunden, wo ebenfalls eine kleinere Refraction statt findet. In den übrigen Werken ist über die Beobachtungszeiten nichts näheres angegeben. Ich bemerke hier noch, dass meine Beobachtungen über die regelmässige Refraction ohne Ausnahme in den Nachmittagsstunden angestellt sind, wo die vollkommene Ruhe der Bilder, wie erwähnt wurde, ungefähr um  $\frac{2}{3}$  der Zeit zwischen Mittag und Sonnenuntergang eintritt, und bald kürzere, bald längere Zeit währt. Bei Sonnenschein und ungünstigem flachen Terrain fand ich die Dauer dieses Zustandes manchmal kaum  $\frac{1}{4}$  Stunde, während bei bedecktem Himmel derselbe bisweilen über 2 Stunden währte. In den Morgenstunden, bald nach Sonnenaufgang, trat zwar auch bisweilen ein kurzer Zustand der Ruhe der Bilder ein. Es wäre interessant, zu wissen, ob während dieses Zustandes der Ruhe derselbe Refractionscoefficient statt findet, wie während der Ruhe in den Nachmittagsstunden; da ich aber keine Beobachtungen aus dieser Zeit besitze, so kann ich darüber nichts bestimmen.

Die Uebereinstimmung der einzelnen bei vollkommener Ruhe der Bilder beobachteten Refractionen, mit den aus dem mittleren Normalcoefficienten 0,0880 für die jedesmalige Entfernung berechneten, ist eine sehr befriedigende. Die wahrscheinliche Abweichung einer einzelnen beobachteten Refraction finde ich aus den Beobachtungen der Basispunkte  $2''1$ ; aus den Signalbeobachtungen  $2''5$ . Dieses zeigt, dass bei dem Zustande der vollkommenen Ruhe der Bilder die Brechung der untern atmosphärischen Schichten wirklich eine sehr regelmässige und constante ist.

Der gefundene Refractionscoefficient 0,0880 gilt für einen mittleren Barometerstand von 27 Zoll 8,5 Linien Par. Maass und eine Temperatur von  $15^{\circ}$  R. Der Strenge nach hätte eigentlich jede beobachtete Refraction auf diesen mittleren Stand der meteorologischen Instrumente reducirt werden sollen. Bei der Kleinheit der Veränderungen des Barometers und Thermometers, und der geringen Entfernung der Beobachtungspunkte, waren aber diese Reductionen, die von den wahrscheinlichen Beobachtungsfehlern weit überwogen werden, zu vernachlässigen.

Was nun die übrigen Rubriken betrifft, nach denen die Refractionsbestimmungen geordnet sind; so ist es vorläufig allerdings nur eine Hypothese, dass bei gleichen Zuständen der Unruhe der Bilder auch gleiche Refractionen statt finden. Diese Hypothese ist indessen die einzige, welche die Umstände uns anzunehmen gestatten, die einzige, welche auch einem einzelnen Beobachter bei terrestrischen Höhenbestimmungen von Nutzen sein kann; und sie wird überdies, wie die Rechnung zeigt, durch die Erfahrung vollkommen bestätigt, indem die Beobachtungen, zumal in denen der Ruhe der Bilder zunächst gelegenen Rubriken, hiebei mit einer Ueber-einstimmung dargestellt werden, welche die wahrscheinlichen Fehler derselben nicht viel grösser ergiebt, als bei den regelmässigen Refractionen während der vollkommenen Ruhe der Bilder. Die wahrscheinlichen Fehler nehmen zwar bis zum «sehr unruhig» immer zu, doch dies bringt die Natur der Sache mit sich. Je stärker die Unruhe ist, desto grösser müssen die zufälligen Störungen der Refraction überhaupt sein, desto grösser werden auch schon die zufälligen Fehler der Einstellung \*).

---

\*) Wollte man versuchen, die Refractionen nach anderen Argumenten, z. B. Jahres- und Tageszeit, Sonnenschein und be-

Es fragt sich aber nun, wie gross die Veränderungen der Refraction bei den verschiedenen Zuständen der Unruhe der Bilder sind, und ob auch bei diesen Veränderungen das Gesetz der Proportionalität mit den Entfernungen statt findet. Wenn man annehmen könnte, dass die Ursachen, welche eine Veränderung der Refraction erzeugen, und welche allemal von einer Ungleichheit der Temperatur des Erdbodens und der unteren atmosphärischen Schichten hervorgehn, gleichfalls in einer mit der Atmosphäre concentrischen Kugelschicht wirkten, so wäre in der That gegen das Gesetz der Proportionalität zwischen der Veränderung der Refraction und der Entfernung nichts einzuwenden. Dieser Fall tritt z. B. bei der Refraction über eine Wasserfläche ein, welche man als ein Stück einer regelmässigen Kugelfläche ansehn kann. Da aber das feste Land in seinen einzelnen Theilen wohl nie so eben ist, dass es der regelmässigen sphärischen Krümmung einer Wasserfläche nur einigermassen nahe käme, so ist das obige Gesetz der Proportionalität in diesem Falle a priori wenigstens kein nothwendiges. Schon bei der Beobachtung der Zenithdistanzen selbst war es mir, wie ich am Eingange dieser Untersuchung erwähnte, auffallend, dass sich dieselben für Puncte in einfacher und doppelter Entfernung immer nahezu um dieselben Quantitäten änderten. Schon damals ahnte ich, dass die Veränderung der Refraction eine von der Entfernung unabhängige ist. Die Rechnung nun hat diese Vermuthung auf eine überraschende Weise bestätigt, und aus der Masse meiner Beobachtungen der terrestrischen Refraction folgt mit einem hohen Grade von Wahrscheinlichkeit das Gesetz: *dass für einen bestimmten Zustand der Unruhe der Bilder, die Veränderung der Refraction eine, von der Entfernung unabhängige, constante ist, so dass die jedesmalige Refraction  $\varrho$  sich durch die Formel*

$$\varrho = 0.0880 C + K$$

ausdrückt, in welcher  $K$  eine von dem jedesmaligen Zustande des Bildes allein, nicht aber von der Entfernung abhängige Grösse ist.— Dieses auf den ersten Anblick allerdings auffallende Resultat lässt sich auch noch durch folgende Betrachtung rechtfertigen. Unzweifelhaft hängt die Veränderung der Refraction hauptsächlich von der grössern oder geringern Entfernung des Lichtstrahls vom Erdboden in der nächsten Umgebung des Beobachters ab. Hierfür haben wir beim Beobachten vielfache Belege gehabt, und hieraus erklärt sich auch, warum die Veränderungen der Zenithdistanzen von den in der Regel flacher gelegenen Basispuncten aus gewöhnlich grösser beobachtet wurden, als von den meist höher gelegenen Signalen aus. Dies zugegeben, wird der Lichtstrahl, er mag aus grösserer oder geringerer Entfernung kommen, zuletzt eine nahezu gleiche Krümmung annehmen, und die Abweichung der Tangente dieser letzten Krümmung von der Tangente der regelmässigen Refractionscurve ist es eben, welche die Grösse der Veränderung der Refraction bedingt. Man kann sich letzteres auch noch auf folgende Art anschaulich machen. Bei geodätischen Operationen wählt man gewöhnlich für die Signale die erhabensten Stellen auf Hügeln oder flachen Rücken, so dass zwischen zwei Signalen in der Regel ein mehr oder weniger tiefes Thal zu liegen kommt. In der Mitte seines Weges wird also der Lichtstrahl, vom Erdboden am entferntesten, mehr eine regelmässige, den Gesetzen der Strahlenbrechung entsprechende Bahn durchlaufen, während er am Anfange und am Ende desselben mehr von der Einwirkung des Erdbodens affizirt wird. Die Aenderung nun, die er zuerst in seinem Wege erleidet, kann dem Beobachter am andern Endpunkte, wegen der Entfernung, nur sehr unbedeutend im Winkel erscheinen, während die letzte Aenderung in ihrem ganzen Win-

---

decktem Himmel zu rubriciren, so würde man bei weitem ungenügendere Resultate erhalten, denn diese Bedingungen, die im Allgemeinen wohl von Einfluss sind, werden von den localen Einflüssen so sehr überwogen, dass häufig bei ganz gleichen atmosphärischen Umständen und genau zur selben Tageszeit die Refractionen an verschiedenen Tagen und Stationen gänzlich verschieden sind, wovon die Beobachtungen hinlängliche Beweise geben. Die localen Einflüsse äussern sich aber eben so wie auf die Refraction auch auf den Zustand der Bilder, und letzterer ist immer das sicherste Argument der ersteren.

kelwerthe vom Beobachter wahrgenommen wird. — Man wird gegen das obige Gesetz vielleicht den Einwurf machen, dass hiernach auch Objecte in ganz geringer Entfernung vom Beobachter denselben Veränderungen in Bezug auf die Zenitdistanz unterworfen sein müssten, als die entfernten, was gewiss nicht mit der Erfahrung übereinstimmt. Hiergegen erinnere ich aber, dass ganz in der Nähe befindliche Gegenstände, wenn nicht etwa Object und Auge des Beobachters unmittelbar auf dem Erdboden liegen, überhaupt immer ruhig erscheinen, und dass das erwähnte Gesetz nur für einen bestimmten Zustand der Unruhe der Bilder gilt.

Ich lasse jetzt die Refractionsbestimmungen selbst folgen, sowohl nach den Signalen, als nach den Basis-puncten, geordnet nach den oben angeführten verschiedenen Zuständen der Bilder \*). Die Refractions der Basis-puncte sind in grösserer Anzahl vorhanden, weil die Signale aus Mangel an Zeit nicht in jedem Satze mitbeobachtet werden konnten. Die erste Columne bei beiden enthält die geodätische Entfernung in Secunden ausgedrückt,  $C$ ; die zweite die jedesmalige beobachtete Refraction,  $q$ ; die dritte die mit dem gefundenen Normal-coëfficienten 0,088 berechnete regelmässige Refraction; die vierte die Differenz zwischen der beobachteten und der normalen Refraction oder die Constante der Veränderung derselben,  $K$ ; die fünfte die mit dem Mittel der  $K$  nach der obigen Formel berechnete Refraction; die sechste endlich den Unterschied zwischen der beobachteten und der nach der Formel berechneten Refraction. Bei der Rubrik «sehr ruhig» fallen natürlich die vierte und fünfte Columne weg, da erstere im Mittel gleich 0 werden muss, letztere schon in der dritten Columne gegeben ist. Am Ende jeder Rubrik findet man: erstlich die wahrscheinliche Abweichung einer einzelnen beobachteten Refraction von der Formel, abgeleitet aus den Differenzen der beobachteten und berechneten Refractions, wobei es mir am natürlichsten schien, den einzelnen Beobachtungen gleiches Gewicht beizulegen; sodann das Mittel der einzelnen bestimmten Constanten der Refractionsänderung oder der  $K$ , mit seinem wahrscheinlichen Fehler. Die Uebereinstimmung dieser Mittel, aus den Signal- und Basisbeobachtungen abgeleitet, ist in der That sehr überraschend, und meist noch innerhalb ihrer wahrscheinlichen Fehler. Wäre das Gesetz der Proportionalität zwischen der Veränderung der Refraction und der Entfernung nur einigermassen wahr, so hätten diese Mittel aus den Signalbeobachtungen nahezu doppelt so gross ausfallen müssen, als aus den Basisbeobachtungen. Interessant ist ferner auch die nahe Uebereinstimmung der  $K$  für gleiche Zustände vor und nach der Ruhe der Bilder, natürlich mit entgegengesetzten Zeichen. Dieses zeigt, dass die Störungen, welche die regelmässige Refraction durch die früher genannten Einflüsse erleidet, sich gleichmässig auch in entsprechenden Störungen der Bilder äussern, und beweist somit gleichfalls die oben aufgestellte Hypothese, dass bei gleichen Zuständen der Bilder auch gleiche Refractions statt finden. — Endlich findet man am Ende jeder Rubrik noch den mittleren Refractionscoëfficienten berechnet durch: 
$$\frac{\text{Summe der beob. Refractions}}{\text{Summe der } C}.$$
 — Diese Coëfficienten fal-

len, wie man sieht, aus den Signal- und Basisbeobachtungen ganz verschieden aus, und ihre Änderung muss bei letztern natürlich viel grösser erscheinen, als bei ersteren, wenn die Veränderungen der Refraction von der Entfernung unabhängig sind. Um jedoch für die entgegengesetzte Hypothese der Proportionalität auch noch das letzte Mittel zu versuchen, berechnete ich mit diesen mittleren Coëfficienten die einzelnen Refractions in jeder Rubrik, und erhielt hiermit wahrscheinliche Fehler der Beobachtungen, welche die oben gefundenen ohne Ausnahme übertreffen, ungefähr um ein Drittheil, so dass das Gesetz der Unabhängigkeit der Veränderung der Re-

---

\*) Ich bemerke hiebei, dass bei diesen Bestimmungen die Zenitdistanzen der 13 ersten Stationen nicht mitgenommen sind, weil bei diesen ohnehin wenigen Beobachtungen des Jahres 1836 die Zustände der Bilder nicht so vollständig angegeben sind, da ich deren Wichtigkeit damals noch nicht ahnte.

fraction von der Entfernung, auch schon aus der Reihe der Signal- und Basisbeobachtungen für sich allein, als das wahrscheinlichere hervorgeht. — Noch bemerke ich, dass die Zahl der Beobachtungen vor der Ruhe der Bilder eine weit grössere ist, als nach der Ruhe. Dies röhrt zum Theil von der längeren Dauer der ersten Periode überhaupt her, theils daher, dass in den Sommermonaten, wo die meisten Beobachtungen gemacht sind, der Zustand der ruhigen Bilder im Durchschnitte länger dauerte, und wir uns in der Regel mit 3, selten 4 Sätzen begnügten, ohne die zweite Unruhe abzuwarten. Unser Hauptzweck war die Bestimmung der Höhe der Beobachtungspunkte; wäre es die der Refractionen gewesen, so hätte ich mich freilich bemüht, die Beobachtungen auf beide Zustände der Unruhe möglichst gleichmässig auszudehnen.

### I. Sehr unruhig.

#### Signalbeobachtungen.

C.	Beob. Refr. = $\rho$	0,088 C.	K.	Berechnete Refr. 0,088 C - 36",4	Differ. der beob. und berechn. Refr.	C.	Beob. Refr. = $\rho$	0,088 C.	K.	Berechnete Refr. 0,088 C - 43",4	Differ. der beob. und berechn. Refr.
189"	- 8,8	+ 16",7	- 25,5	- 19",4	+ 10",6	97"	- 28,5	+ 8",5	- 37",0	- 34",9	+ 6,4
201	- 24,1	17,7	- 41,8	- 18,4	- 5,7	71	- 47,7	6,1	- 53,8	- 37,3	- 10,4
296	- 16,0	26,1	- 42,1	- 10,0	- 6,0	100	- 45,9	8,8	- 54,7	- 34,6	- 11,3
256	- 12,5	22,6	- 35,1	- 13,5	+ 1,0	143	- 34,5	12,5	- 47,0	- 30,9	- 3,6
						156	- 34,9	13,7	- 48,6	- 29,7	- 5,2
						51	- 31,5	4,5	- 36,0	- 38,9	+ 7,4
						51	- 24,5	4,5	- 29,0	- 38,9	+ 14,4
						131	- 18,5	11,5	- 30,0	- 31,9	+ 13,4
						144	- 47,2	12,6	- 59,8	- 30,8	- 16,4
						105	- 35,7	9,2	- 44,9	- 34,2	- 1,5
						106	- 27,5	9,3	- 36,8	- 34,1	+ 6,6

wahrsch. Abw. einer Refr. v. d. Formel = 5",26.

Mittel der K = - 36,1 mit dem wahrsch. Fehler 3",2.

Im Mittel  $\rho = - 0,0652$  C.

#### Basisbeobachtungen.

w. Abw. einer Refr. v. d. Formel = 7",50.

Mittel der K = 43",4 mit d. w. F. 2",3.

Im Mittel  $\rho = - 0,3260$  C.

### I. Unruhig.

C.	Beob. Refr. = $\rho$	0,088 C.	K.	Berechnete Refr. 0,088 C - 24",4	Differ. der beob. und berechn. Refr.	C.	Beob. Refr. = $\rho$	0,088 C.	K.	Berechn. Refr. 0,088 C - 23",3	Differ. der beob. und berechn. Refr.
95"	- 23,6	+ 8,4	- 32,0	- 16,0	- 7,6	127"	- 10,0	+ 11,1	- 21,1	- 12,2	+ 2,2
308	+ 8,0	27,2	- 19,2	+ 2,8	+ 5,2	44	- 19,7	3,9	- 23,6	- 19,4	- 0,3
95	- 19,9	8,4	- 28,3	- 16,0	- 3,9	115	- 19,0	10,1	- 29,1	- 13,2	- 5,8
354	+ 5,0	31,2	- 26,2	+ 6,8	- 1,8	102	- 21,0	9,0	- 30,0	- 14,3	- 6,7
210	- 13,9	18,5	- 32,4	- 5,9	- 8,0	90	- 18,4	7,9	- 26,3	- 15,4	- 3,0
197	+ 4,1	17,4	- 13,3	- 7,0	+ 11,1	112	- 4,9	9,8	- 14,7	- 13,5	+ 8,6
145	- 15,2	12,8	- 28,0	- 11,6	- 3,6	72	- 11,7	6,1	- 17,8	- 17,2	+ 5,5
145	- 2,3	12,8	- 15,1	- 11,6	+ 9,3	174	- 9,3	15,3	- 24,6	- 8,0	- 1,3
272	- 0,4	24,0	- 24,4	- 0,4	0,0	167	- 9,8	14,6	- 24,4	- 8,7	- 1,1
238	+ 6,8	21,0	- 14,2	- 3,4	+ 10,2	183	- 3,1	16,1	- 19,2	- 7,2	+ 4,1
206	+ 3,1	18,2	- 15,1	- 6,2	+ 9,3	85	- 15,0	7,5	- 22,5	- 15,8	+ 0,8
326	+ 7,0	28,7	- 21,7	+ 4,3	+ 2,7	99	- 24,4	8,7	- 33,1	- 14,6	- 9,8

## I. Unruhig. (Fortsetzung.)

C.	Beob. Refr. = $\rho$ .	0,088 C.	K.	Berechnete Refr. 0,088 C - 24'' $\frac{1}{4}$	Differ. der beob. und berechn. Refr.	C.	Beob. Refr. = $\rho$	0,088 C.	K.	Berechn. Refr. 0,088 C - 23'' $\frac{3}{4}$	Differ. der beob. und berechn. Refr.
301''	- 16''2	+ 26''6	- 42''8	+ 2''2	- 18''4	108''	- 10''2	+ 9''5	- 19''7	- 13''8	+ 3''6
221	- 15,2	19,5	- 34,7	- 4,9	- 10,3	140	+ 3,7	12,3	- 8,6	- 11,0	+ 14,7
285	+ 6,4	25,1	- 19,0	+ 0,7	+ 5,4	108	- 7,9	9,5	- 17,4	- 13,8	+ 5,9
						128	- 0,7	11,2	- 11,9	- 12,1	+ 11,4
						189	- 6,6	16,6	- 23,2	- 6,7	+ 0,1
						39	- 18,4	3,4	- 21,8	- 19,9	+ 1,5
						97	- 7,9	8,5	- 16,4	- 14,8	+ 6,9
						78	- 22,6	6,8	- 29,4	- 16,5	- 6,1
						78	- 21,1	6,8	- 27,9	- 16,5	- 4,6
						87	- 19,0	7,6	- 26,6	- 15,7	- 3,3
						107	- 17,9	9,4	- 27,3	- 13,9	- 4,0
						102	- 34,8	9,0	- 43,8	- 14,3	- 20,5
						93	- 12,5	8,1	- 20,6	- 15,2	+ 2,7
						100	- 14,3	8,8	- 23,1	- 14,5	+ 0,2
						96	- 16,1	8,4	- 24,5	- 14,9	- 1,2
						85	- 19,5	7,5	- 27,0	- 15,8	- 3,7
						83	- 17,6	7,3	- 24,9	- 16,0	- 1,6
						92	- 17,7	8,0	- 25,7	- 15,3	- 2,4
						132	- 14,8	11,5	- 26,3	- 11,8	- 3,0

w. Abw. einer Refr. v. d. Formel = 6''01.  
Mittel der K. = - 24'' $\frac{1}{4}$  mit d. w. F. = 1''7.  
Im Mittel  $\rho = - 0,0196$  C.

w. Abw. einer Refr. v. d. Formel = 4''00.  
Mittel der K. = - 23'' $\frac{3}{4}$  mit d. w. F. = 0''72.  
Im Mittel  $\rho = - 0,1335$ .

## I. Etwas unruhig.

## Signalbeobachtungen.

## Basisbeobachtungen.

C.	Beob. Refr. = $\rho$ .	0,088 C.	K.	Berechnete Refr. 0,088 C - 14'' $\frac{1}{4}$	Differ. der beob. und berechn. Refr.	C.	Beob. Refr. = $\rho$	0,088 C.	K.	Berechnete Refr. 0,088 C - 14'' $\frac{1}{4}$	Differ. der beob. und berechn. Refr.
266''	- 3''4	+ 23''5	- 26''9	+ 9''4	- 12''8	103''	- 0''9	+ 9''0	- 9''9	- 5''1	+ 4''2
289	+ 2,3	25,5	- 23,2	+ 11,4	- 9,1	97	- 9,3	8,5	- 17,8	- 5,6	- 3,7
210	+ 3,2	18,5	- 15,3	+ 4,4	- 1,2	93	- 14,3	8,1	- 22,4	- 6,0	- 8,3
221	+ 8,7	19,5	- 10,8	+ 5,4	+ 3,3	67	- 10,3	5,9	- 16,2	- 8,2	- 2,1
197	+ 7,3	17,4	- 10,1	+ 3,3	+ 4,0	88	- 11,6	7,7	- 19,3	- 6,4	- 5,2
353	+ 17,9	31,1	- 13,2	+ 17,0	+ 0,9	43	- 5,2	3,8	- 9,0	- 10,3	+ 5,1
312	+ 16,2	27,5	- 11,3	+ 13,4	+ 2,8	143	- 8,8	12,5	- 21,3	- 1,6	- 7,2
308	+ 7,4	27,2	- 19,8	+ 13,1	- 5,7	101	- 12,2	8,9	- 21,1	- 5,2	- 7,0
312	+ 18,4	27,5	- 9,1	+ 13,4	+ 5,0	147	- 6,4	12,9	- 19,3	- 1,2	- 5,2
308	+ 20,8	27,5	- 6,7	+ 13,4	+ 7,4	199	- 5,0	17,4	- 22,4	+ 3,3	- 8,3
354	+ 23,4	31,2	- 7,8	+ 17,1	+ 6,3	142	+ 4,6	12,5	- 7,9	- 1,6	+ 6,2
167	+ 8,9	14,7	- 5,8	+ 0,6	+ 8,3	111	- 2,3	9,7	- 12,0	- 4,4	+ 2,1
197	- 0,8	17,4	- 18,2	+ 3,3	- 4,1	185	- 2,1	16,3	- 18,4	+ 2,2	- 4,3
240	+ 4,5	21,2	- 16,7	+ 7,1	- 2,6	169	+ 6,0	14,8	- 8,8	+ 0,7	+ 5,3
210	+ 3,9	18,5	- 14,6	+ 4,4	- 0,5	172	+ 2,1	15,1	- 13,0	+ 1,0	+ 1,1
45	+ 8,6	4,0	+ 4,6	- 10,1	+ 18,7	140	+ 0,9	12,3	- 11,4	- 1,8	+ 2,7
281	+ 9,5	24,8	- 15,3	+ 10,7	- 1,2	140	+ 1,1	12,3	- 11,2	- 1,8	+ 2,9
189	+ 6,7	16,7	- 10,0	+ 2,6	+ 4,1	180	+ 12,9	15,8	- 2,9	+ 1,7	+ 11,2
189	+ 3,2	16,7	- 13,5	+ 2,6	+ 0,6	172	+ 8,1	15,1	- 7,0	+ 1,0	+ 7,1

## I. Etwas unruhig. (Fortsetzung.)

C.	Beob. Refr. = $\rho$ .	0,088 C.	K.	Berechn. Refr. 0,088C - 14'',1.	Differ. der beob. und berechn. Refr.	C.	Beob. Refr. = $\rho$	0,088 C.	K.	Berech. Refr. 0,088C - 14'',1.	Differ. der beob. und berechn. Refr.	
239''	+	8,0	+	21,1	- 13,1	+	7,0	+	1,0	135''	+	1,4
258	+	19,8		22,8	- 3,0	+	8,7	+	11,1	67	-	4,6
190	+	6,9		16,8	- 9,9	+	2,7	+	4,2	100	-	6,1
188	+	4,8		16,6	- 11,8	+	2,5	+	2,3	100	-	0,8
293	+	9,9		25,8	- 15,9	+	11,7	-	1,8	97	-	2,6
238	+	9,7		21,0	- 11,3	+	6,9	+	2,8	192	+	5,6
293	+	15,1		25,8	- 10,7	+	11,7	+	3,4	72	-	8,4
154	+	1,4		13,6	- 12,2	-	0,5	+	1,9	127	+	6,6
313	+	6,0		27,6	- 21,6	+	13,5	-	7,5	127	+	5,7
167	+	2,0		14,7	- 12,7	+	0,6	+	1,4	154	-	0,5
204	-	1,8		18,0	- 19,8	+	3,9	-	5,7	27	-	3,2
201	-	3,8		17,7	- 21,5	+	3,6	-	7,4	127	-	3,7
201	-	4,5		17,7	- 22,2	+	3,6	-	8,1	51	-	13,6
215	+	1,6		19,0	- 17,4	+	4,9	-	3,3	131	-	2,5
246	+	1,9		21,7	- 19,8	+	7,6	-	5,7	128	+	6,3
111	-	5,6		9,8	- 15,4	-	4,3	-	1,3	128	+	6,1
111	-	2,9		9,8	- 12,7	-	4,3	+	1,4	140	+	7,3
155	-	2,3		13,7	- 16,0	-	0,4	-	1,9	127	-	1,9
197	-	4,4		17,4	- 21,8	+	3,3	-	7,7	138	+	8,8
190	+	4,6		16,8	- 12,2	+	2,7	+	1,9	138	+	6,2
282	+	1,7		24,8	- 23,1	+	10,7	-	9,0	128	+	2,4
231	+	10,2		20,4	- 10,2	+	6,3	+	3,9	91	-	2,8
285	+	10,0		25,1	- 15,1	+	11,0	-	1,0	91	-	0,4
231	+	10,8		20,4	- 9,6	+	6,3	+	4,5	120	+	2,8
285	+	9,6		25,1	- 15,5	+	11,0	-	1,4	73	-	4,0
										73	-	4,0
										107	-	10,4
										96	-	3,7
										155	-	6,6
										37	-	17,5
										189	+	0,6
										91	+	3,9
										91	+	1,2
										77	-	10,3
										138	-	3,7
										79	-	9,1
										105	-	10,7
										144	-	15,2
										116	-	3,7
										103	+	1,0
										90	-	3,4
										107	-	9,2
										94	-	10,6
										108	-	11,0
										138	-	5,4
										139	-	7,9
										118	-	14,3
										87	-	6,2
										57	-	3,9
										119	-	7,2
										88	+	1,1
										132	-	8,8
										126	-	5,0

w. Abw. einer Refr. v. d. Formel = 3'',84.  
Mittel der K - 14'',1 mit d. w. Fehler = 0'',58.  
Im Mittel  $\rho = + 0,0272$  C.

## I. Etwas unruhig. (Fortsetzung.)

C.	Beob. Refr. = $\rho$ .	0,088 C.	K.	Berechnete Refr. 0,088 C. - 9'',2.	Differ. der beob. und berechn. Refr.
150''	- 5,2	+ 13'',1	- 18'',3	- 1'',0	- 4'',2
134	- 12,0	11,7	- 23,7	- 2,4	- 9,6
126	- 21,7	11,0	- 32,7	- 3,1	- 18,6
99	- 3,8	8,7	- 12,5	- 5,4	+ 1,6
158	- 7,5	13,9	- 21,4	- 0,2	- 7,3
42	- 4,8	3,7	- 8,5	- 10,4	+ 5,6
99	- 13,9	8,7	- 22,6	- 5,4	- 8,5
69	- 3,0	6,0	- 9,0	- 8,1	+ 5,1
83	- 8,0	7,3	- 15,3	- 6,8	- 1,2
92	- 9,3	8,0	- 17,3	- 6,1	- 3,2
116	- 13,8	10,2	- 24,0	- 3,9	- 9,9
103	- 5,8	9,1	- 14,9	- 5,0	- 0,8
146	- 10,6	12,8	- 23,4	- 1,3	- 9,3
108	- 8,0	9,5	- 17,5	- 4,6	- 3,4
120	- 6,3	10,5	- 16,8	- 3,6	- 2,7
142	- 1,7	12,5	- 14,2	- 1,6	- 0,1
82	- 2,2	7,2	- 9,4	- 6,9	+ 4,7

w. Abw. einer Refr. v. d. Formel = 4'',33.  
Mittel der K = - 14'',1 mit d. w. Fehler = 0'',46.  
Im Mittel  $\rho$  = - 0,0360 C.

## I. Fast ruhig.

## Signalbeobachtungen.

## Basisbeobachtungen.

C.	Beob. Refr. = $\rho$ .	0,088 C.	K.	Berechnete Refr. 0,088 C. - 9'',2.	Differ. der beob. und berechn. Refr.	C.	Beob. Refr. = $\rho$ .	0,088 C.	K.	Berechn. Refr. 0,088 C. - 9'',5.	Differ. der beob. und berechn. Refr.
229''	+ 16,1	+ 20'',2	- 4,1	+ 11'',0	+ 5,1	127''	+ 8,9	+ 11'',1	- 2'',2	+ 1'',6	+ 7'',3
371	+ 20,4	32,0	- 11,6	+ 22,8	- 2,4	74	- 9,3	6,3	- 15,6	- 3,2	- 6,1
266	+ 4,6	23,5	- 18,9	+ 14,3	- 9,7	134	+ 2,4	11,7	- 9,3	+ 2,2	+ 0,2
210	+ 5,6	18,5	- 12,9	+ 9,3	- 3,7	148	- 1,5	13,0	- 14,5	+ 3,5	- 5,0
289	+ 10,4	25,5	- 15,1	+ 16,3	- 5,9	121	+ 8,1	10,6	- 2,5	+ 1,1	+ 7,0
177	+ 3,3	15,6	- 12,3	+ 6,4	- 3,1	120	+ 0,5	10,5	- 10,0	+ 1,0	- 0,5
218	+ 0,7	19,2	- 18,5	+ 10,0	- 9,3	143	+ 1,1	12,5	- 11,4	+ 3,0	- 1,9
218	+ 13,2	19,2	- 6,0	+ 10,0	+ 3,2	187	+ 5,1	16,4	- 11,3	+ 6,9	- 1,8
296	+ 8,8	26,1	17,3	+ 16,9	- 8,1	112	- 9,5	9,8	- 19,3	+ 0,3	- 9,8
228	+ 13,7	20,1	- 6,4	+ 10,9	+ 2,8	90	- 7,3	7,9	- 15,2	- 1,6	- 5,7
155	+ 10,1	13,7	- 3,6	+ 4,5	+ 5,6	156	- 7,9	13,7	- 21,6	+ 4,2	- 12,1
210	+ 12,0	18,5	6,5	+ 9,3	+ 2,7	106	+ 2,4	9,3	- 6,9	- 0,2	+ 2,6
221	+ 15,4	19,5	- 4,1	+ 10,3	+ 5,1	87	+ 0,2	7,6	- 7,4	- 1,9	+ 2,1
197	+ 14,0	17,4	- 3,4	+ 8,2	+ 5,8	137	+ 3,6	12,0	- 8,4	+ 2,5	+ 1,1
221	+ 17,5	19,5	- 2,0	+ 10,3	+ 7,2	199	+ 1,8	17,4	- 15,6	+ 7,9	- 6,1
353	+ 21,6	31,1	- 9,5	+ 21,9	- 0,3	87	+ 0,6	7,6	- 7,0	- 1,9	+ 2,5
308	+ 20,1	27,2	- 7,1	+ 18,0	+ 2,1	112	+ 4,1	9,8	- 5,7	+ 0,3	+ 3,8
354	+ 19,9	31,2	- 11,3	+ 22,0	- 2,1	112	+ 10,2	9,8	+ 0,4	+ 0,3	+ 9,9
287	+ 20,9	25,3	- 4,4	+ 16,1	+ 4,8	112	+ 1,7	9,8	- 8,1	+ 0,3	+ 1,4
287	+ 14,1	25,3	- 11,2	+ 16,1	- 2,0	111	+ 0,1	9,7	- 9,6	+ 0,2	- 0,1
272	+ 15,8	24,0	- 8,2	+ 14,8	+ 1,0	56	- 3,1	5,0	- 8,1	- 4,5	+ 1,4

## I. Fast ruhig. (Fortsetzung.)

C.	Beob. Refr. = $\rho$ .	0,088 C.	K.	Berechn. Refr. 0,088 C. - 9'' <sup>2</sup>	Differ. der beob. und berechn. Refr.	C.	Beob. Refr. = $\rho$ .	0,088 C.	K.	Berechn. Refr. 0,088 C. - 9' <sup>2</sup>	Differ. der beob. und berechn. Refr.
272''	+ 16,5	+ 24,0	- 7,5	+ 14,8	+ 1,7	169''	+ 7,8	+ 14,8	- 7,0	+ 5,3	+ 2,5
167	+ 12,2	14,7	- 2,5	+ 5,5	+ 6,7	172	+ 6,4	15,1	- 8,7	+ 5,6	+ 0,8
272	+ 17,2	24,0	- 6,8	+ 14,8	+ 2,4	140	+ 2,9	12,3	- 9,4	+ 2,8	+ 0,1
167	+ 11,0	14,7	- 3,7	+ 5,5	+ 5,5	140	+ 3,6	12,3	- 8,7	+ 2,8	+ 0,8
197	+ 6,3	17,4	- 11,1	+ 8,2	- 1,9	72	- 5,2	6,1	- 11,3	- 3,4	- 1,8
197	+ 11,0	17,4	- 6,4	+ 8,2	+ 2,8	174	+ 3,4	15,3	- 11,9	+ 5,8	- 2,4
273	+ 13,2	24,1	- 10,9	+ 14,9	- 1,7	97	+ 2,8	8,5	- 5,7	- 1,0	+ 3,8
273	+ 18,6	24,1	- 5,5	+ 14,9	+ 3,7	135	+ 4,8	11,8	- 7,0	+ 2,3	+ 2,5
273	+ 17,1	24,1	- 7,0	+ 14,9	+ 2,2	189	+ 10,6	16,6	- 6,0	+ 7,1	+ 3,5
256	+ 8,4	22,6	- 14,2	+ 13,1	- 5,0	67	- 0,7	5,9	- 6,6	- 3,6	+ 2,9
240	+ 13,5	21,2	- 7,7	+ 12,0	+ 1,5	137	+ 8,6	12,0	- 3,4	+ 2,5	+ 6,1
175	+ 11,4	15,4	- 4,0	+ 6,2	+ 5,2	100	+ 4,9	8,8	- 3,9	- 0,7	+ 5,6
175	+ 10,3	15,4	- 5,1	+ 6,2	+ 4,1	82	- 2,9	7,2	- 10,1	- 2,3	- 0,6
290	+ 15,5	25,6	- 10,1	+ 16,4	- 0,9	82	- 0,7	7,2	- 7,9	- 2,3	+ 1,6
290	+ 15,0	25,6	- 10,6	+ 16,4	- 1,4	97	+ 2,8	8,5	- 5,7	- 1,0	+ 3,8
149	+ 6,6	13,8	- 7,2	+ 4,6	+ 2,0	97	+ 3,1	8,5	- 5,4	- 1,0	+ 4,1
210	+ 10,8	18,5	- 7,7	+ 9,3	+ 1,5	167	- 0,1	14,6	- 14,7	+ 5,1	- 5,2
280	+ 21,6	24,7	- 3,1	+ 15,5	+ 6,1	72	- 1,4	6,2	- 7,6	- 3,3	+ 1,9
45	+ 3,0	4,0	- 1,0	- 5,2	+ 8,2	81	- 0,6	7,1	- 7,7	- 2,4	+ 1,8
280	+ 22,3	24,7	- 2,4	+ 15,5	+ 6,8	183	+ 10,1	16,1	- 6,0	+ 6,6	+ 3,5
45	- 1,5	4,0	- 5,5	- 5,2	+ 3,7	85	- 1,0	7,5	- 8,5	- 2,0	+ 1,0
281	+ 18,5	24,8	- 6,3	+ 15,6	+ 2,9	99	- 1,4	8,7	- 10,1	- 0,8	- 0,6
281	+ 19,6	24,8	- 5,2	+ 15,6	+ 4,0	108	+ 0,6	9,5	- 8,9	0,0	+ 0,6
278	+ 12,3	24,5	- 12,2	+ 15,3	- 3,0	72	- 4,2	6,1	- 10,3	- 3,4	- 0,8
254	+ 23,0	22,4	+ 0,6	+ 13,2	+ 9,8	53	+ 4,8	4,7	+ 0,1	- 4,8	+ 9,6
254	+ 15,2	22,4	- 7,2	+ 13,2	+ 2,0	152	- 0,7	13,3	- 14,0	+ 3,8	- 4,5
280	+ 14,5	24,7	- 10,2	+ 15,5	- 1,0	19	- 4,5	1,7	- 6,2	- 7,8	+ 3,3
258	+ 14,0	22,8	- 8,8	+ 13,6	+ 0,4	19	- 3,6	1,7	- 5,3	- 7,8	+ 4,2
239	+ 9,2	21,1	- 11,9	+ 11,9	- 2,7	127	+ 5,1	11,1	- 6,0	+ 1,6	+ 3,5
190	+ 7,4	16,8	- 9,4	+ 7,6	- 0,2	154	+ 1,8	13,5	- 11,7	+ 4,0	- 2,2
370	+ 24,7	32,6	- 7,9	+ 23,4	+ 1,3	154	- 1,4	13,5	- 14,9	+ 4,0	- 5,4
370	+ 26,0	32,6	- 6,6	+ 23,4	+ 2,6	27	- 1,9	2,3	- 4,2	- 7,2	+ 5,3
193	+ 9,0	17,1	- 8,1	+ 7,9	+ 1,1	147	+ 2,3	12,9	- 10,6	+ 3,4	- 1,1
193	+ 11,8	17,1	- 5,3	+ 7,9	+ 3,9	140	+ 6,4	12,3	- 5,9	+ 2,8	+ 3,6
75	+ 3,4	6,6	- 3,2	- 2,6	+ 6,0	108	+ 0,3	9,5	- 9,2	0,0	+ 0,3
75	- 7,0	6,6	- 13,6	- 2,6	- 4,4	108	0,0	9,5	- 9,5	0,0	0,0
238	+ 18,0	21,0	- 3,0	+ 11,8	+ 6,2	127	+ 5,3	11,1	- 5,8	+ 1,6	+ 3,7
206	+ 13,0	18,2	- 5,2	+ 9,0	+ 4,0	127	- 0,1	11,1	- 11,2	+ 1,6	- 1,7
238	+ 9,9	21,0	- 11,1	+ 11,8	- 1,9	138	+ 1,5	12,1	- 10,6	+ 2,6	- 1,1
293	+ 18,0	25,8	- 7,8	+ 16,6	+ 1,4	128	+ 5,8	11,2	- 5,4	+ 1,7	+ 4,1
282	+ 23,2	24,9	- 1,7	+ 15,7	+ 7,5	120	+ 7,5	10,5	- 3,0	+ 1,0	+ 6,5
154	+ 4,2	13,6	- 9,4	+ 4,4	- 0,2	188	+ 1,2	16,5	- 15,3	+ 7,0	- 5,8
154	+ 16,4	13,6	+ 2,8	+ 4,4	+ 12,0	188	+ 1,0	16,5	- 15,5	+ 7,0	- 6,0
326	+ 25,3	28,8	- 3,5	+ 19,6	+ 5,7	189	+ 5,2	16,6	- 11,4	+ 7,1	- 1,9
418	+ 27,6	36,9	- 9,3	+ 27,7	- 0,1	107	+ 4,9	9,4	- 4,5	- 0,1	+ 5,0
418	+ 30,8	36,9	- 6,1	+ 27,7	+ 3,1	96	+ 0,4	8,4	- 8,0	- 1,1	+ 1,5
418	+ 24,1	36,9	- 12,8	+ 27,7	- 3,6	181	+ 9,5	15,9	- 6,4	+ 6,4	+ 3,1
313	+ 24,8	27,6	- 2,8	+ 18,4	+ 6,4	39	- 6,1	3,4	- 9,5	- 6,1	0,0
313	+ 2,9	27,6	- 24,7	+ 18,4	- 15,5	155	+ 2,4	13,6	- 11,2	+ 4,1	- 1,7
248	+ 5,0	21,9	- 16,9	+ 12,7	- 7,7	155	+ 4,5	13,6	- 18,1	+ 4,1	- 8,6
204	+ 7,6	18,0	- 10,4	+ 8,8	- 1,2	37	- 11,0	3,2	- 14,2	- 6,3	- 4,7
216	+ 4,1	19,0	- 14,9	+ 9,8	- 5,7	77	- 3,7	6,7	- 10,4	- 2,8	0,9
201	+ 6,9	17,7	- 10,8	+ 8,5	- 1,6	138	- 0,4	12,1	- 12,5	+ 2,6	- 3,0

## I. Fast ruhig. (Fortsetzung.)

C.	Beob. Refr. = $\rho$ .	0,088 C.	K.	Berechn. Ref. 0,088 C. - 9'',2.	Differ. der beob und berechn. Refr.	C.	Beob. Refr. = $\rho$ .	0,088 C.	K.	Berechn. Ref. 0,088 C. - 9'',5.	Differ. der beob. und berechn. Refr.
216''	+ 3'',6	+ 19'',0	- 15'',4	+ 9'',8	- 6'',2	77''	+ 7'',7	+ 6'',7	+ 1'',0	- 2'',8	+ 10'',5
216	+ 4,5	19,0	- 14,5	+ 9,8	- 5,3	202	+ 5,7	17,7	- 12,0	+ 8,2	- 2,5
184	+ 8,1	16,2	- 8,1	+ 7,0	+ 1,1	190	+ 12,2	16,7	- 4,5	+ 7,2	+ 5,0
215	+ 3,6	18,9	- 15,3	+ 9,7	- 6,1	87	- 7,0	7,6	- 14,6	- 1,9	- 5,1
223	+ 10,6	19,7	- 9,1	+ 10,5	+ 0,1	217	+ 5,1	19,0	- 13,9	+ 9,5	- 4,4
173	+ 5,0	15,3	- 10,3	+ 6,1	- 1,1	217	+ 1,0	19,0	- 18,0	+ 9,5	- 8,5
173	+ 6,8	15,3	- 8,5	+ 6,1	+ 0,7	227	- 2,2	19,9	- 22,1	+ 10,4	- 12,6
250	+ 10,7	22,0	- 11,3	+ 12,8	- 2,1	227	+ 1,9	19,9	- 18,0	+ 10,4	- 8,5
265	+ 19,7	23,4	- 3,7	+ 14,2	+ 5,5	158	+ 10,0	13,9	- 3,9	+ 4,4	+ 5,6
260	+ 13,4	23,0	- 9,6	+ 13,8	- 0,4	89	+ 0,2	7,8	- 7,6	- 1,7	+ 1,9
220	- 1,7	19,4	- 21,1	+ 10,2	- 11,9	145	+ 2,9	12,7	- 9,8	+ 3,2	- 0,3
211	- 0,4	18,6	- 19,0	+ 9,4	- 9,8	145	+ 1,9	12,7	- 10,8	+ 3,2	- 1,3
128	+ 0,8	11,3	- 10,5	+ 2,1	- 1,3	116	- 2,6	10,2	- 12,8	+ 0,7	- 3,3
128	+ 4,5	11,3	- 6,8	+ 2,1	+ 2,4	116	- 0,9	10,2	- 11,1	+ 0,7	- 1,6
168	+ 10,6	14,8	- 4,2	+ 5,6	+ 5,0	106	- 7,5	9,3	- 16,8	- 0,2	- 7,3
360	+ 17,6	31,7	- 14,1	+ 22,5	- 4,9	109	- 3,3	9,6	- 12,9	+ 0,1	- 3,4
360	+ 17,0	31,7	- 14,7	+ 22,5	- 5,5	94	- 2,5	8,2	- 10,7	- 1,3	- 1,2
111	+ 5,9	9,8	- 3,9	+ 0,6	+ 5,3	90	+ 6,8	7,9	- 1,1	- 1,6	+ 8,4
111	+ 4,3	9,8	- 5,5	+ 0,6	+ 3,7	107	- 2,1	9,4	- 11,5	- 0,1	- 2,0
235	+ 15,7	20,7	- 5,0	+ 11,5	+ 4,2	107	- 3,8	9,4	- 13,2	- 0,1	- 3,7
155	+ 7,0	13,7	- 6,7	+ 4,5	+ 2,5	94	- 2,5	8,2	- 10,7	- 1,3	- 1,2
197	+ 5,9	17,4	- 11,5	+ 8,2	- 2,3	108	0,0	9,5	- 9,5	0,0	0,0
197	+ 5,5	17,4	- 11,9	+ 8,2	- 2,7	128	- 3,6	11,2	- 14,8	+ 1,7	- 5,3
166	+ 1,3	14,6	- 13,3	+ 5,4	- 4,1	139	+ 2,5	12,2	- 9,7	+ 2,7	- 0,2
166	+ 2,4	14,6	- 12,2	+ 5,4	- 3,0	108	+ 3,1	9,5	- 6,4	0,0	+ 3,1
192	+ 4,7	17,0	- 12,3	+ 7,8	- 3,1	129	+ 9,8	11,3	- 1,5	+ 1,8	+ 8,0
221	+ 10,8	19,5	- 8,7	+ 10,3	+ 0,5	119	- 4,6	10,4	- 15,0	+ 0,9	- 5,5
221	+ 6,4	19,5	- 13,1	+ 10,3	- 2,9	88	+ 2,6	7,7	- 5,1	- 1,8	+ 4,4
214	+ 2,7	18,9	- 16,2	+ 9,7	- 7,0	116	- 1,3	10,1	- 11,4	+ 0,6	- 1,9
314	+ 11,3	27,7	- 16,4	+ 18,5	- 7,2	126	- 1,5	11,1	- 12,6	+ 1,6	- 3,1
367	+ 7,0	31,1	- 24,1	+ 21,9	- 14,9	150	+ 7,7	13,1	- 5,4	+ 3,6	+ 4,1
190	+ 6,8	16,8	- 10,0	+ 7,6	- 0,8	96	- 7,3	8,5	- 15,8	- 1,0	- 6,3
282	+ 10,8	24,9	- 14,1	+ 15,7	- 4,9	61	- 8,3	5,4	- 13,7	4,1	- 4,2
302	+ 20,2	26,6	- 6,4	+ 17,4	+ 2,8	112	+ 1,0	9,8	- 8,8	+ 0,3	+ 0,7
314	+ 15,6	27,7	- 12,1	+ 18,5	- 2,9	158	- 1,5	13,9	- 15,4	+ 4,4	- 5,9
314	+ 15,9	27,7	- 11,8	+ 18,5	- 2,6	68	+ 0,6	6,0	- 5,4	- 3,5	+ 4,1
231	+ 12,1	20,3	- 8,2	+ 11,1	+ 1,0	218	+ 1,4	19,1	- 17,7	+ 9,6	- 8,2
285	+ 13,6	25,2	- 11,6	+ 16,0	- 2,4	82	- 0,6	7,2	- 7,8	- 2,3	+ 1,7
285	+ 16,6	25,2	- 8,6	+ 16,0	+ 0,6	42	+ 1,4	3,7	- 2,3	- 5,8	+ 7,2
						142	- 0,7	12,4	- 13,1	+ 2,9	- 3,6
						99	- 2,4	8,7	- 11,1	- 0,8	- 1,6
						69	+ 1,5	6,1	- 4,6	- 3,4	+ 4,9
						140	+ 2,7	12,3	- 9,6	+ 2,8	- 0,1
						92	- 4,1	8,0	- 12,1	- 1,5	- 2,6
						76	+ 0,2	6,6	- 6,4	- 2,9	- 3,1
						65	+ 2,3	5,7	- 3,4	- 3,8	+ 6,1
						107	- 0,1	9,5	- 9,6	0,0	- 0,1
						107	- 4,3	9,5	- 13,8	0,0	- 4,3
						48	+ 0,3	4,2	- 3,9	- 5,3	+ 5,6
						102	- 1,7	9,0	- 10,7	- 0,5	- 1,2
						118	+ 0,3	10,3	- 10,0	+ 0,8	- 0,5
						118	- 2,5	10,3	- 12,8	+ 0,8	- 3,3
						144	+ 0,1	12,6	- 12,5	+ 3,1	- 3,0

w. Abw. einer Refr. v. d. Formel = 3'',34.

Mittel der K. = - 9'',2 mit d. w. F. 0'',31.

Im Mittel  $\rho = + 0,0497$  C.

## I. Fast ruhig. (Fortsetzung.)

C.	Beob. Refr. = $\rho$ .	0,088 C.	K.	Berechn. Refr. 0,088 C - 9'',5	Differ. der beob. und berechn. Refr.
116''	- 3,9	+ 10,1	- 14,0	+ 0,6	- 4,5
103	+ 1,6	9,1	- 7,5	- 0,4	+ 2,0
174	+ 7,5	15,3	- 6,8	+ 5,8	+ 1,7
175	+ 4,9	15,4	- 10,5	+ 5,9	- 1,0
175	- 1,3	15,4	- 16,7	+ 5,9	- 7,2
92	- 2,0	8,1	- 10,1	- 1,4	- 0,6
140	- 0,6	12,3	- 12,9	+ 2,8	- 3,4
105	+ 1,3	9,3	- 8,0	- 0,2	+ 1,5
134	+ 2,6	11,7	- 9,1	+ 2,2	+ 0,4
227	+ 10,6	19,9	- 9,3	+ 10,4	+ 0,2
142	+ 3,7	12,5	- 8,8	+ 3,0	+ 0,7
82	+ 3,3	7,2	- 3,9	- 2,3	+ 5,6
121	+ 4,1	10,6	- 6,5	+ 1,1	+ 3,0
129	+ 5,9	11,3	- 5,4	+ 1,8	+ 4,1
118	+ 2,3	10,3	- 8,0	+ 0,8	+ 1,5

w. Abw. einer Refr. v. d. Formel  $= 2'',96$ .  
Mittel der K.  $= 9'',5$  mit d. w. F.  $0'',25$ .  
Im Mittel  $\rho = + 0,0086$  C.

## I. Ruhig.

## Signalbeobachtungen.

## Basisbeobachtungen.

C.	Beob. Refr. = $\rho$ .	0,088 C.	K.	Berechnete Refr. 0,088 C - 4'',0	Differ. der beob. und berechn. Refr.	C.	Beob. Refr. = $\rho$ .	0,088 C.	K	Berechnete Refr. 0,088 C - 4'',0	Differ. der beob. und berechn. Refr.
141''	+ 6,6	+ 12,4	- 5,8	+ 8,4	- 1,8	93''	- 3,5	+ 8,1	- 11,6	+ 4,1	- 7,6
189	+ 5,2	16,7	- 11,5	+ 12,7	- 7,5	67	+ 3,2	5,9	- 2,7	+ 1,9	+ 1,3
266	+ 21,6	23,5	- 1,9	+ 19,5	+ 2,1	121	+ 2,1	10,6	- 8,5	+ 6,6	- 4,5
210	+ 7,2	18,5	- 11,3	+ 14,5	- 7,3	120	+ 3,5	10,5	- 7,0	+ 6,5	- 3,0
145	+ 3,7	12,8	- 9,1	+ 8,8	- 5,1	102	+ 0,8	9,0	- 8,2	+ 5,0	- 4,2
272	+ 26,6	24,0	+ 2,6	+ 20,0	+ 6,6	90	+ 0,7	7,9	- 7,2	+ 3,9	- 3,2
272	+ 17,9	24,0	- 6,1	+ 20,0	- 2,1	187	+ 11,4	16,4	- 5,0	+ 12,4	- 1,0
228	+ 16,3	20,1	- 3,8	+ 16,1	+ 0,2	124	+ 5,1	10,9	- 5,8	+ 6,9	- 1,8
231	+ 15,5	20,4	- 4,9	+ 16,4	- 0,9	124	+ 5,4	10,9	- 5,5	+ 6,9	- 1,5
155	+ 8,9	13,7	- 4,8	+ 9,7	- 0,8	124	+ 8,2	10,9	- 2,7	+ 6,9	+ 1,3
155	+ 15,5	20,4	- 4,9	+ 16,4	- 0,9	140	+ 14,0	12,3	+ 1,7	+ 8,3	+ 5,7
231	+ 11,9	13,7	- 1,8	+ 9,7	+ 2,2	140	+ 17,6	12,3	+ 5,3	+ 8,3	+ 9,3
155	+ 12,5	13,7	- 1,2	+ 9,7	+ 2,8	95	+ 7,5	8,3	- 0,8	+ 4,3	+ 3,2
210	+ 15,2	18,5	- 3,3	+ 14,5	+ 0,7	87	+ 1,0	7,6	- 6,6	+ 3,6	- 2,6
210	+ 21,9	18,5	+ 3,4	+ 14,5	+ 7,4	87	+ 5,1	7,6	- 2,5	+ 3,6	+ 1,5
221	+ 22,7	19,5	+ 3,2	+ 15,5	+ 7,2	87	+ 5,5	7,6	- 2,1	+ 3,6	+ 1,9
197	+ 20,0	17,4	+ 2,6	+ 13,4	+ 6,6	137	+ 7,2	12,0	- 4,8	+ 8,0	- 0,8
353	+ 31,1	31,1	0,0	+ 27,1	+ 4,0	137	+ 9,7	12,0	- 2,3	+ 8,0	+ 1,7
287	+ 23,9	25,3	- 1,4	+ 21,3	+ 2,6	87	+ 6,5	7,6	- 1,1	+ 3,6	+ 2,9
287	+ 23,5	25,3	- 1,8	+ 21,3	+ 2,2	112	+ 9,5	9,8	- 0,3	+ 5,8	+ 3,7
272	+ 19,8	24,0	- 4,2	+ 20,0	- 0,2	112	+ 6,4	9,8	- 3,4	+ 5,8	+ 0,6
167	+ 12,4	14,7	- 2,3	+ 10,7	+ 1,7	142	+ 16,6	12,4	+ 4,2	+ 8,4	+ 8,2
273	+ 19,0	24,1	- 5,1	+ 20,1	- 1,1	172	+ 12,0	15,1	- 3,1	+ 11,1	+ 0,9
173	+ 11,2	15,2	- 4,0	+ 11,2	0,0	97	+ 4,9	8,5	- 3,6	+ 4,5	+ 0,4

## I. Ruhig. (Fortsetzung.)

C.	Beob. Refr. = $\rho$	0,033 C.	K.	Berechn. Refr. 0,038 C - 4' 0	Differ. der beob. und berechn. Refr.	C.	Beob. Refr. = $\rho$	0,033 C.	K.	Berechnete Refr. 0,038 C - 4", 0	Differ. der beob. und berechn. Refr.
173"	+ 12", 0	+ 15", 2	- 3", 2	+ 11", 2	+ 0", 8	123"	+ 12", 1	+ 10", 8	+ 1", 3	+ 6", 8	+ 5", 3
175	+ 11, 5	15, 4	- 3, 9	+ 11, 4	+ 0, 1	135	+ 14, 1	11, 8	+ 2, 3	+ 7, 8	+ 6, 3
290	+ 16, 0	25, 6	- 9, 6	+ 21, 6	- 5, 6	189	+ 11, 6	16, 6	- 5, 0	+ 12, 6	- 1, 0
290	+ 22, 0	25, 6	- 3, 6	+ 21, 6	+ 0, 4	137	+ 13, 8	12, 0	+ 1, 8	+ 8, 0	+ 5, 8
149	+ 8, 2	13, 8	- 5, 6	+ 9, 8	- 1, 6	82	+ 0, 6	7, 2	- 6, 6	+ 3, 2	+ 2, 6
149	+ 11, 1	13, 8	- 2, 7	+ 9, 8	+ 1, 3	100	- 0, 8	8, 8	- 9, 6	+ 4, 8	- 5, 6
149	+ 9, 4	13, 8	- 4, 4	+ 9, 8	+ 0, 4	167	+ 13, 1	14, 6	- 1, 5	+ 10, 6	+ 2, 5
281	+ 22, 4	24, 8	- 2, 4	+ 20, 8	+ 1, 6	192	+ 13, 5	16, 8	- 3, 3	+ 12, 8	+ 0, 7
278	+ 21, 0	24, 5	- 3, 5	+ 20, 5	+ 0, 5	81	+ 0, 9	7, 1	- 6, 2	+ 3, 1	- 2, 2
278	+ 22, 5	24, 5	- 2, 0	+ 20, 5	+ 2, 0	89	+ 1, 5	7, 8	- 6, 3	+ 3, 8	- 2, 3
189	+ 13, 9	16, 7	- 2, 8	+ 12, 7	+ 1, 2	111	+ 5, 8	9, 7	- 3, 9	+ 5, 7	+ 0, 1
254	+ 19, 8	22, 4	- 2, 6	+ 18, 4	+ 1, 4	183	+ 9, 5	16, 1	- 6, 6	+ 12, 1	- 2, 6
258	+ 15, 4	22, 8	- 7, 4	+ 18, 8	- 3, 4	99	+ 3, 4	8, 7	- 5, 3	+ 4, 7	- 1, 3
258	+ 18, 4	22, 8	- 4, 4	+ 18, 8	- 0, 4	108	+ 8, 5	9, 5	- 1, 0	+ 5, 5	+ 3, 0
293	+ 22, 6	25, 8	- 3, 2	+ 21, 8	+ 0, 8	72	- 2, 8	6, 1	- 8, 9	+ 2, 1	- 4, 9
370	+ 27, 7	32, 6	- 4, 9	+ 28, 6	- 0, 9	53	+ 6, 4	4, 7	+ 1, 7	+ 0, 7	+ 5, 7
193	+ 8, 7	17, 1	- 8, 4	+ 13, 1	- 4, 4	137	+ 10, 4	12, 0	- 1, 6	+ 8, 0	+ 2, 4
238	+ 19, 5	21, 0	- 1, 5	+ 17, 0	+ 2, 5	147	+ 5, 4	12, 9	- 7, 5	+ 8, 9	+ 3, 5
206	+ 16, 6	18, 2	- 1, 6	+ 14, 2	+ 2, 4	127	+ 8, 3	11, 1	- 2, 8	+ 7, 1	+ 1, 2
326	+ 17, 1	28, 8	- 11, 7	+ 24, 8	- 7, 7	128	+ 8, 8	11, 2	- 2, 4	+ 7, 2	+ 1, 6
326	+ 29, 4	28, 8	+ 0, 6	+ 24, 8	+ 4, 6	91	+ 4, 9	7, 9	- 3, 0	+ 3, 9	+ 1, 0
167	+ 9, 5	14, 7	- 5, 2	+ 10, 7	- 1, 2	120	+ 7, 3	10, 5	- 3, 2	+ 6, 5	+ 0, 8
204	+ 14, 0	18, 0	- 4, 0	+ 14, 0	0, 0	99	+ 5, 8	8, 7	- 2, 9	+ 4, 7	+ 1, 1
248	+ 13, 8	21, 9	- 8, 1	+ 17, 9	- 4, 1	96	+ 1, 8	8, 4	- 6, 6	+ 4, 4	- 2, 6
184	+ 15, 6	16, 2	- 0, 6	+ 12, 2	+ 3, 4	181	+ 9, 2	15, 9	- 6, 7	+ 11, 9	- 2, 7
215	+ 20, 3	18, 9	+ 1, 4	+ 14, 9	+ 5, 4	97	+ 3, 0	8, 5	- 5, 5	+ 4, 5	- 1, 5
277	+ 20, 1	24, 4	- 4, 3	+ 20, 4	- 0, 3	189	+ 12, 1	16, 6	- 4, 5	+ 12, 6	- 0, 5
277	+ 16, 9	24, 4	- 7, 5	+ 20, 4	- 3, 5	189	+ 10, 9	16, 6	- 5, 7	+ 12, 6	- 1, 7
246	+ 14, 3	21, 7	- 7, 4	+ 17, 7	- 3, 4	77	+ 7, 7	6, 7	+ 1, 0	+ 2, 7	+ 5, 0
246	+ 17, 5	21, 7	- 4, 2	+ 17, 7	- 0, 2	202	+ 7, 2	17, 7	- 10, 5	+ 13, 7	- 6, 5
115	+ 9, 3	10, 2	- 0, 9	+ 6, 2	+ 3, 1	190	+ 11, 7	16, 7	- 5, 0	+ 12, 7	- 1, 0
173	+ 14, 6	15, 3	- 0, 7	+ 11, 3	+ 3, 3	79	+ 5, 4	6, 9	- 1, 5	+ 2, 9	+ 2, 5
250	+ 22, 8	22, 0	+ 0, 8	+ 18, 0	+ 4, 8	89	+ 5, 0	7, 8	- 2, 8	+ 3, 8	+ 1, 2
250	+ 23, 1	22, 0	+ 1, 1	+ 18, 0	+ 5, 1	145	+ 6, 6	12, 7	- 6, 1	+ 8, 7	- 2, 1
265	+ 26, 9	23, 4	+ 3, 5	+ 19, 4	+ 7, 5	109	- 1, 1	9, 6	- 10, 7	+ 5, 6	- 6, 7
260	+ 8, 6	23, 0	- 14, 4	+ 19, 0	- 10, 4	109	+ 3, 0	9, 6	- 6, 6	+ 5, 6	- 2, 6
128	+ 5, 7	11, 3	- 5, 6	+ 7, 3	- 1, 6	94	+ 2, 7	8, 2	- 5, 5	+ 4, 2	- 1, 5
230	+ 7, 7	20, 3	- 12, 6	+ 16, 3	- 8, 6	107	+ 4, 6	9, 4	- 4, 8	+ 5, 4	- 0, 8
168	+ 4, 9	14, 8	- 9, 9	+ 10, 8	- 5, 9	94	+ 7, 2	8, 2	- 1, 0	+ 4, 2	+ 3, 0
111	+ 3, 4	9, 8	- 6, 4	+ 5, 8	- 2, 4	138	+ 6, 8	12, 1	- 5, 3	+ 8, 1	- 1, 3
155	+ 9, 8	13, 7	- 3, 9	+ 9, 7	+ 0, 1	128	+ 1, 5	11, 2	- 9, 7	+ 7, 2	+ 5, 7
197	+ 11, 4	17, 4	- 6, 0	+ 13, 4	- 2, 0	100	+ 4, 9	8, 8	- 3, 9	+ 4, 8	+ 0, 1
197	+ 9, 7	17, 4	- 7, 7	+ 13, 4	- 3, 7	118	+ 5, 2	10, 3	- 5, 1	+ 6, 3	- 1, 1
192	+ 12, 1	17, 0	- 4, 9	+ 13, 0	- 0, 9	108	+ 6, 8	9, 5	- 3, 7	+ 5, 5	+ 0, 3
221	+ 14, 0	19, 5	- 5, 5	+ 15, 5	- 1, 5	57	+ 3, 4	5, 1	- 1, 7	+ 1, 1	+ 2, 3
221	+ 20, 2	19, 5	+ 0, 7	+ 15, 5	+ 4, 7	119	+ 5, 2	10, 4	- 5, 2	+ 6, 4	- 1, 2
214	+ 19, 1	18, 9	+ 0, 2	+ 14, 9	+ 4, 2	116	+ 9, 5	10, 1	- 0, 6	+ 6, 1	+ 3, 4
214	+ 13, 0	18, 9	- 5, 9	+ 14, 9	- 1, 9	132	+ 5, 3	11, 5	- 6, 2	+ 7, 5	- 2, 2
314	+ 23, 9	27, 7	- 3, 8	+ 23, 7	+ 0, 2	86	+ 1, 8	7, 6	- 5, 8	+ 3, 6	- 1, 8
308	+ 16, 4	27, 2	- 10, 8	+ 23, 2	- 6, 8	110	+ 5, 9	9, 7	- 3, 8	+ 5, 7	+ 0, 2
308	+ 18, 5	27, 2	- 8, 7	+ 23, 2	- 4, 7	218	+ 6, 9	19, 1	- 12, 2	+ 15, 1	- 8, 2
197	+ 5, 4	17, 4	- 12, 0	+ 13, 4	- 8, 0	82	+ 1, 9	7, 2	- 5, 3	+ 3, 2	- 1, 3
197	+ 21, 8	17, 4	+ 4, 4	+ 13, 4	+ 8, 4	142	+ 11, 2	12, 4	- 1, 2	+ 8, 4	+ 2, 8

## I. Ruhig. (Fortsetzung.)

C.	Beob. Refr. = $\rho$ .	0,088 C.	K.	Berechnete Refr. 0,088 C - 4'',0	Differ. der beob. und berechn. Refr.	C.	Beob. Refr. = $\rho$ .	0,088 C.	K.	Berechnete Refr. 0,088 C - 4'',0	Differ. der beob. und berechn. Refr.
367''	+ 23'',3	+ 31'',1	- 7'',8	+ 27'',1	- 3'',8	92''	+ 5'',8	+ 8'',0	- 2'',2	+ 4'',0	+ 1'',8
243	+ 17,9	21,4	- 3,5	+ 17,4	+ 0,5	76	+ 3,6	6,6	- 3,0	+ 2,6	+ 1,0
265	+ 19,5	23,4	- 3,9	+ 19,4	+ 0,1	65	+ 2,0	5,7	- 3,7	+ 1,7	+ 0,3
265	+ 20,8	23,4	- 2,6	+ 19,4	+ 1,4	107	+ 3,0	9,4	- 6,4	+ 5,4	- 2,4
190	+ 13,3	16,8	- 3,5	+ 12,8	+ 0,5	118	+ 5,9	10,3	- 4,4	+ 6,3	- 0,4
314	+ 27,0	27,7	- 0,7	+ 23,7	+ 3,3	144	+ 6,8	12,6	- 5,8	+ 8,6	- 1,8
314	+ 19,1	27,7	- 8,6	+ 23,7	- 4,6	140	+ 7,5	12,3	- 4,8	+ 8,3	- 0,8
231	+ 20,4	20,3	+ 0,1	+ 16,3	+ 4,1	98	+ 7,6	8,6	- 1,0	+ 4,6	+ 3,0
231	+ 21,0	20,3	+ 0,7	+ 16,3	+ 4,7	174	+ 9,3	15,2	- 5,9	+ 11,2	- 1,9
285	+ 21,3	25,2	- 3,9	+ 21,2	+ 0,1	136	+ 10,9	11,9	- 1,0	+ 7,9	+ 3,0
						92	+ 3,2	8,0	- 4,8	+ 4,0	- 0,8
wahrsch. Abw. einer Refr. v. d. Formel = 2'',54.						105	+ 11,7	9,3	+ 2,4	+ 5,3	+ 6,4
Mittel der K = - 4,0 mit dem wahrsch. Fehler 0'',27.						134	+ 8,3	11,7	- 3,4	+ 7,7	- 0,6
Im Mittel $\rho = + 0,0709$ C.						146	+ 8,8	12,8	- 3,9	+ 8,8	+ 0,1
						108	+ 8,9	9,5	- 0,6	+ 5,5	+ 3,4
						155	+ 3,7	13,6	- 9,9	+ 9,9	- 5,9
						140	+ 6,8	12,3	- 5,5	+ 8,3	- 1,5
						186	+ 11,9	16,4	- 4,5	+ 12,4	- 0,5
						148	+ 9,4	12,9	- 3,5	+ 8,9	+ 0,5
						129	+ 9,7	11,3	- 1,6	+ 7,3	+ 2,4
						118	+ 3,9	10,3	- 6,4	+ 6,3	- 2,4
w. Abw. einer Refr. v. d. Formel = 2'',18.											
Mittel der K. = - 4,0 mit d. w. F. = 0'',22.											
Im Mittel $\rho = + 0,0536$ C.											

## Sehr ruhig.

## Signalbeobachtungen.

## Basisbeobachtungen.

C.	Beob. Refr. = $\rho$ .			Berechnete Refr. 0,088 C.	Differ. der beob. und berechn. Refr.	C.	Beob. Refr. = $\rho$ .			Berechnete Refr. 0,088 C.	Differ. der beob. und berechn. Refr.
231''	+ 21'',2			+ 20'',4	+ 0'',8	103''	+ 5'',1			+ 9'',0	- 3,9
141	+ 12,1			12,4	- 0,3	74	+ 9,4			6,3	+ 2,8
328	+ 38,7			28,9	+ 9,8	134	+ 12,0			11,7	+ 0,3
201	+ 25,3			17,7	+ 7,6	93	+ 14,3			8,1	+ 6,2
210	+ 10,8			18,5	- 7,7	258	+ 28,6			22,6	+ 6,0
289	+ 25,9			25,5	+ 0,4	187	+ 20,1			16,4	+ 3,7
205	+ 21,2			18,1	+ 3,1	101	+ 12,2			8,9	+ 3,3
289	+ 32,7			25,5	+ 7,2	101	+ 18,4			8,9	+ 9,5
205	+ 18,9			18,1	+ 0,8	147	+ 13,9			12,9	+ 1,0
205	+ 12,4			18,1	- 5,7	147	+ 19,4			12,9	+ 6,5
177	+ 25,1			15,6	+ 9,5	87	+ 10,0			7,6	+ 2,4
218	+ 19,9			19,2	+ 0,7	104	+ 9,3			9,2	+ 0,1
228	+ 19,4			20,1	- 0,7	106	+ 6,5			9,3	- 2,8
231	+ 24,7			20,4	+ 4,3	95	+ 9,3			8,3	+ 1,0
353	+ 24,5			31,1	- 6,6	95	+ 9,3			8,3	+ 1,0
308	+ 26,6			26,5	+ 0,1	105	+ 10,2			9,3	+ 0,9
210	+ 18,8			18,5	+ 0,3	105	+ 11,3			9,3	+ 2,0

## Sehr ruhig. (Fortsetzung.)

C.	Beob. Refr. = $\rho$ .			Berechnete Refr. 0,088 C.	Differ. der beob. und berechn. Refr.	C.	Beob. Refr. = $\rho$			Berechnete Refr. 0,088 C.	Differ. der beob. und berechn. Refr.
280"	+ 17,6			+ 24,7	7,1	169"	+ 18,2			+ 14,8	+ 3,4
190	+ 16,0			16,8	- 0,8	172	+ 12,2			15,1	- 2,9
188	+ 17,0			16,6	+ 0,4	140	+ 13,8			12,3	+ 1,5
190	+ 16,4			16,8	- 0,4	140	+ 14,0			12,3	+ 1,7
188	+ 14,0			16,6	- 2,6	174	+ 14,9			15,3	- 0,4
188	+ 15,1			16,6	- 1,5	123	+ 15,6			10,8	+ 4,8
293	+ 22,2			25,8	- 3,6	189	+ 14,5			16,6	- 2,1
292	+ 20,1			25,7	- 5,6	67	+ 1,3			5,9	- 4,6
370	+ 27,6			32,6	- 5,0	137	+ 16,4			12,0	+ 4,4
193	+ 23,5			17,1	+ 6,4	192	+ 15,9			16,8	- 0,9
206	+ 20,4			18,2	+ 2,2	72	+ 3,3			6,1	- 2,8
293	+ 22,9			25,8	- 2,9	72	+ 2,6			6,1	- 3,5
282	+ 28,9			24,9	+ 4,0	55	+ 7,0			4,7	+ 2,3
154	+ 19,6			13,6	+ 6,0	53	+ 6,8			4,7	+ 2,1
221	+ 18,3			19,5	- 1,2	152	+ 9,5			13,3	- 3,8
248	+ 21,4			21,9	- 0,5	137	+ 11,5			12,0	- 0,5
190	+ 21,7			16,8	+ 4,9	131	+ 14,6			11,5	+ 3,1
228	+ 20,4			20,1	+ 0,3	128	+ 8,4			11,2	- 2,8
260	+ 17,2			22,9	- 5,7	140	+ 10,5			12,3	- 1,8
220	+ 13,4			19,4	- 6,0	127	+ 10,5			11,1	- 0,6
220	+ 15,8			19,4	- 3,6	112	+ 8,1			9,8	- 1,7
180	+ 9,7			15,9	- 6,2	128	+ 14,2			11,3	+ 2,9
180	+ 19,5			15,9	+ 3,6	99	+ 6,9			8,7	- 1,8
211	+ 19,5			18,6	+ 0,9	99	+ 10,0			8,7	+ 1,3
246	+ 23,7			21,7	+ 2,0	188	+ 15,6			16,5	- 0,9
230	+ 21,1			20,3	+ 0,8	73	+ 6,9			6,2	+ 0,7
246	+ 20,4			21,7	- 1,3	189	+ 9,7			16,6	- 6,9
230	+ 16,2			20,3	- 4,1	107	+ 8,2			9,5	- 1,3
230	+ 23,8			20,3	+ 3,5	97	+ 14,2			8,5	+ 5,7
168	+ 14,9			14,8	+ 0,1	202	+ 14,1			17,7	- 3,6
235	+ 21,9			20,7	+ 1,2	202	+ 14,8			17,7	- 2,9
155	+ 15,1			13,7	+ 1,4	204	+ 18,4			17,9	+ 0,5
166	+ 15,6			14,6	+ 1,0	202	+ 15,7			17,7	- 2,0
192	+ 17,5			16,9	+ 0,6	190	+ 16,9			16,7	+ 0,2
192	+ 15,4			16,9	- 1,5	116	+ 12,0			10,2	+ 1,8
214	+ 20,0			18,9	+ 1,1	106	+ 0,7			9,3	- 8,6
314	+ 29,0			27,7	+ 1,3	103	+ 7,4			9,1	- 1,7
197	+ 14,1			17,4	- 3,3	103	+ 12,8			9,1	+ 3,7
367	+ 35,1			32,4	+ 2,7	93	+ 10,1			8,1	+ 2,0
295	+ 26,4			26,0	+ 0,4	88	+ 6,5			7,7	- 1,2
282	+ 25,9			24,9	+ 1,0	85	+ 1,2			7,5	- 6,3
302	+ 24,8			26,6	- 1,8	126	+ 9,2			11,0	- 1,8
302	+ 26,5			26,6	- 0,1	96	+ 8,7			8,4	+ 0,3
231	+ 18,5			20,4	- 1,9	112	+ 10,7			9,8	+ 0,9
						121	+ 10,9			10,6	+ 0,3
						121	+ 9,1			10,6	- 1,5
						121	+ 6,8			10,6	- 3,8
						88	+ 7,4			7,7	- 0,3
						88	+ 5,7			7,7	- 2,0
						86	+ 7,1			7,5	- 0,4
						110	+ 10,2			9,6	+ 0,6
						99	+ 2,7			8,7	- 6,0
						69	+ 5,1			6,1	- 1,0

w. Abw. einer Refr. v. d. Formel = 2,45.

Im Mittel  $\rho = + 0,08841$  C.

mit d. w. F. = 0,00134 C.

## Sehr ruhig. (Fortsetzung.)

C.	Beob.			Berechnete Refr. 0,088 C.	Differ. der beob. und berechn. Refr.
C.	Refr. = $\rho$ .				
0,1	2,1 + 0,1	0,1	0,1 + 0,0	78	83'' + 5,1
0,0	1,8	2,2 + 1,6	0,7 + 0,0	75	140 + 10,9
0,0	1,8	2,4 + 1,8	1,01 + 0,0	99	48 + 5,4
0,0	1,11	1,9 + 1,7	4,01 + 0,0	88	102 + 9,8
0,0	0,7	8,8 + 8,4	1,7 + 0,0	94	144 + 8,1
2,1	+ 0,81	8,4 + 0,6	8,81 + 0,0	101	140 + 12,6
0,0	8,81	1,6 + 1,01	8,81 + 0,0	111	140 + 13,3
1,2	7,21	2,1 + 1,9	3,01 + 0,0	201	227 + 23,3
0,2	0,91	0,1 + 0,8	2,01 + 0,0	89	132 + 12,5
0,3	0,61	1,91 + 0,21	1,48 + 0,0	94	142 + 8,6
0,3	0,21	8,7 + 8,8	3,01 + 0,0	101	82 + 8,9
0,1	1,81	1,1 + 1,0	2,11 + 0,0	801	155 + 13,6
0,2	+ 1,41	1,9 + 1,01	0,91 + 0,0	921	140 + 12,8
2,1	+ 1,41	8,7 + 1,01	8,81 + 0,0	921	w. Abw. einer Refr. v. d. Formel = 2'',06
0,1	0,41	2,9 + 0,01	0,91 + 0,0	181	Im Mittel $\rho = + 0,08764$ C.
0,2	0,81	0,1 + 0,01	0,41 + 0,0	811	mit d. w. Fehler = 0'',00188 C.

## II. Ruhig.

## Signalbeobachtungen.

## Basisbeobachtungen.

C.	Beob.	0,088 C.	K.	Berechn. Refr. 0,088 C + 3'',4	Differ. der beob. und berechn. Refr.	C.	Beob.	0,088 C.	K.	Berechnete Refr. 0,088 C + 3'',6	Differ. der beob. und berechn. Refr.
C.	Refr. = $\rho$ .					C.	Refr. = $\rho$ .				
95''	+ 16'',2	+ 8'',4	+ 7'',8	+ 11'',8	+ 4'',4	67''	+ 8'',8	+ 5'',9	+ 2'',9	+ 9'',5	- 0'',7
296	+ 30,0	26,4	+ 3,9	29,5	+ 0,5	51	+ 22,7	4,5	+ 18,2	8,1	+ 14,6
228	+ 22,8	20,1	+ 2,7	23,5	- 0,7	121	+ 8,5	10,6	- 2,1	14,2	- 5,7
231	+ 19,0	20,4	- 1,4	23,8	- 4,8	120	+ 15,1	10,5	+ 4,6	14,1	+ 1,0
197	+ 23,3	17,4	+ 5,9	20,8	+ 2,5	88	+ 8,1	7,7	+ 0,4	11,3	- 3,2
195	+ 22,5	17,2	+ 5,3	20,6	+ 1,9	43	+ 7,5	3,8	+ 3,7	7,4	+ 0,1
195	+ 22,3	17,2	+ 5,4	20,6	+ 1,7	187	+ 23,2	16,4	+ 6,8	20,0	+ 3,2
256	+ 22,4	22,6	- 0,2	26,0	- 3,6	106	+ 10,0	9,3	+ 0,7	12,9	- 2,9
173	+ 17,3	15,2	+ 2,1	18,6	- 1,3	140	+ 19,3	12,3	+ 7,0	15,9	+ 3,4
210	+ 21,6	18,5	+ 3,1	21,9	- 0,3	105	+ 13,6	9,3	+ 4,3	12,9	+ 0,7
280	+ 24,8	24,7	+ 0,1	18,1	- 3,8	185	+ 15,5	16,2	- 0,7	19,8	- 4,3
239	+ 21,7	21,1	+ 0,6	24,5	- 3,8	56	+ 10,3	5,0	+ 5,3	8,6	+ 1,7
293	+ 20,1	25,8	- 5,7	29,2	- 9,4	180	+ 20,5	15,8	+ 4,7	19,4	+ 1,1
282	+ 34,3	24,9	+ 9,4	28,3	+ 6,0	123	+ 13,0	10,8	+ 2,2	14,4	- 1,4
221	+ 25,4	19,5	+ 5,9	22,9	+ 2,5	159	+ 20,7	14,0	+ 6,7	17,6	- 3,1
184	+ 22,9	16,2	+ 6,7	19,6	+ 3,3	87	+ 11,7	7,6	+ 4,1	11,2	+ 0,5
115	+ 12,6	10,2	+ 2,4	13,6	- 1,0	137	+ 12,0	12,0	0,0	15,6	- 3,6
173	+ 18,7	15,3	+ 3,4	18,7	0,0	178	+ 14,2	15,6	- 1,4	19,2	- 5,0
166	+ 23,8	14,6	+ 9,2	18,0	+ 5,8	202	+ 16,1	17,7	- 1,6	21,3	- 5,2
190	+ 18,7	16,8	+ 1,9	20,2	- 1,5	91	+ 15,2	8,0	+ 7,2	11,6	+ 3,6
285	+ 27,1	25,2	+ 1,9	28,6	- 1,5	204	+ 21,9	17,9	+ 4,0	21,5	+ 0,4
285	+ 28,6	25,2	+ 3,4	28,6	0,0	77	+ 7,3	6,7	+ 0,6	10,3	- 3,0
						881	89	9,0	7,8	11,4	- 2,4
						601	116	16,6	10,2	13,8	+ 2,8
						441	116	16,7	10,2	13,8	+ 2,9
						102	108	13,1	9,5	13,1	0,0
						139	139	14,8	12,2	15,8	- 1,0
						129	129	16,1	11,3	14,9	+ 1,2

w. Abw. einer Refr. v. d. Formel = 2'',21.  
Mittel der K. = + 3'',4 mit d. w. F. = 0'',47.  
Im Mittel  $\rho = + 0,1036$  C.

## II. Ruhig. I (Fortsetzung.)

C.	Beob. Refr. = $\rho$ .	0,088 C.	K.	Berechn. Refr. 0,088 C + 3'',6	Differ. der beob. und berechn. Refr.
87	+ 6'',6	+ 7'',6	- 1'',0	+ 1'',2	- 4'',6
57	+ 7,9	5,1	+ 2,8	8,7	- 0,8
99	+ 10,1	8,7	+ 1,4	12,3	- 2,2
88	+ 10,4	7,7	+ 2,7	11,3	- 0,9
42	+ 7,4	4,3	+ 2,8	7,9	- 0,8
102	+ 13,8	9,0	+ 4,8	12,6	+ 1,2
116	+ 13,3	10,2	+ 3,1	13,8	- 0,5
103	+ 10,6	9,1	+ 1,5	12,7	- 2,1
98	+ 10,2	8,6	+ 1,6	12,2	- 2,0
140	+ 24,4	12,3	+ 12,1	15,9	+ 8,5
105	+ 16,6	9,3	+ 7,3	12,9	+ 3,7
108	+ 11,2	9,5	+ 1,7	13,1	- 1,9
120	+ 16,9	10,5	+ 6,4	14,1	+ 2,8
120	+ 18,3	10,5	+ 7,8	14,1	+ 4,2
121	+ 12,9	10,6	+ 2,3	14,2	- 1,3
118	+ 11,3	10,3	+ 1,0	13,9	- 2,6

w. Abw. einer Refr. v. d. Formel = 2'',28.  
Mittel der K + 3'',6 mit d. w. Fehler = 0'',34.  
Im Mittel  $\rho = + 0,1766$  C.

## II. Fast ruhig.

## Signalbeobachtungen.

## Basisbeobachtungen.

C.	Beob. Refr. = $\rho$ .	0,088 C.	K.	Berechnete Refr. 0,088 C + 7'',4	Differ. der beob. und berechn. Refr.	C.	Beob. Refr. = $\rho$ .	0,088 C.	K.	Berechnete Refr. 0,088 C + 7'',5	Differ. der beob. und berechn. Refr.
141	+ 13'',5	+ 12'',4	+ 1'',1	+ 19'',8	- 6'',3	97	+ 12'',2	+ 8'',5	+ 3'',7	+ 16'',0	- 3'',8
189	+ 13,3	16,7	- 3,4	24,1	- 10,8	127	+ 20,8	11,1	+ 9,7	18,6	+ 2,2
189	+ 26,9	16,7	+ 10,2	24,1	+ 2,8	44	+ 14,3	3,9	+ 10,4	11,4	+ 2,9
201	+ 30,8	17,7	+ 13,1	25,1	+ 5,7	115	+ 19,1	10,1	+ 19,0	17,6	+ 11,5
95	+ 28,1	8,4	+ 19,7	15,8	+ 12,3	143	+ 24,8	12,5	+ 12,3	20,0	+ 4,8
145	+ 26,9	12,8	+ 14,1	20,2	+ 6,7	87	+ 19,9	7,6	+ 12,3	15,1	+ 4,8
272	+ 23,9	24,0	- 0,1	31,4	- 7,5	104	+ 17,8	9,2	+ 8,6	16,7	+ 1,1
205	+ 20,9	18,1	+ 2,8	25,5	- 4,6	111	+ 17,5	9,7	+ 7,8	17,2	+ 0,3
177	+ 34,9	15,6	+ 19,3	23,0	+ 11,9	97	+ 15,4	8,5	+ 6,9	16,0	- 0,6
296	+ 37,9	26,1	+ 11,8	33,5	+ 4,4	100	+ 9,9	8,8	+ 1,1	16,3	- 6,4
312	+ 24,6	27,6	- 3,0	35,0	- 10,4	81	+ 16,1	7,1	+ 9,0	14,6	+ 1,5
353	+ 36,2	31,1	+ 5,1	38,5	- 2,3	89	+ 6,3	7,8	- 1,5	15,3	- 9,0
240	+ 32,7	21,2	+ 11,5	28,6	+ 4,1	87	+ 14,0	7,6	+ 6,4	15,1	- 1,1
175	+ 20,6	15,4	+ 5,2	22,8	- 2,2	111	+ 15,4	9,7	+ 5,7	17,2	- 5,6
280	+ 23,4	24,7	- 1,3	32,1	- 8,7	111	+ 11,6	9,7	+ 1,9	17,2	- 5,5
239	+ 21,0	21,1	- 0,1	28,5	- 7,5	152	+ 15,3	13,3	+ 2,0	20,8	- 9,2
206	+ 20,4	18,2	+ 2,2	25,6	- 5,2	127	+ 9,4	11,1	- 1,7	18,6	- 2,3
293	+ 23,8	25,8	- 2,0	33,2	- 9,4	112	+ 15,0	9,8	+ 5,2	17,3	- 6,5
205	+ 26,4	18,1	+ 8,3	25,5	+ 0,9	138	+ 13,1	12,1	+ 1,0	19,6	+ 5,8
190	+ 30,4	16,8	+ 13,6	24,2	+ 6,2	105	+ 22,6	9,3	+ 13,3	16,8	+ 3,0
115	+ 17,8	10,2	+ 7,6	17,6	+ 0,2	144	+ 23,1	12,6	+ 10,5	20,1	- 3,8
260	+ 37,4	23,0	+ 14,4	30,4	+ 7,0	89	+ 11,5	7,8	+ 3,7	15,3	- 1,2
211	+ 27,7	18,6	+ 9,1	26,0	+ 1,7	97	+ 17,2	8,5	+ 8,7	16,0	- 1,5
243	+ 29,1	21,4	+ 7,7	28,8	+ 0,3	97	+ 14,5	8,5	+ 6,0	16,0	- 6,2
295	+ 44,7	26,1	+ 18,6	33,5	+ 11,2	103	+ 22,8	9,1	+ 3,7	16,6	- 6,2

## II. Fast ruhig. (Fortsetzung.)

C.	Beob. Refr. = $\rho$ .	0,088 C.	K.	Berechn. Refr. $0,088 C + 7''4$	Differ. der beob. und berechn. Refr.	C.	Beob. Refr. = $\rho$ .	0,088 C.	K.	Berechn. Refr. $0,088 C + 7''5$	Differ. der beob. und berechn. Refr.
w. Abw. einer Refr. v. d. Formel = $5''08$ .						103''	+ 16''5	+ 9''1	+ 7''4	+ 16''6	- 0''1
Mittel der K. = + 7''4 mit d. w. F. 1''02.						128	+ 17.0	11.2	+ 5.8	18.7	- 1.7
Im Mittel $\rho = + 0,1196$ C						118	+ 14.2	10.3	+ 3.9	17.8	- 3.6
						138	+ 16.7	12.1	+ 4.6	19.6	- 2.9
						129	+ 23.2	11.3	+ 11.9	18.8	+ 4.4
						115	+ 31.9	10.1	+ 21.8	17.6	+ 14.3
						126	+ 15.4	11.0	+ 4.4	18.5	- 3.1
						140	+ 19.0	12.3	+ 6.7	19.8	- 0.8
						98	+ 15.2	8.6	+ 6.6	16.1	- 0.9
						174	+ 28.7	15.3	+ 13.4	22.8	+ 5.9
						175	+ 25.6	15.4	+ 10.2	22.9	+ 2.7
						136	+ 19.6	11.9	+ 7.7	19.4	+ 0.2
						134	+ 16.6	11.7	+ 4.9	19.2	- 2.6
						227	+ 33.3	19.9	+ 13.4	27.4	+ 5.9
						164	+ 22.9	14.4	+ 8.5	21.9	+ 1.0
						108	+ 14.4	9.5	+ 4.9	17.0	- 2.6
						186	+ 23.2	16.4	+ 6.8	23.9	- 0.7
						148	+ 19.1	13.0	+ 6.1	20.5	- 1.4

wahrsch. Abw. einer Refr. v. d. Formel =  $3''10$ .  
Mittel der K. = + 7''5 mit dem wahrsch. Fehler 0''47.  
Im Mittel  $\rho = + 0,4500$  C.

## II. Etwas unruhig.

## Signalbeobachtungen.

## Basisbeobachtungen.

C.	Beob. Refr. = $\rho$ .	0,088 C.	K.	Berechnete Refr. $0,088 C + 45''9$	Differ. der beob. und berechn. Refr.	C.	Beob. Refr. = $\rho$ .	0,088 C.	K.	Berechnete Refr. $0,088 C + 12''9$	Differ. der beob. und berechn. Refr.
177''	+ 34''7	+ 15''7	+ 19''1	+ 31''5	+ 3.2	93''	+ 22''5	+ 8''1	+ 14''4	+ 21''0	+ 1''5
218	+ 32.1	19.2	+ 12.9	35.1	- 3.0	258	+ 35.5	22.6	+ 12.9	35.5	0.0
280	+ 32.5	24.7	+ 7.8	40.6	- 8.1	148	+ 19.9	13.0	+ 6.9	25.9	- 6.0
204	+ 28.7	18.0	+ 10.7	33.9	- 5.2	102	+ 17.2	9.0	+ 8.2	21.9	- 4.7
206	+ 24.6	18.1	+ 6.5	34.0	- 9.4	90	+ 28.8	7.9	+ 20.9	20.8	+ 8.0
167	+ 36.3	14.7	+ 21.6	30.6	+ 5.7	156	+ 20.7	13.7	+ 7.0	26.6	- 5.9
173	+ 19.6	15.2	+ 4.4	31.1	- 11.5	172	+ 23.7	15.1	+ 8.6	28.0	- 4.3
205	+ 42.5	18.1	+ 24.4	34.0	+ 8.5	159	+ 30.6	14.0	+ 16.6	26.9	+ 3.7
265	+ 45.0	23.4	+ 20.6	39.3	+ 5.7	178	+ 23.9	15.6	+ 8.3	28.5	- 4.6
314	+ 48.0	27.7	+ 20.3	43.6	+ 4.4	79	+ 14.2	6.9	+ 7.3	19.8	- 5.6
308	+ 54.1	27.2	+ 26.9	43.1	+ 11.0	158	+ 39.2	13.9	+ 25.3	26.8	+ 12.4
308	+ 42.6	27.2	+ 15.4	43.1	- 0.5	89	+ 17.7	7.8	+ 9.9	20.7	- 3.0
w. Abw. einer Refr. v. d. Formel = $5''36$ .						90	+ 22.5	7.9	+ 14.6	20.8	+ 1.7
Mittel d. K. = + 15''9 mit d. w. Fehler = 1''55.						132	+ 31.7	11.6	+ 20.1	24.5	+ 7.2
Im Mittel $\rho = + 0,1560$ C.						93	+ 16.6	8.1	+ 8.5	21.0	- 4.4
						100	+ 16.0	8.8	+ 7.2	21.7	- 5.7
						108	+ 23.8	9.5	+ 14.3	22.4	+ 1.4
						150	+ 40.1	13.1	+ 27.0	26.0	+ 14.1
						136	+ 22.3	11.9	+ 10.4	24.8	- 2.5
						121	+ 18.4	10.6	+ 7.8	23.5	- 5.1
						129	+ 25.8	11.3	+ 14.5	24.2	+ 1.6

w. Abw. einer Refr. v. d. Formel =  $4''16$ .  
Mittel der K. = + 12''9 mit d. w. F. 0''91.  
Im Mittel  $\rho = + 0,1868$  C.

## II. Unruhig.

## Signalbeobachtungen.

## Basisbeobachtungen.

C.	Beob. Refr. = $\rho$ .	0,088 C.	K.	Berechnete Refr. $0,088 C. + 22''/2$	Differ. der beob. und berechn. Refr.	C.	Beob. Refr. = $\rho$ .	0,088 C.	K.	Berechnete Refr. $0,088 C. + 20''/6$	Differ. der beob. und berechn. Refr.
231"	+ 31,5	+ 20,3	+ 11,2	+ 42,5	- 11,0	74"	+ 29,9	+ 6,3	+ 23,6	+ 26,9	+ 3,0
141	+ 31,7	12,4	+ 19,3	34,6	- 2,9	134	+ 23,6	11,7	+ 11,9	32,3	- 8,7
301	+ 62,0	26,5	+ 35,5	48,7	+ 13,3	51	+ 38,1	4,5	+ 33,6	25,1	+ 13,0
210	+ 41,4	18,5	+ 22,9	40,7	+ 0,7	88	+ 30,9	7,7	+ 23,2	28,3	+ 2,6
145	+ 34,8	12,8	+ 22,0	35,0	- 0,2	43	+ 15,8	3,8	+ 12,0	24,4	- 8,6
w. Abw. einer Refr. v. d. Formel = 5,91.						142	+ 43,8	12,4	+ 31,4	33,0	+ 10,8
Mittel der K. = + 22,2 mit d. w. F. = 2,64.						185	+ 37,9	16,2	+ 21,7	36,8	+ 1,1
Im Mittel $\rho = + 0,1957$ C.						56	+ 19,3	5,0	+ 14,3	25,6	- 6,3
140	+ 40,1	17,7	+ 6,11	32,1	+ 30,1	180	+ 30,6	15,8	+ 14,8	36,4	- 5,8
32	+ 19,5	9,7	+ 7,11	3,91	+ 33,9	159	+ 26,8	7,6	+ 19,2	28,2	- 1,4
0,5	+ 4,75	1,31	+ 0,01	8,88	+ 30,5	87	+ 30,5	7,6	+ 22,9	28,2	+ 2,3
0,1	+ 0,12	0,8	+ 1,11	0,88	+ 38,3	116	+ 31,3	10,2	+ 28,1	30,8	+ 7,5
0,2	- 0,10	0,6	+ 0,6	1,41	+ 25,8	146	+ 25,8	11,6	+ 18,5	33,4	- 2,1
1,0	- 0,33	0,8	+ 1,01	2,82	+ 25,8	132	+ 25,8	11,6	+ 14,2	32,2	- 6,4
4,1	- 2,07	1,0	+ 0,01	1,91	+ 20,6	w. Abw. einer Refr. v. d. Formel = 4,54.					
14,0	- 0,1200 C.					Mittel der K. = + 20,6 mit d. w. F. = 1,17.					
14,0	- 0,1200 C.					Im Mittel $\rho = + 0,2717$ C.					

## II. Sehr unruhig.

C.	Beob. Refr. = $\rho$ .	0,088 C.	K.	Berechn. Refr. $0,088 C. + 38''/3$	Differ. der beob. und berechn. Refr.
71"	+ 41,3	+ 6,1	+ 35,2	+ 44,4	- 3,1
100	+ 60,7	8,8	+ 51,9	47,1	+ 13,6
77	+ 34,1	6,7	+ 27,4	45,0	- 10,9
158	+ 57,8	13,9	+ 43,9	52,2	+ 5,6
89	+ 23,6	7,8	+ 15,8	46,1	- 22,5
58	+ 26,2	5,2	+ 21,0	43,5	- 17,3
115	+ 82,6	10,0	+ 72,6	48,3	+ 34,3
w. Abw. einer Refr. v. d. Formel = 12,9.					
Mittel der K. = + 38,3 mit d. w. F. = 4,9.					
Im Mittel $\rho = + 0,4885$ C.					
0,4	- 0,8	0,8	+ 1,81	1,85	- 0,04
7,8	+ 0,82	0,81	+ 0,41	0,98	- 0,17
3,4	- 0,82	0,8	+ 0,61	0,88	- 0,08
0,8	- 0,82	0,7	+ 0,71	0,88	- 0,06
6,4	- 0,82	0,8	+ 1,81	1,85	- 0,04
7,8	+ 0,82	0,81	+ 0,41	0,98	- 0,17
3,4	- 0,82	0,8	+ 0,61	0,88	- 0,08
0,8	- 0,82	0,7	+ 0,71	0,88	- 0,06
7,1	+ 0,81	0,7	+ 0,71	0,88	- 0,17
2,5	- 0,82	1,02	+ 0,11	1,13	- 0,11
4,4	- 0,12	0,8	+ 1,8	0,91	- 0,01
7,6	- 3,12	0,7	+ 0,8	0,91	- 0,01
4,3	+ 3,28	0,81	+ 0,9	0,81	- 0,01
1,41	+ 0,98	0,72	+ 1,81	1,02	- 0,01
6,1	- 8,48	4,04	+ 0,11	4,85	- 0,01
1,5	- 3,42	0,7	+ 0,01	1,81	- 0,21
0,4	+ 2,42	0,71	+ 0,11	0,88	- 0,01

b) Berechnung der Zenithdistanzen mit den wahrscheinlichsten Refractionen.

Nachdem wir jetzt eine vollständigere Kenntniss der terrestrischen Refraction für unsere Fälle erlangt haben, können wir ihren Einfluss auf sämmtliche Zenithdistanzen gehörig berücksichtigen, und zur definitiven Berechnung der Höhenunterschiede schreiten. Zur besseren Uebersicht folgt hier noch eine Zusammenstellung der gefundenen Ausdrücke der Refraction, wie sie für die Rechnung angewandt wurde:

Zustand der Bilder.	Formel der Refraction	
	für die Signalbeob. ( $P$ )	für die Basisbeob. ( $\beta$ )
I sehr unruhig	$\varrho = 0,088 C - 36,1$	$\varrho = 0,088 C - 43,4$
I unruhig	$\varrho = 0,088 C - 24,4$	$\varrho = 0,088 C - 23,3$
I etwas unruhig	$\varrho = 0,088 C - 14,1$	$\varrho = 0,088 C - 14,1$
I fast ruhig	$\varrho = 0,088 C - 9,2$	$\varrho = 0,088 C - 9,5$
I ruhig	$\varrho = 0,088 C - 4,0$	$\varrho = 0,088 C - 4,0$
sehr ruhig	$\varrho = 0,0884 C$	$\varrho = 0,0876 C$
II ruhig	$\varrho = 0,088 C + 3,4$	$\varrho = 0,088 C + 3,6$
II fast ruhig	$\varrho = 0,088 C + 7,4$	$\varrho = 0,088 C + 7,5$
II etwas unruhig	$\varrho = 0,088 C + 15,9$	$\varrho = 0,088 C + 12,9$
II unruhig	$\varrho = 0,088 C + 22,2$	$\varrho = 0,088 C + 20,6$
II sehr unruhig		$\varrho = 0,088 C + 38,3$

Die Berechnung des sämmtlichen Materials meiner Zenithdistanzen habe ich in nachfolgendes Schema gebracht, welches ich jetzt mit Wenigem erläutern will. Die erste Column enthält alle die Signale und anderweitigen Objecte, deren Zenithdistanzen an jedem Standpunkte gemessen wurden. Die zweite enthält deren Höhe über der Signalmarke des jedesmaligen Standpunktes in englischen Zollen, aus den Zenithdistanzen, wie sie im Tagebuche angegeben sind, aber ohne Rücksicht auf die Refraction berechnet und dann auf die Marke reducirt. Hiezu bediente ich mich in den meisten Fällen der Formel:

$$\gamma = D \tan\left(a + \frac{C}{2}\right)$$

wo  $\gamma$  die Höhe;  $D$  die Entfernung des Objects;  $a = 90^\circ$  — Zenithdistanz; und  $C$  den Winkel der Verticalen, oder die geodätische Entfernung in Secunden, bedeuten. Der strenge nach hätte man eigentlich mit:

$$\gamma = D \frac{\sin\left(a + \frac{C}{2}\right)}{\cos(a + C)}$$

rechnen müssen. Selbst bei den grössten vorkommenden Höhenunterschieden von 3 Grad beträgt aber die Abweichung der genäherten Formel von der strengen noch nicht 0,1 Zoll. Ist dieser Höhenunterschied, wie in vielen Fällen, unter 10 Minuten, so reicht auch die noch einfachere Formel:

$$\gamma = D \sin 1'' \left(a + \frac{C}{2}\right)$$

aus. An das so erhaltene  $\gamma$  wurde jedesmal noch die Reduction auf die Marke des Signals, bei welchem beobachtet wurde, oder die im Tagebuche angegebene Anzahl von Zollen, um welche die Marke sich über dem Centrum des Vertical-Kreises am Instrumente befand, einfach mit dem Zeichen — angebracht. In der dritten Column habe ich den jedesmaligen Zustand des Bildes, der zur Berechnung der Refraction erforderlich ist, nach

der Angabe des Tagebuchs beigefügt, und wo derselbe bei den verschiedenen Einstellungen in beiden Lagen des Instruments, aus denen die Zenithdistanzen geschlossen werden, verschieden ist, habe ich einen mittleren Zustand angenommen. Die Entscheidung zwischen gleichen Zuständen vor und nach der Ruhe der Bilder ist fast nie schwierig; in den meisten Fällen ist dieser Unterschied im Tagebuche schon bei der Beobachtung ange deutet wo ich die zweite Unruhe gewöhnlich mit «Schwirren» bezeichnet habe; wo dieses nicht der Fall ist giebt die Zeit und die übrigen atmosphärischen Umstände den Ausschlag. Ausserdem wird durch die gegenseitigen Zenithdistanzen immer wenigstens ein Fingerzeig gegeben, ob die Refraction schwach oder stark ist. — Ueber die Berechnung der Refraction, die in der vierten Columnen in Secunden gegeben ist, habe ich mich schon ausgesprochen. Die fünfte Column enthält sodann die um den Einfluss der Refraction verbesserte Höhe der Signale in den verschiedenen Sätzen der Zenithdistanzen, nämlich:

$$\gamma + D \sin 1'' \varrho$$

In der zweiten Abtheilung des Tableaus sind, ausser der Bezeichnung der Objecte, die für die Berechnung der Zenithdistanzen nötigen Grössen:  $\log. D \sin 1''$  und  $C$  gegeben. Mit der erstenen wurden alle Höhen aus den Zenithdistanzen berechnet nach Anbringung der Correction, um welche der log. der Tangente den des Bogens übertrifft, welche Corr. in den meisten Logarithmentafeln gegeben ist. — Der Winkel des Verticalen,  $C$  wurde nach bekannten Vorschriften gefunden, wobei die in Struve's Gradmessung angegebenen Dimensionen des Erdsphäroids zum Grunde gelegt waren. Wir hatten uns für die mittlere Polhöhe unserer Operationslinie  $45^{\circ} 5$  folgendes Täfelchen berechnet, das für verschiedene Azimute die constanten Logarithmen enthält welche von  $\log. D$  abgezogen,  $\log. C$  in Secunden geben:

Azimut =	$0^{\circ}$	$20^{\circ}$	$40^{\circ}$	$60^{\circ}$	$80^{\circ}$	$90^{\circ}$
$\log 1''$ in Zollen =	3,0848	3,0849	3,0854	3,0859	3,0862	3,0863

In der letzten Columnen der zweiten Abtheilung ist endlich die Höhe der beobachteten Objecte über dem Signale des Standpunktes *im Mittel aus den verschiedenen Sätzen* gegeben. Ueber die Art wie ich diese Mittel gefunden habe, muss ich mich hier näher aussprechen. Es ist meiner Meinung nach unzweckmässig, hierbei die unruhigen Sätze ganz auszuschliessen. Wir haben oben bei der Untersuchung der Refraction gesehen, dass dieselbe sich auch für die unruhigen Bilder mit verhältnissmässiger Genauigkeit darstellen lässt. Es ist also kein Grund vorhanden die unruhigen Sätze nicht auch mit verhältnissmässigem Gewichte zu berücksichtigen. Nun ist aber offenbar der wahrscheinliche Fehler einer Zenithdistanz mit Einschluss der Refraction, für einen bestimmten Zustand der Bilder derselbe als der oben für eine Refractionsbestimmung gefundene; weil allen Refractionen dort dieselben Zenithdistanzen aus welchen hier die Höhen berechnet werden sollen, zum Grunde liegen. In diesem Fehler ist noch ausserdem, was wohl beachtet werden muss, der wahrscheinliche Theilungs- und Ablesefehler des angewandten Instrumentes mit enthalten, welche sich mit der Unsicherheit der Refraction vermischen, so dass letztere für sich allein betrachtet eigentlich noch kleiner ausfallen würde. Die in dem Tableau der Refractionen gegebenen wahrscheinlichen Fehler für die verschiedenen Zustände der Bilder geben uns also den Maasstab für die Genauigkeit der Höhenbestimmungen in den einzelnen Sätzen. Da sich nach den Regeln der Wahrscheinlichkeit die Gewichte zweier Bestimmungen, verkehrt wie die Quadrate der wahrscheinlichen Fehler derselben verhalten, so berechnete ich aus den erwähnten wahrscheinlichen Fehlern folgende Tafel der relativen Gewichte bei verschiedenen Zuständen der Bilder, wobei ich das Gewicht für »sehr ruhig« = 1 setzte:

Zustand der Bilder	Signalbeobachtungen			Basisbeobachtungen		
	w. F.	$\frac{1}{(w. F.)^2}$	relat. Gew.	w. F.	$\frac{1}{(w. F.)^2}$	relat. Gew.
I sehr unruhig . . . . .	5,26	0,0361	0,216	7,50	0,0178	0,075
I unruhig . . . . .	6,01	0,0277	0,166	4,00	0,0625	0,265
I etwas unruhig . . . . .	3,84	0,0678	0,407	4,33	0,0533	0,226
I fast ruhig . . . . .	3,34	0,0896	0,538	2,96	0,1141	0,484
I ruhig . . . . .	2,54	0,1550	0,930	2,18	0,2104	0,893
sehr ruhig . . . . .	2,45	0,1666	1,000	2,06	0,2357	1,000
II ruhig . . . . .	2,21	0,2047	1,228	2,28	0,1924	0,817
II fast ruhig . . . . .	5,08	0,0388	0,233	3,10	0,1041	0,442
II etwas unruhig . . . . .	5,36	0,0348	0,209	4,16	0,0580	0,246
II unruhig . . . . .	5,91	0,0286	0,172	4,54	0,0485	0,206
II sehr unruhig . . . . .	—	—	—	12,9	0,0060	0,025

In dieser Tafel der Gewichte, die im Ganzen der Wahrheit gewiss nahezu entsprechen wird, zeigen sich einige Ungleichheiten und Sprünge, weil die wahrscheinlichen Fehler, zumal wo sie auf wenigen Beobachtungen beruhen, selbst nicht genau sein können. Um diese Unregelmässigkeit einigermassen auszugleichen, und zugleich mit einfacheren Zahlen rechnen zu können, wählte ich daher folgende den obigen nahezu entsprechende Gewichte, mit welchen ich die verschiedenen Sätze zum Mittel hinzugezogen habe.

Sign.-Beob. Basis-Beob.

I sehr unruhig	0,15	0,1
I unruhig	0,2	0,2
I etwas unruhig	0,33	0,25
I fast ruhig	0,5	0,5
I ruhig	1,0	0,9
sehr ruhig	1,0	1,0
II ruhig	1,0	0,9
II fast ruhig	0,25	0,45
II etwas unruhig	0,2	0,25
II unruhig	0,15	0,2
II sehr unruhig	—	0,05

Am Schlusse jeder Station findet man die Höhe des Signals bei welchem beobachtet wurde  $P^n$  über dem nächstvorhergehenden  $P^{n-1}$ , im Mittel aus der Bestimmung in  $P^n$  und in  $P^{n-1}$  mit gehöriger Rücksicht auf das Gewicht beider Bestimmungen. Dann folgt die Höhe von  $P^n$  über dem mittleren Niveau des Asowschen Meeres durch Summation der Höhen der vorhergehenden Signale über dem Meere; ferner für das Basissignal  $\beta^n$  ebenso seine Höhe über  $\beta^{n-1}$  und damit auch seine Höhe über dem Meere mit Hinzuziehung der Meereshöhe der vorhergehenden Basispunkte. Wir erhalten somit zwei von einander unabhängige und getrennt fortlaufende Reihen von Höhenbestimmungen über dem Asow'schen Meere, nämlich die Reihe der  $P$  und die Reihe der  $\beta$ . Diese beiden Reihen vereinigen sich nahe an ihrem Ursprunge bei  $P^{11}$ , dem Endpunkte des Nivellements im Jahre 1836; von dort an laufen sie getrennt bis zum Gaspischen Meere fort. Die Uebereinstimmung derselben

unter einander, die man an jedem Zwischenpunkte prüfen kann, erscheint überall sehr befriedigend. Die grösste Abweichung zwischen beiden Reihen von 25 Zoll findet sich bei  $P^{65}$  bis  $P^{67}$ . Diese Abweichung nimmt weiterhin wieder ab, und am Schlusse beim Caspischen Meere stimmen beide bis auf 11,4 Zoll, nach einem durchlaufenen Wege von 860 Werst (123 geogr. Meilen). —

An denjenigen Stationen wo die Höhen einiger Kirchen bestimmt wurden, habe ich deren Erhebung über dem Asow'schen Meere auch angegeben, geschlossen aus dem Mittel der beiden Nivellements, ( $P$  und  $\beta$ ) wobei ich der Reihe  $\beta$  vorläufig doppeltes Gewicht beigelegt habe.

Object	Unverbess. Höhe, in Z.	Zust. d. Bilder	Refr.	Verb. Höhe in Zollen	Object	$\log D \sin 1''$	C	Mittl. Höhe in Zollen.
--------	---------------------------	-----------------	-------	-------------------------	--------	-------------------	---	---------------------------

#### Höhenbestimmungen in $a^1$ 1836 1. Nov. 23<sup>h</sup> 45'

$P^1$	+ 23,6	I unruhig	+ 21,2	+ 26,5	$P^1$	9,44181	23,5	+ 26,5
Kagalnik, Kirche Kreuzspitze	+ 2006,6	I fast ruhig	+ 6,8	+ 2007,7	Kag. Kirche	9,21691	27,9	+ 2007,7

hieraus folgt Kag. Kirche über  $P^1 = + 1981,2$

#### Höhenbestimmungen in $b^1$ 1836 2. Nov. 3<sup>h</sup> 59'

$P^1$	+ 36,6	I ruhig	- 2,1	+ 36,3	$P^1$	9,49664	26,7	+ 36,3
Kag. Kirche	+ 2016,4	I ruhig	- 2,7	+ 2015,7	Kag. Kirche	9,29497	33,4	+ 2015,7

hieraus folgt Kag. Kirche über  $P^1 = + 1979,4$

#### Höhenbestimmungen in $p^2$ 1836 4. Nov. 3<sup>h</sup> 23'

$P^3$	+ 524,2	I ruhig	- 2,9	+ 522,8	$P^3$	9,66470	78,2	+ 522,8
$P^1$	- 1163,5	I ruhig	- 7,1	- 1168,8	$P^1$	9,87287	126,2	- 1168,8
Kag. Kirche	+ 814,2	I ruhig	- 4,3	+ 811,7	Kag. Kirche	9,75243	95,6	+ 811,7

hieraus folgt Kag. Kirche über  $P^1 = + 1980,5$   
im Mittel aus diesen 3 Bestimmungen = + 1980,4  
 $P^1$  liegt über dem Asowschen Meere = + 146,0  
folgl. Kag. Kirche über d. Meere = + 2126,4  
ferner  $P^2$  über d. Meere = + 1314,8

#### Höhenbestimmungen in $p^3$ 1836 7. Nov.

##### I. Satz 2<sup>h</sup> 46'

$B^3$	- 1670,8	I ruhig	- 10,2	- 1680,5	$B^3$	9,98006	161,5	- 1681,3
$P^4$	- 528,7	I ruhig	- 24,8	- 580,0	$P^4$	0,31529	349,5	- 579,9
$P^2$	- 522,8	I ruhig	- 2,9	- 524,2	$P^2$	9,66470	78,2	- 523,4

##### II. Satz 3<sup>h</sup> 34'

$B^3$	- 1665,1	II ruhig	- 17,7	- 1682,1	$B^3$	9,98006	161,5	- 1681,3
$P^4$	- 513,0	II ruhig	- 32,3	- 579,8	$P^4$	0,31529	349,5	- 579,9
$P^2$	- 517,9	II ruhig	- 10,4	- 522,7	$P^2$	9,66470	78,2	- 523,4

hieraus folgt  $P^3$  über  $P^2 = + 523,1$

$P^3$  über dem Meere = + 1837,9

ferner  $B^3$  über d. Meere = + 156,6

Object	Unverb. Höhe, in Z.	Zust. d. Bilder	Refr.	Verb. Höhe in Zollen	Object	$\log D \sin 1''$	C	Mittl. Höhe in Zollen
Höhenbestimmungen in $p^4$ 1836 11. Nov. 3 <sup>h</sup> 54'								
$B^4$	— 140,2	II ruhig	— 14,1	— 150,3	$B^4$	9,85473	121,1	— 150,3
$P^5$	+ 450,3	II ruhig	— 24,4	+ 416,2	$P^5$	0,14536	236,4	+ 416,2
$P^3$	+ 650,4	II ruhig	— 32,3	+ 583,6	$P^3$	0,31529	349,5	+ 583,6
$B^3$	— 1076,4	II ruhig	— 20,0	— 1099,2	$B^3$	0,04680	188,4	— 1099,2
hieraus folgt $P^4$ über $P^3$ = — 581,7								
$P^4$ über d. Meere = + 1256,2								
ferner $B^4$ über $B^3$ = + 948,9								
$B^4$ über d. Meere = + 1105,5								
Höhenbestimmungen in $p^5$ 1836 13. Nov. 3 <sup>h</sup> 33'								
$P^4$	— 392,9	I ruhig	— 16,9	— 416,5	$P^4$	0,14535	236,4	— 416,5
$B^4$	— 566,1	I ruhig	— 6,2	— 570,3	$B^4$	9,83562	115,8	— 570,3
$B^5$	— 881,6	I ruhig	— 4,0	— 883,7	$B^5$	9,72818	90,4	— 883,7
$P^6$	— 805,3	I ruhig	— 13,0	— 820,1	$P^6$	0,05763	193,2	— 820,1
Nikolaewka Kirche	+ 219,3	I ruhig	— 10,4	+ 209,2	Nikolaewka K.	9,98715	164,2	+ 209,2
hieraus folgt $P^5$ über $P^4$ = + 416,4								
$P^5$ über d. Meere = + 1672,6								
ferner $B^5$ über $B^4$ = — 313,4								
$B^5$ über d. Meere = + 792,1								
Höhenbestimmungen in $p^6$ 1836 15. Nov. 3 <sup>h</sup> 17'								
$P^7$	+ 840,1	I ruhig	— 16,1	+ 818,3	$P^7$	0,13136	228,8	+ 818,3
$B^6$	— 351,7	I ruhig	— 6,8	— 356,7	$B^6$	9,86264	123,3	— 356,7
Nikol. Kirche	+ 1035,7	I ruhig	— 8,2	+ 1029,0	Nikol. K.	9,91572	139,3	+ 1029,0
$B^5$	— 59,1	I ruhig	— 5,1	— 62,2	$B^5$	9,78496	103,1	— 62,2
$P^5$	+ 845,0	I ruhig	— 12,9	+ 830,3	$P^5$	0,05763	193,2	+ 830,3
hieraus folgt $P^6$ über $P^5$ = — 825,2								
$P^6$ über d. Meere = + 847,4								
ferner $B^6$ über $B^5$ = — 294,5								
$B^6$ über d. Meere = + 497,6								
Novo Nikolaewka K. üb. d. Meere = + 1881,0								
Höhenbestimmungen in $p^7$ 1836 20. Nov. 2 <sup>h</sup> 12'								
$P^8$	— 710,1	I ruhig	— 24,8	— 759,0	$P^8$	0,28502	326,0	— 759,0
$B^7$	— 797,9	I ruhig	— 9,1	— 805,9	$B^7$	9,94480	149,0	— 805,9
$B^6$	— 1171,7	I ruhig	— 5,9	— 1175,6	$B^6$	9,82377	112,7	— 1175,6
$P^6$	— 798,1	I ruhig	— 16,1	— 819,9	$P^6$	0,13136	228,8	— 819,9
hieraus folgt $P^7$ über $P^6$ = + 819,1								
$P^7$ über d. Meere = + 1666,5								
ferner $B^7$ über $B^6$ = + 369,7								
$B^7$ über d. Meere = + 867,3								

Object	Unverb. Höhe, in Z.	Zust. d. Bilder	Refr.	Verb. Höhe in Zollen	Object	$\log D \sin 1'$	C	Mittl. Höhe in Zollen
Höhenbestimmungen in $p^8$ 1836 21. Nov. $3^h 18'$								
N. Bataisk Kirche Kreutzspitze	+ 514,0	II etw. unr.	- 28,5	+ 487,0	N. Bat. K. Kreutz	9,97682	160,4	+ 487,0
" Knopf	+ 379,7	II etw. unr.	- 28,5	+ 352,7	" " Knopf	9,97682	160,4	+ 352,7
B <sup>8</sup>	+ 72,8	II etw. unr.	- 27,1	+ 49,6	B <sup>8</sup>	9,93240	144,8	+ 49,6
P <sup>9</sup>	+ 326,1	II unruhig	- 47,2	+ 244,4	P <sup>9</sup>	0,23826	292,7	+ 244,4
B <sup>7</sup>	- 23,2	II etw. unr.	- 30,0	- 54,6	B <sup>7</sup>	0,01995	177,1	- 54,6
P <sup>7</sup>	+ 849,5	II unruhig	- 50,2	+ 752,7	P <sup>7</sup>	0,28502	326,0	+ 752,7
hieraus folgt $P^8$ über $P^7$ = - 755,8								
$P^8$ über d. Meere = + 910,7								
ferner $B^8$ über $B^7$ = + 104,2								
$B^8$ über d. Meere = + 971,5								
N. Bataisk K. Kreutz " " " = + 1405,2								
" " " Knopf " " " = + 1270,9								
Höhenbestimmungen in $p^9$ 1836 26. Nov. $1^h 21'$								
B <sup>8</sup>	- 176,7	sehr ruhig	- 12,9	- 188,0	B <sup>8</sup>	9,94410	148,7	- 188,0
P <sup>8</sup>	- 194,4	sehr ruhig	- 25,8	- 239,1	P <sup>8</sup>	0,23826	292,7	- 239,1
B <sup>9</sup>	- 313,6	sehr ruhig	- 13,5	- 326,0	B <sup>9</sup>	9,96322	155,4	- 326,0
P <sup>10</sup>	+ 2132,3	sehr ruhig	- 30,7	+ 2069,1	P <sup>10</sup>	0,31350	348,1	+ 2069,1
hieraus folgt $P^9$ über $P^8$ = + 241,8								
$P^9$ über dem Meere = + 1152,5								
ferner $B^9$ über $B^8$ = - 138,0								
$B^9$ über d. Meere = + 833,5								
Höhenbestimmungen in $p^{10}$ 1836 29. Nov. $3^h 15'$								
P <sup>9</sup>	- 2000,8	II ruhig	- 34,1	- 2071,0	P <sup>9</sup>	0,31350	348,1	- 2071,0
B <sup>9</sup>	- 2374,0	II ruhig	- 20,6	- 2397,5	B <sup>9</sup>	0,05752	193,1	- 2397,5
B <sup>10</sup>	- 1122,2	II ruhig	- 9,2	- 1124,7	B <sup>10</sup>	9,57420	63,4	- 1124,7
P <sup>11</sup>	- 1891,8	II ruhig	- 14,0	- 1900,8	P <sup>11</sup>	9,85258	120,4	- 1900,8
hieraus folgt $P^{10}$ über $P^9$ = + 2070,1								
$P^{10}$ über d. Meere = + 3222,6								
ferner $B^{10}$ über $B^9$ = + 1272,8								
$B^{10}$ über d. Meere = + 2106,3								
Höhenbestimmungen in $b^{10}$ 1836 28. Nov. $22^h 17'$								
P <sup>10</sup>	+ 1123,1	I etw. unr.	+ 8,4	+ 1126,3	P <sup>10</sup>	9,57420	63,4	+ 1126,3
Kag. K <sup>1</sup>	- 250,1	I etw. unr.	+ 9,5	- 246,4	Kag. K <sup>1</sup>	9,58954	52,2	- 246,4
Kag. K <sup>2</sup>	- 494,2	I etw. unr.	+ 9,5	- 491,3	Kag. K <sup>2</sup>	9,48623	51,8	- 491,3
P <sup>11</sup>	- 775,0	I fast ruhig	+ 4,2	- 773,6	P <sup>11</sup>	9,53078	57,4	- 773,6

Object	Unverb. Höhe, in Z.	Zust. d. Bilder	Refr.	Verb. Höhe in Zollen	Object	$\log D \sin 1''$	C	Mittl. Höhe in Zollen
Höhenbestimmungen in $P^{11}$ 1836 29. Nov. 23 <sup>h</sup> 6'								
Kag. K <sup>2</sup>	+ 271,5	I unruhig	+ 21,9	+ 274,9	Kag. K <sup>2</sup>	9,20742	27,3	+ 274,9
Kag. K <sup>1</sup>	+ 521,3	I unruhig	+ 21,9	+ 524,8	Kag. K <sup>1</sup>	9,20618	27,2	+ 524,8
Kag. Knopf	+ 453,4	I unruhig	+ 21,9	+ 456,9	Kag. Knopf	9,20618	27,2	+ 456,9
$P^{10}$	+ 1886,3	I unruhig	+ 13,7	+ 1896,0	$P^{10}$	9,85258	120,4	+ 1896,0
$B^{10}$	+ 767,5	I unruhig	+ 19,1	+ 774,0	$B^{10}$	9,53078	57,4	+ 774,0

$P^{11}$  bildete den Endpunkt des Nivellements im Jahre 1836; für seine Höhe über  $P^{10}$  haben wir 3 Bestimmungen:

$$\left. \begin{array}{l} P^{11} \text{ über } P^{10} \text{ aus } P^{10} \text{ bestimmt } = - 1900,8 \text{ Zoll} \\ " " " " B^{10} " = - 1899,9 " \\ " " " " P^{11} " = - 1896,0 " \end{array} \right\} \text{Mittel } = - 1898,9 \text{ Zoll}$$

folglich  $P^{11}$  über dem Meere durch die Reihe der Signalbeobachtungen bestimmt = + 1323,7 «

Wir wollen jetzt sehen, was die hiervon ganz unabhängige Bestimmung durch die Basispunkte ergibt.

$$\left. \begin{array}{l} Es \text{ findet sich: } P^{11} \text{ über } B^{10} \text{ aus } P^{10} \text{ bestimmt } = - 776,1 \text{ Z.} \\ " " " " B^{10} " = - 773,6 " \\ " " " " P^{11} " = - 774,0 " \end{array} \right\} \text{Mittel } = - 774,6 \text{ Z.}$$

folglich  $P^{11}$  über dem Meere durch die Reihe der Basisbeob. bestimmt = + 1331,7 «

mit der vorigen Bestimmung bis auf 8 Zoll übereinstimmend, welches für eine Entfernung von nahezu 70 Werst oder 10 deutsche Meilen als genügend angesehen werden kann. Giebt man der letztern Bestimmung durch die Basispunkte doppeltes Gewicht, weil hier alle Höhen aus halben Entfernungen geschlossen sind, gegen die erstere Reihe, so ist die definitive Höhe von  $P^{11}$  über dem mittleren Niveau des Asowschen Meeres: = + 1329,0 Engl. Zoll.

Nach dem Beob. Journal lag der eingerammte Balken bei  $P^{11}$ , dessen Oberfläche den fixen Endpunkt des Nivellements im Jahre 1836 bezeichnete, unter  $P^{11}$ : 10 Fuss 5,0 Zoll = 125,0 Z. folglich:

Endpunkt des Nivellements 1836 über dem Asowschen Meere: = + 1204,0 E. Z.

Die Kirche des Kosackendorfs Kagalnitzkaja Stanitza bietet gleichfalls einige feste Punkte für das Nivellement dar, die wenigstens zur Controle dienen können.

Es bezeichnet: Kag. K<sup>2</sup>: Spitze des Kreuzes auf dem Glockenturm

Kag. K<sup>1</sup>: Spitze des Kreuzes auf der Kuppel

Kag. Knopf: Knopf unter dem Kreuze der Kuppel.

Die Höhe dieser 3 Punkte über  $P^{11}$  und somit über dem Asowschen Meere beträgt im Mittel:

Kag. K<sup>2</sup> über  $P^{11}$  = + 274,9 Z., über dem Asowschen Meere = + 1603,9 Z.

Kag. K<sup>1</sup> " " = + 524,8 " " " " = + 1853,8 "

Kag. Knopf " " = + 456,9 " " " " = + 1785,9 "

Höhenbestimmungen in  $b^{11}$  1837 1 April.

	I. Satz 4 <sup>h</sup> 35'			II. Satz 5 <sup>h</sup> 30'				
Kag. Knopf	- 135,8	I etw. unr.	+ 9,0	- 132,7	Kag. K <sup>2</sup>	9,53598	58,1	- 316,3
$P^{11}$	- 598,5	I unruhig	+ 20,7	- 593,3	Kag. K <sup>1</sup>	9,53371	57,8	- 71,4
$P^{12}$	+ 700,1	I etw. unr.	+ 7,6	+ 703,5	Kag. Knopf	9,53371	57,8	- 134,4
Kag. K <sup>2</sup>	- 314,5	sehr ruhig	- 5,2	- 316,3	$P^{11}$	9,39634	42,1	- 593,4
Kag. K <sup>1</sup>	- 69,6	sehr ruhig	- 5,2	- 71,4	$P^{12}$	9,64571	74,8	+ 703,6
Kag. Knopf	- 133,2	sehr ruhig	- 5,2	- 135,0	hieraus folgt $P^{12}$ über $P^{11}$ = + 1297,0			
$P^{11}$	- 592,5	sehr ruhig	- 3,7	- 593,4	$P^{11}$ (1837) über d. Endpunkt 1836 = + 123,7			
$P^{12}$	+ 706,6	sehr ruhig	- 6,5	+ 703,7	folgl. $P^{11}$ über d. Meere = + 1327,7			
					und $P^{12}$ über dem Meere = + 2624,7			
					(dieses wird auch durch d. Punkte d. Kirche control.)			

Object	Unverb. Höhe, in Z.	Zust. d. Bilder	Refr.	Verb. Höhe in Zollen	Object	$\log D \sin 1''$	C	Mittl. Höhe in Zollen
Höhenbestimmungen in $p^{11}$ 1837 3. April.								
		I. Satz 4 <sup>h</sup> 39'						
Kag. K <sup>2</sup>	+ 275,3	sehr ruhig	- 2,4	+ 274,9	Kag. K <sup>2</sup>	9,20760	27,3	+ 275,0
Kag. K <sup>1</sup>	+ 523,2	sehr ruhig	- 2,4	+ 522,8	Kag. K <sup>1</sup>	9,20647	27,2	+ 522,9
Kag. Knopf	+ 455,9	sehr ruhig	- 2,4	+ 455,5	Kag. Knopf	9,20647	27,2	+ 455,7
B <sup>11</sup>	+ 592,4	sehr ruhig	- 3,7	+ 591,5	B <sup>11</sup>	9,39634	42,1	+ 591,7
		II. Satz 5 <sup>h</sup> 26'			$B^{11}$ über $P^{11}$ (im Mittel aus $b^{11}$ u. $p^{11}$ ) = + 592,5			
Kag. K <sup>2</sup>	+ 279,8	II unruhig	- 23,8	+ 275,7	folgl. $B^{11}$ über dem Meere = + 1920,2			
Kag. K <sup>1</sup>	+ 524,8	II fast ruhig	- 9,9	+ 523,2	(hiemit stimmt auch die Vergleichung mit den Puncten der Kirche)			
Kag. Knopf	+ 457,7	II fast ruhig	- 9,9	+ 456,1				
B <sup>11</sup>	+ 600,0	II unruhig	- 25,1	+ 593,7				
Höhenbestimmungen in $p^{12}$ 1837 5. April.								
		I. Satz 3 <sup>h</sup> 51'						
A <sup>12</sup>	+ 127,6	I fast ruhig	+ 1,9	+ 128,5	A <sup>12</sup>	9,67468	83,7	+ 126,0
P <sup>13</sup>	+ 650,4	I fast ruhig	- 6,8	+ 643,2	P <sup>13</sup>	0,03517	183,6	+ 643,8
Kag. Knopf	- 842,4	I fast ruhig	- 2,3	- 843,9	Kag. Knopf	9,89391	132,6	- 840,7
B <sup>11</sup>	- 705,8	I fast ruhig	+ 2,8	- 704,6	B <sup>11</sup>	9,64560	74,8	- 703,9
		II. Satz 4 <sup>h</sup> 39'			hieraus folgt $A^{12}$ über $B^{11}$ = + 829,9			
A <sup>12</sup>	+ 127,3	I fast ruhig	+ 1,9	+ 128,2	$A^{12}$ über dem Meere = + 2750,1			
P <sup>13</sup>	+ 648,3	I fast ruhig	- 6,8	+ 641,1	Die Höhe von $P^{12}$ über dem Meere ist schon			
Kag. Knopf	- 842,5	I fast ruhig	- 2,3	- 844,0	in $b^{11}$ gegeben. Rechnet man sie über Kag.			
B <sup>11</sup>	- 704,1	I fast ruhig	+ 2,8	- 702,9	Knopf, so stimmt sie mit der früher gegebenen auf 2 Zoll überein.			
		III. Satz 5 <sup>h</sup> 28'						
A <sup>12</sup>	+ 129,4	II ruhig	+ 10,9	+ 124,3				
P <sup>13</sup>	+ 666,8	II ruhig	- 19,6	+ 645,5				
Kag. Knopf	- 825,7	II ruhig	- 15,1	- 837,5				
B <sup>11</sup>	- 700,2	II ruhig	+ 10,0	- 704,6				
		IV. Satz 6 <sup>h</sup> 8'						
A <sup>12</sup>	+ 133,6	II fast ruhig	- 14,9	+ 124,5				
B <sup>11</sup>	- 696,5	II fast ruhig	- 14,0	- 702,7				
Höhenbestimmungen in $p^{13}$ 1837 8. April.								
		I. Satz 5 <sup>h</sup> 14'						
P <sup>14</sup>	- 35,9	I fast ruhig	- 10,9	- 50,6	P <sup>14</sup>	0,13086	228,8	- 50,6
B <sup>13</sup>	- 104,9	I fast ruhig	+ 0,3	- 104,7	B <sup>13</sup>	9,78284	102,8	- 106,0
A <sup>12</sup>	- 512,5	I fast ruhig	- 0,4	- 512,7	A <sup>12</sup>	9,77227	110,0	- 517,1
P <sup>12</sup>	- 636,5	I fast ruhig	- 6,8	- 643,9	P <sup>12</sup>	0,03517	183,6	- 643,9
		II. Satz 5 <sup>h</sup> 58'			hieraus folgt $P^{13}$ über $P^{12}$ = + 643,8			
B <sup>13</sup>	- 101,2	sehr ruhig	- 9,0	- 106,7	$P^{13}$ über dem Meere = + 3268,5			
A <sup>12</sup>	- 513,7	sehr ruhig	- 9,5	- 519,3	ferner $B^{13}$ über $A^{12}$ = + 411,1			
					$B^{13}$ über dem Meere = + 3161,2			

Object	Unverb. Höhe, in Z.	Zust. d. Bilder	Refr.	Verb. Höhe in Zollen	Object	$\log D \sin 1''$	C	Mitl. Höhe in Zollen
--------	------------------------	-----------------	-------	-------------------------	--------	-------------------	---	-------------------------

Höhenbestimmungen in  $p^{14}$  1837 10. April.I. Satz 4<sup>h</sup> 39'

$B^{14}$	- 1088,7	I sehr unr.	+ 34,9	- 1068,8
$B^{13}$	- 71,1	I unruhig	+ 12,2	- 62,0
II. Satz 5 <sup>h</sup> 28'				
$B^{14}$	- 1077,7	I fast ruhig	+ 1,0	- 1077,1
$P^{16}$	+ 881,3	I fast ruhig	- 22,8	+ 831,1
$B^{13}$	- 57,3	I fast ruhig	- 1,6	- 58,5
$P^{13}$	+ 62,4	I fast ruhig	- 11,0	+ 47,5
III. Satz 5 <sup>h</sup> 59'				
$B^{14}$	- 1065,4	II fast ruhig	- 16,0	- 1074,5
$B^{13}$	- 48,6	II fast ruhig	- 18,6	- 62,5

$B^{14}$	9,75762	97,0	- 1075,3
$P^{16}$	0,34107	371,4	+ 831,1
$B^{13}$	9,87374	126,8	- 60,5
$P^{13}$	0,13086	228,8	+ 47,5
hieraus folgt $P^{14}$ über $P^{13} = - 49,1$			
$P^{14}$ über dem Meere + 3219,4			
ferner $B^{14}$ über $B^{13} = - 1014,8$			
$B^{14}$ über dem Meere = + 2146,4			

Höhenbestimmungen in  $p^{15}$  1837 11. April.I. Satz 3<sup>h</sup> 47'

$B^{15}$	+ 291,3	I fast ruhig	+ 3,2	+ 293,1
$B^{14}$	- 1073,4	I fast ruhig	- 2,2	- 1075,0
II. Satz 4 <sup>h</sup> 38'				
$B^{15}$	+ 299,4	sehr ruhig	- 6,3	+ 296,6
$P^{16}$	+ 843,4	sehr rubig	- 12,4	+ 833,1
$B^{14}$	- 1065,8	sehr ruhig	- 11,7	- 1075,1
$P^{14}$	+ 26,0	sehr ruhig	- 20,4	- 1,8
III. Satz 5 <sup>h</sup> 27'				
$B^{15}$	+ 308,5	II unruhig	- 26,9	+ 296,7
$P^{16}$	+ 859,7	II unruhig	- 34,6	+ 831,0
$B^{14}$	- 1056,6	II unruhig	- 32,3	- 1082,1
$P^{14}$	+ 40,0	II unruhig	- 42,5	- 17,9

$B^{15}$	9,64234	74,2	+ 295,6
$P^{16}$	9,91904	140,6	+ 832,7
$B^{14}$	9,89829	134,0	- 1076,1
$P^{14}$	0,13460	230,8	- 5,0
hieraus folgt $P^{15}$ über $P^{14} = + 5,0$			
$P^{15}$ über dem Meere = + 3224,4			
ferner $B^{15}$ über $B^{14} = + 1371,7$			
$B^{15}$ über d. Meere = + 3518,1			

Höhenbestimmungen in  $p^{16}$  1837 12. April.I. Satz 3<sup>h</sup> 47'

$B^{16}$	- 379,1	I etw. unr.	+ 6,0	- 375,8
$B^{15}$	- 542,1	I etw. unr.	+ 8,2	- 538,8
II. Satz 4 <sup>h</sup> 38'				
$B^{16}$	- 373,2	I ruhig	- 4,1	- 375,4
$P^{17}$	- 158,1	I ruhig	- 12,7	- 172,3
$B^{15}$	- 536,7	I ruhig	- 1,9	- 537,5
$P^{15}$	- 827,9	I ruhig	- 8,4	- 834,9

$B^{16}$	9,73520	92,8	- 375,8
$P^{17}$	0,04758	189,0	- 173,2
$B^{15}$	9,60012	67,4	- 538,2
$P^{15}$	9,91904	140,6	- 835,8
hieraus folgt $P^{16}$ über $P^{15} = + 834,2$			
$P^{16}$ über dem Meere = + 4058,6			
ferner $B^{16}$ über $B^{15} = + 162,4$			
$B^{16}$ über d. Meere = + 3680,5			

Object	Unverbess. Höhe, in Z.	Zust. d. Bilder	Refr.	Verb. Höhe in Zollen	Object	$\log D \sin 1''$	C	Mittl. Höhe in Zollen.
III. Satz 5 <sup>h</sup> 27'5.								
B <sup>16</sup>	— 368,7	II fast ruhig	— 15,6	— 377,2				
P <sup>17</sup>	— 149,1	II fast ruhig	— 24,1	— 176,0				
B <sup>15</sup>	— 534,5	II fast ruhig	— 13,4	— 539,8				
P <sup>15</sup>	— 822,2	II fast ruhig	— 19,8	— 838,6				

Höhenbestimmungen in p<sup>17</sup> 1837 14. April.I. Satz 4<sup>h</sup> 39'

B <sup>17</sup>	— 57,4	I sehr unr.	+ 37,3	— 41,8
B <sup>16</sup>	— 234,5	I sehr unr.	+ 34,6	— 214,0
P <sup>16</sup>	+ 155,1	I sehr unr.	+ 17,5	+ 174,6

II. Satz 5<sup>h</sup> 29'

B <sup>17</sup>	— 36,0	II ruhig	— 9,7	— 40,1
B <sup>16</sup>	— 194,2	II ruhig	— 12,4	— 201,5
P <sup>16</sup>	+ 193,9	II ruhig	— 20,1	+ 171,5

III. Satz 6<sup>h</sup> 8'

B <sup>17</sup>	— 20,3	II sehr unr.	— 44,4	— 38,8
B <sup>16</sup>	— 171,5	II sehr unr.	— 47,1	— 199,3

B <sup>17</sup>	9,62003	70,6	— 40,3
B <sup>16</sup>	9,77157	100,0	— 202,2
P <sup>16</sup>	0,04758	189,0	+ 172,0

hieraus folgt P<sup>17</sup> über P<sup>16</sup> = — 172,7P<sup>17</sup> über dem Meere = + 3385,9ferner B<sup>17</sup> über B<sup>16</sup> = + 161,9B<sup>17</sup> über d. Meere = + 3842,4Höhenbestimmungen in p<sup>18</sup> 1837 16. April.I. Satz 5<sup>h</sup> 27'

B <sup>18</sup>	— 76,7	II ruhig	— 11,7	— 83,4
P <sup>19</sup>	+ 169,2	II ruhig	— 21,1	+ 144,2
B <sup>17</sup>	— 129,4	II ruhig	— 26,2	— 169,4
P <sup>17</sup>	— 60,7	II ruhig	— 32,3	— 123,2

II. Satz 5<sup>h</sup> 58'

B <sup>18</sup>	— 72,2	II etw. unr.	— 21,0	— 83,8
B <sup>17</sup>	— 118,8	II etw. unr.	— 35,5	— 173,0

B <sup>18</sup>	9,74087	93,0	— 83,3
P <sup>19</sup>	0,07427	201,0	+ 144,2
B <sup>17</sup>	0,18365	258,4	— 170,3
P <sup>17</sup>	0,28683	327,8	+ 123,2

hieraus folgt P<sup>18</sup> über P<sup>17</sup> = + 123,2P<sup>18</sup> über dem Meere = + 4009,1ferner B<sup>18</sup> über B<sup>17</sup> = + 87,0B<sup>18</sup> über dem Meere = + 3929,4Höhenbestimmungen in p<sup>19</sup> 1836 17. April.I. Satz 4<sup>h</sup> 37,5

B <sup>19</sup>	— 84,1	I unruhig	+ 19,4	— 79,1
P <sup>20</sup>	+ 17,3	I unruhig	+ 16,0	+ 26,3
B <sup>18</sup>	— 236,4	I unruhig	+ 13,2	— 227,4
P <sup>18</sup>	— 167,8	I sehr unr.	+ 18,4	— 145,9

II. Satz 5<sup>h</sup> 27,5

B <sup>19</sup>	— 75,3	II fast ruhig	— 11,4	— 78,3
P <sup>20</sup>	+ 44,3	II fast ruhig	— 15,8	+ 35,4
B <sup>18</sup>	— 204,5	II fast ruhig	— 17,6	— 216,4
P <sup>18</sup>	— 102,7	II fast ruhig	— 25,1	— 132,5

B <sup>19</sup>	9,44361	44,0	— 78,6
P <sup>20</sup>	9,74999	95,2	+ 31,8
B <sup>18</sup>	9,83130	114,8	— 220,8
P <sup>18</sup>	0,07427	201,0	— 137,9

hieraus folgt P<sup>19</sup> über P<sup>18</sup> = + 142,0P<sup>19</sup> über dem Meere = + 4151,1ferner B<sup>19</sup> über B<sup>18</sup> = + 142,2B<sup>19</sup> über d. Meere = + 4071,6

Object	Unverb. Höhe, in Z.	Zust. d. Bilder	Refr.	Verb. Höhe in Zollen	Object	$\log D \sin I''$	C	Mittl. Höhe in Zollen
Höhenbestimmungen in $p^{20}$ 1837 18. April.								
I. Satz 3 <sup>h</sup> 47'5								
$B^{20}$	+ 81,0	I etw. unr.	+ 1",1	+ 82,0	$B^{20}$	9,93977	147",4	+ 76,9
$P^{21}$	+ 386,9	I unruhig	+ 0,9	+ 388,3	$P^{21}$	0,19568	265,8	+ 384,7
$B^{19}$	- 117,1	I sehr unr.	+ 38,9	- 105,1	$B^{19}$	9,48355	51,6	- 103,4
$P^{19}$	- 41,8	I unruhig	+ 16,0	- 32,8	$P^{19}$	9,74999	95,2	- 27,2
II. Satz 4 <sup>h</sup> 37'5								
$B^{20}$	+ 89,7	II ruhig	- 16,6	+ 75,9	N. Egorlik Kirche	9,31435	34,9	+ 159,0
$P^{21}$	+ 426,1	II ruhig	- 26,8	+ 384,0	hieraus folgt $P^{20}$ über $P^{19} = + 29,7$			
$B^{19}$	- 100,6	II ruhig	- 8,1	- 103,1	$P^{20}$ über dem Meere = + 4180,8			
$P^{19}$	- 19,4	II ruhig	- 11,8	- 26,1	ferner $B^{20}$ über $B^{19} = + 180,3$			
III. Satz 5 <sup>h</sup> 27'								
$B^{20}$	+ 99,6	II etw. unr.	- 25,9	+ 77,1	$B^{20}$ über d. Meere = + 4251,9			
$B^{19}$	- 95,9	II unruhig	- 25,1	- 103,6	Novo Egorlitzkaja Kirche, Kuppel			
N. Egorlik Kirche	+ 162,6	II etw. unr.	- 17,6	+ 159,0	Knopf über dem Meere = + 4335,9			

Object	Unverb. Höhe, in Z.	Zust. d. Bilder	Refr.	Verb. Höhe in Zollen	Object	$\log D \sin I''$	C	Mittl. Höhe in Zollen
Höhenbestimmungen in $p^{21}$ 1837 21. April.								
I. Satz 3 <sup>h</sup> 47'5								
$\beta^{21}$	- 360,9	I fast ruhig	- 1,1	- 361,7	$\beta^{21}$	9,85345	121,0	- 366,9
$P^{22}$	- 296,1	I fast ruhig	- 9,3	- 307,6	$P^{22}$	0,09341	210,0	- 304,4
$B^{20}$	- 309,6	I fast ruhig	- 1,0	- 310,4	$B^{20}$	9,84996	119,8	- 309,3
$P^{20}$	- 385,1	I etw. unr.	- 9,4	- 399,8	$P^{20}$	0,19568	265,8	- 402,8
II. Satz 4 <sup>h</sup> 37'5								
$\beta^{21}$	- 365,2	I fast ruhig	- 1,1	- 366,0	hieraus folgt $P^{21}$ über $P^{20} = + 391,9$			
$P^{22}$	- 289,7	I fast ruhig	- 9,3	- 301,2	$P^{21}$ über dem Meere = + 4572,7			
$B^{20}$	- 307,5	I fast ruhig	- 1,0	- 308,3	ferner $\beta^{21}$ über $B^{20} = - 57,6$			
$P^{20}$	- 383,2	I fast ruhig	- 14,3	- 405,6	$\beta^{21}$ über dem Meere = + 4194,3			
III. Satz 5 <sup>h</sup> 27'5								
$\beta^{21}$	- 361,1	II ruhig	- 14,2	- 371,2				
$B^{20}$	- 299,3	II ruhig	- 14,1	- 309,4				

Object	Unverb. Höhe, in Z.	Zust. d. Bilder	Refr.	Verb. Höhe in Zollen	Object	$\log D \sin I''$	C	Mittl. Höhe in Zollen
Höhenbestimmungen in $p^{22}$ 1837 22. April.								
I Satz 3 <sup>h</sup> 47'5								
$\beta^{22}$	- 407,7	I unruhig	+ 14,3	- 399,0	$\beta^{22}$	9,78131	102,4	- 397,6
$P^{23}$	- 500,3	I unruhig	+ 11,6	- 490,3	$P^{23}$	9,93322	145,2	- 490,8
$\beta^{21}$	- 73,4	I unruhig	+ 15,4	- 65,3	$\beta^{21}$	9,72266	89,4	- 65,1
$P^{21}$	+ 285,8	I unruhig	+ 5,9	+ 293,1	$P^{21}$	0,09341	210,0	+ 295,3

Object	Unverb. Höhe, in Z.	Zust. d. Bilder	Refr.	Verb. Höhe in Zollen	Object	$\log D \sin 1''$	C	Mittl. Höhe in Zollen
II. Satz 4 <sup>h</sup> 38'								
$\beta^{22}$	— 394,5	I ruhig	— 5,0	— 397,5				hieraus folgt $P^{22}$ über $P^{21} = - 299,8$
$P^{23}$	— 484,1	I ruhig	— 8,8	— 491,6				$P^{22}$ über dem Meere = + 4272,9
$\beta^{21}$	— 63,3	I ruhig	— 3,9	— 65,4				ferner $\beta^{22}$ über $\beta^{21} = - 332,5$
$P^{21}$	+ 311,9	I ruhig	— 14,5	+ 294,0				$\beta^{22}$ über dem Meere = + 3861,8
III. Satz 5 <sup>h</sup> 27'								
$\beta^{22}$	— 384,5	II etw. unr.	— 21,9	— 397,5				
$P^{23}$	— 457,5	II unruhig	— 35,0	— 487,5				
$\beta^{21}$	— 48,5	II unruhig	— 28,5	— 63,5				
$P^{21}$	+ 354,3	II unruhig	— 40,7	+ 303,8				

## Höhenbestimmungen in $p^{23}$ 1837 24. April.

I. Satz 4 <sup>h</sup> 38'														
$\beta^{23}$	—	666,9	I	unruhig	+	15,6	—	658,8		$\beta^{23}$	9,71640	88'',2	—	661,8
$P^{24}$	—	933,7	I	unruhig	+	0,4	—	933,1		$P^{24}$	0,20549	271,8	—	938,0
$\beta^{22}$	+	91,0	I	unruhig	+	19,5	+	95,9		$\beta^{22}$	9,40376	43,0	+	91,9
$P^{22}$	+	485,3	I	unruhig	+	11,6	+	495,2		$P^{22}$	9,93322	145,2	+	493,4
II. Satz 5 <sup>h</sup> 27,5														
$\beta^{23}$	—	657,3	II	ruhig	—	11,3	—	663,2		hieraus folgt $P^{23}$ über $P^{22} = -$			491,7	
$P^{24}$	—	894,7	II	ruhig	—	27,4	—	938,7		$P^{23}$ über dem Meere = +			3781,2	
$\beta^{22}$	+	94,2	II	fast ruhig	—	11,4	+	91,3		ferner $\beta^{23}$ über $\beta^{22} = -$			753,7	
$P^{22}$	+	510,4	II	fast ruhig	—	20,2	+	493,1		$\beta^{23}$ über dem Meere = +			3108,1	
III. Satz 6 <sup>h</sup> 13,5														
$\beta^{23}$	—	644,8	II	unruhig	—	28,3	—	659,5						
$\beta^{22}$	+	96,2	II	unruhig	—	24,4	+	90,0						

Höhenbestimmungen in  $p^{24}$  1837 25. April.

I. Satz 4 <sup>h</sup> 38'						
$\beta^{24}$	- 165,0	I sehr unr.	+ 30,9	- 139,0	$\beta^{24}$	9,92560
$\beta^{23}$	+ 277,8	I fast ruhig	- 6,9	+ 270,2	$P^{25}$	0,23247
II. Satz 5 <sup>h</sup> 28'						
Sr. Egorlik, K.	+ 104,1	I ruhig	- 4,9	+ 102,2	$P^{23}$	0,20549
$\beta^{24}$	- 135,1	I fast ruhig	- 3,0	- 137,6	Sr. Egorlik, K.	9,58468
$P^{25}$	+ 536,1	I fast ruhig	- 16,3	+ 508,3	hieraus folgt $P^{24}$ über $P^{23} = - 935,7$	
$\beta^{23}$	+ 294,3	sehr ruhig	- 16,4	+ 275,8	$P^{24}$ über dem Meere = + 2845,5	
$P^{23}$	+ 975,7	sehr ruhig	- 24,0	+ 937,2	ferner $\beta^{24}$ über $\beta^{23} = - 408,4$	
III. Satz 6 <sup>h</sup> 14,5						
$\beta^{24}$	- 115,0	II fast ruhig	- 20,0	- 131,9	$\beta^{24}$ über dem Meere = + 2699,7	
$\beta^{23}$	+ 297,7	II ruhig	- 20,0	+ 275,7	Sredni Egorlik, Kirche, Kuppel,	
					Knopf über dem Meere = + 2940,1	

Object	Unverbess. Höhe, in Z.	Zust. d. Bilder	Refr.	Verb. Höhe in Zollen	Object	$\log D \sin 1''$	C	Mittl. Höhe in Zollen.
IV. Satz. 26. April 4 <sup>h</sup> 38',5.								
$\beta^{24}$	- 143,3	I unruhig	+ 10",8	- 134,2				
$P^{25}$	+ 522,3	I etw. unr.	- 11,4	+ 502,9				
$\beta^{23}$	+ 284,7	I ruhig	- 12,4	+ 271,1				
$P^{23}$	+ 961,8	I ruhig	- 20,0	+ 929,7				

Höhenbestimmungen in  $p^{25}$  1837 27. April.I. Satz 3<sup>h</sup> 47',5

$\beta^{25}$	- 66,9	sehr ruhig	- 8,9	- 72,2
$P^{26}$	+ 451,0	sehr ruhig	- 18,1	+ 429,1
$\beta^{24}$	- 640,4	sehr ruhig	- 12,9	- 651,6
$P^{24}$	- 474,1	sehr ruhig	- 25,5	- 517,7

II. Satz 5<sup>h</sup> 27',5

$\beta^{25}$	- 81,5	I etw. unr.	+ 5,2	- 78,4
$\beta^{24}$	- 659,7	I etw. unr.	+ 1,2	- 658,6

III. Satz 6<sup>h</sup> 8'

$\beta^{25}$	- 63,2	II ruhig	- 12,5	- 70,7
$P^{26}$	+ 448,3	II ruhig	- 21,5	+ 422,3
$\beta^{24}$	- 637,4	II ruhig	- 16,5	- 651,7
$P^{24}$	- 462,4	II ruhig	- 28,9	- 511,8

Höhenbestimmungen in  $p^{26}$  1837 29. April.I. Satz 3<sup>h</sup> 49'

$\beta^{26}$	+ 460,7	I ruhig	- 3,6	+ 458,8
$\beta^{25}$	- 498,9	I ruhig	- 5,2	- 502,1

II. Satz 4<sup>h</sup> 43'

$\beta^{26}$	+ 464,4	sehr ruhig	- 7,6	+ 460,5
$P^{27}$	+ 1153,0	sehr ruhig	- 15,6	+ 1136,7
$\beta^{25}$	- 493,9	sehr ruhig	- 9,2	- 499,5
$P^{25}$	- 410,4	sehr ruhig	- 18,1	- 432,3

III. Satz 5<sup>h</sup> 27'

$\beta^{26}$	+ 469,5	II fast ruhig	- 15,1	+ 461,7
$P^{27}$	+ 1163,2	II fast ruhig	- 23,0	+ 1139,2
$\beta^{25}$	- 488,7	II fast ruhig	- 16,7	- 498,9
$P^{25}$	- 400,2	II fast ruhig	- 25,5	- 431,0

$\beta^{25}$	9,77695	101",4	- 72,4
$P^{26}$	0,08254	204,8	+ 425,7
$\beta^{24}$	9,93765	146,8	- 652,6
$P^{24}$	0,23247	289,2	- 514,7

hieraus folgt  $P^{25}$  über  $P^{24} = + 511,8$  $P^{25}$  über dem Meere = + 3357,3ferner  $\beta^{25}$  über  $\beta^{24} = + 580,2$  $\beta^{22}$  über dem Meere = + 3279,9

$\beta^{26}$	9,71017	86,8	+ 460,0
$P^{27}$	0,01895	177,0	+ 1137,2
$\beta^{25}$	9,78682	103,6	- 500,4
$P^{25}$	0,08254	204,8	- 432,0
hieraus folgt $P^{26}$ über $P^{25} = + 427,9$			
$P^{26}$ über dem Meere = + 3785,2			
ferner $\beta^{26}$ über $\beta^{25} = + 960,4$			
$\beta^{26}$ über d. Meere = + 4240,3			

Höhenbestimmungen in  $p^{27}$  1837 3. Mai.I. Satz 5<sup>h</sup> 4'

$\beta^{27}$	- 1123,0	I fast ruhig	- 0,3	- 1123,2
$P^{28}$	- 1465,5	I fast ruhig	- 10,0	- 1478,3
$\beta^{26}$	- 671,4	I fast ruhig	+ 1,7	- 670,5
$P^{26}$	- 1123,4	I fast ruhig	- 6,4	- 1130,1

$\beta^{27}$	9,82002	112,0	- 1124,1
$P^{28}$	0,10990	218,2	- 1478,3
$\beta^{26}$	9,72632	90,2	- 672,0
$P^{26}$	0,01895	177,0	+ 1130,1

Object	Unverb. Höhe, in Z.	Zust. d. Bilder	Refr.	Verb. Höhe in Zollen	Object	$\log D \sin 1''$	C	Mittl. Höhe in Zollen
II. Satz 5 <sup>h</sup> 49'5								
$\beta^{27}$	- 1106,8	II unruhig	- 30,4	- 1126,9				hieraus folgt $P^{27}$ über $P^{26} = + 1134,8$
$P^{28}$	- 1425,1	II unruhig	- 41,4	- 1478,4				$P^{27}$ über dem Meere = + 4920,0
$\beta^{26}$	- 661,1	II unruhig	- 28,5	- 676,3				ferner $\beta^{27}$ über $\beta^{26} = - 452,1$
$P^{26}$	- 1090,6	II unruhig	- 37,9	- 1130,2				$\beta^{27}$ über d. Meere = + 3788,2

Höhenbestimmungen in  $p^{28}$  1837 5. Mai.

I. Satz 4 <sup>h</sup> 41'5								
$\beta^{28}$	- 656,7	I sehr unr.	+ 29,7	- 629,2	$\beta^{28}$	9,96548	156,4	- 632,7
$P^{29}$	- 556,4	I sehr unr.	+ 10,0	- 538,9	$P^{29}$	0,24310	296,4	- 542,0
$\beta^{27}$	+ 351,2	I fast ruhig	+ 0,2	+ 351,3	$\beta^{27}$	9,79847	106,4	+ 348,6
$P^{27}$	+ 1483,4	I fast ruhig	- 10,0	+ 1470,6	$P^{27}$	0,10990	218,2	+ 1468,4
II. Satz 5 <sup>h</sup> 27'5								
$\beta^{28}$	- 631,8	I fast ruhig	- 4,2	- 635,7				hieraus folgt $P^{28}$ über $P^{27} = - 1472,2$
$P^{29}$	- 513,0	I fast ruhig	- 16,9	- 542,6				$P^{28}$ über dem Meere = + 3447,8
$\beta^{27}$	+ 353,8	sehr ruhig	- 9,3	+ 348,0				ferner $\beta^{28}$ über $\beta^{27} = - 981,3$
$P^{27}$	+ 1492,0	sehr ruhig	- 19,2	+ 1467,3				$\beta^{28}$ über d. Meere = + 2806,9
III. Satz 6 <sup>h</sup> 9'5								
$\beta^{28}$	- 603,4	II etw. unr.	- 26,6	- 628,0				
$\beta^{27}$	+ 356,0	II ruhig	- 12,9	+ 347,9				

Höhenbestimmungen in  $p^{29}$  1837 6. Mai.

I. Satz 3 <sup>h</sup> 47'5								
$B^{29}$	- 1049,2	I ruhig	- 6,9	- 1054,3	$B^{29}$	9,86471	124,0	- 1053,6
$P^{30}$	- 335,3	I ruhig	- 16,1	- 357,0	$P^{30}$	0,12941	228,2	- 355,2
$\beta^{28}$	- 84,5	II ruhig	- 15,9	- 98,0	$\beta^{28}$	9,91825	140,4	- 93,4
$P^{28}$	+ 580,9	II ruhig	- 29,5	+ 529,2	$P^{28}$	0,24310	296,4	+ 536,1
II. Satz 4 <sup>h</sup> 37'5								
$B^{29}$	- 1049,4	I ruhig	- 6,9	- 1054,5				hieraus folgt $P^{29}$ über $P^{28} = - 538,3$
$P^{30}$	- 331,7	I ruhig	- 16,1	- 353,4				$P^{29}$ über dem Meere = + 2909,5
$\beta^{28}$	- 80,1	II ruhig	- 15,9	- 93,6				ferner $B^{29}$ über $\beta^{28} = - 960,2$
$P^{28}$	+ 594,8	II ruhig	- 29,5	+ 543,1				$B^{29}$ über dem Meere = + 1846,7
III. Satz 5 <sup>h</sup> 27'5								
$B^{29}$	- 1046,9	I ruhig	- 6,9	- 1052,0				
$\beta^{28}$	- 81,5	I ruhig	- 8,5	- 88,6				

Höhenbestimmungen in  $p^{30}$  1837 8. Mai.

I. Satz 3 <sup>h</sup> 47'5								
$\beta^{30}$	- 106,0	sehr ruhig	- 8,3	- 110,6	$\beta^{30}$	9,74764	94,8	- 111,6
$P^{31}$	- 209,9	sehr ruhig	- 20,4	- 237,7	$P^{31}$	0,13509	231,2	- 241,6
$B^{29}$	- 692,9	sehr ruhig	- 9,3	- 698,7	$B^{29}$	9,79179	104,8	- 698,5
$P^{29}$	+ 379,8	sehr ruhig	- 20,1	+ 352,7	$P^{29}$	0,12941	228,2	+ 355,0

Object	Unverb. Höhe, in Z.	Zust. d. Bilder	Refr.	Verb. Höhe in Zollen	Object	$\log D \sin 1''$	C	Mittl. Höhe in Zollen
II. Satz 4 <sup>h</sup> 37'5								
$\beta^{30}$	- 106,8	sehr ruhig	- 8,3	- 111,4				hieraus folgt $P^{30}$ über $P^{29} = - 355,1$
$P^{31}$	- 217,7	sehr ruhig	- 20,4	- 245,5				$P^{30}$ über dem Meere = + 2554,4
$B^{29}$	- 692,2	sehr ruhig	- 9,3	- 698,0				ferner $\beta^{30}$ über $B^{29} = + 586,9$
$P^{29}$	+ 384,4	sehr ruhig	- 20,1	+ 357,3				$\beta^{30}$ über dem Meere = + 2433,6
III. Satz 5 <sup>h</sup> 27'5								
$\beta^{30}$	- 106,0	II ruhig	- 19,9	- 112,7				
$B^{29}$	- 690,8	II ruhig	- 12,9	- 698,8				

Höhenbestimmungen in  $p^{31}$  1837 9. Mai.I. Satz 3<sup>h</sup> 49'

$\beta^{31}$	- 159,5	I fast ruhig	+ 1,9	- 158,5	$\beta^{31}$	9,70830	86,6	- 160,3
$\beta^{30}$	+ 135,3	I fast ruhig	- 2,5	+ 133,3	$P^{32}$	9,96054	154,6	- 22,4
II. Satz 4 <sup>h</sup> 37'5								
$\beta^{31}$	- 159,4	I ruhig	- 3,6	- 160,9	$\beta^{30}$	9,90785	137,0	+ 131,5
$P^{32}$	- 13,1	I ruhig	- 9,7	- 22,0	$P^{30}$	0,13509	231,2	+ 239,0
$\beta^{30}$	+ 138,2	I ruhig	- 8,0	+ 131,7	Letnitzkoe Kirche	9,56127	61,6	+ 61,8
$P^{30}$	+ 264,0	I ruhig	- 16,4	+ 241,6	hieraus folgt $P^{31}$ über $P^{30} = - 240,3$			
III. Satz 5 <sup>h</sup> 29'								
$\beta^{31}$	- 156,8	sehr ruhig	- 7,6	- 160,7	$P^{31}$ über dem Meere	= + 2314,1		
$P^{32}$	- 10,3	sehr ruhig	- 13,7	- 22,8	$\beta^{31}$ über $\beta^{30} = + 291,8$			
Letnitzkoe, Kir.	+ 63,8	sehr ruhig	- 5,5	+ 61,8	$\beta^{31}$ über d. Meere	= + 2141,8		
$\beta^{30}$	+ 140,2	sehr ruhig	- 12,0	+ 130,4	Letnitzkoe Kirche, Kuppel Kugel			
$P^{30}$	+ 264,1	sehr ruhig	- 20,4	+ 236,3	über dem Meere	= + 2367,9		

Höhenbestimmungen in  $p^{32}$  1837 10. Mai.I. Satz 3<sup>h</sup> 47'5

$\beta^{32}$	- 239,6	I unruhig	+ 14,6	- 231,1	$\beta^{32}$	9,76485	98,6	- 237,9
$P^{33}$	+ 65,1	I unruhig	+ 5,9	+ 71,3	$P^{33}$	0,09371	210,2	+ 70,1
$\beta^{31}$	- 138,1	I fast ruhig	+ 1,9	- 137,1	$\beta^{31}$	9,70899	86,6	- 138,1
$P^{31}$	+ 30,4	I fast ruhig	- 4,5	+ 26,3	$P^{31}$	9,96054	154,6	+ 24,6
II. Satz 4 <sup>h</sup> 37'5								
$\beta^{32}$	- 235,7	I ruhig	- 4,7	- 238,4	hieraus folgt $P^{32}$ über $P^{31} = - 23,4$			
$P^{33}$	+ 87,9	I ruhig	- 14,5	+ 69,9	$P^{32}$ über dem Meere	= + 2290,7		
$\beta^{31}$	- 135,1	I ruhig	- 3,6	- 136,9	$\beta^{32}$ über $\beta^{31} = - 99,8$			
$P^{31}$	+ 32,6	I ruhig	- 9,7	+ 23,7	$\beta^{32}$ über dem Meere	= + 2042,0		
III. Satz 5 <sup>h</sup> 27'5								
$\beta^{32}$	- 234,8	sehr ruhig	- 8,7	- 239,8				
$\beta^{31}$	- 135,8	sehr ruhig	- 7,6	- 139,7				

Object	Unverb. Höhe, in Z.	Zust. d. Bilder	Refr.	Verb. Höhe in Zollen	Object	$\log D \sin 1'$	C	Mittl. Höhe in Zollen			
Höhenbestimmungen in $p^{33}$ 1837 11. Mai.											
I. Satz 3 <sup>h</sup> 47',5											
$\beta^{33}$	- 162,7	I fast ruhig	- 0,3	- 162,9	$\beta^{33}$	9,81949	111",8	- 164,4			
$\beta^{32}$	- 308,9	I unruhig	+ 13,5	- 302,0	$P^{34}$	0,11644	221,4	+ 111,9			
II. Satz 4 <sup>h</sup> 37',5											
$\beta^{33}$	- 158,7	I fast ruhig	- 0,3	- 158,9	$\beta^{32}$	9,82005	112,0	- 307,8			
$P^{34}$	+ 129,7	I fast ruhig	- 10,0	+ 116,4	$P^{32}$	0,09371	210,2	- 66,9			
$\beta^{32}$	- 306,8	I fast ruhig	- 0,3	- 307,0	hieraus folgt $P^{33}$ über $P^{32}$ = + 68,1						
$P^{32}$	- 54,1	I fast ruhig	- 9,3	- 65,7	$P^{33}$ über dem Meere = + 2358,8						
III. Satz 5 <sup>h</sup> 27',5											
$\beta^{33}$	- 159,2	II ruhig	- 13,2	- 167,9	ferner $\beta^{33}$ über $\beta^{32}$ = + 143,4						
$P^{34}$	+ 139,5	II ruhig	- 22,9	+ 109,6	$\beta^{33}$ über d. Meere = + 2185,4						
$\beta^{32}$	- 301,5	II ruhig	- 13,2	- 310,2							
$P^{32}$	- 40,5	II ruhig	- 21,9	- 67,7							
Höhenbestimmungen in $p^{34}$ 1837 13. Mai.											
I. Satz 4 <sup>h</sup> 38'											
$\beta^{34}$	- 28,7	I fast ruhig	- 2,8	- 31,0	$\beta^{34}$	9,92128	141,2	- 26,8			
$P^{35}$	+ 375,7	I fast ruhig	- 8,2	+ 366,1	$P^{35}$	0,06611	197,2	+ 366,5			
$\beta^{33}$	- 276,7	I etw. unr.	+ 4,4	- 273,8	$\beta^{33}$	9,81478	110,6	- 276,6			
$P^{33}$	- 98,5	I etw. unr.	- 5,4	- 105,6	$P^{33}$	0,11644	221,4	- 102,5			
II. Satz 5 <sup>h</sup> 27',5											
$\beta^{34}$	- 18,6	I ruhig	- 8,3	- 25,5	hieraus folgt $P^{34}$ über $P^{33}$ = + 108,4						
$P^{35}$	+ 382,7	I ruhig	- 13,7	+ 366,7	$P^{34}$ über dem Meere + 2467,2						
$\beta^{33}$	- 275,1	I fast ruhig	- 0,2	- 275,3	$\beta^{34}$ über $\beta^{33}$ = + 249,8						
$P^{33}$	- 86,9	I fast ruhig	- 10,3	- 100,4	$\beta^{34}$ über dem Meere = + 2435,2						
III. Satz 6 <sup>h</sup> 9,5											
$\beta^{34}$	+ 4,0	II unruhig	- 33,0	- 23,6							
$\beta^{33}$	- 268,0	II fast ruhig	- 17,2	- 279,2							
Höhenbestimmungen in $p^{35}$ 1837 14. Mai.											
I. Satz 4 <sup>h</sup> 37',5											
$\beta^{35}$	+ 642,7	I etw. unr.	- 2,2	+ 640,2	$\beta^{35}$	0,03783	184,8	+ 640,7			
$P^{36}$	+ 2560,7	I fast ruhig	- 21,9	+ 2515,1	$P^{36}$	0,31853	352,8	+ 2516,0			
$\beta^{34}$	- 392,9	I fast ruhig	+ 4,5	- 391,4	$\beta^{34}$	9,51979	56,0	- 391,7			
$P^{34}$	- 350,9	I fast ruhig	- 8,2	- 360,5	$P^{34}$	0,06611	197,2	- 357,4			
II. Satz 5 <sup>h</sup> 27',5											
$\beta^{35}$	+ 661,3	II ruhig	- 19,8	+ 639,7	hieraus folgt $P^{35}$ über $P^{34}$ = + 361,3						
$P^{36}$	+ 2588,1	II ruhig	- 34,5	+ 2516,3	$P^{35}$ über dem Meere = + 2828,5						
$\beta^{34}$	- 388,5	II ruhig	- 8,6	- 391,3	ferner $\beta^{35}$ über $\beta^{34}$ = + 1032,4						
$P^{34}$	- 332,2	II ruhig	- 20,8	- 356,4	$\beta^{35}$ über dem Meere = + 3467,6						

Object	Unverb. Höhe, in Z.	Zust. d. Bilder	Refr.	Verb. Höhe in Zollen	Object	$\log D \sin I''$	C	Mittl. Höhe in Zollen
		III. Satz 6 <sup>h</sup> 8,5						
$\beta^{35}$	+ 686,2	II unruhig	- 36,8	+ 645,9				
$\beta^{34}$	- 385,5	II unruhig	- 25,6	- 394,0				

Höhenbestimmungen in  $p^{36}$  1837 16. Mai.I. Satz 3<sup>h</sup> 47,5

$\beta^{36}$	- 925,1	I etw. unr.	- 0,7	- 925,8
$\beta^{35}$	- 1876,3	I etw. unr.	- 1,0	- 1877,3
		II. Satz 4 <sup>h</sup> 37,5		
$\beta^{36}$	- 922,3	I fast ruhig	- 5,3	- 927,6
$P^{37}$	- 395,0	I fast ruhig	- 18,0	- 427,8
$\beta^{35}$	- 1872,0	I fast ruhig	- 5,6	- 1877,7
$P^{35}$	- 2478,4	I fast ruhig	- 21,9	- 2524,0
		III. Satz 5 <sup>h</sup> 27,5		
$\beta^{36}$	- 912,9	sehr ruhig	- 14,8	- 927,6
$P^{37}$	- 383,2	sehr ruhig	- 27,2	- 432,7
$\beta^{35}$	- 1866,1	sehr ruhig	- 15,1	- 1881,5
$P^{35}$	- 2472,4	sehr ruhig	- 31,1	- 2537,1

$\beta^{36}$	9,99799	168,6	- 927,3
$P^{37}$	0,26036	308,4	- 430,7
$\beta^{35}$	0,00763	172,4	- 1879,5
$P^{35}$	0,31853	352,8	- 2530,4
hieraus folgt $P^{36}$ über $P^{35} = + 2523,0$			
$P^{36}$ über dem Meere = + 5351,5			
$\beta^{36}$ über $\beta^{35} = + 952,2$			
$\beta^{36}$ über dem Meere = + 4419,8			

Höhenbestimmungen in  $p^{37}$  1837 17. Mai.I. Satz 4<sup>h</sup> 38'

$\beta^{37}$	- 426,9	I etw. unr.	+ 1,8	- 425,5
$P^{38}$	+ 790,6	I etw. unr.	- 13,4	+ 765,9
$\beta^{36}$	- 496,5	I fast ruhig	- 2,8	- 498,8
$P^{36}$	+ 446,1	I unruhig	- 3,0	+ 440,6
		II. Satz 5 <sup>h</sup> 27,5		
$\beta^{37}$	- 430,0	I etw. unr.	+ 1,8	- 428,5
$P^{38}$	+ 794,6	I etw. unr.	- 13,4	+ 769,9
$\beta^{36}$	- 498,6	I etw. unr.	+ 1,8	- 497,1
$P^{36}$	+ 454,9	I etw. unr.	- 13,1	+ 431,1
		III. Satz 6 <sup>h</sup> 10'		
$\beta^{37}$	- 417,9	sehr ruhig	- 12,3	- 428,1
$\beta^{36}$	- 487,9	sehr ruhig	- 12,3	- 498,1

$\beta^{37}$	9,91757	140,0	- 427,4
$P^{38}$	0,26519	312,0	+ 767,9
$\beta^{36}$	9,91691	139,8	- 498,2
$P^{36}$	0,26036	308,4	+ 434,3
hieraus folgt $P^{37}$ über $P^{36} = - 431,6$			
$P^{37}$ über d. Meere = + 4919,9			
ferner $\beta^{37}$ über $\beta^{36} = + 70,5$			
$\beta^{37}$ über d. Meere = + 4490,3			

Höhenbestimmungen in  $p^{38}$  1837 18. Mai.I. Satz 4<sup>h</sup> 39,5

$\alpha^{38}$	+ 243,5	I fast ruhig	- 6,3	+ 236,8
$P^{39}$	+ 1373,6	I fast ruhig	- 22,0	+ 1327,7
$\beta^{37}$	- 1181,9	I fast ruhig	- 5,6	- 1187,6
$P^{37}$	- 722,3	I fast ruhig	- 18,4	- 756,2

$\alpha^{38}$	0,02642	180,0	+ 231,3
$P^{39}$	0,31960	353,6	+ 1328,3
$\beta^{37}$	0,00625	171,8	- 1194,6
$P^{37}$	0,26519	312,0	- 766,9

Object	Unverb. Höhe, in Z.	Zust. d. Bilder	Refr.	Verb. Höhe in Zollen	Object	$\log D \sin 1'$	C	Mittl. Höhe in Zollen
II. Satz 5 <sup>h</sup> 27',5								
$\alpha^{38}$	+ 251,6	II ruhig	- 19,4	+ 230,5				hieraus folgt $P^{38}$ über $P^{37} = + 767,1$
$P^{39}$	+ 1400,3	II ruhig	- 34,5	+ 1328,5				$P^{38}$ über d. Meere = + 5687,0
$\beta^{37}$	- 1177,9	II ruhig	- 18,7	- 1196,9				ferner $\alpha^{38}$ über $\beta^{37} = + 1425,9$
$P^{37}$	- 715,1	II ruhig	- 31,0	- 772,2				$\alpha^{38}$ über d. Meere = + 5916,2
III. Satz 6 <sup>h</sup> 10,5								
$\alpha^{38}$	+ 262,3	II unruhig	- 36,4	+ 223,6				
$\beta^{37}$	- 1169,6	II etw. unr.	- 28,0	- 1198,0				

Höhenbestimmungen in  $p^{39}$  1837 19. Mai.I. Satz 4<sup>h</sup> 37',5

$\beta^{39}$	-- 6,0	I etw. unr.	+ 8,0	- 2,6
$\alpha^{38}$	- 1104,5	I unruhig	+ 8,0	- 1096,3
$P^{38}$	- 1314,3	I unruhig	- 6,8	- 1328,5
II. Satz 5 <sup>h</sup> 27',5				
$\beta^{39}$	- 3,2	I fast ruhig	+ 3,4	- 1,8
$\alpha^{38}$	- 1091,5	I fast ruhig	- 5,8	- 1097,4
$P^{38}$	- 1283,3	I fast ruhig	- 22,0	- 1329,2
III. Satz 6 <sup>h</sup> 8,5				
$\beta^{39}$	- 1,2	sehr ruhig	- 6,1	- 3,8
$\alpha^{38}$	- 1079,7	sehr ruhig	- 15,3	- 1095,4

$\beta^{39}$	9,62913	72",2	- 3,0
$\alpha^{38}$	0,01134	173,8	- 1096,1
$P^{38}$	0,31960	353,6	- 1329,0

hieraus folgt  $P^{39}$  über  $P^{38} = + 1328,5$

$P^{39}$  über dem Meere = + 7015,5  
ferner  $\beta^{39}$  über  $\alpha^{38} = + 1093,1$   
 $\beta^{39}$  über d. Meere = + 7009,3

Höhenbestimmungen in $p^{40}$ 1837 21. Mai.								
I. Satz 3 <sup>h</sup> 47',5								
$\alpha^{40}$	- 308,4	I ruhig	- 4,5	- 311,0				
$P^{41}$	- 46,6	I ruhig	- 21,3	- 82,6				
$\beta^{39}$	+ 60,5	II ruhig	- 14,4	+ 50,1				
$P^{39}$	+ 76,2	II ruhig	- 20,6	+ 52,5				
II. Satz 4 <sup>h</sup> 37',5								
$\alpha^{40}$	- 309,6	I fast ruhig	+ 1,0	- 309,1				
$P^{41}$	- 51,7	I ruhig	- 21,3	- 87,7				
$\beta^{39}$	+ 58,1	sehr ruhig	- 10,8	+ 50,3				
$P^{39}$	+ 76,0	II ruhig	- 20,6	+ 52,3				
III. Satz 5 <sup>h</sup> 27',5								
$\alpha^{40}$	- 302,4	II fast ruhig	- 16,0	- 311,6				
$\beta^{39}$	+ 58,7	II ruhig	- 14,0	+ 48,1				

hieraus folgt  $P^{40}$  über  $P^{39} = - 52,4$

$P^{40}$  über d. Meere = + 6963,1  
 $\alpha^{40}$  über  $\beta^{39} = - 360,3$   
 $\alpha^{40}$  über dem Meere = + 6649,0

Höhenbestimmungen in $p^{41}$ 1837 22. Mai.								
I. Satz 3 <sup>h</sup> 47',5								
$\beta^{41}$	+ 397,8	I etw. ruhig	+ 2,3	+ 399,6				
$\alpha^{40}$	- 212,3	I fast ruhig	- 7,1	- 220,2				

Object <sup>1</sup>	Unverb. Höhe, in Z.	Zust. d. Bilder	Refr.	Verb. Höhe in Zollen	Object	$\log D \sin I''$	C	Mittl. Höhe in Zollen
		II. Satz 4 <sup>h</sup> 38'			$\beta^{41}$	9,90065	135'',0	+ 400,2
$\beta^{41}$	+ 400,5	I fast ruhig	- 2'',3	+ 398,7	$P^{42}$	0,20473	271,8	+ 3105,5
$P^{42}$	+ 3130,3	I fast ruhig	- 14,8	+ 3106,6	$\alpha^{40}$	0,04804	189,4	- 220,7
$\alpha^{40}$	- 211,3	I fast ruhig	- 7,1	- 219,2	$P^{40}$	0,22787	286,6	+ 87,9
$P^{40}$	+ 110,9	I fast ruhig	- 16,1	+ 83,7	Novo Troitzk, K.	9,80887	109,0	- 531,3
		III. Satz 5 <sup>h</sup> 27',5						hieraus folgt $P^{41}$ über $P^{40} = - 86,5$
$\beta^{41}$	+ 407,9	I ruhig	- 7,8	+ 401,7				$P^{41}$ über dem Meere = + 6876,6
$P^{42}$	+ 3136,8	I ruhig	- 20,0	+ 3104,8				ferner $\beta^{41}$ über $\alpha^{40} = + 620,9$
$\alpha^{40}$	- 208,0	I ruhig	- 12,6	- 222,1				$\beta^{41}$ über dem Meere = + 7269,9
$P^{40}$	+ 126,7	I ruhig	- 21,3	+ 90,7	Novo Troitzk, Kirche,			
Novo Troitzk, K.	- 527,7	I ruhig	- 5,6	- 531,3				Knopf über dem Meere = + 6340,7

Höhenbestimmungen in  $p^{42}$  1837 23. Mai.I. Satz 3<sup>h</sup> 48',5

$\beta^{42}$	+ 306,0	I fast ruhig	+ 3,6	+ 307,4
$P^{43}$	+ 3576,1	I fast ruhig	- 5,5	+ 3570,7
$\beta^{41}$	- 2701,4	I fast ruhig	- 2,5	- 2702,9
$P^{41}$	- 3078,6	I fast ruhig	- 14,8	- 3102,3

II. Satz 4<sup>h</sup> 37',5

$\beta^{42}$	+ 307,5	I fast ruhig	+ 3,6	+ 308,9
$P^{43}$	+ 3574,9	I ruhig	- 10,7	+ 3564,5
$\beta^{41}$	- 2697,1	I ruhig	- 8,0	- 2701,8
$P^{41}$	- 3077,5	I ruhig	- 20,0	- 3109,5

III. Satz 5<sup>h</sup> 27',5

$\beta^{42}$	+ 308,3	sehr ruhig	- 5,9	+ 306,0
$\beta^{41}$	- 2695,0	sehr ruhig	- 12,0	- 2704,7

$\beta^{42}$	9,59439	66,6	+ 307,1
$P^{43}$	9,99230	166,6	+ 3567,0
$\beta^{41}$	9,90744	137,0	- 2703,3
$P^{41}$	0,20473	271,8	- 3106,6

hieraus folgt $P^{42}$ über $P^{41} = + 3106,0$		
$P^{42}$ über dem Meere = + 9982,6		
$\beta^{42}$ über $\beta^{41} = + 3010,4$		
$\beta^{42}$ über d. Meere = + 10280,3		

Höhenbestimmungen in  $p^{43}$  1837 25. Mai.I. Satz 3<sup>h</sup> 47',5

$\beta^{43}$	+ 528,3	I etw. unr.	+ 5,3	+ 531,4
$P^{44}$	+ 1236,7	I etw. unr.	- 3,3	+ 1232,9
$\beta^{42}$	- 3256,7	I fast ruhig	+ 0,7	- 3256,3
$P^{42}$	- 3555,4	I fast ruhig	- 5,5	- 3560,8

II. Satz 4<sup>h</sup> 37',5

$\beta^{43}$	+ 531,5	I ruhig	- 4,8	+ 528,8
$P^{44}$	+ 1244,9	I fast ruhig	- 8,2	+ 1235,4
$\beta^{42}$	- 3253,4	I ruhig	- 4,8	- 3256,2
$P^{42}$	- 3551,9	I ruhig	- 9,7	- 3561,4

III. Satz 5<sup>h</sup> 27',5

$\beta^{43}$	+ 537,4	II fast ruhig	- 16,3	+ 527,8
$\beta^{42}$	- 3253,5	II ruhig	- 12,4	- 3260,8

$\beta^{43}$	9,76990	99,8	+ 528,9
$P^{44}$	0,06467	196,8	+ 1234,4
$\beta^{42}$	9,77093	100,0	- 3258,1
$P^{42}$	9,99230	166,6	- 3561,2

hieraus folgt $P^{43}$ über $P^{42} = + 3564,1$		
$P^{43}$ über d. Meere = + 13546,7		
$\beta^{43}$ über $\beta^{42} = + 3787,0$		
$\beta^{43}$ über d. Meere = + 14067,3		

Object	Unverb. Höhe, in Z.	Zust. d. Bilder	Refr.	Verb. Höhe in Zollen	Object	$\log D \sin 1''$	C	Mittl. Höhe in Zollen			
Höhenbestimmungen in $p^{44}$ 1837 30. Mai.											
I. Satz 3 <sup>h</sup> 47'											
$\beta^{44}$	- 1037,5	I fast ruhig	+ 2,3	- 1036,4	$\beta^{44}$	9,68636	82,4	- 1036,6			
$P^{45}$	+ 676,7	I fast ruhig	- 14,9	+ 652,7	$P^{45}$	0,20692	273,0	+ 657,1			
$\beta^{43}$	- 704,1	I fast ruhig	+ 1,0	- 703,6	$\beta^{43}$	9,75943	97,4	- 703,6			
$P^{43}$	- 1224,9	I fast ruhig	- 8,2	- 1234,4	$P^{43}$	0,06468	196,8	- 1235,1			
II. Satz 4 <sup>h</sup> 38'											
$\beta^{44}$	- 1036,4	I fast ruhig	+ 2,3	- 1035,3				hieraus folgt $P^{44}$ über $P^{34} = + 1234,7$			
$P^{45}$	+ 685,5	I fast ruhig	- 14,9	+ 661,5	$P^{44}$ über d. Meere = + 14781,4			$\beta^{44}$ über $\beta^{43} = - 333,0$			
$\beta^{43}$	- 707,2	I etw. unr.	+ 5,6	- 704,0	$\beta^{44}$ über d. Meere = + 13734,4						
$P^{43}$	- 1232,8	I etw. unr.	- 3,3	- 1236,6							
III. Satz 5 <sup>h</sup> 27,5											
$\beta^{44}$	- 1035,8	I ruhig	- 3,2	- 1037,3							
$\beta^{43}$	- 703,9	I fast ruhig	+ 1,0	- 703,4							
Höhenbestimmungen in $p^{45}$ 1837 31. Mai.											
I. Satz 4 <sup>h</sup> 38'											
$\alpha^{45}$	+ 2056,9	I unruhig	+ 8,7	+ 2065,5	$\alpha^{40}$	9,99329	167,0	+ 2068,1			
$P^{46}$	+ 3314,8	I sehr unr.	+ 13,5	+ 3335,2	$P^{46}$	0,17896	256,0	+ 3334,1			
$\beta^{44}$	- 1685,3	I etw. unr.	- 2,7	- 1688,4	$\beta^{44}$	0,05346	191,8	- 1691,4			
$P^{44}$	- 627,9	I fast ruhig	- 14,9	- 651,9	$P^{44}$	0,20692	273,0	- 655,5			
II. Satz 5 <sup>h</sup> 27,5											
$\alpha^{45}$	+ 2066,6	I etw. unr.	+ 0,9	+ 2067,5	hieraus folgt $P^{45}$ über $P^{44} = + 656,0$			$P^{45}$ über d. Meere = + 15437,4			
$P^{46}$	+ 3346,4	I etw. unr.	- 8,5	+ 3333,6	ferner $\alpha^{45}$ über $\beta^{44} = + 3759,5$			$\alpha^{45}$ über d. Meere = + 17493,8			
$\beta^{44}$	- 1676,3	I ruhig	- 12,8	- 1690,8							
$P^{44}$	- 624,9	I ruhig	- 20,1	- 657,3							
III. Satz 6 <sup>h</sup> 13'											
$\alpha^{45}$	+ 2079,4	I ruhig	- 10,6	+ 2068,9							
$\beta^{44}$	- 1673,6	sehr ruhig	- 16,8	- 1692,6							
Höhenbestimmungen in $p^{46}$ 1837 1. Juni.											
I. Satz 3 <sup>h</sup> 47'											
$\beta^{46}$	+ 1688,8	II ruhig	- 17,6	+ 1672,3	$\beta^{46}$	9,97207	159,0	+ 1670,6			
$P^{47}$	+ 2724,7	II fast ruhig	- 28,6	+ 2684,2	$P^{47}$	0,15098	240,2	+ 2684,2			
$\alpha^{45}$	- 1261,0	II ruhig	- 11,6	- 1267,2	$\alpha^{45}$	9,72471	90,0	- 1267,2			
$P^{45}$	- 3299,8	II ruhig	- 26,0	- 3339,0	$P^{45}$	0,17896	256,0	- 3339,0			
II. Satz 4 <sup>h</sup> 37,5											
$\beta^{46}$	+ 1698,1	II unruhig	- 34,6	+ 1665,7	hieraus folgt $P^{46}$ über $P^{45} = + 3337,3$			$P^{46}$ über d. Meere = + 18774,7			
$\alpha^{45}$	- 1253,0	II unruhig	- 28,5	- 1268,1	$\beta^{46}$ über $\alpha^{45} = + 2937,8$			$\beta^{46}$ über d. Meere = + 20431,6			
III. Satz 5 <sup>h</sup> 29'											
$\beta^{46}$	+ 1701,2	II unruhig	- 34,6	+ 1668,8							
$\alpha^{45}$	- 1251,0	II unruhig	- 28,5	- 1266,1							

Object	Unverb. Höhe, in Z.	Zust. d. Bilder	Refr.	Verb. Höhe in Zollen	Object	$\log D \sin 1''$	C	Mittl. Höhe in Zollen
Höhenbestimmungen in $p^{47}$ 1837 4. Juni.								
I. Satz 3 <sup>h</sup> 49'								
$\beta^{47}$	— 2262,5	I fast ruhig	+ 3,3	— 2261,1	$\beta^{47}$	9,63148	72",6	— 2263,1
$P^{48}$	+ 831,1	I ruhig	— 11,2	+ 819,5	$P^{48}$	0,00968	173,4	+ 817,7
$\beta^{46}$	— 1008,6	I ruhig	— 3,1	— 1010,1	$\beta^{46}$	9,68086	81,4	— 1009,1
$P^{46}$	— 2659,2	I fast ruhig	— 12,0	— 2676,2	$P^{46}$	0,15098	240,2	— 2678,5
II. Satz 4 <sup>h</sup> 38'								
$\beta^{47}$	— 2261,4	sehr ruhig	— 6,1	— 2264,0	hieraus folgt $P^{47}$ über $P^{46} = + 2680,4$			
$P^{48}$	+ 832,0	sehr ruhig	— 15,2	+ 816,5	$P^{47}$ über d. Meere = + 21455,1			
$\beta^{46}$	— 1009,2	I fast ruhig	+ 2,4	— 1008,0	$\beta^{47}$ über $\beta^{46} = - 1254,0$			
$P^{46}$	— 2671,9	I etw. unr.	— 7,1	— 2681,9	$\beta^{47}$ über d. Meere = + 19177,6			
III. Satz 5 <sup>h</sup> 31'								
$\beta^{47}$	— 2260,5	sehr ruhig	— 6,1	— 2263,1				
$\beta^{46}$	— 1001,2	II fast ruhig	— 14,6	— 1008,2				

Object	Unverb. Höhe, in Z.	Zust. d. Bilder	Refr.	Verb. Höhe in Zollen	Object	$\log D \sin 1''$	C	Mittl. Höhe in Zollen
Höhenbestimmungen in $p^{48}$ 1837 6. Juni.								
I. Satz 3 <sup>h</sup> 48'								
$\beta^{48}$	— 2607,4	II fast ruhig	— 15,3	— 2615,5	$\beta^{48}$	9,72178	89,4	— 2612,8
$P^{49}$	— 3911,5	II fast ruhig	— 22,8	— 3934,9	$P^{49}$	0,01249	174,6	— 3933,2
$\beta^{47}$	— 3071,5	II fast ruhig	— 17,2	— 3082,7	$\beta^{47}$	9,81542	110,8	— 3082,7
$P^{47}$	— 799,7	II fast ruhig	— 22,6	— 822,8	$P^{47}$	0,00968	173,4	— 821,5
II. Satz 4 <sup>h</sup> 37,5								
$\beta^{48}$	— 2609,9	I ruhig	— 3,8	— 2611,9	St. Kupp. Knopf	9,03962	18,5	— 711,4
$P^{49}$	— 3921,0	I ruhig	— 11,4	— 3932,7	“ “ Kreutzsp.	9,03962	18,5	— 625,1
$\beta^{47}$	— 3077,8	I ruhig	— 5,7	— 3081,5	“ Gl. Th. Spitze	9,02493	17,9	— 704,8
$P^{47}$	— 802,0	II ruhig	— 18,7	— 821,1	“ Schwelle	9,02493	17,9	— 2011
Stawr. Kupp. Knopf	— 711,3	sehr ruhig	— 1,6	— 711,5	hieraus folgt $P^{48}$ über $P^{47} = + 819,4$			
III. Satz 5 <sup>h</sup> 30'								
$\beta^{48}$	— 2608,2	sehr ruhig	— 7,8	— 2612,3	$P^{48}$ über dem Meere = + 22274,5			
$\beta^{47}$	— 3074,0	II fast ruhig	— 17,2	— 3085,2	ferner $\beta^{48}$ über $\beta^{47} = + 469,9$			
St. Kupp. Knopf	— 711,2	sehr ruhig	— 1,6	— 711,4	$\beta^{48}$ über dem Meere = + 19647,5			
“ “ Kreutzsp.	— 624,9	sehr ruhig	— 1,6	— 625,1	über d. Meere			
“ Gl. Th. Spitze	— 704,6	sehr ruhig	— 1,6	— 704,8	Stawropol Cathedr., Kuppel Knopf = + 21553,6			
“ Schwelle	— 2011	sehr ruhig	— 1,6	— 2011	“ “ “ Kreutzsp. = + 21639,9			
					“ “ “ Glockenthurm, Sp. = + 21560,2			
					“ “ “ Schwelled. Hptthür = + 20254			

Object	Unverb. Höhe, in Z.	Zust. d. Bilder	Refr.	Verb. Höhe in Zollen	Object	$\log D \sin 1''$	C	Mittl. Höhe in Zollen
Höhenbestimmungen in $p^{49}$ 1837 8. Juni.								
I. Satz 3 <sup>h</sup> 47,5								
$\alpha^{49}$	— 4636,4	I unruhig	+ 7,2	— 4628,6				
$\beta^{48}$	+ 1314,5	I unruhig	+ 15,8	+ 1322,4				

Object	Unverb. Höhe, in Z.	Zust. d. Bilder	Refr.	Verb. Höhe in Zollen	Object	$\log D \sin I''$	C	Mittl. Höhe in Zollen	
II. Satz 4 <sup>h</sup> 37',5									
$\alpha^{49}$	- 4622,2	I fast ruhig	- 6,6	- 4629,4	$\alpha^{49}$	0,03519	183',4	- 4633,2	
$P^{50}$	- 6088,1	I fast ruhig	- 16,4	- 6116,3	$P^{50}$	0,23544	290,0	- 6121,7	
$\beta^{48}$	+ 1321,5	I fast ruhig	+ 2,0	+ 1322,5	$\beta^{48}$	9,70122	85,0	+ 1321,6	
$P^{48}$	+ 3943,3	I fast ruhig	- 6,2	+ 3936,9	$P^{48}$	0,01249	174,6	+ 3934,2	
III. Satz 5 <sup>h</sup> 27',5									
$\alpha^{49}$	- 4622,8	I ruhig	- 12,1	- 4636,2	hieraus folgt $P^{49}$ über $P^{48} = - 3933,8$			$P^{49}$ über dem Meere = + 18340,7	
$P^{50}$	- 6087,3	I ruhig	- 21,6	- 6124,4	ferner $\alpha^{49}$ über $\beta^{48} = - 5954,8$			$\alpha^{49}$ über dem Meere = + 13692,7	
$\beta^{48}$	+ 1322,6	I ruhig	- 3,5	+ 1320,9					
$P^{48}$	+ 3944,5	I ruhig	- 11,4	+ 3932,8					

Höhenbestimmungen in p<sup>50</sup> 1837 11. Juni.

I. Satz 3 <sup>h</sup> 47',5									
$\alpha^{50}$	- 1574,4	I unruhig	+ 14,6	- 1566,1	$\alpha^{50}$	9,76520	98,6	- 1561,4	
$\alpha^{49}$	+ 1475,2	I unruhig	+ 13,8	+ 1484,0	$P^{51}$	9,94500	149,0	+ 694,6	
II. Satz 4 <sup>h</sup> 38'									
$\alpha^{50}$	- 1560,9	I fast ruhig	+ 0,8	- 1560,4	$\alpha^{49}$	9,80671	108,4	+ 1483,2	
$P^{51}$	+ 700,8	I fast ruhig	- 4,6	+ 696,7	$P^{49}$	0,23544	290,0	+ 6114,5	
$\alpha^{49}$	+ 1482,1	I fast ruhig	0,0	+ 1482,1	hieraus folgt $P^{50}$ über $P^{49} = - 6118,1$			$P^{50}$ über d. Meere = + 12222,6	
$P^{49}$	+ 6140,6	I fast ruhig	- 16,4	+ 6112,4	ferner $\alpha^{50}$ über $\alpha^{49} = - 3044,6$			$\alpha^{50}$ über d. Meere = + 10648,1	
III. Satz 5 <sup>h</sup> 27',5									
$\alpha^{50}$	- 1558,1	I ruhig	- 4,7	- 1560,8					
$P^{51}$	+ 702,2	I ruhig	- 9,8	+ 693,6					
$\alpha^{49}$	+ 1487,1	I ruhig	- 5,5	+ 1483,6					
$P^{49}$	+ 6152,7	I ruhig	- 21,6	+ 6115,6					

Höhenbestimmungen in p<sup>51</sup> 1837 17. Juni.

I. Satz 3 <sup>h</sup> 48'									
$\alpha^{51}$	- 627,3	I etw. unr.	+ 8,0	- 623,9	$\alpha^{51}$	9,63139	72,4	- 624,9	
$\alpha^{50}$	- 2253,6	I fast ruhig	+ 4,8	- 2252,1	$P^{52}$	0,09281	209,6	+ 371,5	
II. Satz 4 <sup>h</sup> 38',5									
$\alpha^{51}$	- 625,5	I etw. unr.	+ 8,0	- 622,1	$\alpha^{50}$	9,49568	53,0	- 2254,0	
$P^{52}$	+ 380,3	I etw. unr.	- 4,4	+ 374,8	$P^{50}$	9,94500	149,0	- 696,8	
$\alpha^{50}$	- 2253,1	I ruhig	- 0,7	- 2253,3	hieraus folgt $P^{51}$ über $P^{50} = + 695,4$			$P^{51}$ über dem Meere = + 12918,0	
$P^{50}$	- 685,2	I ruhig	- 9,8	- 693,8	ferner $\alpha^{51}$ über $\alpha^{50} = + 1629,1$			$\alpha^{51}$ über dem Meere = + 12277,2	
III. Satz 5 <sup>h</sup> 27',5									
$\alpha^{51}$	- 624,9	I ruhig	- 2,1	- 625,7					
$P^{52}$	+ 388,9	I ruhig	- 14,5	+ 370,1					
$\alpha^{50}$	- 2252,9	sehr ruhig	- 4,7	- 2254,4					
$P^{50}$	- 686,7	sehr ruhig	- 13,8	- 698,8					

Object	Unverbess. Höhe, in Z.	Zust. d. Bilder	Refr.	Verb. Höhe in Zollen	Object	$\log D \sin 1''$	C	Mittl. Höhe in Zollen
IV. Satz. 6 <sup>h</sup> 9'.								
$\alpha^{51}$	— 622,6	sehr ruhig	— 6,1	— 625,2				
$\alpha^{50}$	— 2253,2	sehr ruhig	— 4,7	— 2254,7				

Höhenbestimmungen in p<sup>52</sup> 1837 18. Juni.I. Satz 3<sup>h</sup> 48',5 $\beta^{52}$  — 1088,6 I fast ruhig — 3,8 — 1092,0 $\alpha^{51}$  — 990,8 I ruhig — 8,0 — 997,3II. Satz 4<sup>h</sup> 37',5 $\beta^{52}$  — 1079,5 I ruhig — 9,3 — 1087,9 $P^{53}$  + 3583,5 I ruhig — 20,7 + 3549,3 $\alpha^{51}$  — 989,9 sehr ruhig — 12,0 — 999,6 $P^{51}$  — 352,2 sehr ruhig — 18,5 — 375,1III. Satz 5<sup>h</sup> 27',5 $\beta^{52}$  — 1074,3 II fast ruhig — 20,8 + 1093,0 $P^{53}$  + 3593,0 II fast ruhig — 32,1 + 3540,0 $\alpha^{51}$  — 990,3 II ruhig — 15,6 — 1003,0 $P^{51}$  — 348,7 II ruhig — 21,9 — 375,8 $\beta^{52}$  9,95372 152",2 — 1090,2 $P^{53}$  0,21801 279,6 + 3547,5 $\alpha^{51}$  9,90893 137,2 — 1000 0 $P^{51}$  0,09281 209,6 — 375,4hieraus folgt  $P^{52}$  über  $P^{51}$  = + 373,8 $P^{52}$  über dem Meere = + 13291,8ferner  $\beta^{52}$  über  $\alpha^{51}$  = — 90,2 $\beta^{52}$  über d. Meere = + 12187,0Höhenbestimmungen in p<sup>53</sup> 1837 19. Jun i.I. Satz 3<sup>h</sup> 47',5 $\alpha^{53}$  + 34,9 I etw. unr. + 12,4 + 36,2 $\beta^{52}$  — 4637,4 I etw. unr. + 2,9 — 4635,2II. Satz 4<sup>h</sup> 37',5 $\alpha^{53}$  + 35,0 I etw. unr. + 7,8 + 35,8 $P^{54}$  + 1511,4 I fast ruhig + 5,2 + 1512,8 $\beta^{52}$  — 4638,1 I fast ruhig — 1,7 — 4639,4 $P^{52}$  — 3518,7 I fast ruhig — 15,5 — 3544,3III. Satz 5<sup>h</sup> 27',5 $\alpha^{53}$  + 35,2 I ruhig + 2,3 + 35,4 $P^{54}$  + 1510,2 I ruhig 0,0 + 1510,2 $\beta^{52}$  — 4638,6 I ruhig — 7,2 — 4644,0 $P^{52}$  — 3517,5 I ruhig — 20,7 — 3551,7 $\alpha^{53}$  9,04557 18,8 + 35,7 $P^{54}$  9,42973 45,4 + 1511,2 $\beta^{52}$  9,87748 127,6 — 4644,4 $P^{52}$  0,21801 279,6 — 3548,7hieraus folgt  $P^{53}$  über  $P^{52}$  = + 3548,1 $P^{53}$  über d. Meere = + 16839,9 $\alpha^{53}$  über  $\beta^{52}$  = + 4677,1 $\alpha^{53}$  über d. Meere = + 16864,1Höhenbestimmungen in p<sup>54</sup> 1837 20. Juni.I. Satz 3<sup>h</sup> 47',5 $\beta^{54}$  — 4755,9 I etw. unr. + 0,6 — 4755,4 $\alpha^{53}$  — 1475,7 I etw. unr. + 11,8 — 1473,9

Object	Unverb. Höhe, in Z.	Zust. d. Bilder	Refr.	Verb. Höhe in Zollen	Object	$\log D \sin I''$	C	Mittl. Höhe in Zollen
II. Satz 4 <sup>h</sup> 37',5								
$\beta^{54}$	— 4753,9	I fast ruhig	— 4,0	— 4757,5	$\beta^{54}$	9,95852	153",8	— 4758,2
$P^{55}$	— 6247,9	I fast ruhig	— 15,6	— 6273,8	$P^{55}$	0,21990	280,8	— 6269,4
$\alpha^{53}$	— 1475,5	I fast ruhig	+ 7,2	— 1474,7	$\alpha^{53}$	9,19862	26,8	— 1474,4
$P^{53}$	— 1508,3	I fast ruhig	+ 5,2	— 1506,9	$P^{53}$	9,42970	45,4	— 1506,9
III. Satz 5 <sup>h</sup> 27'								
$\beta^{54}$	— 4756,8	I fast ruhig	— 4,0	— 4760,4	hieraus folgt $P^{54}$ über $P^{53} = + 1509,8$			$P^{54}$ über dem Meere = + 18349,7 fernher $\beta^{54}$ über $\alpha^{53}$ = — 3283,8 $\beta^{54}$ über dem Meere = + 13580,3
$P^{55}$	— 6239,2	I fast ruhig	— 15,6	— 6265,1				

Höhenbestimmungen in  $p^{55}$  1837 21. Juni.

I. Satz 4 <sup>h</sup> 37',5								
$\beta^{55}$	— 516,1	I fast ruhig	— 3,4	— 519,1	$\beta^{55}$	9,93825	146,8	— 519,3
$\beta^{54}$	+ 1505,3	I etw. unr.	+ 3,0	+ 1507,6	$P^{56}$	0,21505	277,6	+ 374,6
II. Satz 5 <sup>h</sup> 27',5								
$\beta^{55}$	— 513,1	I ruhig	— 8,9	— 520,8	$\beta^{54}$	9,87535	127,0	+ 1509,1
$P^{56}$	+ 401,0	I ruhig	— 20,5	+ 367,4	$P^{54}$	0,21990	280,8	+ 6263,9
$\beta^{54}$	+ 1514,3	I ruhig	— 7,1	+ 1509,0	hieraus folgt $P^{55}$ über $P^{54} = - 6266,1$			$P^{55}$ über dem Meere = + 12083,6 $\beta^{55}$ über $\beta^{54} = - 2028,4$ $\beta^{55}$ über dem Meere = + 11551,9
$P^{54}$	+ 6296,0	I ruhig	— 20,8	+ 6261,5				
III. Satz 6 <sup>h</sup> 9'								
$\beta^{55}$	— 510,1	I ruhig	— 8,9	— 517,8				
$P^{56}$	+ 415,3	I ruhig	— 20,5	+ 381,7				
$\beta^{54}$	+ 1515,1	I ruhig	— 7,1	+ 1509,8				
$P^{54}$	+ 6300,8	I ruhig	— 20,8	+ 6266,3				

Höhenbestimmungen in  $p^{56}$  1837 23. Juni.

I. Satz 4 <sup>h</sup> 37',5								
$\alpha^{56}$	+ 10,3	I sehr unr.	+ 38,9	+ 22,0	$\alpha^{56}$	9,48052	51,2	+ 16,3
$\beta^{55}$	— 913,3	I sehr unr.	+ 31,9	— 888,6	$P^{57}$	0,04817	189,0	— 792,7
II. Satz 5 <sup>h</sup> 27',5								
$\alpha^{56}$	+ 13,6	I etw. unr.	+ 9,6	+ 16,5	$\beta^{55}$	9,88940	131,2	— 896,6
$\beta^{55}$	— 901,0	I etw. unr.	+ 2,6	— 899,0	$P^{55}$	0,21505	277,6	— 384,0
III. Satz 6 <sup>h</sup> 9'								
$\alpha^{56}$	+ 17,1	sehr ruhig	— 4,5	+ 15,8	hieraus folgt $P^{56}$ über $P^{55} = + 378,2$			P <sup>56</sup> über dem Meere = + 12461,8 fernher $\alpha^{56}$ über $\beta^{55} = + 912,9$ $\alpha^{56}$ über d. Meere = + 12464,8
$P^{57}$	— 774,1	sehr ruhig	— 16,7	— 792,7				
$\beta^{55}$	— 887,7	sehr ruhig	— 11,5	— 896,7				
$P^{55}$	— 344,0	sehr ruhig	— 24,5	— 384,0				

Höhenbestimmungen in  $p^{57}$  1837 24. Juni.

I. Satz 3 <sup>h</sup> 48',5								
$\beta^{57}$	+ 294,9	I etw. unr.	+ 2,9	+ 297,1				
$\alpha^{56}$	+ 810,4	I etw. unr.	+ 1,8	+ 811,9				

Object	Unverb. Höhe, in Z.	Zust. d. Bilder	Refr.	Verb. Höhe in Zollen	Object	$\log D \sin 1''$	C	Mittl. Höhe in Zollen
II. Satz 4 <sup>h</sup> 37',5								
$\beta^{57}$	+ 294,8	I fast ruhig	- 1,7	+ 293,5	$\beta^{57}$	9,87985	128',4	+ 291,0
$P^{58}$	+ 1872,3	I fast ruhig	- 13,2	+ 1852,3	$P^{58}$	0,17710	254,4	+ 1844,0
$\alpha^{56}$	+ 813,4	I etw. unr.	+ 1,8	+ 814,9	$\alpha^{56}$	9,91358	140,2	+ 808,8
$P^{56}$	+ 793,2	I etw. unr.	- 2,6	+ 790,3	$P^{56}$	0,04817	189,0	+ 791,0
III. Satz 5 <sup>h</sup> 27',5								
$\beta^{57}$	+ 296,8	I ruhig	- 7,2	+ 291,3	hieraus folgt $P^{57}$ über $P^{56} = - 791,6$			
$P^{58}$	+ 1867,6	I ruhig	- 18,4	+ 1839,9	$P^{57}$ über dem Meere = + 11670,2			
$\alpha^{56}$	+ 812,6	I fast ruhig	- 2,8	+ 810,3	$\beta^{57}$ über $\alpha^{56} = - 517,8$			
$P^{56}$	+ 797,1	I fast ruhig	- 7,5	+ 788,7	$\beta^{57}$ über d. Meere = + 11947,0			
IV. Satz 6 <sup>h</sup> 9'								
$\beta^{57}$	+ 296,5	sehr ruhig	- 11,2	+ 288,0				
$\alpha^{56}$	+ 816,0	sehr ruhig	- 12,3	+ 805,8				
$P^{56}$	+ 811,5	sehr ruhig	- 16,7	+ 792,8				

Höhenbestimmungen in p<sup>58</sup> 1837 25. Juni.

I. Satz 3 <sup>h</sup> 47',5								
$\alpha^{58}$	+ 1305,8	I unruhig	+ 13,8	+ 1314,2	$\alpha^{58}$	9,80437	108,0	+ 1311,4
$\beta^{57}$	- 1549,1	I etw. unr.	+ 3,0	- 1547,3	$P^{59}$	0,21905	280,4	+ 8457,2
II. Satz 4 <sup>h</sup> 37',5								
$\alpha^{58}$	+ 1311,0	I fast ruhig	0,0	+ 1311,0	$\beta^{57}$	9,87637	127,4	- 1547,4
$\beta^{57}$	- 1543,7	I fast ruhig	- 1,6	- 1544,7	$P^{57}$	0,17710	254,4	- 1835,0
III. Satz 5 <sup>h</sup> 27',5								
$\alpha^{58}$	+ 1310,8	I fast ruhig	0,0	+ 1310,8	hieraus folgt $P^{58}$ über $P^{57} = + 1841,0$			
$P^{59}$	+ 8482,8	I fast ruhig	- 15,5	+ 8457,2	$P^{58}$ über dem Meere = + 13511,2			
$\beta^{57}$	- 1547,8	I fast ruhig	- 1,6	- 1548,8	ferner $\alpha^{58}$ über $\beta^{57} = + 2858,8$			
$P^{57}$	- 1815,0	I fast ruhig	- 13,2	- 1835,0	$\alpha^{58}$ über d. Meere = + 14805,8			
IV. Satz 6 <sup>h</sup> 9'								
$\beta^{57}$	- 1539,8	sehr ruhig	- 11,1	- 1548,0				

Höhenbestimmungen in p<sup>59</sup> 1837 27. Juni.

I. Satz 4 <sup>h</sup> 37',5								
$\beta^{59}$	- 1600,4	II fast ruhig	- 17,2	- 1611,7	$\beta^{59}$	9,81914	111,6	- 1609,7
$P^{60}$	- 244,2	II fast ruhig	- 28,5	- 284,4	$P^{60}$	0,14977	239,2	- 275,3
$\alpha^{58}$	- 7122,9	II etw. unr.	- 28,5	- 7152,1	$\alpha^{58}$	0,02104	177,8	- 7150,0
$P^{58}$	- 8404,9	II fast ruhig	- 32,1	- 8458,0	$P^{58}$	0,21904	280,4	- 8458,5
II. Satz 5 <sup>h</sup> 27',5								
$\beta^{59}$	- 1602,2	sehr ruhig	- 9,8	- 1608,7	hieraus folgt $P^{59}$ über $P^{58} = + 8458,0$			
$P^{60}$	- 243,2	sehr ruhig	- 21,1	- 273,0	$P^{59}$ über d. Meere = + 21969,2			
$\alpha^{58}$	- 7131,1	sehr ruhig	- 15,6	- 7149,5	ferner $\beta^{59}$ über $\alpha^{58} = + 5540,3$			
$P^{58}$	- 8417,8	sehr ruhig	- 24,7	- 8458,7	$\beta^{59}$ über d. Meere = + 20346,1			

Object	Unverb. Höhe, in Z.	Zust. d. Bilder	Refr.	Verb. Höhe in Zollen	Object	$\log D \sin 1''$	C	Mittl. Höhe in Zollen
Höhenbestimmungen in $p^{60}$ 1837 28. Juni.								
I. Satz 3 <sup>h</sup> 47'5								
$\beta^{60}$	- 3570,2	I etw. unr.	+ 2,0	- 3568,6	$\beta^{60}$	9,91136	138,0	- 3577,6
$\beta^{59}$	- 1334,1	I etw. unr.	+ 2,9	- 1331,9	$P^{61}$	0,18240	257,8	- 1275,0
II. Satz 4 <sup>h</sup> 37'5								
$\beta^{60}$	- 3572,3	I. etw. unr.	+ 2,0	- 3570,7	$\beta^{59}$	9,87700	127,6	- 1331,2
$P^{61}$	- 1255,3	I. etw. unr.	- 13,6	- 1276,0	$P^{59}$	0,14977	239,2	+ 271,9
$\beta^{59}$	- 1331,8	I. etw. unr.	+ 2,9	- 1329,6	hieraus folgt $P^{60}$ über $P^{59}$ = - 274,0			
$P^{59}$	+ 285,1	I. etw. unr.	- 7,0	+ 275,2	$P^{60}$ über dem Meere = + 21695,2			
III. Satz 5 <sup>h</sup> 27'5								
$\beta^{60}$	- 3576,2	I fast ruhig	- 3,5	- 3579,1	$\beta^{60}$ über $\beta^{59}$ = - 2246,4			
$P^{61}$	- 1253,2	I fast ruhig	- 13,6	- 1273,9	$\beta^{60}$ über d. Meere = + 18099,7			
$\beta^{59}$	- 1329,2	I fast ruhig	- 2,6	- 1331,2				
$P^{59}$	+ 286,9	I fast ruhig	- 12,2	+ 269,7				
IV. Satz 6 <sup>h</sup> 9'								
$\beta^{60}$	- 3571,2	sehr ruhig	- 12,1	- 3581,0				
$\beta^{59}$	- 1322,9	sehr ruhig	- 11,3	- 1331,4				

Object	Unverb. Höhe, in Z.	Zust. d. Bilder	Refr.	Verb. Höhe in Zollen	Object	$\log D \sin 1''$	C	Mittl. Höhe in Zollen
Höhenbestimmungen in $p^{61}$ 1837 30. Juni.								
I. Satz 3 <sup>h</sup> 48'5								
$\beta^{61}$	- 6477,9	I. etw. unr.	+ 6,1	- 6474,7	$\beta^{61}$	9,73095	91,2	- 6473,6
$\beta^{60}$	- 2298,8	I. etw. unr.	+ 3,6	- 2296,3	$P^{62}$	0,04935	189,6	- 7042,0
II. Satz 4 <sup>h</sup> 37'5								
$\beta^{61}$	- 6476,6	I etw. unr.	+ 6,1	- 6473,4	$\beta^{60}$	9,85020	120,0	- 2298,1
$P^{62}$	- 7035,7	I etw. unr.	- 2,7	- 7038,7	$P^{60}$	0,18240	257,8	+ 1279,3
$\beta^{60}$	- 2295,5	I fast ruhig	- 1,0	- 2296,2	hieraus folgt $P^{61}$ über $P^{60}$ = - 1277,6			
$P^{60}$	+ 1306,7	I fast ruhig	- 13,6	+ 1286,0	$P^{61}$ über d. Meere = + 20417,6			
III. Satz 5 <sup>h</sup> 27'5								
$\beta^{61}$	- 6473,8	I fast ruhig	+ 1,5	- 6473,1	$\beta^{61}$ über $\beta^{60}$ = - 4175,5			
$P^{62}$	- 7035,1	I fast ruhig	- 7,6	- 7043,6	$\beta^{61}$ über dem Meere = + 13924,2			
$\beta^{60}$	- 2295,3	I ruhig	- 6,5	- 2299,9				
$P^{60}$	+ 1304,6	I ruhig	- 18,8	+ 1276,0				

Object	Unverb. Höhe, in Z.	Zust. d. Bilder	Refr.	Verb. Höhe in Zollen	Object	$\log D \sin 1''$	C	Mittl. Höhe in Zollen
Höhenbestimmungen in $p^{62}$ 1837 1. Juli.								
I. Satz 3 <sup>h</sup> 47'5								
$\beta^{62}$	+ 2431,2	sehr ruhig	- 10,4	+ 2423,9	$\beta^{62}$	9,84567	119,0	+ 2423,5
$P^{63}$	+ 2907,5	sehr ruhig	- 16,6	+ 2889,1	$P^{63}$	0,04514	188,2	+ 2887,5
$\beta^{61}$	+ 571,3	I ruhig	- 4,7	+ 568,6	$\beta^{61}$	9,76481	98,6	+ 568,0
$P^{61}$	+ 7061,3	sehr ruhig	- 16,8	+ 7042,5	$P^{61}$	0,04935	189,6	+ 7042,8
Alexandrow, Kirche								
						9,50154	53,7	- 796,5

Object	Unverb. Höhe, in Z.	Zust. d. Bilder	Refr.	Verb. Höhe in Zollen	Object	$\log D \sin 1''$	C	Mittl. Höhe in Zollen
II. Satz 4 <sup>h</sup> 37',5								
$\beta^{62}$	+ 2429,6	sehr ruhig	- 10',4	+ 2422,3				hieraus folgt $P^{62}$ über $P^{61} = - 7042,6$
$P^{63}$	+ 2904,2	sehr ruhig	- 16,6	+ 2885,8				$P^{62}$ über dem Meere = + 13375,0
$\beta^{61}$	+ 571,9	sehr ruhig	- 8,7	+ 566,8				ferner $\beta^{62}$ über $\beta^{61} = + 1855,5$
$P^{61}$	+ 7061,8	sehr ruhig	- 16,8	+ 7043,0				$\beta^{62}$ über d. Meere = + 15779,7
III. Satz 5 <sup>h</sup> 27',5								
$\beta^{62}$	+ 2431,6	sehr ruhig	- 10,4	+ 2424,3				Alexandrow, Kirche, Kuppel,
$\beta^{61}$	+ 573,7	sehr ruhig	- 8,7	+ 568,6				Knopf über dem Meere = + 12566,0
Alexandrow, Kirche	- 795,0	sehr ruhig	- 4,8	- 796,5				

Höhenbestimmungen in  $p^{63}$  1837 2. Juli.I. Satz 3<sup>h</sup> 47',5

$\beta^{63}$	- 391,8	I etw. unr.	- 2,4	- 394,5
$\beta^{62}$	- 465,7	I etw. unr.	+ 7,9	- 462,3

II. Satz 4<sup>h</sup> 37',5

$\beta^{63}$	- 392,0	I etw. unr.	- 2,4	- 394,7
$P^{64}$	- 102,3	I etw. unr.	- 11,7	- 122,5
$\beta^{62}$	- 465,7	I etw. unr.	+ 7,9	- 462,3
$P^{62}$	- 2883,4	I etw. unr.	- 2,5	- 2886,2

III. Satz 5<sup>h</sup> 27',5

$\beta^{63}$	- 375,8	sehr ruhig	- 16,5	- 394,1
$P^{64}$	- 80,9	sehr ruhig	- 25,8	- 125,4
$\beta^{62}$	- 461,0	sehr ruhig	- 6,2	- 463,7
$P^{62}$	- 2872,0	sehr ruhig	- 16,6	- 2890,4

 $\beta^{63}$       0,04523      188",2      - 394,3 $P^{64}$       0,23691      292,6      - 124,7 $\beta^{62}$       9,63290      72,8      - 463,2 $P^{62}$       0,04514      188,1      - 2889,3hieraus folgt  $P^{63}$  über  $P^{62} = + 2888,2$  $P^{63}$  über dem Meere = + 16263,2 $\beta^{63}$  über  $\beta^{62} = + 68,9$  $\beta^{63}$  über dem Meere = + 15848,6Höhenbestimmungen in  $p^{64}$  1837 3. Juli.I. Satz 3<sup>h</sup> 47',5

$\beta^{64}$	- 4026,1	I unruhig	+ 6,7	- 4018,6
$\beta^{63}$	- 280,4	I etw. unr.	+ 4,7	- 277,4

II. Satz 4<sup>h</sup> 37',5

$\beta^{64}$	- 4008,0	sehr ruhig	- 16,6	- 4026,5
$P^{65}$	- 4260,2	sehr ruhig	- 32,6	- 4331,3
$\beta^{63}$	- 268,6	sehr ruhig	- 9,5	- 274,6
$P^{63}$	+ 153,9	sehr ruhig	- 25,8	+ 109,4

III. Satz 5<sup>h</sup> 27',5

$\beta^{64}$	- 4013,0	I fast ruhig	- 7,1	- 4020,9
$P^{65}$	- 4266,5	I fast ruhig	- 23,4	- 4317,6
$\beta^{63}$	- 270,7	I fast ruhig	- 0,1	- 270,8
$P^{63}$	+ 158,3	I ruhig	- 21,8	+ 120,7

 $\beta^{64}$       0,04729      189,0      - 4024,0 $P^{65}$       0,33895      370,0      - 4326,7 $\beta^{63}$       9,80024      107,0      - 273,8 $P^{63}$       0,23691      292,6      + 114,6hieraus folgt  $P^{64}$  über  $P^{63} = - 118,7$  $P^{64}$  über d. Meere = + 16144,5ferner  $\beta^{64}$  über  $\beta^{63} = - 3750,2$  $\beta^{64}$  über d. Meere = + 12098,4

Object	Unverb. Höhe, in Z.	Zust. d. Bilder	Refr.	Verb. Höhe in Zollen	Object	$\log D \sin 1''$	C	Mittl. Höhe in Zollen			
Höhenbestimmungen in $p^{65}$ 1837 5. Juli.											
I. Satz $3^h 47'5$											
$\beta^{65}$	- 2421,0	I etw. unr.	+ 5,7	- 2417,8	$\beta^{65}$	9,75384	96,2	- 2419,3			
$\beta^{64}$	+ 311,8	I fast ruhig	- 6,4	+ 305,0	$P^{66}$	0,05695	193,4	- 130,6			
II. Satz $4^h 37'5$											
$\beta^{65}$	- 2418,7	I fast ruhig	+ 1,1	- 2418,1	$\beta^{64}$	0,02836	180,8	+ 302,9			
$P^{66}$	- 117,5	I fast ruhig	- 7,9	- 126,5	$P^{64}$	0,33895	370,0	+ 4321,0			
$\beta^{64}$	+ 311,5	I fast ruhig	- 6,4	+ 304,7	hieraus folgt $P^{65}$ über $P^{64}$ = - 4323,9						
$P^{64}$	+ 4377,2	I fast ruhig	- 23,4	+ 4326,1	$P^{65}$ über d. Meere = + 11820,6						
III. Satz $5^h 29'5$											
$\beta^{65}$	- 2417,9	I ruhig	- 4,4	- 2420,4	$\beta^{65}$ über $\beta^{64}$ = - 2722,2						
$P^{66}$	- 117,8	I ruhig	- 13,1	- 132,7	$\beta^{65}$ über d. Meere = + 9376,2						
$\beta^{64}$	+ 313,7	I ruhig	- 11,9	+ 301,0							
$P^{64}$	+ 4380,9	I ruhig	- 28,6	+ 4318,5							
Höhenbestimmungen in $p^{66}$ 1837 6. Juli.											
I Satz $4^h 37'5$											
$\beta^{66}$	+ 291,7	I unruhig	+ 19,9	+ 296,2	$\beta^{66}$	9,35766	38,6	+ 296,0			
$\beta^{66}$	- 2295,7	I unruhig	+ 14,8	- 2287,2	$P^{67}$	9,64832	75,4	+ 744,4			
II. Satz $5^h 27'5$											
$\beta^{66}$	+ 294,5	I fast ruhig	+ 6,1	+ 295,9	$\beta^{65}$	9,75905	97,4	- 2288,1			
$P^{67}$	+ 743,3	I fast ruhig	+ 2,6	+ 744,4	$P^{65}$	0,05695	193,4	+ 134,1			
$\beta^{65}$	- 2289,5	I fast ruhig	+ 1,0	- 2288,9	hieraus folgt $P^{66}$ über $P^{65}$ = - 132,4						
$P^{65}$	+ 141,2	I fast ruhig	- 7,9	+ 132,2	$P^{66}$ über dem Meere = + 11688,2						
III. Satz $6^h 8'5$											
$\beta^{65}$	- 2283,0	sehr ruhig	- 8,5	- 2287,9	ferner $\beta^{66}$ über $\beta^{65}$ = + 2584,1						
$P^{65}$	+ 154,5	sehr ruhig	- 17,1	+ 135,0	$\beta^{66}$ über d. Meere = + 11960,3						
Höhenbestimmungen in $p^{67}$ 1837 7. Juli.											
I. Satz $3^h 47'5$											
$\beta^{67}$	- 2094,8	I etw. unr.	+ 0,5	- 2094,3	$\beta^{67}$	9,96066	155,0	- 2093,7			
$\beta^{66}$	- 449,7	I etw. unr.	+ 10,9	- 447,3	$P^{68}$	0,14698	238,0	+ 1438,3			
II. Satz $4^h 37'5$											
$\beta^{67}$	- 2086,6	I fast ruhig	- 4,1	- 2090,4	$\beta^{66}$	9,33671	36,8	- 447,1			
$P^{68}$	+ 1458,5	I fast ruhig	- 11,9	+ 1444,8	$P^{66}$	0,64832	75,4	- 743,8			
$\beta^{66}$	- 448,3	I fast ruhig	+ 6,3	- 447,0	hieraus folgt $P^{67}$ über $P^{66}$ = + 744,1						
$P^{66}$	- 744,9	I fast ruhig	+ 2,6	- 743,8	$P^{67}$ über dem Meere = + 12432,3						
III. Satz $6^h 9'$											
$\beta^{67}$	- 2092,9	I fast ruhig	- 4,1	- 2096,7	$\beta^{67}$ über $\beta^{66}$ = - 1646,6						
$P^{68}$	+ 1460,6	I ruhig	- 17,1	+ 1436,6	$\beta^{67}$ über dem Meere = + 10313,7						

Object	Unverb. Höhe, in Z.	Zust. d. Bilder	Refr.	Verb. Höhe in Zollen	Object	$\log D \sin 1''$	C	Mittl. Höhe in Zollen			
Höhenbestimmungen in $p^{68}$ 1837 8. Juli.											
I. Satz 4 <sup>h</sup> 37',5											
$\beta^{68}$	- 199,5	I etw. unr	- 2,5	- 202,3	$\beta^{68}$	0,04678	189,0	- 200,0			
$P^{69}$	+ 136,8	I etw. unr	- 4,1	+ 131,8	$P^{69}$	0,08423	206,0	+ 135,9			
$P^{67}$	- 1423,8	I etw. unr.	- 6,9	- 1433,5	$P^{67}$	0,14698	238,0	- 1440,0			
II. Satz 5 <sup>h</sup> 27',5											
$\beta^{68}$	- 186,7	I fast ruhig	- 7,1	- 194,6	hieraus folgt $P^{68}$ über $P^{67} = + 1439,7$			$P^{68}$ über dem Meere = + 13872,0			
$P^{69}$	+ 148,7	I fast ruhig	- 9,0	+ 137,8	ferner $\beta^{68}$ über $P^{67} = + 1240,0$			$P^{67}$ über $\beta^{67} = + 2093,7$			
$P^{67}$	- 1419,7	I fast ruhig	- 11,8	- 1436,4	folglich $\beta^{68}$ über $\beta^{67} = + 3333,7$			$\beta^{68}$ über dem Meere = + 13647,4			
III. Satz 6 <sup>h</sup> 9'											
$\beta^{68}$	- 188,2	I ruhig	- 12,6	- 202,1	$\beta^{68}$ über dem Meere = + 13647,4						
$P^{69}$	+ 153,2	I ruhig	- 14,2	+ 136,0							
$P^{67}$	- 1419,4	I ruhig	- 17,1	- 1443,4							
Höhenbestimmungen in $p^{69}$ 1837 9. Juli.											
I. Satz 3 <sup>h</sup> 47',5											
$\beta^{69}$	+ 589,0	sehr ruhig	- 17,7	+ 567,9	$\beta^{69}$	0,07609	202,0	+ 567,7			
$P^{70}$	+ 1486,9	sehr ruhig	- 25,8	+ 1442,4	$P^{70}$	0,23752	292,6	+ 1439,4			
$\beta^{68}$	- 336,7	sehr ruhig	- 1,8	- 336,9	$\beta^{68}$	9,06088	19,6	- 336,9			
$P^{68}$	- 108,2	sehr ruhig	- 18,2	- 130,3	$P^{68}$	0,08423	206,0	- 132 6			
II. Satz 4 <sup>h</sup> 38'											
$\beta^{69}$	+ 589,8	sehr ruhig	- 17,7	+ 568,7	hieraus folgt $P^{69}$ über $P^{68} = + 134,1$			$P^{69}$ über d. Meere = + 14006,1			
$P^{70}$	+ 1482,2	sehr ruhig	- 25,8	+ 1437,7	ferner $\beta^{69}$ über $\beta^{68} = + 904,6$			$\beta^{69}$ über d. Meere = + 14552,0			
$P^{68}$	- 108,2	II ruhig	- 21,6	- 134,4							
III. Satz 5 <sup>h</sup> 27',5											
$\beta^{69}$	+ 591,4	II ruhig	- 21,3	+ 566,0							
$P^{70}$	+ 1488,5	II ruhig	- 29,2	+ 1438,1							
$P^{68}$	- 103,2	II fast ruhig	- 25,6	- 134,3							
Höhenbestimmungen in $p^{70}$ 1837 10. Juli.											
I. Satz 4 <sup>h</sup> 37',5											
$\beta^{70}$	- 1469,9	I etw. unr.	+ 7,3	- 1466,5	$\beta^{70}$	9,66279	78,0	- 1466,0			
$\beta^{69}$	- 873,1	I fast ruhig	+ 1,5	- 872,3	$\beta^{69}$	9,72972	91,0	- 873,7			
$P^{69}$	- 1421,3	I fast ruhig	- 16,6	- 1450,0	$P^{69}$	0,23752	292,6	- 1447,5			
II. Satz 5 <sup>h</sup> 27',5											
$\beta^{70}$	- 1469,2	I etw. unr.	+ 7,3	- 1465,8	hieraus folgt $P^{70}$ über $P^{69} = + 1441,7$			$P^{70}$ über dem Meere = + 15447,8			
$\beta^{69}$	- 874,5	I fast ruhig	+ 1,5	- 873,7	further $\beta^{70}$ over $\beta^{69} = - 592,3$			$\beta^{70}$ über dem Meere = + 13959,7			
$P^{69}$	- 1416,3	I fast ruhig	- 16,6	- 1445,0							
III. Satz 6 <sup>h</sup> 9'											
$\beta^{70}$	- 1459,3	II fast ruhig	- 14,3	- 1465,9							
$\beta^{69}$	- 866,9	II fast ruhig	- 15,5	- 875,2							

Object	Unverb. Höhe, in Z.	Zust. d. Bilder	Refr.	Verb. Höhe in Zollen	Object	$\log D \sin A''$	C	Mittl. Höhe in Zollen	
Höhenbestimmungen in $p^{71}$ 1837.									
I. Satz. 11. Juli 3 <sup>h</sup> 47'									
$\beta^{70}$	+ 3746,3	sehr ruhig	- 17,9	+ 3723,7	$\beta^{71}$	9,65834	77,0	- 451,6	
$P^{70}$	+ 5231,8	sehr ruhig	- 24,9	+ 5190,3	$P^{72}$	9,95844	153,8	+ 1113,0	
Alexandria, K.	+ 514,1	sehr ruhig	- 9,6	+ 507,9	$\beta^{70}$	0,08129	204,2	+ 3724,2	
	II. Satz 6 <sup>h</sup> 9'				$P^{70}$	0,22152	281,8	+ 5192,8	
$\beta^{70}$	+ 3750,6	II ruhig	- 21,5	+ 3724,7	Alexandria, Kirche	9,81144	109,5	+ 506,4	
$P^{70}$	+ 5240,8	II ruhig	- 28,3	+ 5193,6	hieraus folgt $P^{71}$ über $P^{70}$ = - 5192,8				
Alexandria, K.	+ 513,3	II ruhig	- 13,1	+ 504,8	$P^{71}$	über dem Meere = + 10255,0			
	III. Satz. 10. Aug. 4 <sup>h</sup> 37,5				$\beta^{71}$	fernher $\beta^{71}$ über $\beta^{70}$ = - 4175,8			
$\beta^{71}$	- 455,3	I etw. unr.	+ 7,4	- 451,9	$\beta^{71}$	$\beta^{71}$ über d. Meere = + 9783,9			
$P^{72}$	+ 1113,7	I etw. unr.	+ 0,5	+ 1114,1	Alexandria, Kirche, Kuppel,	Kreuzmitte über dem Meere = + 10748,4			
	IV. Satz 5 <sup>h</sup> 27'								
$\beta^{71}$	- 452,3	I fast ruhig	+ 2,8	- 451,0					
$P^{72}$	+ 1116,3	I fast ruhig	- 4,4	+ 1112,3					
$P^{70}$	+ 5222,3	I fast ruhig	- 15,7	+ 5196,1					
	V. Satz 6 <sup>h</sup> 9'								
$\beta^{71}$	- 435,1	II sehr unr.	- 45,0	- 455,6					
Höhenbestimmungen in $p^{72}$ 1837 12. Aug.									
I. Satz 4 <sup>h</sup> 37,5									
$\alpha^{72}$	- 585,8	I etw. unr.	+ 2,0	- 584,2	$\alpha^{72}$	9,91243	138,4	- 586,0	
$P^{73}$	+ 944,5	I unruhig	- 4,3	+ 936,2	$P^{73}$	0,28427	325,6	+ 929,5	
$\beta^{71}$	- 1559,6	I fast ruhig	+ 2,8	- 1558,3	$\beta^{71}$	9,65753	76,8	- 1562,5	
$P^{71}$	- 1097,6	I fast ruhig	- 4,5	- 1101,7	$P^{71}$	9,95844	153,8	- 1105,4	
	II. Satz 5 <sup>h</sup> 27,5				hieraus folgt $P^{72}$ über $P^{71}$ = + 1107,9				
$\alpha^{72}$	- 583,1	I fast ruhig	- 2,6	- 585,2	$P^{72}$	$P^{72}$ über dem Meere = + 11362,9			
$P^{73}$	+ 963,9	I fast ruhig	- 19,6	+ 926,2	$\alpha^{72}$	fernher $\alpha^{72}$ über $\beta^{71}$ = + 976,5			
$\beta^{71}$	- 1559,6	sehr ruhig	- 6,7	- 1562,7	$\alpha^{72}$	$\alpha^{72}$ über d. Meere = + 10760,4			
$P^{71}$	- 1094,7	sehr ruhig	- 13,7	- 1107,2					
	III. Satz 6 <sup>h</sup> 7,5								
$\alpha^{72}$	- 572,1	II fast ruhig	- 19,6	- 588,1					
$\beta^{71}$	- 1559,8	II ruhig	- 10,3	- 1564,5					
Höhenbestimmungen in $p^{73}$ 1837 13. Aug.									
I. Satz 4 <sup>h</sup> 37,5									
$\beta^{73}$	- 219,3	I etw. unr.	- 3,6	- 223,6	$\beta^{73}$	0,07638	201,8	- 227,4	
$P^{74}$	+ 1106,4	I etw. unr.	- 22,8	+ 1050,1	$P^{74}$	0,39310	418,4	+ 1047,5	
$\alpha^{72}$	- 1496,8	I fast ruhig	- 7,2	- 1504,9	$\alpha^{72}$	0,04991	189,8	- 1509,6	
$P^{72}$	- 882,4	I fast ruhig	- 19,6	- 920,1	$P^{72}$	0,28427	325,6	- 921,6	
	Georgiewsk, K.				Georgiewsk, K.	9,95711	153,2	- 324,8	

Object	Unverb. Höhe, in Z.	Zust. d. Bilder	Refr.	Verb. Höhe in Zollen	Object	$\log D \sin I''$	C	Mittl. Höhe in Zollen
		II. Satz 5 <sup>h</sup> 27',5						
$\beta^{73}$	— 217,5	I fast ruhig	— 8',2	— 227,3				hieraus folgt $P^{73}$ über $P^{72} = + 924,2$
$P^{74}$	+ 1114,3	I fast ruhig	— 27,7	+ 1045,8				$P^{73}$ über dem Meere = + 12287,1
$\alpha^{72}$	— 1497,2	I ruhig	— 12,7	— 1511,4				ferner $\beta^{73}$ über $\alpha^{72} = + 1282,2$
$P^{72}$	— 874,5	I ruhig	— 24,8	— 922,3				$\beta^{73}$ über dem Meere = + 12042,6
		III. Satz 6 <sup>h</sup> 9',5						Georgiewsk Cath. Kirche, Kuppel
$\beta^{73}$	— 207,4	sehr ruhig	— 17,7	— 228,5				Kugel über dem Meere = + 11950,9
$\alpha^{72}$	— 1491,5	sehr ruhig	— 16,7	— 1510,2				
Georgiewsk, Kirche	— 302,6	sehr ruhig	— 13,5	— 324,8				

Höhenbestimmungen in  $p^{74}$  1837 14. Aug.

	I. Satz 4 <sup>h</sup> 37',5			
$\alpha^{74}$	— 447,2	I unruhig	+ 15,7	— 439,1
$\beta^{73}$	— 1266,5	I etw. unr.	— 4,9	— 1272,8
	II. Satz 5 <sup>h</sup> 27',5			
$\alpha^{74}$	— 441,0	I fast ruhig	+ 1,9	— 440,0
$P^{75}$	— 438,9	I fast ruhig	— 18,4	— 473,0
$\beta^{73}$	— 1261,1	I fast ruhig	— 9,5	— 1273,3
$P^{73}$	— 978,7	I fast ruhig	— 27,7	— 1047,2
	III. Satz 6 <sup>h</sup> 8',5			
$\alpha^{74}$	— 430,2	II etw. unr.	— 20,5	— 440,8
$\beta^{73}$	— 1245,3	II fast ruhig	— 26,5	— 1279,3

$\alpha^{74}$  9,71158 87",2 — 440,1  
 $P^{75}$  0,26705 313,2 — 473,0  
 $\beta^{73}$  0,10876 217,4 — 1275,4  
 $P^{73}$  0,39310 418,4 — 1047,2

hieraus folgt  $P^{74}$  über  $P^{73} = + 1047,3$   
 $P^{74}$  über dem Meere = + 13334,4  
ferner  $\alpha^{74}$  über  $\beta^{73} = + 835,3$   
 $\alpha^{74}$  über d. Meere = + 12877,9

Höhenbestimmungen in  $p^{75}$  1837 15. Aug.

	I. Satz 4 <sup>h</sup> 37',5			
$\beta^{75}$	— 348,0	I etw. unr.	+ 7,2	— 344,7
$P^{76}$	+ 114,7	I etw. unr.	— 0,6	+ 114,1
$\alpha^{74}$	+ 38,4	I etw. unr.	— 5,8	+ 30,7
$P^{74}$	+ 495,7	I etw. unr.	— 13,5	+ 470,7
	II. Satz 5 <sup>h</sup> 27',5			
$\beta^{75}$	— 341,3	sehr ruhig	— 6,9	— 344,5
$P^{76}$	+ 122,1	I ruhig	— 10,7	+ 111,5
$\alpha^{74}$	+ 43,6	I fast ruhig	— 11,3	+ 28,5
$P^{74}$	+ 490,0	I etw. unr.	— 13,5	+ 465,0
	III. Satz 6 <sup>h</sup> 6'			
$\beta^{75}$	— 337,2	II etw. unr.	— 19,8	— 346,4
$\alpha^{74}$	+ 65,5	II etw. unr.	— 32,8	+ 21,7

$\beta^{75}$  9,66639 78,6 — 344,8  
 $P^{76}$  9,99511 167,4 + 112,2  
 $\alpha^{74}$  0,12629 226,6 — 27 2  
 $P^{74}$  0,26705 313,2 — 467,9

hieraus folgt  $P^{75}$  über  $P^{74} = + 470,5$   
 $P^{75}$  über dem Meere = + 12863,9  
ferner  $\beta^{75}$  über  $\alpha^{74} = - 372,0$   
 $\beta^{75}$  über d. Meere = + 12505,9

Object	Unverb. Höhe, in Z.	Zust. d. Bilder	Refr.	Verb. Höhe in Zollen	Object	$\log D \sin 1''$	C	Mittl. Höhe in Zollen				
Höhenbestimmungen in $p^{76}$ 1837 16. Aug.												
I Satz 4 <sup>h</sup> 37',5												
$\beta^{76}$	— 1020,2	I fast ruhig	— 4'',4	— 1024,4	$\beta^{76}$	9,97148	158'',6	— 1024,6				
$\beta^{75}$	— 456,6	I fast ruhig	+ 1,7	— 455,7	$P^{77}$	0,24994	301,2	— 1792,5				
II. Satz 5 <sup>h</sup> 29'												
$\beta^{76}$	— 992,9	II unruhig	— 34,6	— 1025,3	$\beta^{75}$	9,72088	89,0	— 457,7				
$P^{77}$	— 1705,9	II unruhig	— 48,7	— 1792,5	$P^{75}$	9,99511	167,4	— 107,1				
$\beta^{75}$	— 447,2	II. etw. unr.	— 20,7	— 458,1	hieraus folgt $P^{76}$ über $P^{75}$ = + 110,9			$P^{76}$ über dem Meere = + 12974,8 ferner $\beta^{76}$ über $\beta^{75}$ = — 566,9 $\beta^{76}$ über d. Meere = + 11939,0				
$P^{75}$	— 76,8	II. etw. unr.	— 30,6	— 107,1								
III Satz 6 <sup>h</sup> 4,5												
$\beta^{76}$	— 974,5	II sehr unr.	— 52,3	— 1023,5								
$\beta^{75}$	— 441,1	II unruhig	— 28,4	— 459,0								

Object	Unverb. Höhe, in Z.	Zust. d. Bilder	Refr.	Verb. Höhe in Zollen	Object	$\log D \sin 1''$	C	Mittl. Höhe in Zollen
Höhenbestimmungen in $p^{77}$ 1837 17. Aug.								
II. Satz 5 <sup>h</sup> 27',5								
$\alpha^{77}$	— 336,5	I etw. unr.	+ 4,8	— 333,5	$\alpha^{77}$	9,79238	105,0	— 328,7
$P^{78}$	— 408,7	I etw. unr.	— 5,4	— 415,7	$P^{78}$	0,11647	221,4	— 415,7
$\beta^{76}$	+ 773,5	I etw. unr.	+ 1,4	— 774,7	$\beta^{76}$	9,92847	143,6	+ 784,2
$P^{76}$	+ 1787,3	I etw. unr.	— 12,5	+ 1809,5	$P^{76}$	0,24994	301,2	+ 1809,5
III. Satz 6 <sup>h</sup> 7'								
$\alpha^{77}$	— 315,9	II fast ruhig	— 16,8	— 326,3	hieraus folgt $P^{77}$ über $P^{76}$ = — 1805,3			$P^{77}$ über dem Meere = + 11169,5 ferner $\alpha^{77}$ über $\beta^{76}$ = — 1112,9 $\alpha^{77}$ über dem Meere = + 10826,1
$\beta^{76}$	+ 806,0	II fast ruhig	— 20,1	+ 788,9				

Object	Unverb. Höhe, in Z.	Zust. d. Bilder	Refr.	Verb. Höhe in Zollen	Object	$\log D \sin 1''$	C	Mittl. Höhe in Zollen				
Höhenbestimmungen in $p^{78}$ 1837 19. Aug.												
I. Satz 4 <sup>h</sup> 37',5												
$\beta^{78}$	— 462,6	I ruhig	— 3,8	— 464,6	$\beta^{78}$	9,72109	89,2	— 466,1				
$P^{79}$	— 624,1	I ruhig	— 14,0	— 641,0	$P^{79}$	0,08180	204,4	— 640,0				
$\alpha^{77}$	+ 71,3	sehr ruhig	— 10,2	+ 64,3	$\alpha^{77}$	9,83734	116,4	+ 64,8				
$P^{77}$	+ 416,8	sehr ruhig	— 19,5	+ 391,3	$P^{77}$	0,11647	221,4	+ 393,7				
II. Satz 5 <sup>h</sup> 27',5												
$\beta^{78}$	— 460,7	II fast ruhig	— 15,3	— 468,7	hieraus folgt $P^{78}$ über $P^{77}$ = — 396,8			$P^{78}$ über d. Meere = + 10772,7 $\beta^{78}$ über $\alpha^{77}$ = — 530,9 $\beta^{78}$ über d. Meere = + 10295,2				
$P^{79}$	— 606,4	II fast ruhig	— 25,4	— 637,1								
$\alpha^{77}$	+ 74,5	II ruhig	— 13,8	+ 65,0								
$P^{77}$	+ 426,0	II ruhig	— 22,9	+ 396,1								
III. Satz 6 <sup>h</sup> 1'												
$\beta^{78}$	— 460,3	II ruhig	— 11,4	— 466,3								
$\alpha^{77}$	+ 74,6	II ruhig	— 13,8	+ 65,1								

Object	Unverb. Höhe, in Z.	Zust. d. Bilder	Refr.	Verb. Höhe in Zollen	Object	$\log D \sin 1''$	C	Mittl. Höhe in Zollen
Höhenbestimmungen in $p^{79}$ 1837 20. Aug.								
I. Satz $3^h 47'5$								
$\beta^{79}$	— 604,9	I fast ruhig	— 3,2	— 607,6	$\beta^{79}$	9,93253	145,0	— 608,6
$\beta^{78}$	+ 174,0	I fast ruhig	— 0,7	+ 173,5	$P^{80}$	0,16588	248,2	— 916,2
II. Satz $4^h 37'5$								
$\beta^{79}$	— 605,8	I fast ruhig	— 3,2	— 608,5	$\beta^{78}$	9,83569	116,0	+ 173,7
$P^{80}$	— 901,3	I fast ruhig	— 12,6	— 919,7	$P^{78}$	0,08180	204,4	+ 637,8
$\beta^{78}$	+ 173,3	I fast ruhig	— 0,7	+ 172,8	hieraus folgt $P^{79}$ über $P^{78}$ = — 639,2			$P^{79}$ über d. Meere = + 10133,5
$P^{78}$	+ 638,8	I etw. unr.	— 3,9	+ 634,1	$\beta^{79}$ über $\beta^{78}$ = — 782,3			$\beta^{79}$ über d. Meere = + 9512,9
III. Satz $5^h 27'5$								
$\beta^{79}$	— 604,8	I ruhig	— 8,7	— 609,2				
$P^{80}$	— 888,4	I ruhig	— 17,8	— 914,5				
$\beta^{78}$	+ 175,2	I fast ruhig	— 0,7	+ 174,7				
$P^{78}$	+ 650,2	I fast ruhig	— 8,8	+ 639,6				

Object	Unverb. Höhe, in Z.	Zust. d. Bilder	Refr.	Verb. Höhe in Zollen	Object	$\log D \sin 1''$	C	Mittl. Höhe in Zollen
Höhenbestimmungen in $p^{80}$ 1837 21. Aug.								
I. Satz $4^h 37'5$								
$\beta^{80}$	— 472,7	I unruhig	+ 13,9	— 463,9	$\beta^{80}$	9,79916	106,6	— 462,1
$\beta^{79}$	+ 301,8	I etw. unr.	+ 5,0	+ 304,8	$P^{81}$	0,07384	200,8	— 676,9
II. Satz $5^h 27'5$								
$\beta^{80}$	— 460,1	I fast ruhig	+ 0,1	— 460,0	$\beta^{79}$	9,78497	103,2	+ 302,3
$P^{81}$	— 666,8	I fast ruhig	— 8,5	— 676,9	$P^{79}$	0,16588	248,2	+ 908,0
$\beta^{79}$	+ 305,7	sehr ruhig	— 9,1	+ 300,2	hieraus folgt $P^{80}$ über $P^{79}$ = — 912,9			$P^{80}$ über dem Meere = + 9220,6
$P^{79}$	+ 940,0	sehr ruhig	— 21,8	+ 908,0	$\beta^{80}$ über $\beta^{79}$ = — 764,4			$\beta^{80}$ über dem Meere = + 8748,5
III. Satz $6^h 5'$								
$\beta^{80}$	— 456,7	sehr ruhig	— 9,4	— 462,6				
$\beta^{79}$	+ 309,0	sehr ruhig	— 9,1	+ 303,5				

Object	Unverb. Höhe, in Z.	Zust. d. Bilder	Refr.	Verb. Höhe in Zollen	Object	$\log D \sin 1''$	C	Mittl. Höhe in Zollen
Höhenbestimmungen in $p^{81}$ 1837 22. Aug.								
I. Satz $3^h 47'5$								
$\beta^{81}$	— 720,9	I ruhig	— 5,6	— 724,5	$\beta^{81}$	9,80945	109,2	— 723,4
$\beta^{80}$	+ 208,4	I ruhig	— 4,2	+ 206,1	$P^{82}$	0,10572	216,0	— 881,2
II. Satz $4^h 37'5$								
$\beta^{81}$	— 722,3	I fast ruhig	— 0,1	— 722,4	$\beta^{80}$	9,74646	94,4	+ 206,3
$P^{82}$	— 868,4	I fast ruhig	— 9,8	— 880,9	$P^{80}$	0,07384	200,8	+ 657,8
$\beta^{80}$	+ 205,8	I fast ruhig	+ 1,3	+ 206,5	hieraus folgt $P^{81}$ über $P^{80}$ = — 665,5			$P^{81}$ über dem Meere = + 8555,1
$P^{80}$	+ 657,0	I etw. unr.	— 3,6	+ 652,8	$\beta^{81}$ über $\beta^{80}$ = — 929,7			$\beta^{81}$ über d. Meere = + 7818,8

Object	Unverbess. Höhe, in Z.	Zust. d. Bilder	Refr.	Verb. Höhe in Zollen	Object	$\log D \sin I'$	C	Mittl. Höhe in Zollen
III. Satz 5 <sup>h</sup> 27',5								
$\beta^{81}$	— 722,0	I fast ruhig	— 0",1	— 722,1				
$P^{82}$	— 869,0	I fast ruhig	— 9,8	— 881,5				
$\beta^{80}$	+ 205,9	I fast ruhig	+ 1,3	+ 206,3				
$P^{80}$	+ 670,4	I fast ruhig	— 8,5	+ 657,8				

Höhenbestimmungen in  $p^{82}$  1837 23. Aug.I. Satz 4<sup>h</sup> 37',5

$\beta^{82}$	— 444,6	I etw. unr.	+ 6,2	— 441,4
$\beta^{81}$	+ 143,1	I unruhig	+ 13,9	+ 151,9
II. Satz 5 <sup>h</sup> 27',5				
$\beta^{82}$	— 439,2	I ruhig	— 3,9	— 441,3
$P^{83}$	— 402,6	I ruhig	— 12,2	— 415,9
$\beta^{81}$	+ 153,1	I ruhig	— 5,4	+ 149,7
$P^{81}$	+ 879,4	I fast ruhig	— 9,8	+ 866,9
III. Satz 6 <sup>h</sup> 11'				
$\beta^{82}$	— 430,9	II etw. unr.	— 20,8	— 442,0

$\beta^{82}$	9,72416	89",8	— 441,5
$P^{83}$	0,03581	184,0	— 415,9
$\beta^{81}$	9,80075	107,0	+ 150,4
$P^{81}$	0,10572	216,0	+ 866,9
hieraus folgt $P^{82}$ über $P^{81}$ = — 876,4			
$P^{82}$ über d. Meere = + 7678,7			
$\beta^{82}$ über $\beta^{81}$ = — 591,9			
$\beta^{82}$ über d. Meere = + 7226,9			

Höhenbestimmungen in  $p^{83}$  1837 24. Aug.I. Satz 3<sup>h</sup> 47',5

$\beta^{83}$	— 284,3	I etw. unr.	+ 4,6	— 281,4
$\beta^{82}$	— 21,2	I etw. unr.	+ 5,9	— 17,9
II. Satz 4 <sup>h</sup> 37',5				
$\beta^{83}$	— 280,9	I etw. unr.	+ 4,6	— 278,0
$P^{84}$	— 294,0	I etw. unr.	— 4,9	— 300,2
$\beta^{82}$	— 16,7	I fast ruhig	+ 1,3	— 16,0
$P^{82}$	+ 436,3	I fast ruhig	— 7,0	+ 428,7

$\beta^{83}$	9,80246	107,4	— 279,3
$P^{84}$	0,10312	214,6	— 297,7
$\beta^{82}$	9,74660	94,4	— 16,3
$P^{82}$	0,03581	184,0	+ 427,4
hieraus folgt $P^{83}$ über $P^{82}$ = — 422,8			
$P^{83}$ über dem Meere = + 7255,9			
$\beta^{83}$ über $\beta^{82}$ = — 263,0			
$\beta^{83}$ über dem Meere = + 6963,9			

$\beta^{83}$	— 275,6	I ruhig	— 5,4	— 279,0
$P^{84}$	— 272,7	sehr ruhig	— 19,0	— 296,8
$\beta^{82}$	— 11,3	sehr ruhig	— 8,0	— 15,8
$P^{82}$	+ 444,4	sehr ruhig	— 16,2	+ 426,8
IV. Satz. 6 <sup>h</sup> 4',5				

$\beta^{82}$	— 12,0	sehr ruhig	— 8,0	— 16,5
--------------	--------	------------	-------	--------

Höhenbestimmungen in  $p^{84}$  1837 25. Aug.I. Satz 4<sup>h</sup> 37',5

$\beta^{84}$	— 231,6	I unruhig	+ 14,3	— 223,0
$\beta^{83}$	+ 13,0	I etw. unr.	+ 4,6	+ 15,6

Object	Unverb. Höhe, in Z.	Zust. d. Bilder	Refr.	Verb. Höhe in Zollen	Object	$\log D \sin 1''$	C	Mittl. Höhe in Zollen
II. Satz 5 <sup>h</sup> 27',5								
$\beta^{84}$	- 222,3	I fast ruhig	+ 0,5	- 222,0	$\beta^{84}$	9,77944	101,8	- 219,5
$\beta^{83}$	+ 20,3	I fast ruhig	0,0	+ 20,3	$P^{85}$	0,08325	205,0	- 374,3
$P^{83}$	+ 300,5	I etw. unr.	- 4,9	+ 294,3	$\beta^{83}$	9,80372	107,6	+ 19,4
III. Satz 6 <sup>h</sup> 5'								
$\beta^{84}$	- 205,2	II fast ruhig	- 16,5	- 215,2	hieraus folgt $P^{84}$ über $P^{83} = - 297,0$			
$P^{85}$	- 343,4	II fast ruhig	- 25,5	- 374,3	$P^{84}$ über d. Meere = + 6958,9			
$\beta^{83}$	+ 28,3	II ruhig	- 13,1	+ 19,9	ferner $\beta^{84}$ über $\beta^{83} = - 238,9$			
					$\beta^{84}$ über d. Meere = + 6725,0			

Höhenbestimmungen in  $p^{85}$  1837 26. Aug.

II. Satz 4 <sup>h</sup> 37',5								
$\beta^{85}$	- 135,2	II fast ruhig	- 16,0	- 144,4	$\beta^{85}$	9,75677	96,6	- 145,1
$\beta^{84}$	+ 178,5	II fast ruhig	- 16,6	+ 168,4	$P^{86}$	0,04962	189,6	- 253,9
III. Satz 5 <sup>h</sup> 27',5								
$\beta^{85}$	- 136,7	II fast ruhig	- 16,0	- 145,9	$\beta^{84}$	9,78554	103,2	+ 165,6
$P^{86}$	- 226,7	II fast ruhig	- 24,2	- 253,9	$P^{84}$	0,08325	205,0	+ 385,5
$\beta^{84}$	+ 174,7	II etw. unr.	- 22,0	+ 161,3	hieraus folgt $P^{85}$ über $P^{84} = - 379,8$			
$P^{84}$	+ 426,7	II etw. unr.	- 34,0	+ 385,5	$P^{85}$ über dem Meere = + 6579,1			
					ferner $\beta^{85}$ über $\beta^{84} = - 310,7$			
					$\beta^{85}$ über dem Meere = + 6414,3			

Höhenbestimmungen in  $p^{86}$  1837 27. Aug.

I. Satz 4 <sup>h</sup> 37',5								
$\beta^{86}$	- 243,1	I unruhig	+ 11,2	- 233,9	$\beta^{86}$	9,91265	138,4	- 239,7
$\beta^{85}$	+ 108,8	I unruhig	+ 15,2	+ 117,2	$P^{87}$	0,21365	276,6	- 332,6
II. Satz 5 <sup>h</sup> 27',5								
$\beta^{86}$	- 233,1	I ruhig	- 8,1	- 239,7	$\beta^{85}$	9,74156	93,2	+ 116,3
$P^{87}$	- 299,2	I ruhig	- 20,4	- 332,6	$P^{85}$	0,04962	189,6	+ 266,2
$\beta^{85}$	+ 121,3	sehr ruhig	- 8,1	+ 116,8	hieraus folgt $P^{86}$ über $P^{85} = - 263,7$			
$P^{85}$	+ 285,1	sehr ruhig	- 16,8	+ 266,2	$P^{86}$ über dem Meere = + 6315,4			
III. Satz 5 <sup>h</sup> 57'								
$\beta^{86}$	- 225,0	II etw. unr.	- 25,0	- 245,4	$\beta^{86}$	0,86	356,0	
$\beta^{85}$	+ 124,9	II etw. unr.	- 21,0	+ 113,4	$\beta^{86}$ über d. Meere = + 6058,3			

Höhenbestimmungen in  $p^{87}$  1837 28. Aug.

I. Satz 4 <sup>h</sup> 37',5								
$\alpha^{87}$	- 492,1	I etw. unr.	+ 2,9	- 489,9				
$\beta^{86}$	+ 86,9	I etw. unr.	+ 2,0	+ 88,6				

Object	Unverb. Höhe, in Z.	Zust. d. Bilder	Refr.	Verb. Höhe in Zollen	Object	$\log D \sin 1''$	C	Mittl. Höhe in Zollen
		II. Satz 5 <sup>h</sup> 27',5			$\alpha^{87}$	9,87995	128,4	— 489,5
$\alpha^{87}$	— 488,2	I fast ruhig	— 1,7	— 489,5	$P^{88}$	0,16290	246,2	— 522,7
$P^{88}$	— 504,6	I fast ruhig	— 12,4	— 522,7	$\beta^{86}$	9,91366	138,6	— 90,8
$\beta^{86}$	+ 95,5	I fast ruhig	— 2,7	+ 93,3	$P^{86}$	0,21365	276,6	— 334,8
$P^{86}$	+ 359,7	I fast ruhig	— 15,2	+ 334,8				hieraus folgt $P^{87}$ über $P^{86}$ —— 333,5
		III. Satz 5 <sup>h</sup> 57'						$P^{87}$ über d. Meere = + 5981,9
$\alpha^{87}$	— 475,1	II fast ruhig	— 18,7	— 489,3				ferner $\alpha^{87}$ über $\beta^{86}$ —— 580,3
$\beta^{86}$	+ 105,6	II fast ruhig	— 19,7	+ 89,4				$\alpha^{87}$ über d. Meere = + 5478,0

Höhenbestimmungen in  $p^{88}$  1837 31. Aug.I. Satz 4<sup>h</sup> 37',5

$\beta^{88}$	— 100,9	I unruhig	+ 14,7	— 92,3
$\alpha^{87}$	+ 24,0	I unruhig	+ 13,0	+ 33,1
		II. Satz 5 <sup>h</sup> 27',5		
$\beta^{88}$	— 89,6	sehr ruhig	— 8,7	— 94,7
$P^{89}$	+ 264,5	sehr ruhig	— 20,1	+ 237,5
$\alpha^{87}$	+ 37,6	sehr ruhig	— 10,3	+ 30,4
$P^{87}$	+ 550,9	I ruhig	— 17,7	+ 525,1
		III. Satz 6 <sup>h</sup> 1',5		
$\beta^{88}$	— 83,8	II etw. unr.	— 21,6	— 96,5
$\alpha^{87}$	+ 43,9	II fast ruhig	— 17,8	+ 31,5

$\beta^{88}$	9,76943	99,4	— 94,6
$P^{89}$	0,12858	227,6	+ 237,5
$\alpha^{87}$	9,84435	118,2	+ 30,9
$P^{87}$	9,16290	246,2	+ 525,1
			hieraus folgt $P^{88}$ über $P^{87}$ —— 524,3
			$P^{88}$ über dem Meere = + 5457,6
			ferner $\beta^{88}$ über $\alpha^{87}$ —— 125,5
			$\beta^{88}$ über dem Meere = + 5352,5

Höhenbestimmungen in  $p^{89}$  1837 2. Sept.I. Satz 4<sup>h</sup> 37',5

$\beta^{89}$	— 486,6	I fast ruhig	— 0,1	— 486,7
$\beta^{88}$	— 319,5	I fast ruhig	— 1,8	— 320,9
		II. Satz 5 <sup>h</sup> 27',5		
$\beta^{89}$	— 484,9	sehr ruhig	— 9,6	— 491,0
$P^{90}$	— 545,0	sehr ruhig	— 19,6	— 570,8
$\beta^{88}$	— 314,8	II ruhig	— 14,9	— 323,8
$P^{88}$	— 189,8	II ruhig	— 23,5	— 221,6
		III. Satz 5 <sup>h</sup> 53',5		
$\beta^{89}$	— 473,4	II etw. unr.	— 22,5	— 487,8
$\beta^{88}$	— 309,3	II etw. unr.	— 24,3	— 327,8

$\beta^{89}$	9,80610	108,2	— 489,5
$P^{90}$	0,12039	223,2	— 570,8
$\beta^{88}$	9,88172	128,8	— 324,5
$P^{88}$	0,12858	227,6	— 221,6
			hieraus folgt $P^{89}$ über $P^{88}$ = + 229,5
			$P^{89}$ über d. Meere = + 5687,1
			$\beta^{89}$ über $\beta^{88}$ —— 165,0
			$\beta^{89}$ über dem Meere = + 5187,5

Höhenbestimmungen in  $p^{90}$  1837 5. Sept.I. Satz 5<sup>h</sup> 27',5

$\beta^{90}$	— 49,4	II ruhig	— 8,8	+ 46,4
$P^{91}$	— 146,7	II ruhig	— 13,6	+ 137,4
$\beta^{89}$	+ 92,0	II fast ruhig	— 17,6	+ 80,0
$P^{89}$	+ 616,5	II fast ruhig	— 27,0	+ 581,4

$\beta^{90}$	9,53782	58,4	+ 47,0
$P^{91}$	0,83306	115,2	+ 137,4
$\beta^{89}$	9,83223	115,0	+ 80,7
$P^{89}$	0,12039	223,2	+ 581,4

Object	Unverb. Höhe, in Z.	Zust. d. Bilder	Refr.	Verb. Höhe in Zollen	Object	$\log D \sin 1''$	C	Mittl. Höhe in Zollen
II. Satz 5 <sup>h</sup> 59',5								
$\beta^{90}$	+ 58,5	II unruhig	- 25",8	+ 49,6				hieraus folgt $P^{90}$ über $P^{89} = - 572,9$
$\beta^{89}$	+ 126,3	II sehr unr.	- 48,3	+ 93,4				$P^{90}$ über d. Meere = + 5114,2

ferner  $\beta^{90}$  über  $\beta^{89} = - 33,7$   
 $\beta^{90}$  über d. Meere = + 5153,8

### Höhenbestimmungen in $p^{91}$ 1837 6. Sept.

#### I. Satz 3<sup>h</sup> 47',5

$\beta^{91}$	- 429,6	I fast ruhig	+ 2,0	- 428,6
$\beta^{90}$	- 90,0	I fast ruhig	+ 5,2	- 88,2

#### II. Satz 4<sup>h</sup> 37',5

$\beta^{91}$	- 427,0	I ruhig	- 3,5	- 428,8
$P^{92}$	+ 48,7	I ruhig	- 11,3	+ 37,2
$\beta^{90}$	- 87,5	I ruhig	- 0,3	- 87,6
$P^{90}$	- 131,8	I ruhig	- 5,3	- 135,4

#### III. Satz 5<sup>h</sup> 27',5

$\beta^{91}$	- 424,1	II ruhig	- 11,1	- 429,7
$P^{92}$	+ 62,7	II ruhig	- 18,7	+ 43,5
$\beta^{90}$	- 86,0	II ruhig	- 7,9	- 88,7
$P^{90}$	- 126,0	II ruhig	- 12,7	- 134,7

$\beta^{91}$  9,70861 86",4 - 429,1

$P^{92}$  0,00911 172,8 + 40,4

$\beta^{90}$  9,52766 57,0 - 88,2

$P^{90}$  9,83306 115,2 - 135,1

hieraus folgt  $P^{91}$  über  $P^{90} = + 135,9$

$P^{91}$  über dem Meere = + 5250,1

ferner  $\beta^{91}$  über  $\beta^{90} = - 340,9$

$\beta^{91}$  über dem Meere = + 4812,9

### Höhenbestimmungen in $p^{92}$ 1837 7. Sept.

#### I. Satz 3<sup>h</sup> 47',5

$\beta^{92}$	- 625,4	I etw. unr.	+ 3,7	- 622,5
$\beta^{91}$	- 469,4	I etw. unr.	+ 6,4	- 466,0

#### II. Satz 4<sup>h</sup> 37',5

$\beta^{92}$	- 623,3	I fast ruhig	- 0,9	- 623,9
$P^{93}$	- 407,3	I fast ruhig	- 12,8	- 426,3
$\beta^{91}$	- 468,6	I fast ruhig	+ 1,8	- 467,6
$P^{91}$	- 37,7	I fast ruhig	- 6,1	- 42,9

$\beta^{92}$  9,84772 119,2 - 623,4

$P^{93}$  0,17051 250,4 - 423,4

$\beta^{91}$  9,71562 87,8 - 469,1

$P^{91}$  0,00911 172,8 - 43,8

hieraus folgt  $P^{92}$  über  $P^{91} = + 41,8$

$P^{92}$  über dem Meere = + 5291,9

$\beta^{92}$  über  $\beta^{91} = - 154,3$

$\beta^{92}$  über dem Meere = + 4658,6

#### III. Satz 5<sup>h</sup> 27',5

$\beta^{92}$	- 616,4	sehr ruhig	- 10,4	- 623,7
$P^{93}$	- 389,4	sehr ruhig	- 22,0	- 422,0
$\beta^{91}$	- 466,6	sehr ruhig	- 7,7	- 470,6
$P^{91}$	- 28,7	sehr ruhig	- 15,3	- 44,3

### Höhenbestimmungen in $p^{93}$ 1837 8. Sept.

#### I. Satz 3<sup>h</sup> 47',5

$\beta^{93}$	- 409,6	I etw. unr.	+ 4,0	- 406,9
$\beta^{92}$	- 202,8	I etw. unr.	+ 2,5	- 200,8

Object	Unverbess. Höhe, in Z.	Zust. d. Bilder	Refr.	Verb. Höhe in Zollen	Object	$\log D \sin I''$	C	Mittl. Höhe in Zollen
II. Satz 4 <sup>h</sup> 37',5								
$\beta^{93}$	— 402,2	sehr ruhig	— 10',1	— 409,1	$\beta^{93}$	9,83623	116'',0	— 407,7
$P^{94}$	— 235,0	sehr ruhig	— 23,4	— 271,6	$P^{94}$	0,19448	264,6	— 271,6
$\beta^{92}$	— 191,8	sehr ruhig	— 11,5	— 200,8	$\beta^{92}$	9,89168	131,8	— 200,0
$P^{92}$	+ 457,2	sehr ruhig	— 22,0	+ 424,6	$P^{92}$	0,17051	250,4	+ 424,6
III. Satz 5 <sup>h</sup> 27',5								
$\beta^{93}$	— 382,4	II unruhig	— 31,0	— 403,7	hieraus folgt $P^{93}$ über $P^{92}$ = — 423,9			
$\beta^{92}$	— 171,2	II unruhig	— 32,4	— 196,2	$P^{93}$ über dem Meere = + 4868,0			
					$\beta^{93}$ über $\beta^{92}$ = — 207,7			
					$\beta^{93}$ über d. Meere = + 4450,9			

Höhenbestimmungen in  $p^{94}$  1837 9. Sept.

I. Satz 3 <sup>h</sup> 48',5								
$\beta^{94}$	— 494,6	I etw. unr.	+ 3,0	— 492,3	$\beta^{94}$	9,87372	126,4	— 492,9
$\beta^{93}$	— 137,3	I etw. unr.	+ 1,0	— 136,4	$P^{95}$	0,18760	260,4	— 373,4
II. Satz 4 <sup>h</sup> 37',5								
$\beta^{94}$	— 492,0	I fast ruhig	— 1,6	— 493,2	$\beta^{93}$	9,94838	150,2	— 128,6
$P^{95}$	— 356,0	I fast ruhig	— 13,8	— 377,2	$P^{93}$	0,19448	264,6	+ 284,6
$\beta^{93}$	— 125,8	I fast ruhig	— 3,6	— 129,0	hieraus folgt $P^{94}$ über $P^{93}$ = — 278,1			
$P^{93}$	+ 306,8	I fast ruhig	— 14,3	+ 284,4	$P^{94}$ über dem Meere = + 4589,9			
III. Satz 5 <sup>h</sup> 27',5								
$\beta^{94}$	— 479,3	II fast ruhig	— 18,5	— 493,1	ferner $\beta^{94}$ über $\beta^{93}$ = — 364,3			
$P^{95}$	— 319,0	II fast ruhig	— 30,4	— 365,9	$\beta^{94}$ über d. Meere = + 4086,6			
$\beta^{93}$	— 96,9	II etw. unr.	— 26,0	— 120,0				
$P^{93}$	+ 346,4	II etw. unr.	— 39,3	+ 284,9				

Höhenbestimmungen in  $p^{95}$  1837 10. Sept.

I. Satz 3 <sup>h</sup> 47',5								
$\beta^{95}$	— 319,9	I unruhig	+ 14,9	— 311,4	$\beta^{95}$	9,75623	96,4	— 315,2
$\beta^{94}$	— 123,7	I etw. unr.	+ 2,4	— 121,8	$P^{96}$	0,11459	220,2	— 386,2
II. Satz 4 <sup>h</sup> 37',5								
$\beta^{95}$	— 314,9	I fast ruhig	+ 1,1	— 314,3	$\beta^{94}$	9,89923	134,2	— 124,5
$P^{96}$	— 378,1	I fast ruhig	— 10,2	— 391,3	$P^{94}$	0,18760	260,4	+ 365,5
$\beta^{94}$	— 118,9	I ruhig	— 7,7	— 125,0	hieraus folgt $P^{95}$ über $P^{94}$ = — 368,5			
$P^{94}$	+ 390,0	I ruhig	— 19,0	+ 360,8	$P^{95}$ über d. Meere = + 4221,4			
III. Satz 5 <sup>h</sup> 27',5								
$\beta^{95}$	— 311,8	sehr ruhig	— 8,4	— 316,6	ferner $\beta^{95}$ über $\beta^{94}$ = — 190,7			
$P^{96}$	— 358,4	sehr ruhig	— 19,4	— 383,6	$\beta^{95}$ über d. Meere = + 3895,9			
$\beta^{94}$	— 115,5	sehr ruhig	— 11,7	— 124,8				
$P^{94}$	+ 403,2	sehr ruhig	— 23,0	+ 367,8				

Höhenbestimmungen in $p^{97}$ 1837 14. Sept.									
I. Satz $4^h 37'5$									
$\beta^{97}$	+	51,4	I etw. unr.	+	5,4	+	54,6	$\beta^{97}$	9,76714
$\beta^{96}$	-	198,8	I fast ruhig	+	1,0	-	198,2	$P^{98}$	0,09573
II. Satz $5^h 27'5$									
$\beta^{97}$	+	59,6	II ruhig	-	12,3	+	52,4	$P^{96}$	0,02790
$P^{98}$	+	203,0	II ruhig	-	22,0	+	175,5	hieraus folgt $P^{97}$ über $P^{96} = +$	
$\beta^{96}$	-	194,9	II ruhig	-	12,0	-	201,7	$P^{97}$ über dem Meere = +	
$P^{96}$	-	45,1	II ruhig	-	19,3	-	65,7	$\beta^{97}$ über $\beta^{96} = +$	
								$3903,6$	
								$253,4$	
								$3949,8$	

Höhenbestimmungen in p <sup>98</sup> 1837 15. Sept.							
I. Satz 4 <sup>h</sup> 37'5				II. Satz 5 <sup>h</sup> 27'5			
$\alpha^{98}$	— 508,4	I fast ruhig	+ 4,1	— 506,9	$\alpha^{98}$	9,55783	61,2
$P^{99}$	— 39,0	I fast ruhig	— 2,1	— 40,6	$P^{99}$	9,87923	128,2
$\beta^{97}$	— 114,1	I fast ruhig	— 0,3	— 114,3	$\beta^{97}$	9,82070	112,2
$P^{97}$	— 169,0	I fast ruhig	— 9,4	— 180,8	$P^{97}$	0,09573	211,0
hieraus folgt $P^{98}$ über $P^{97} = + 173,3$							
$\alpha^{98}$	— 505,0	sehr ruhig	— 5,4	— 506,9	$P^{98}$ über dem Meere	= + 4076,9	
$P^{99}$	— 35,3	sehr ruhig	— 11,3	— 43,8	ferner $\alpha^{98}$ über $\beta^{97} = - 392,7$		
$\beta^{97}$	— 107,7	sehr ruhig	— 9,8	— 114,2	$\alpha^{98}$ über d. Meere	= + 3557,1	
$P^{97}$	— 144,2	sehr ruhig	— 18,6	— 167,4			

Höhenbestimmungen in p <sup>99</sup> 1837 16. Sept.							
I. Satz 3 <sup>h</sup> 47'5							
$\beta^{99}$	- 375,4	I unruhig	+ 9,5	- 366 6	$\beta^{99}$	9,97009	158,0
$\alpha^{98}$	- 466,9	I etw. unr.	+ 8,2	- 463,7	$P^{100}$	0,16181	425,8

Object	Unverb. Höhe, in Z.	Zust. d. Bilder	Refr.	Verb. Höhe in Zollen	Object	$\log D \sin 1''$	C	Mittl. Höhe in Zollen
II. Satz $4^h 37'5$								
$\beta^{99}$	— 369,8	I etw. unr.	+ 0,3	— 369,5				hieraus folgt $P^{99}$ über $P^{98} = - 42,4$
$P^{100}$	— 417,1	I etw. unr.	— 7,6	— 428,1				$P^{99}$ über dem Meere = + 4034,5
$\alpha^{98}$	— 465,5	I fast ruhig	+ 3,6	— 464,1				ferner $\beta^{99}$ über $\alpha^{98} = + 95,9$
$P^{98}$	+ 43,0	I fast ruhig	— 2,1	+ 41,4				$\beta^{99}$ über dem Meere = + 3653,0

Höhenbestimmungen in  $p^{100}$  1837 17. Sept.

I. Satz $3^h 47'5$								
$\alpha^{100}$	— 53,2	sehr ruhig	— 10,6	— 60,8	$\alpha^{100}$	9,85520	121,2	— 62,2
$P^{101}$	— 5,3	sehr ruhig	— 20,3	— 32,9	$P^{101}$	0,13367	230,2	— 36,3
$\beta^{99}$	+ 56,8	sehr ruhig	— 7,7	+ 52,8	$\beta^{99}$	9,71470	87,8	+ 51,4
$P^{99}$	+ 454,2	sehr ruhig	— 21,7	+ 422,7	$P^{99}$	0,16181	245,8	+ 420,3
II. Satz $4^h 37'5$								
$\alpha^{100}$	— 54,5	sehr ruhig	— 10,6	— 62,1				hieraus folgt $P^{100}$ über $P^{99} = - 421,9$
$P^{101}$	— 12,1	sehr ruhig	— 20,3	— 39,7				$P^{100}$ über dem Meere = + 3612,6
$\beta^{99}$	+ 55,2	sehr ruhig	— 7,7	+ 51,2				ferner $\alpha^{100}$ über $\beta^{99} = - 113,6$
$P^{99}$	+ 449,4	sehr ruhig	— 21,7	+ 417,9				$\alpha^{100}$ über d. Meere = + 3539,4
III. Satz $5^h 27'5$								
$\alpha^{100}$	— 56,1	sehr ruhig	— 10,6	— 63,7				
$\beta^{99}$	+ 54,3	sehr ruhig	— 7,7	+ 50,3				

Höhenbestimmungen in  $p^{101}$  1837 18. Sept.

I. Satz $4^h 7'5$								
$\alpha^{101}$	— 386,4	I ruhig	— 3,6	— 388,2	$\alpha^{101}$	9,70775	86,4	— 387,8
$P^{102}$	— 68,1	I ruhig	— 10,8	— 78,8	$P^{102}$	9,99650	168,0	— 75,5
$\alpha^{100}$	— 23,1	I ruhig	— 5,7	— 26,7	$\alpha^{100}$	9,81180	109,8	— 26,6
$P^{100}$	+ 44,6	I ruhig	— 16,3	+ 22,5	$P^{100}$	0,13367	230,2	+ 31,6
II. Satz $4^h 57'5$								
$\alpha^{101}$	— 383,7	sehr ruhig	— 7,6	— 387,6				hieraus folgt $P^{101}$ über $P^{100} = - 34,0$
$P^{102}$	— 58,2	sehr ruhig	— 14,8	— 72,9				$P^{101}$ über dem Meere = + 3578,6
$\alpha^{100}$	— 20,3	sehr ruhig	— 9,7	— 26,6				ferner $\alpha^{101}$ über $\alpha^{100} = - 361,2$
$P^{100}$	+ 66,5	sehr ruhig	— 20,3	+ 38,9				$\alpha^{101}$ über dem Meere = + 3178,2

Höhenbestimmungen in  $p^{102}$  1837 19. Sept.

I. Satz $3^h 17'5$								
$\beta^{102}$	— 751,4	I etw. unr.	— 5,0	— 757,8	$\beta^{102}$	0,10911	217,6	— 757,0
$\alpha^{101}$	— 314,6	I fast ruhig	+ 2,3	— 313,5	$P^{103}$	0,32763	360,0	— 626,3
II. Satz $4^h 7'5$					$\alpha^{101}$	9,68466	82,0	— 314,4
$\beta^{102}$	— 744,3	I fast ruhig	— 9,6	— 756,6	$P^{101}$	9,99650	168,0	+ 72,8
$P^{103}$	— 578,5	I fast ruhig	— 22,5	— 626,3				hieraus folgt $P^{102}$ über $P^{101} = - 74,6$
$\alpha^{101}$	— 313,4	I ruhig	— 3,2	— 314,9				$P^{102}$ über dem Meere = + 3504,0
$P^{101}$	+ 83,5	I ruhig	— 10,8	+ 72,8				$\beta^{102}$ über $\alpha^{101} = - 442,6$
								$\beta^{102}$ über dem Meere = + 2735,6

Object	Unverb. Höhe, in Z.	Zust. d. Bilder	Refr.	Verb. Höhe in Zollen	Object	$\log D \sin 1'$	C	Mittl. Höhe in Zollen
Höhenbestimmungen in $p^{103}$ 1837 21. Sept.								
		I. Satz 4 <sup>h</sup> 7'5			$\alpha^{103}$	9,3962	42''2	- 121,7
$\alpha^{103}$	- 122,3	I etw. unr.	+ 5,8	- 120,9	$P^{104}$	9,8174	111,2	- 99,7
$P^{104}$	- 100,1	I etw. unr.	- 0,6	- 100,5	$\beta^{102}$	9,9250	142,4	- 135,4
$\beta^{102}$	- 137,9	I etw. unr.	+ 1,7	- 136,5	$P^{102}$	0,32763	360,0	+ 614,5
$P^{102}$	+ 651,9	I etw. unr.	- 17,6	+ 614,5	hieraus folgt $P^{103}$ über $P^{102} = - 622,4$			
		II. Satz 4 <sup>h</sup> 57'5			$P^{103}$ über dem Meere = + 2881,6			
$\alpha^{103}$	- 120,8	I ruhig	- 4,3	- 121,9	ferner $\alpha^{103}$ über $\beta^{102} = + 13,8$			
$P^{104}$	- 92,5	I ruhig	- 10,7	- 99,5	$\alpha^{103}$ über dem Meere = + 2749,4			
$\beta^{102}$	- 127,9	I ruhig	- 8,4	- 135,0				

	Höhenbestimmungen in $p^{104}$ 1837 22. Sept.							
	I. Satz 3 <sup>h</sup> 17'5							
$\beta^{104}$	- 452,9	I etw. unr.	+ 5,4	- 449,7	$\beta^{104}$	9,76760	99,0	- 447,7
$\alpha^{103}$	- 25,9	I etw. unr.	+ 8,1	- 22,6	$\alpha^{103}$	9,61073	69,0	- 24,0
$P^{103}$	+ 94,5	I etw. unr.	+ 4,3	+ 97,3	$P^{103}$	9,8174	111,2	+ 95,3
	II. Satz 4 <sup>h</sup> 7'5				hieraus folgt $P^{104}$ über $P^{103} = + 97,5$			
$\beta^{104}$	- 446,2	I fast ruhig	+ 0,8	- 445,7	$P^{104}$ über dem Meere = + 2784,1			
$\alpha^{103}$	- 24,1	I fast ruhig	+ 3,5	- 22,6	$\beta^{104}$ über $\alpha^{103} = - 423,7$			
$P^{103}$	+ 99,2	I fast ruhig	+ 0,1	+ 99,3	$\beta^{104}$ über dem Meere = + 2325,7			
	III. Satz 4 <sup>h</sup> 57'5							
$\beta^{104}$	- 443,2	sehr ruhig	- 8,7	- 448,3				
$\alpha^{103}$	- 22,6	sehr ruhig	- 6,0	- 25,1				
$P^{103}$	+ 98,6	sehr ruhig	- 9,1	+ 92,6				

	Höhenbestimmungen in $p^{105}$ 1837 23. Sept.							
	I. Satz 3 <sup>h</sup> 17'5							
$\beta^{105}$	- 377,4	I unruhig	+ 16,0	- 369,6	$\beta^{105}$	9,69017	82,8	- 369,8
$\beta^{104}$	+ 24,1	I unruhig	+ 11,0	+ 33,2	$P^{106}$	9,96070	154,6	- 103,4
	II. Satz 4 <sup>h</sup> 7'5				$\beta^{104}$	9,91832	140,2	+ 32,3
$\beta^{105}$	- 372,7	I etw. unr.	+ 6,8	- 369,4	$P^{104}$	0,14284	235,0	+ 480,6
$P^{106}$	- 106,1	I etw. unr.	+ 0,4	- 105,7	hieraus folgt $P^{105}$ über $P^{104} = - 480,6$			
$\beta^{104}$	+ 35,3	I fast ruhig	- 2,8	+ 33,0	$P^{105}$ über d. Meere = + 2303,5			
$P^{104}$	+ 498,7	I fast ruhig	- 11,5	+ 482,7	$\beta^{105}$ über $\beta^{104} = - 402,1$			
	III. Satz 4 <sup>h</sup> 57'5				$\beta^{105}$ über dem Meere = + 1923,6			
$\beta^{105}$	- 366,3	sehr ruhig	- 7,3	- 369,9				
$P^{106}$	- 90,2	sehr ruhig	- 13,7	- 102,7				
$\beta^{104}$	+ 42,1	sehr ruhig	- 12,3	+ 31,8				
$P^{104}$	+ 508,3	sehr ruhig	- 20,7	+ 479,5				

Object	Unverb. Höhe, in Z.	Zust. d. Bilder	Refr.	Verb. Höhe in Zollen	Object	$\log D \sin A''$	C	Mittl. Höhe in Zollen			
Höhenbestimmungen in $p^{106}$ 1837 24. Sept.											
I. Satz 3 <sup>h</sup> 17'5											
$\beta^{106}$	— 358,9	I etw. unr.	+ 6,1	— 355,6	$\beta^{106}$	9,73306	91,6	— 354,0			
$\beta^{105}$	— 265,2	I fast ruhig	+ 2,9	— 263,9	$P^{107}$	0,06549	196,6	— 541,0			
II. Satz 4 <sup>h</sup> 7'5											
$\beta^{106}$	— 356,1	I fast ruhig	+ 1,5	— 355,3	$\beta^{105}$	9,65051	75,6	— 264,8			
$P^{107}$	— 531,7	I fast ruhig	— 8,2	— 541,2	hieraus folgt $P^{106}$ über $P^{105}$ = — 103,3						
$\beta^{105}$	— 264,7	I ruhig	— 2,6	— 265,8	$P^{106}$ über d. Meere = + 2200,2						
$P^{105}$	+ 110,4	I ruhig	— 9,7	+ 101,5	$\beta^{106}$ über $\beta^{105}$ = — 89,2						
III. Satz 4 <sup>h</sup> 57'5											
$\beta^{106}$	— 350,7	I ruhig	— 4,0	— 352,9	$\beta^{106}$ über d. Meere = + 1834,4						
$P^{107}$	— 525,3	I ruhig	— 13,4	— 540,9							
$\beta^{105}$	— 263,2	I ruhig	— 2,6	— 264,3							
$P^{105}$	+ 113,0	I ruhig	— 9,7	+ 104,1							
Höhenbestimmungen in $p^{107}$ 1837 25. Sept.											
I. Satz 3 <sup>h</sup> 17'5											
$\alpha^{107}$	— 263,5	I fast ruhig	+ 3,8	— 262,0	$\alpha^{107}$	9,58352	64,8	— 262,4			
$\beta^{106}$	+ 181,8	I fast ruhig	0,0	+ 181,8	$P^{108}$	9,99230	166,2	— 545,9			
II. Satz 4 <sup>h</sup> 7'5											
$\alpha^{107}$	— 262,6	I fast ruhig	+ 3,8	— 261,1	$\beta^{106}$	9,80295	107,4	+ 183,0			
$P^{108}$	— 545,9	I fast ruhig	— 5,4	— 551,2	$P^{106}$	0,06549	196,6	+ 534,7			
$\beta^{106}$	+ 184,5	I fast ruhig	0,0	+ 184,5	hieraus folgt $P^{107}$ über $P^{106}$ = — 537,9						
$P^{106}$	+ 544,9	I fast ruhig	— 8,2	+ 535,4	$P^{107}$ über d. Meere = + 1662,3						
III. Satz 4 <sup>h</sup> 57'5											
$\alpha^{107}$	— 262,5	I ruhig	— 1,7	— 263,2	$\alpha^{107}$ über $\beta^{106}$ = — 445,4						
$P^{108}$	— 531,9	I ruhig	— 10,6	— 542,3	$\alpha^{107}$ über d. Meere = + 1389,0						
$\beta^{106}$	+ 186,3	I ruhig	— 5,5	+ 182,8							
$P^{106}$	+ 549,8	I ruhig	— 13,4	+ 534,2							
Höhenbestimmungen in $p^{108}$ 1837 26. Sept.											
I. Satz 3 <sup>h</sup> 17'5											
$\alpha^{108}$	— 102,1	I fast ruhig	+ 5,3	— 100,6	$\alpha^{108}$	9,4514	47,8	— 101,8			
$P^{109}$	+ 6,6	I fast ruhig	— 7,8	— 2,2	$P^{109}$	0,0548	192,0	+ 0,5			
$\alpha^{107}$	+ 282,7	I fast ruhig	+ 0,5	+ 283,0	$\alpha^{107}$	9,78098	102,2	+ 284,4			
$P^{107}$	+ 549,6	I fast ruhig	— 5,4	+ 544,3	$P^{107}$	9,99230	166,2	+ 550,2			
II. Satz 4 <sup>h</sup> 7'5											
$\alpha^{108}$	— 100,7	sehr ruhig	— 4,2	— 101,9	hieraus folgt $P^{108}$ über $P^{107}$ = — 548,2						
$P^{109}$	+ 21,1	sehr ruhig	— 17,0	+ 1,8	$P^{108}$ über dem Meere = + 1114,1						
$\alpha^{107}$	+ 289,7	sehr ruhig	— 9,0	+ 284,3	$\alpha^{108}$ über $\alpha^{107}$ = — 386,2						
$P^{107}$	+ 570,6	II ruhig	— 17,8	+ 553,1	$\alpha^{108}$ über dem Meere = + 1002,8						

Object	Unverb. Höhe, in Z.	Zust. d. Bilder	Refr.	Verb. Höhe in Zollen	Object	$\log D \sin I'$	C	Mittl. Höhe in Zollen
		III. Satz 4 <sup>h</sup> 57',5						
$\alpha^{108}$	- 100,2	II ruhig	- 7,8	- 102,4				
$\alpha^{107}$	+ 292,7	II ruhig	- 12,6	+ 285,1				

Höhenbestimmungen in  $p^{109}$  1837 27. Sept.I. Satz 3<sup>h</sup> 17',5

$\beta^{109}$	- 475,1	I etw. unr.	+ 3,8	- 472,4
$\alpha^{108}$	- 103,4	I etw. unr.	+ 1,5	- 102,1
		II. Satz 4 <sup>h</sup> 7',5		
$\beta^{109}$	- 473,1	I fastruh., ruh.	- 3,5	- 475,5
$P^{110}$	- 571,0	I fastruh., ruh.	- 12,9	- 587,8
$\alpha^{108}$	- 97,7	I ruhig	- 8,6	- 105,0
$P^{108}$	+ 12,4	I ruhig	- 13,0	- 2,3
		III. Satz 4 <sup>h</sup> 57',5		
$\beta^{109}$	- 469,2	I rhg., sehr rhg.	- 8,3	- 474,9
$P^{110}$	- 566,8	I rhg., sehr rhg.	- 17,5	- 589,7
$\alpha^{108}$	- 96,6	sehr ruhig	- 12,6	- 107,3
$P^{108}$	+ 16,0	sehr ruhig	- 16,9	- 3,3

$\beta^{109}$  9,84360 | 118",0 | - 474,7  
 $P^{110}$  0,11548 | 220,6 | - 589,1  
 $\alpha^{108}$  9,9306 | 144,2 | - 105,8  
 $P^{108}$  9,0548 | 192,0 | - 2,8  
hieraus folgt  $P^{109}$  über  $P^{108}$  = + 1,7  
 $P^{109}$  über dem Meere = + 1115,8  
ferner  $\beta^{109}$  über  $\alpha^{108}$  = - 368,9  
 $\beta^{109}$  über dem Meere = + 633,9

Höhenbestimmungen in  $p^{110}$  1837 28. Sept.I. Satz 3<sup>h</sup> 17',5

$\beta^{110}$	- 358,0	I etw. unr.	+ 3,9	- 355,3
$\beta^{109}$	+ 108,2	I etw. unr.	+ 5,0	+ 111,2
		II. Satz 4 <sup>h</sup> 7',5		
$\beta^{110}$	- 351,2	I fast ruhig	- 0,7	- 351,7
$P^{111}$	- 284,7	I fast ruhig	- 9,7	- 296,9
$\beta^{109}$	+ 112,7	I fast ruhig	+ 0,4	+ 112,9
$P^{109}$	+ 593,4	I fast ruhig	- 10,3	+ 580,0
		III. Satz 4 <sup>h</sup> 57',5		
$\beta^{110}$	- 339,4	II ruhig	- 13,8	- 348,9
$P^{111}$	- 263,4	II ruhig	- 22,3	- 291,6
$\beta^{109}$	+ 118,2	II ruhig	- 12,7	+ 110,4
$P^{109}$	+ 611,3	II ruhig	- 22,9	+ 581,4

$\beta^{110}$  9,83797 | 116,4 | - 350,6  
 $P^{111}$  0,10229 | 214,0 | - 293,4  
 $\beta^{109}$  9,78546 | 103,2 | + 111,2  
 $P^{109}$  0,11548 | 220,6 | + 580,9  
hieraus folgt  $P^{110}$  über  $P^{109}$  = - 585,0  
 $P^{110}$  über dem Meere = + 530,8  
 $\beta^{110}$  über  $\beta^{109}$  = - 461,8  
 $\beta^{110}$  über d. Meere = + 172,1

Höhenbestimmungen in  $p^{111}$  1837 29. Sept.I. Satz 3<sup>h</sup> 17',5

$\beta^{111}$	- 256,6	I ruhig	- 8,3	- 263,5
$P^{112}$	- 154,8	I ruhig	- 23,7	- 198,8
$\beta^{110}$	- 56,0	I ruhig	- 4,6	- 58,7
$P^{110}$	+ 304,6	I ruhig	- 14,9	+ 295,7

$\beta^{111}$  9,91943 | 140,6 | - 263,1  
 $P^{112}$  0,26843 | 313,8 | - 197,8  
 $\beta^{110}$  9,76230 | 97,8 | - 59,5  
 $P^{110}$  0,10229 | 214,0 | + 292,6

Object	Unverb. Höhe, in Z.	Zust. d. Bilder	Refr.	Verb. Höhe in Zollen	Object	$\log D \sin 1''$	C	Mittl. Höhe in Zollen
II. Satz $4^h 7',5$								
$\beta^{111}$	— 252,4	sehr ruhig	— 12'',3	— 262,6				
$P^{112}$	— 145,3	sehr ruhig	— 27,7	— 196,7				
$\beta^{110}$	— 54,5	sehr ruhig	— 8,6	— 59,5				
$P^{110}$	+ 313,4	sehr ruhig	— 18,9	+ 289,5				
III Satz $4^h 57',5$								
$\beta^{111}$	— 247,1	II fast ruhig	— 19,8	— 263,5				
$\beta^{110}$	— 51,6	II fast ruhig	— 16,1	— 60,9				
					hieraus folgt $P^{111}$ über $P^{110} = - 293,0$			
					$P^{111}$ über d. Meere = + 237,8			
					ferner $\beta^{111}$ über $\beta^{110} = - 203,6$			
					$\beta^{111}$ über d. Meere = — 31,5			

Höhenbestimmungen in  $p^{112}$  1837 30. Sept.

I Satz 3 <sup>h</sup> 17',5				
$\beta^{112}$	— 214,6	I etw. unr.	— 1,2	— 215,8
$\beta^{111}$	— 65,0	I etw. unr.	— 1,3	— 66,2
II. Satz 4 <sup>h</sup> 7',5				
$\beta^{112}$	— 212,7	I fast ruhig	— 5,8	— 218,7
$P^{113}$	— 130,4	I fast ruhig	— 18,0	— 163,2
$\beta^{111}$	— 58,6	I fast ruhig	— 5,9	— 64,7
$P^{111}$	+ 220,0	I fast ruhig	— 18,5	+ 185,7
III Satz 4 <sup>h</sup> 57',5				
$\beta^{112}$	— 192,7	II. etw. unr.	— 28,2	— 221,7
$P^{113}$	— 61,6	II. etw. unr.	— 43,1	— 140,2
$\beta^{111}$	— 37,2	II etw. unr.	— 28,3	— 66,3
$P^{111}$	+ 287,0	II etw. unr.	— 43,6	+ 206,4

## Höhenbestimmungen in $p^{113}$ 1837 2. Octob.

	I. Satz	$3^h\ 17',5$						
$P_a^{114}$	+	4,1	I ruhig	- 12,1	-	9,0	$P_a^{114}$	0,03445
$\beta^{112}$	-	53,2	I ruhig	- 7,9	-	59,6	$\beta^{112}$	9,90540
$P^{112}$	+	194,0	I ruhig	- 23,2	+	151,7	$P^{112}$	0,26098
	II. Satz	$4^h\ 7',5$					$\beta_b^{113}$	9,73720
$P_a^{114}$	+	12,8	II fast ruhig	- 23,5	-	12,6	$P_b^{114}$	0,06513
$\beta^{112}$	-	46,2	II etw. unr.	- 24,8	-	66,1	Kisljar, Arm. Kir.	0,40078
$P^{112}$	+	238,0	II etw. unr.	- 43,1	+	159,4	hieraus folgt $P^{113}$ über $P^{112}$ = - 154,8	
	III. Satz	$4^h\ 57',5$					$P^{113}$ über dem Meere = - 113,3	
$\beta^{112}$	-	44,1	II etw. unr.	- 24,8	-	64,0	$\beta_b^{113}$ über $\beta^{112}$ = - 63,1	
	14. Octob.	I. Satz	$2^h\ 57',5$				$\beta_b^{113}$ über dem Meere = - 247,9	
$\beta_b^{113}$	-	134,0	I unruhig	+ 15,3	-	125,6		
	II. Satz	$3^h\ 47',5$					ferner $P_a^{114}$ über dem Meere = - 130,5	
$\beta_b^{113}$	-	125,4	I fast ruhig	+ 1,4	-	124,7	Niveau des Terek bei der ersten Ue- berfahrt nach Kisljar (unter $P_a^{114}$	
$P_b^{114}$	-	83,2	I fast ruhig	- 8,2	-	92,7	= 195,5 Z.) über dem Meere = - 326,0	
$P_a^{114}$	-	4,4	I fast ruhig	- 6,9	-	11,9	Endlich Kisljar Armenisch Gre- gorianische Kirche, Glockenthurm	
							Knopf über dem Meere . . . . = + 1272,8	

Object	Unverb. Höhe, in Z.	Zust. d. Bilder	Refr.	Verb. Höhe in Zollen	Object	$\log D \sin T''$	C	Mittl. Höhe in Zollen
III. Satz 4 <sup>h</sup> 37',5								
$\beta_b^{113}$	— 122,6	I ruhig	— 4,0	— 124,8				
$P_b^{114}$	— 73,1	I ruhig	— 13,4	— 88,7				
$P_a^{114}$	+ 2,2	I ruhig	— 12,1	— 10,9				
Kisljar, Arm. Kir.	+ 1476,6	I ruhig	— 33,4	+ 1392,6				

Höhenbestimmungen in  $p_b^{114}$  1837 15. Octob.I Satz 2<sup>h</sup> 57',5

$\beta^{114}$	— 131,8	I etw. unr.	+ 1,8	— 130,3	$\beta^{114}$	9,91810	140",4	— 129,5
$P^{115}$	+ 29,1	I etw. unr.	— 17,0	— 6,0	$P^{115}$	0,33498	366,8	+ 14,5
$\beta_b^{113}$	— 34,0	I etw. unr.	+ 4,8	— 31,1	$\beta_b^{113}$	9,7904	104,8	— 34,2
$P^{113}$	+ 92,4	I etw. unr.	— 3,3	+ 88,6	$P^{113}$	0,06513	197,0	+ 93,4

II. Satz 3<sup>h</sup> 47',5

$\beta^{114}$	— 120,3	sehr ruhig	— 12,3	— 130,5	$P_b^{114}$ über P <sup>113</sup>	— — —	91,5
$P^{115}$	+ 89,8	sehr ruhig	— 32,4	+ 19,7	$\beta^{114}$ über $\beta_b^{113}$	— — —	95,3
$\beta_b^{113}$	— 28,9	sehr ruhig	— 9,3	— 34,7	$\beta^{114}$ über dem Meere	— — —	343,2
$P^{113}$	+ 114,8	sehr ruhig	— 17,4	+ 94,6			

III Satz 4<sup>h</sup> 37',5

$\beta^{114}$	— 110,8	II fast ruhig	— 19,8	— 127,2				
$\beta_b^{113}$	— 26,5	II ruhig	— 12,9	— 34,5				

Höhenbestimmungen in  $p^{115}$  1837 16. Octob.I. Satz 2<sup>h</sup> 57',5

$\alpha^{115}$	— 178,5	I fast ruhig	— 2,2	— 180,2	$\alpha^{115}$	9,8988	134,4	— 181,5
$\beta^{114}$	— 131,0	I fast ruhig	— 10,4	— 144,9	$P^{116}$	0,15581	242,8	— 77,4
II. Satz 3 <sup>h</sup> 47',5								

$\alpha^{115}$	— 174,0	Irhg., sehr rhg.	— 9,7	— 181,6	$P_b^{114}$	0,33498	366,8	— 5,8
$P^{116}$	— 49,6	Irhg., sehr rhg.	— 19,4	— 77,4	$P^{115}$ über $P_b^{114}$	= +	10,4	
$\beta^{114}$	— 114,0	sehr ruhig	— 19,9	— 140,6	$P^{115}$ über dem Meere	— — —	194,4	
$P_b^{114}$	+ 64,3	sehr ruhig	— 32,4	— 5,8	$\alpha^{115}$ über $\beta^{114}$	— — —	39,1	

III. Satz 4<sup>h</sup> 37',5

$\alpha^{115}$	— 167,4	II fast ruhig	— 19,2	— 182,6	$\alpha^{115}$ über d. Meere	— — —	382,3
$\beta^{114}$	— 100,6	II etw. unr.	— 32,8	— 144,5			

Höhenbestimmungen in  $p^{116}$  1837 17. Octob.4<sup>h</sup> 37',5

$\beta^{116}$	— 159,9	II fast ruhig	— 21,9	— 181,1	$P^{117}$	0,24047	295,2	— 191,1
$P^{117}$	— 118,0	II etw. unr.	— 42,0	— 191,1	$\alpha^{115}$	9,8057	108,4	— 106,8
$\alpha^{115}$	— 96,0	II fast ruhig	— 17,0	— 106,8	$P^{115}$	0,15581	242,8	+ 75,7
$P^{115}$	+ 116,9	II fast ruhig	— 28,8	+ 75,7	$P^{116}$ über $P^{115}$	— — —	76,8	

hieraus folgt  $P^{116}$  über  $P^{115}$  — — — 76,8  
 $P^{116}$  über dem Meere — — — 271,2  
 $\beta^{116}$  über  $\alpha^{115}$  — — — 74,3  
 $\beta^{116}$  über dem Meere — — — 456,6

Object	Unverb. Höhe, in Z.	Zust. d. Bilder	Refr.	Verb. Höhe in Zollen	Object	Unverb.	$\log D \sin 1''$	C	Mittl. Höhe in Zollen
--------	------------------------	-----------------	-------	-------------------------	--------	---------	-------------------	---	--------------------------

Höhenbestimmungen in  $p^{117}$  1837 18. Octob.I. Satz  $2^h 57'5$ 

$\beta^{117}$	— 63,8	I unruhig	+ 10,5	— 54,7
$\beta^{116}$	+ 4,7	I unruhig	+ 11,8	+ 13,9

II. Satz  $3^h 47'5$ 

$\beta^{117}$	— 47,0	I ruhig	— 8,8	— 54,6
$P^{118}$	+ 111,7	I ruhig	— 19,4	+ 81,4
$\beta^{116}$	+ 25,9	sehr ruhig	— 11,5	+ 17,0
$P^{116}$	+ 241,7	sehr ruhig	— 26,0	+ 196,5

III Satz  $4^h 37'5$ 

$\beta^{117}$	— 27,6	II unruhig	— 33,4	— 56,5
$\beta^{116}$	+ 36,2	II. etw. unr.	— 24,4	+ 17,2

$\beta^{117}$	9,9365	146,6	— 54,9
$P^{118}$	0,19395	265,2	+ 81,4

$\beta^{116}$	9,89025	131,8	+ 16,5
$P^{116}$	0,24047	295,2	+ 196,5

hieraus folgt  $P^{117}$  über  $P^{116}$  = — 195,6 $P^{117}$  über d. Meere = — 466,8ferner  $\beta^{117}$  über  $\beta^{116}$  = — 71,4 $\beta^{117}$  über d. Meere = — 528,0Höhenbestimmungen in  $p^{118}$  1837 19. Octob.I. Satz  $2^h 57'5$ 

$\alpha^{118}$	— 201,3	I etw. unr.	+ 4,6	— 198,3
$\beta^{117}$	— 140,5	I etw. unr.	+ 3,6	— 138,0

II<sup>a</sup> Satz  $3^h 47'5$ 

$\alpha^{118}$	— 196,2	I fast ruhig	0,0	— 196,2
$P^{119}$	— 20,6	I fast ruhig	— 7,6	— 25,5
$\beta^{117}$	— 132,3	I fast ruhig	— 1,0	— 133,0
$P^{117}$	— 48,8	I ruhig	— 19,4	— 79,1

II<sup>b</sup> Satz  $4^h 4'$ 

$\alpha^{118}$	— 190,5	II ruhig	— 13,1	— 198,9
$P^{119}$	— 7,3	II ruhig	— 20,2	— 29,9
$\beta^{117}$	— 124,1	II ruhig	— 14,1	— 134,0
$P^{117}$	— 22,7	II fast ruhig	— 30,9	— 71,0

III. Satz  $4^h 37'5$ 

$\alpha^{118}$	— 189,0	II ruhig	— 13,1	— 197,4
$\beta^{117}$	— 123,1	II ruhig	— 14,1	— 133,0

$\alpha^{118}$	9,80537	108,4	— 197,8
$P^{119}$	0,04860	189,8	— 28,4

$\beta^{117}$	9,84710	119,2	— 133,8
$P^{117}$	0,19395	265,2	— 77,5

hieraus folgt  $P^{118}$  über  $P^{117}$  = + 79,3 $P^{118}$  über d. Meere = — 387,5 $\alpha^{118}$  über  $\beta^{117}$  = — 64,0 $\alpha^{118}$  über d. Meere = — 592,0Höhenbestimmungen in  $p^{119}$  1837 20. Octob.I. Satz  $2^h 57'5$ 

$\beta^{119}$	— 186,3	I etw. unr.	+ 1,6	— 184,9
$P^{120}$	— 116,5	I unruhig	— 0,4	— 117,2
$\alpha^{118}$	— 169,1	I etw. unr.	+ 6,9	— 165,8
$P^{118}$	+ 33,3	I etw. unr.	— 2,7	+ 30,2

$\beta^{119}$	9,9231	142,2	— 186,5
$P^{120}$	0,22013	281,6	— 123,9

$\alpha^{118}$	9,6864	82,4	— 167,3
$P^{118}$	0,0486	189,8	+ 29,2

Object	Unverb. Höhe, in Z.	Zust. d. Bilder	Refr.	Verb. Höhe in Zollen	Object	$\log D \sin 1''$	C	Mittl. Höhe in Zollen
II. Satz 3 <sup>h</sup> 47',5								
$\beta^{119}$	— 181,8	I fast ruhig	— 3,0	— 184,3				hieraus folgt $P^{119}$ über $P^{118}$ — — 28,7
$P^{120}$	— 101,4	I fast ruhig	— 15,6	— 127,3				$P^{119}$ über dem Meere — — 416,2
$\alpha^{118}$	— 166,4	I ruhig	— 3,2	— 168,0				ferner $\beta^{119}$ über $\alpha^{118}$ — — 19,2
$P^{118}$	+ 43,1	I ruhig	— 12,8	+ 28,8				$\beta^{119}$ über dem Meere — — 611,2
III. Satz 4 <sup>h</sup> 35',5								
$\beta^{119}$	— 177,7	sehr ruhig	— 12,5	— 188,1				
$\alpha^{118}$	— 163,7	sehr ruhig	— 7,2	— 167,2				

Höhenbestimmungen in  $p^{120}$  1837 21. Octob.I. Satz 2<sup>h</sup> 57',5

$\beta^{120}$	— 104,9	I ruhig	— 9,6	— 113,6
$\beta^{119}$	— 60,0	I ruhig	— 8,3	— 66,8
II. Satz 3 <sup>h</sup> 47',5				
$\beta^{120}$	— 95,9	sehr ruhig	— 13,6	— 108,3
$P^{121}$	+ 174,9	sehr ruhig	— 26,6	+ 127,5
$\beta^{119}$	— 55,1	sehr ruhig	— 12,3	— 65,3
$P^{119}$	+ 162,3	sehr ruhig	— 24,9	+ 120,0

$\beta^{120}$	9,9600	154",6	— 110,6
$P^{121}$	0,25121	302,4	+ 127,5
$\beta^{119}$	9,9151	139,6	— 66,0
$P^{119}$	0,22013	281,6	+ 120,0
hieraus folgt $P^{120}$ über $P^{119}$ — — 121,7			
$P^{120}$ über d. Meere — — 537,9			
$\beta^{120}$ über $\beta^{119}$ — — 44,6			
$\beta^{120}$ über dem Meere — — 655,8			

Höhenbestimmungen in  $p^{121}$  1837 23. Octob.I. Satz 2<sup>h</sup> 57',5

$\beta^{121}$	— 124,4	I ruhig	— 12,4	— 138,0
$P^{122}$	+ 49,6	I ruhig	— 23,7	+ 5,7
$\beta^{120}$	— 230,7	I ruhig	— 8,9	— 238,5
$P^{120}$	— 94,8	I ruhig	— 22,6	— 135,1
II. Satz 3 <sup>h</sup> 47',5				

$\beta^{121}$	0,0390	185,6	— 139,8
$P^{122}$	0,26777	314,2	— 2,2
$\beta^{120}$	9,94036	147,8	— 239,3
$P^{120}$	0,25121	302,4	— 131,3
hieraus folgt $P^{121}$ über $P^{120}$ = + 130,0			
$P^{121}$ über dem Meere — — 407,9			
$\beta^{121}$ über $\beta^{120}$ = + 99,5			
$\beta^{121}$ über d. Meere — — 556,3			

$\beta^{121}$	— 126,3	I rgh., sehr rhg.	— 14,4	— 142,0
$P^{122}$	+ 33,7	I ruhig	— 23,7	— 10,2
$\beta^{120}$	— 230,9	I rgh., sehr ruh.	— 10,9	— 240,5
$P^{120}$	— 83,6	I rgh., sehr rhg.	— 24,6	— 127,5
III. Satz 4 <sup>h</sup> 29'				

$\beta^{121}$	— 113,9	II fast ruhig	— 23,9	— 139,2
$P^{120}$	— 222,4	II fast ruhig	— 20,5	— 238,9

Höhenbestimmungen in  $p^{122}$  1837 25. Octob.I. Satz 2<sup>h</sup> 57',5

$\beta^{122}$	— 400,1	I ruhig	— 6,6	— 404,8
$P^{123}$	+ 26,2	I ruhig	— 16,3	+ 3,9
$\beta^{121}$	— 133,2	I fast ruhig	— 1,8	— 134,6
$P^{121}$	+ 30,4	I fast ruhig	— 18,5	— 3,8

$\beta^{122}$	9,85595	121,4	— 404,1
$P^{123}$	0,13522	231,0	+ 1,6
$\beta^{121}$	9,8803	128,6	— 137,3
$P^{121}$	0,26777	314,2	— 3,4

Object	Unverb. Höhe, in Z.	Zust. d. Bilder	Refr.	Verb. Höhe in Zollen	Object	$\log D \sin 1''$	C	Mittl. Höhe in Zollen
II. Satz 3 <sup>h</sup> 49,5								
$\beta^{122}$	— 395,2	sehr ruhig	— 10,6	— 402,8				hieraus folgt $P^{122}$ über $P^{121}$ = — 0,3
$P^{123}$	+ 27,0	sehr ruhig	— 20,3	— 0,7				$P^{122}$ über dem Meere = — 408,2
$\beta^{121}$	— 130,3	sehr ruhig	— 11,3	— 138,7				ferner $\beta^{122}$ über $\beta^{121}$ = — 266,8
$P^{121}$	+ 31,1	I fast ruhig	— 18,5	— 3,1				$\beta^{122}$ über d. Meere = — 823,1
III. Satz 4 <sup>h</sup> 31'								
$\beta^{122}$	— 389,8	II etw. unr.	— 23,5	— 406,6				
$\beta^{121}$	— 118,1	II etw. unr.	— 24,2	— 136,4				

Höhenbestimmungen in  $p^{123}$  1837.26 Octob. I. Satz 2<sup>h</sup> 57,5

$P^{124}$	— 282,5	I fast ruhig	— 16,0	— 307,7	$P^{124}$	0,22631	285,0	— 306,1
Tsch. Ryn. Belv.	+ 137,5	I fast ruhig	— 3,0	+ 135,0	Tsch. Ryn. Belv.	9,91955	140,6	+ 131,3
$\beta^{122}$	— 399,7	I fast ruhig	— 0,8	— 400,2	“ “ Gesimse	9,91870	140,2	— 323,8
$P^{122}$	+ 18,2	I fast ruhig	— 11,1	+ 3,0	“ “ Erdboden	9,91870	140,2	— 434,4
II. Satz 3 <sup>h</sup> 47,5								
$P^{124}$	— 269,5	I ruhig	— 21,2	— 305,2	$\beta^{122}$	9,84518	118,4	— 403,6
Tsch. Ryn. Belv.	+ 137,9	I ruhig sehr rhg.	— 10,4	+ 129,3	$P^{122}$	0,13522	231,0	+ 1,5
$\beta^{122}$	— 398,6	sehr ruhig	— 10,3	— 405,8				hieraus folgt $P^{123}$ über $P^{122}$ = — 0,5
$P^{122}$	+ 26,9	sehr ruhig	— 20,3	— 0,8	$P^{123}$			$P^{123}$ über dem Meere = — 408,7
III. Satz 4 <sup>h</sup> 29'								
$P^{124}$	— 259,7	II ruhig	— 28,6	— 307,8	$P^{124}$ über $\beta^{122}$	= + 97,5		
$\beta^{122}$	— 393,4	II ruhig	— 13,9	— 403,2				

28. Octob. I. Satz 3<sup>h</sup> 4,5

Tsch. Ryn. Belv.	+ 132,6	I etw. unr.	+ 1,7	+ 134,1	ferner haben wir:		über dem	
“ “ Gesimse	— 323,7	I etw. unr.	+ 1,8	— 322,2	Tschernoi Rynok Belved. Dach	= — 285,5	+ 718,6	Asowschen Caspisch.
“ “ Erdboden	— 436,4	I etw. unr.	+ 1,8	— 434,9	“ Gesimse des I. Stocks	= — 740,6	+ 263,5	Meere
$P^{122}$	+ 15,6	I etw. unr.	— 6,3	+ 7,0	“ Erdboden am Hause	= — 851,2	+ 152,9	
$P^{124}$	— 288,4	I etw. unr.	— 11,0	— 306,9				
II. Satz 3 <sup>h</sup> 24,5								
$P^{122}$	+ 16,4	I fast ruhig	— 11,1	+ 1,2				
$P^{124}$	— 277,3	I fast ruhig	— 16,0	— 302,5				
Tsch. Ryn. Belv.	+ 132,5	I fast ruhig	— 3,0	+ 130,0				
“ “ Gesimse	— 322,1	I fast ruhig	— 2,9	— 324,5				
“ “ Erdboden	— 431,6	I fast ruhig	— 2,9	— 434,0				

Höhenbestimmungen in  $p^{124}$  1837 27. Octob.I. Satz 2<sup>h</sup> 50,5

$P^{123}$	+ 321,4   I etw. unr.   — 11,0   + 302,9
-----------	--

Object	Unverb. Höhe, in Z.	Zust. d. Bilder	Refr.	Verb. Höhe in Zollen	Object	$\log D \sin 1''$	C	Mittl. Höhe in Zollen	
II. Satz 3 <sup>h</sup> 26',5									
$P^{123}$	+ 315,5	I unruhig	- 0,7	+ 314,2	$P^{123}$	0,22631	285,0	+ 304,4	
Wasserzeiger, Meer	- 281,4			- 281,4	Tsch. Ryn. Belv.	0,01191	173,8	+ 435,0	
III Satz 4 <sup>h</sup> 2',5									
$P^{123}$	+ 351,4	II ruhig	- 28,6	+ 303,3	Wasserzeiger, Meer	8,5175	5,6	- 281,8	
Tsch. Ryn. Belv.	+ 454,3	II ruhig	- 18,8	+ 435,0	hieraus folgt $P^{124}$ über $P^{123} = - 305,5$			$P^{124}$ über dem Meere = - 714,2	
Wasserzeiger, Meer	- 282,2			- 282,2	(durch die P-Puncte)				

### End resultate.

Da der beobachtete Stand des Spiegels des Caspischen Meeres am Wasserzeiger während der Zenithdistanz-Messungen in  $p^{124}$  am 27. Octob. = 3 F. 11,8 Z. fast genau dem Mittel aller Beobachtungen am Wasserzeiger bei verschiedenen Winden entspricht (vergl. p. 96) so setze ich:  $P^{124}$  über dem mittleren Niveau des Caspischen Meeres = + 281,8 Zoll.

wir hatten:  $P^{124}$  über dem Asowschen Meere (durch Beob. der Basispunkte  $\beta$ ) = - 725,6 Zoll  
 " " " " " (durch Beob. der Signalpunkte  $P$ ) = - 714,2 "

folglich: **mittleres Niveau des Caspischen Meeres über dem des Asowschen:**

- 1) durch die Reihe  $\beta$  = - 1007,4 Engl. Zoll = - 83,95 Engl. Fuss
- 2) durch die Reihe  $P$  = - 996,0 " " = - 83,00 " "

Wir wollen jetzt die Sicherheit der Höhenbestimmungen und den wahrscheinlichen Fehler der beiden von mir gegebenen Endwerthe der Depression des Caspischen Meeres zu ermitteln suchen.

Da die von uns bestimmten geodätischen Entfernung für den Zweck des Nivellements so genau sind, dass die Unsicherheit derselben auf die Höhenunterschiede als verschwindend angesehen werden kann (der grösste vorkommende Höhenunterschied beträgt nur etwa ein Drittheil einer auf den Bruch des Zolls genau bestimmten Basislänge), so hängt die Genauigkeit einer Bestimmung des Höhenunterschiedes zweier Signale nur von der Genauigkeit der Zenithdistanz (in Bezug auf Theilungs-, Einstellungs- und Ablesefehler), und von der Genauigkeit mit welcher die Refraction angebracht wird, ab. Ich habe schon erwähnt dass ich den wahrscheinlichen Fehler einer Refraction mit Einschluss des wahrscheinlichen Fehlers der Zenithdistanz bestimmt habe; es ist auch nicht ganz leicht beide von einander zu trennen. Zwar haben mir die Polhöhenbestimmungen am grossen Universalinstrumente den wahrscheinlichen Fehler einer Zenithdistanz des 10-zölligen Verticalkreises, beruhend auf 4 Einstellungen (2 bei Kreis Rechts und 2 bei Kr. Links) = 1,07 gegeben. Dieser gilt aber für Nachtbeobachtungen von Sternen. Für Tagesbeobachtungen irdischer Gegenstände ist der Fehler der Einstellung mit dem feinen Faden bei vollkommen ruhigen Bildern, sowie auch der Fehler der Ablesung der bessern Beleuchtung wegen, bestimmt noch kleiner, lässt sich aber nicht wohl direkt ermitteln, weil auch bei noch so kleinen Entfernungen immer die Refraction mit ins Spiel kommt. Nehmen wir ihn, da der wahrscheinliche Fehler eines Winkels an dem ebenso getheilten 13-zölligen Horizontalkreise, gleichfalls auf 4 Einstellungen beruhend 0,93 beträgt, zu einer runden Secunde an, so wäre hiernach der wahrsch. Fehler einer Refraction bei sehr ruhigen Bildern für die Entfernung der  $\beta = \sqrt{(2,06)^2 - 1} = 1,80$ ; für die Entfernung der  $P = \sqrt{(2,45)^2 - 1} = 2,22$ .

Für unsere Untersuchung brauchen wir indessen den wahrsch. Fehler der Zenithdistanz gar nicht von dem der Refraction zu trennen, sondern können uns geradezu an die unter den Refractionsbestimmungen gegebenen wahrscheinlichen Fehler halten, welche für die der Ruhe der Bilder zunächst gelegenen Zustände aus einer grossen Anzahl von Zenithdistanzen abgeleitet, gewiss sehr nahezu richtig sein werden. —

Es würde zu mühsam sein, und wenig Nutzen bringen den wahrscheinlichen Fehler der Höhenbestimmungen an jeder einzelnen Station zu suchen. Wir können hier vielmehr, bei der grossen Anzahl derselben mit hinreichender Sicherheit den wahrscheinlichen Fehler einer gewissen mittleren Station bestimmen, und hieraus den Fehler des Endresultats ableiten. — Es sind 123 Stationen vorhanden, also ebensoviel Höhenbestimmungen zwischen den  $P$ , und 246 Höhenbestimmungen der  $\beta$ . Den mittleren Werth einer Entfernung  $P^n P^{n+1}$  finde ich durch  $\frac{\Sigma D}{123} = 285885$  Engl. Zoll; also  $P^n \beta^n = 142943$  im Mittel;  $\log D \sin 1''$  für  $P^n P^{n+1} = 0,14178$ , für  $P^n \beta^n = 9,84075$ .

Betrachten wir jetzt die Reihe der  $\beta$ , so finden sich überhaupt 661 Sätze der Höhenbestimmungen; es kommt also auf jede der 246 Höhen im Durchschnitte  $2\frac{2}{3}$  Satz. Von diesen 661 Sätzen sind sehr ruhig und I und II ruhig 245; fast ruhig 194; etwas unruhig 110; u. s. w. Folglich können wir annehmen dass von den  $2\frac{2}{3}$  Sätzen einer Höhenbestimmung der eine im Durchschnitt fast ganz genau sehr ruhig oder ruhig war; der zweite fast ruhig oder etwas unruhig im Verhältniss von 194:52. Den Rest von  $\frac{2}{3}$  Satz, welcher aus den übrigen etwas unruhigen, den unruhigen und sehr unruhigen Bestimmungen besteht, können wir vernachlässigen, da durch das geringe Gewicht derselben die Genauigkeit der Höhenbestimmung nicht wesentlich erhöht wird. Den wahrscheinlichen Fehler der Zenithdistanz (mit Einschluss der Refraction) des ruhigen Satzes finde ich im Mittel aus den drei unter den Refractionen gegebenen Angaben mit Rücksicht auf ihre Anzahl = 2 $''$ 16; den wahrsch. Fehler des zweiten Satzes, der aus fast ruhig und etwas unruhig besteht = 3 $''$ 25. Ersterem entspricht für die mittlere Entfernung ein Fehler in der Höhe von 1,50 Zoll; letzterem ein Fehler von 2,25 Zoll. Folglich ist für das Mittel einer Höhenbestimmung der  $\beta$  aus zwei Sätzen der wahrscheinliche Fehler =  $\frac{1,50 \times 2,25}{\sqrt{(1,50)^2 (2,25)^2}} = 1,250$  Zoll, und da wir 246 solcher Höhenbestimmungen haben, so folgt hieraus der wahrscheinliche Fehler des Endresultats aus der Combinirung derselben :

$$1,25 \text{ Z.} \times \sqrt{246} = 19,60 \text{ Zoll} = 1,63 \text{ Fuss.}$$

Betrachten wir jetzt ebenso die andre Reihe der Höhenbestimmungen der  $P$  so haben wir deren überhaupt 422 Sätze; es kommt also auf jede einzelne Bestimmung im Durchschnitt  $3\frac{2}{5}$  Satz. Von den 422 Sätzen sind sehr ruhig oder ruhig: 191; fast ruhig 143; etwas unruhig 56 etc. Es ist also im Durchschnitt immer wenigstens ein Satz ruhig, ein zweiter fast ruhig; der dritte ruhig, fast ruhig und etwas unruhig im Verhältniss der Zahlen 67:19:38 gewesen. Den Rest von  $\frac{2}{5}$  Satz, welcher etwas unruhig, unruhig und sehr unruhig war, können wir wieder vernachlässigen. Für die 3 vollständigen Sätze finde ich aus den früheren Datis mit Berücksichtigung ihrer Anzahl die wahrscheinlichen Fehler nach der Ordnung: 2 $''$ 44; 3 $''$ 63; 3 $''$ 17. Diesen entsprechen für die Entfernung  $P^n P^{n+1}$  die Fehler in Zollen: 3,38; 5,03; 4,39; folglich ist der wahrscheinliche Fehler des Mittels einer Höhenbestimmung der  $P$  aus 3 Sätzen

$$= \frac{3,38 \times 5,03 \times 4,39}{\sqrt{[(3,38)^2 (5,03)^2 + (5,03)^2 (4,39)^2 + (3,38)^2 (4,39)^2]}} = 2,365 \text{ Zoll.}$$

Für das Endresultat aus 123 Stationen folgt hieraus der wahrscheinliche Fehler

$$= 2,365 \times \sqrt{123} = 26,23 \text{ Zoll} = 2,19 \text{ Fuss.}$$

Jetzt kann ich den definitiven Werth der Depression des Caspischen Meeres aus dem Complexe aller meiner Beobachtungen festsetzen.

Die Reihe der Basisbeobachtungen  $\beta$  ergab dieselbe:  $= 83,95$  Fuss; wahrsch. Fehler  $1,63$  Fuss

Die Reihe der Signalbeobachtungen  $P = 83,00$  " " "  $2,19$  "

Das Mittel aus beiden Reihen ist  $= 83,61$  " mit dem w. "  $1,31$  "

Die Kleinheit des wahrscheinlichen Fehlers einer durch 860 Werst fortgeführten Nivellirung ist wahrhaft überraschend, und übertraf in der That meine Erwartung. Ich glaube diesen glücklichen Umstand allein der Art zuschreiben zu müssen, mit der ich die Refraction angebracht habe, für welche, frei von den gewöhnlichen Annahmen, die Ausdrücke gesucht wurden, die wirklich die Beobachtungen am besten darstellen. Wollte man wie dies bisher zu geschehen pflegte, alle Refractionen nur von den Entfernung abhängig machen, und sie z. B. für die Zenithdistanzen einer Station mit gewissen mittleren Coefficienten berechnen, wie diese entweder aus dem Mittel aller Bestimmungen, oder aus den Beobachtungen der entferntesten Signale daselbst folgen, so würde man wahrscheinliche Fehler erhalten, welche die obigen *um mehr als das Doppelte* übertreffen, wovon ich mich durch frühere Rechnungen überzeugt habe. Ebenso wenig denkbar ist aber nun auch der Einfluss eines *constanten* Fehlers auf das erhaltene Endresultat. Jede Fehlerquelle der Zenithdistanzen die das Instrument angab, welcher Art sie auch sein möge, z. B. eine Biegung des Fernrohrs, vernichtet sich aufs Endresultat vollkommen, weil ebensoviele Zenithdistanzen nach vorwärts gelegenen Objecten als nach rückwärts gelegenen beobachtet sind.

Befremdend erscheint dagegen auf den ersten Anblick die Abweichung des Endresultats das die Reihen der gegenseitigen Zenithdistanzen gegeben haben (vergl. pag. 248) von  $6,7$  Fuss. Diese Abweichung findet aber in der eben erwähnten Fehlerquelle ihre Erklärung. Das Resultat der gegenseitigen Messungen beruht auf den Zenithdistanzen dreier Instrumente. Ein constanter Fehler derselben bei dem in der Mitte gebrauchten grossen Universalinstrumente eliminiert sich zwar auch, nicht so aber bei den beiden Theodoliten die an den Endpunkten sich befanden. Ein constanter Fehler der Zenithdistanzen die diese angaben, muss einen sich anhäufenden Fehler im Endresultate erzeugen, und die Annahme von nur  $0,5$  um welche der vordere Theodolit die Zenithdistanzen zu gross, der hintere zu klein gab, reicht schon hin jene Abweichung zu erklären. — Man hätte diese Fehleranhäufung einigermassen vermeiden können, wenn man die beiden Theodoliten an den Endpunkten regelmässig gewechselt hätte. So unthunlich dies in der Praxis war, so fragt es sich auch noch ob die Fehler der Instrumente und die etwanige individuelle Differenz zweier Beobachter zu allen Zeiten gleich gewesen wären. Die directe Bestimmung dieser Fehler auf den Bruch der Secunde, worauf es hier ankommt, ist aber bei einem Instrumente von nur 4 Zoll Radius, dessen Verniere nur  $10''$  angeben, ganz unausführbar. Aus diesen Gründen scheint es nicht ratsam die Depression des Caspischen Meeres, welche aus den gegenseitigen Zenithdistanzen folgt bei dem definitiven Endresultate aus allen unseren Bestimmungen zu berücksichtigen; so schätzbar auch die einzelnen Höhenbestimmungen aus gegenseitigen Zenithdistanzen sind, wegen der genäherten Kenntniss der Refraction die sie geben. —

### III. Höhenbestimmungen aus den Zenithdistanzen von Sawitsch.

Ueber die Berechnung derselben spricht H. Sawitsch sich folgendermassen aus:

Meine Beobachtungen der terrestrischen Zenithdistanzen, (pag. 97—136) in Verbindung mit denen der H. Sabler und Fuss bilden ein System von gleichzeitigen und reciproken Messungen, welche sowohl die Refractionen als auch die zu ermittelnden Niveau-Unterschiede ergeben (p. 222); aber außerdem bilden dieselben, da mein Beobachtungsort sich immer im Durchschnitt nahe in der Mitte zwischen zwei Signalen befand, gleichfalls ein vollständiges Nivellement, und liefern ein unabhängiges Resultat für den Höhenunterschied des Asow-schen und Caspischen Meeres.

Die Art der Berechnung dieser Beobachtungen ist bekannt und schon p. 222 und p. 269 erwähnt. Die grösste Schwierigkeit besteht hier in der Anbringung der Refraction, d. h. in der Annahme solcher Refractions-Coefficienten, welche sich im Mittel den wirklich Statt findenden am meisten nähern. Es wäre die genaue Kenntniss der Refractions-Coefficienten beinahe nicht nöthig gewesen, wenn man genau in der Mitte der Entfernung zwischen zwei Signalen beobachtet hätte, und die Refractions-Coefficienten in demselben Momente nach allen Seiten als gleich vorausgesetzt werden könnten. Obgleich nun diese Annahme sich in vielen Fällen als richtig erwies, so fand doch nicht selten auch das Gegentheil Statt, und die verschiedene Beschaffenheit der Bilder verschiedener Signale zeigte schon deutlich dem Beobachter, dass die Refractions-Coefficienten nach verschiedenen Seiten nicht gleich sein konnten, besonders bei der Messung in einem flachen Lande, wo sie wegen der geringen Entfernung der Gesichtslinie von der Oberfläche der Erde ausserordentlichen Veränderungen unterworfen sind. —

Aus meinen mit H. Sabler gleichzeitigen reciproken Beobachtungen zog ich zunächst alle sich ergebenden Refractions-Coefficienten aus. Nach mehreren vergeblichen Versuchen, dieselben nach der Zeit, und je nachdem Sonnenschein oder bedeckter Himmel Statt gefunden, zu ordnen — wobei sich zu grosse Unregelmässigkeiten im Gange ergaben, — sah ich mich genötigt nach dem Vorgange H. Sablers: die grössere oder geringere Ruhe der Bilder allein als Argumente der Refraction zu betrachten. Es ist freilich gewiss, dass Argumente solcher Art viel weniger bestimmt sind, als diejenigen, welche aus der Beobachtung von Grössenverhältnissen folgen; indessen blieb hier keine andre Wahl übrig. Ich summirte also für die verschiedenen Zustände der Bilder die einzelnen Refractionen in Secunden,  $\varrho$  und erhielt dadurch  $\frac{\Sigma \varrho}{\Sigma C}$  d. h. Summe der Refractionen dividirt durch: Summe der entsprechenden Winkel der Verticalen folgende mittlere Refractions-Coefficienten für die entsprechenden Zustände der Bilder:

Zustand der Bilder	Refr. Coeff.	Wahrsch. Fehler
I heftige Unruhe	— 0,13	± 0,11
I Unruhe	— 0,03	± 0,05
I schwache Unruhe	+ 0,013	± 0,037
Ruhe der Bilder	+ 0,0875	± 0,0255
II schwache Unruhe	+ 0,153	± 0,044
II Unruhe	+ 0,20	± 0,07
II heftige Unruhe	+ 0,48	± 0,16

Man sieht hieraus wie bedeutend die Veränderung der Strahlenbrechung bei verschiedenen Graden der Ruhe der Bilder ist. Je unruhiger außerdem die Bilder sind, desto unsicherer wird auch die Refraction, und

wir sehen aus unserer Tabelle dass bei der Unruhe der Bilder die wahrscheinliche Abweichung der Refr Coeff. von ihrem Normalwerthe ausserordentlich gross ist, sogar nicht kleiner als die ganze Refraction selbst. In diesem Falle waren auch die Bilder unregelmässig, schlecht und verworren, so dass die Beobachtung mehr auf eine Art von Taxation als auf sichere Einstellungen sich gründete. Darum habe ich es für rathsamer gehalten, bei der Berechnung der Höhenunterschiede die Resultate nur auf die Reihen der Bestimmungen zu gründen, bei welchen die Bilder entweder ganz ruhig oder nur wenig unruhig waren. Das Verhältniss der Genauigkeit der Bestimmungen bei diesen beiden Zuständen der Bilder habe ich wie  $1:1,54$  gefunden, oder die Gewichte derselben verhalten sich ungefähr wie  $10:4$ . Diese Verhältnisse folgen aus den mittleren Abweichungen der jedesmal beobachteten Refractions-Coefficienten von ihrem Normalwerthe. Auf diese Weise dienen die während der Unruhe der Bilder gemachten Beobachtungen nur zur allgemeinen Uebersicht des Ganges der Strahlenbrechung in verschiedenen Tagesstunden, und zur groben Controle in Graden und Minuten der bei besseren Umständen gemessenen Zenithdistanzen. Unsere berühmtesten Beobachter, wie Struve, Bessel und Gauss, haben bei ihren geodätischen Messungen auch als Grundsatz angenommen: nur dann zu beobachten, wenn die Umstände eine gute Messung hoffen liessen, und den Vorzug einer grösseren Anzahl gemischter, an Sicherheit ungleicher Beobachtungen lieber aufzugeben, als die numerische Schätzung der gegenseitigen Genauigkeit versuchen zu wollen. Wenn ein solches Verfahren bei der Messung der horizontalen Winkel nöthig war, auf welche die Refraction fast ohne Wirkung ist, und bei welchen die Unruhe der Bilder nur auf die Vergrosserung zufälliger Fehler Einfluss hat, so wird es bei der Messung der Vertical-Winkel, deren Grösse sich immerfort verändert, und bei verschiedenen Graden der Unruhe der Bilder sehr verschieden ist, noch nothwendiger sein, an jenem Grundsatze festzuhalten. Es ist demnach am sichersten, ausschliesslich nur solche Messungen für stimmfähig anzunehmen, welche unter den besten und zuverlässigsten Umständen angestellt worden sind. Diese Gründe rechtfertigen es, dass ich bei der Berechnung der Hauptresultate die Beobachtungen, die während der Unruhe der Bilder gemacht wurden, eigentlich ausser Acht gelassen habe; und hätte man auch auf sie Rücksicht genommen, so wären sie doch mit so geringem Gewichte in Rechnung gekommen, dass sie keinen merklichen Einfluss auf die Resultate ausgeübt hätten.

Die nachfolgende Tafel enthält die Resultate meiner Berechnung der Höhenunterschiede. Die erste Column derselben giebt das Datum und die mittleren Sonnenzeiten der Beobachtung; die zweite enthält die Logarithmen der Distanz des jedesmaligen Standpunctes  $\beta^n$  ( $\alpha^n$ ) von dem rückwärts gelegenen Signal  $P^n$  in englischen Zollen ausgedrückt, und mit dem Sinus  $1''$  multiplizirt; außerdem darunter den entsprechenden Winkel der Verticalen  $C$  zwischen  $P^n$  und  $\beta^n$ ; die dritte Column giebt die Höhe von  $P^n$  über  $\beta^n$  in englischen Zollen, aus den Zenithdistanzen des Tagebuches auf bekannte Weise aber ohne Rücksicht auf die Refraction berechnet und dann auf die Marke  $\beta^n$  reducirt (vergl. p. 269); die vierte: den beobachteten Zustand der Bilder: die fünfte: den angenommenen diesem Zustande entsprechenden Refractions-Coefficienten; die sechste endlich: die durch die Refraction verbesserten Höhen von  $P^n$  über  $\beta^n$ . Die 7te, 8te, 9te, 10te, 11te Column enthalten nach der Ordnung respective dieselben Gegenstände wie 2, 3, 4, 5, 6 für das vorwärts gelegene Signal  $P^{n+1}$ ; in der 12ten Column ist die wahrscheinlichste relative Erhebung von  $P^{n+1}$  über  $P^n$ , aus den ruhigen und fast ruhigen Sätzen mit gehörigem Gewichte berechnet, angegeben; und endlich in der 13ten Column: die Höhe von  $P^{n+1}$  über dem mittleren Niveau des Asowschen Meeres in engl. Zollen. —

Datum und Zeit	$\log D \sin 1''$	Unverh. Höhe über $\beta^n$ in Zollen	Zustand der Bilder	Angen. Refr.Coeff.	Durch die Refr. verb. Höhe	$\log D \sin 1''$ und $C$	Unverh. Höhe über $\beta^n$ in Zollen	Zustand der Bilder	Angen. Refr.Coeff.	Durch die Refr. verb. Höhe	Wahrsch. relative Höhe über dem Asowschen Meere
1836											$P^1 = 146,0$
Nov. 2.											
22 <sup>h</sup> 9'	9,14169	+ 34,2	zieml. ruh.	+ 0,08	+ 34,0	9,21706	+ 2017,4	ruhig	+ 0,08	+ 2017,1	Höhe über dem Asowschen Meere
23 3	$C = 23,4$	+ 34,3	etw. unruh.	+ 0,08	+ 34,1	$C = 27,8$	+ 2017,3	zieml. ruh.	+ 0,08	+ 2017,0	$+ 2129,0 + 1983,0 + 2129,0$
Nov. 3											
3 6											
39											
4 12											
Nov. 5											
1 37	9,36921	- 158,6	ruhig	+ 0,08	- 159,4	9,36506	+ 361,9	ruhig	+ 0,08	+ 361,2	$+ 1167,6$
2 39	$C = 39,5$	- 157,6	ruhig	+ 0,08	- 158,4	$C = 39,1$	+ 361,4	ruhig	+ 0,08	+ 360,6	$+ 1168,5 + 1314,2 + 1169,3$
Nov. 8											
3 42	9,97972	+ 1754,7	fast ruhig	+ 0,08	+ 1742,4	0,04719	+ 1184,2	fast ruhig	+ 0,08	+ 1167,5	$- 574,9 + 1258,7$
$C = 161,0$						$C = 188,8$					
Nov. 10											
3 5	9,85436	+ 267,1	ruhig	+ 0,088	+ 259,6	9,83448	+ 686,9	ruhig	+ 0,088	+ 680,1	
$C = 121,0$		+ 270,0	ruhig	+ 0,088	+ 262,4	$C = 115,6$	+ 692,5	ruhig	+ 0,088	+ 685,7	$+ 421,0 + 1679,7$
4 33		+ 277,6	fast ruhig	+ 0,150	+ 266,3		+ 697,4	fast ruhig	+ 0,150	+ 685,4	
Nov. 13											
2 52	9,73057	+ 903,2	fast ruhig	+ 0,150	+ 895,7	9,78453	+ 77,6	fast ruhig	+ 0,150	+ 68,5	$- 827,3 + 852,4$
$C = 90,9$						$C = 102,9$					
Nov. 15											
3 21	9,87665	+ 353,6	ruhig	+ 0,088	+ 345,0	9,83759	+ 1161,6	ruhig	+ 0,088	+ 1154,3	$+ 810,0 + 1662,4$
$C = 127,3$		+ 356,6	fast ruhig	+ 0,150	+ 342,2	$C = 116,4$	+ 1165,4	fast ruhig	+ 0,150	+ 1153,2	
Nov. 19											
2 30	9,95049	+ 470,7	ruhig	+ 0,088	+ 457,1	0,01803	- 280,3	ruhig	+ 0,088	- 297,1	$+ 910,3$
$C = 451,0$		+ 472,7	zieml. ruhig	+ 0,150	+ 453,7	$C = 176,4$	- 270,4	zieml. ruhig	+ 0,150	- 295,7	$- 752,1$





Datum und Zeit	$\log D \sin 1''$ und $C$	Unverh. Höhe über $\beta^n$ in Zollen	Zustand der Bilder	Angen. Refr. Coeff.	Durch die Refr. verb. Höhe	$\log D \sin 1''$ und $C$	Unverh. Höhe über $\beta^n$ in Zollen	Zustand der Bilder	Angen. Refr. Coeff.	Durch die Refr. verb. Höhe	$P^n + 1 - p^n$	Höhe über dem Asowschen Meere
1837	Apr. 17 3 h 48'	9,74093   + 43,8	sehr unr.	- 0,13   + 50,5	9,83135   + 196,7	sehr unr.	- 0,13   + 206,8	9,83135   + 196,7	- 0,13   + 206,8	sehr unr.	+ 206,8	Höhe über dem Asowschen Meere
	4 38	$C = 93,3$   + 70,0	unruhig	- 0,03   + 71,5	$C = 115,0$   + 217,0	unruhig	- 0,03   + 219,3	$C = 115,0$   + 217,0	- 0,03   + 219,3	zieml. ruh.	+ 228,2	+ 4194,2
	5 48	+ 91,3   zieml. ruh.	+ 0,15   + 83,5	+ 0,47   + 87,0	+ 240,1   + 279,4	zieml. ruh.	+ 0,15   + 242,0	+ 240,1   + 279,4	+ 0,15   + 242,0	sehr unr.	+ 0,47	+ 242,0
	6 6	+ 111,7   sehr unr.	+ 0,47   + 87,0	+ 279,4   sehr unr.	+ 279,4   sehr unr.	+ 279,4   sehr unr.	+ 279,4   sehr unr.	+ 279,4   sehr unr.	+ 279,4   sehr unr.	+ 279,4   sehr unr.	+ 279,4   sehr unr.	
1837	Apr. 18 4 50,5	9,41370   + 82,6	ruhig	+ 0,088   + 81,6	9,48362   + 115,9	ruhig	+ 0,088   + 114,5	9,48362   + 115,9	+ 0,088   + 114,5	zieml. ruh.	+ 116,8	+ 4228,0
	5 43	$C = 43,9$   + 83,2	zieml. ruh.	+ 0,150   + 81,5	$C = 51,6$   + 119,1	zieml. ruh.	+ 0,150   + 116,8	$C = 51,6$   + 119,1	+ 0,150   + 116,8	zieml. ruh.	+ 33,8	+ 4228,0
1837	Apr. 19 4 50,5	9,41370   + 82,6	ruhig	+ 0,088   + 81,6	9,48362   + 115,9	ruhig	+ 0,088   + 114,5	9,48362   + 115,9	+ 0,088   + 114,5	zieml. ruh.	+ 116,8	+ 4228,0
	5 43	$C = 43,9$   + 83,2	zieml. ruh.	+ 0,150   + 81,5	$C = 51,6$   + 119,1	zieml. ruh.	+ 0,150   + 116,8	$C = 51,6$   + 119,1	+ 0,150   + 116,8	zieml. ruh.	+ 33,8	+ 4228,0
1837	Apr. 20 3 48	9,93979   - 81,6	zieml. ruh.	+ 0,01   - 83,2	9,85000   + 310,1	zieml. ruh.	+ 0,01   + 309,0	9,85000   + 310,1	+ 0,01   + 309,0	zieml. ruh.	+ 309,0	Höhe über dem Asowschen Meere
	4 38	$C = 147,7$   - 81,5	fast ruhig	+ 0,01   - 83,2	$C = 119,9$   + 310,8	fast ruhig	+ 0,01   + 309,7	$C = 119,9$   + 310,8	+ 0,01   + 309,7	zieml. ruh.	+ 308,8	+ 4622,6
	5 28	- 70,0   zieml. ruh.	+ 0,15   - 89,3	+ 0,15   - 89,3	+ 321,5   + 323,9	zieml. ruh.	+ 0,15   + 312,9	+ 321,5   + 323,9	+ 0,15   + 312,9	zieml. ruh.	+ 308,8	+ 394,6
	6 9	- 65,7   unruhig	+ 0,20   - 91,4	+ 0,20   - 91,4	+ 323,9   + 323,9	unruhig	+ 0,20   + 312,9	+ 323,9   + 323,9	+ 0,20   + 312,9	unruhig	+ 312,9	+ 312,9
1837	Apr. 21 4 38	9,85347   + 374,4	unruhig	- 0,03   + 374,4	9,72268   + 45,8	sehr unr.	- 0,13   + 51,9	9,72268   + 45,8	- 0,13   + 51,9	zieml. ruh.	+ 61,6	+ 4314,0
	5 28	$C = 121,1$   + 370,2	ruhig	+ 0,088   + 370,2	$C = 89,2$   + 62,2	zieml. ruh.	+ 0,01   + 68,8	$C = 89,2$   + 62,2	+ 0,01   + 68,8	zieml. ruh.	+ 68,8	+ 4314,0
1837	Apr. 22 3 48	9,85347   + 374,4	unruhig	- 0,03   + 374,4	9,72268   + 45,8	sehr unr.	- 0,13   + 51,9	9,72268   + 45,8	- 0,13   + 51,9	zieml. ruh.	+ 61,6	+ 4314,0
	4 38	$C = 121,1$   + 371,4	etw. unr.	+ 0,15   + 371,4	$C = 371,4$   + 371,4	etw. unr.	+ 0,47   + 68,8	$C = 371,4$   + 371,4	+ 0,47   + 68,8	etw. unr.	+ 68,8	+ 4314,0
1837	Apr. 23 3 48	9,78131   + 393,7	unruhig	- 0,03   + 395,6	9,40380   - 103,4	sehr unr.	- 0,03   - 103,4	9,40380   - 103,4	- 0,03   - 103,4	zieml. ruh.	+ 60,7	+ 264,8
	4 38	$C = 102,3$   + 398,8	ruhig	+ 0,088   + 393,4	$C = 43,0$   - 97,0	ruhig	+ 0,088   - 98,0	$C = 43,0$   - 97,0	+ 0,088   - 98,0	zieml. ruh.	+ 666,0	+ 265,9
	5 28	+ 403,7   zieml. ruh.	+ 0,15   + 394,2	+ 0,15   + 394,2	- 90,3   - 90,3	zieml. ruh.	+ 0,15   - 92,2	- 90,3   - 92,2	+ 0,15   - 92,2	zieml. ruh.	+ 666,0	+ 3124,9
	6 8	+ 407,7   unr. u. s. u.	+ 0,33   + 386,8	+ 0,33   + 386,8	- 85,0   - 85,0	unruhig	+ 0,47   - 90,2	- 85,0   - 90,2	+ 0,47   - 90,2	unruhig	+ 666,0	+ 3124,9
1837	Apr. 24 3 48	9,71643   + 658,7	unruhig	- 0,03   + 660,1	0,04487   - 262,4	zieml. ruh.	+ 0,01   - 264,8	0,04487   - 262,4	+ 0,01   - 264,8	zieml. ruh.	+ 60,7	+ 2898,3
	4 38	$C = 88,3$   + 661,3	zieml. ruh.	+ 0,01   + 660,7	$C = 186,6$   - 255,6	zieml. ruh.	+ 0,05   - 265,9	$C = 186,6$   - 255,6	+ 0,05   - 265,9	zieml. ruh.	+ 666,0	+ 2898,3
1837	Apr. 25 5 30	+ 675,2   unruhig	+ 0,20   + 666,0	+ 0,20   + 666,0	- 248,7   - 248,7	unruhig	+ 0,12   - 273,4	- 248,7   - 273,4	+ 0,12   - 273,4	unruhig	+ 666,0	+ 2898,3

Datum und Zeit	$\log D \sin A''$ und $C$	Unverh. Höhe über $\beta^n$ in Zollen	Zustand der Bilder	Angen. Refr. Coeff.	Durch die Refr. verb. Höhe	$\log D \sin A''$ und $C$	Unverh. Höhe über $\beta^n$ in Zollen	Zustand der Bilder	Angen. Refr. Coeff.	Durch die Refr. verb. Höhe	Wahrsch. relative Höhe $p_{n+1} - p^n$	Höhe über dem Asowschen Meere
Apr. 27												
3 47'	9,92560	+ 146,3	etw. unr.	+ 0,01	+ 144,7	9,93765	+ 665,5	etw. unr.	+ 0,01	+ 664,9		
5 28	$C = 144,8$	+ 132,3	sehr unr.	- 0,13	+ 147,9	$C = 146,8$	+ 657,9	unruhig	- 0,03	+ 661,7	+ 519,9	+ 3418,4
6 10		+ 147,9	sehr ruh.	+ 0,088	+ 137,4		+ 668,0	sehr ruhig	+ 0,088	+ 656,9		
6 37		+ 148,0	ruhig	+ 0,088	+ 137,6		+ 668,9	ruhig	+ 0,088	+ 657,8		
Apr. 29												
3 51	9,77700	+ 78,6	ruhig	+ 0,088	+ 73,3	9,78683	+ 503,5	ruhig	+ 0,088	+ 498,0		
4 40	$C = 101,5$	+ 79,6	sehr ruhig	+ 0,088	+ 74,3	$C = 103,6$	+ 504,2	sehr ruhig	+ 0,088	+ 498,7	+ 424,8	+ 3843,2
5 29		+ 82,6	fast ruhig	+ 0,150	+ 73,3		+ 508,4	fast ruhig	+ 0,150	+ 498,7		
Mai 2												
3 43,5	9,71018	- 454,2	ruhig	+ 0,088	- 458,1	9,72634	+ 681,5	ruhig	+ 0,088	+ 677,3	+ 1134,8	+ 4978,0
4 44,0	$C = 87,0$	- 449,5	zieml. ruh.	+ 0,150	- 456,3	$C = 90,2$	+ 685,7	zieml. ruh.	+ 0,150	+ 677,4		
Mai 5												
4 48,5	9,82004	+ 1096,5	sehr unruh.	- 0,13	+ 1106,1	9,79848	- 355,1	unruhig	- 0,030	- 353,1		
5 28,0	$C = 112,0$	+ 1126,0	ruhig	+ 0,088	+ 1119,5	$C = 106,6$	- 347,4	ruhig	+ 0,088	- 353,3	- 1472,8	+ 3505,2
6 12,0		+ 1146,2	unruhig	+ 0,20	+ 1132,4		- 337,8	fast ruhig	+ 0,150	- 348,1		
Mai 6												
4 37,5	9,96549	+ 660,5	zieml. ruh.	+ 0,01	+ 658,6	9,91825	+ 113,2	zieml. ruh.	+ 0,01	+ 114,7		
5 27	$C = 156,2$	+ 659,8	ruhig	+ 0,088	+ 647,2	$C = 140,2$	+ 109,7	ruhig	+ 0,088	+ 99,5	- 547,4	+ 2957,8
5 56		+ 678,8	unruhig	+ 0,20	+ 649,9		+ 117,6	zieml. ruh.	+ 0,15	+ 99,8		
Mai 8												
3 20	9,86472	+ 1061,7	etw. unr.	+ 0,01	+ 1060,5	9,79180	+ 703,1	etw. unr.	+ 0,01	+ 702,3		
3 48	$C = 123,9$	+ 1064,5	ruhig	+ 0,088	+ 1056,6	$C = 104,8$	+ 706,5	ruhig	+ 0,088	+ 700,8		
4 39		+ 1062,5	ruhig	+ 0,088	+ 1054,6		+ 706,0	ruhig	+ 0,088	+ 700,3	- 354,6	+ 2603,2
5 28		+ 1062,5	fast ruhig	+ 0,150	+ 1048,6		+ 706,1	ruhig	+ 0,088	+ 700,4		





Datum und Zeit	$\log D \sin 4''$ und $C$	Unverb. Höhe über $\beta''$ in Zollen	Zustand der Bilder	Angen. Refr. Coeff.	Durch die Refr. verb. Höhe	$\log D \sin 4''$ und $C$	Unverb. Höhe über $\beta''$ in Zollen	Zustand der Bilder	Angen. Refr. Coeff.	Durch die Refr. verb. Höhe	Wahrsch. relative Höhe $P''+1-P'$	Höhe über den Asowschen Meere
<b>1837</b>												
Mai 25												
3/48'	9,59439	- 308,9	fast ruhig	+ 0,01	- 309,2	9,77104	+ 3254,7	fast ruhig	+ 0,01	+ 3253,3		
4 38	$C = 66,6$	- 305,5	ruhig	+ 0,088	- 307,8	$C = 100,0$	+ 3257,2	ruhig	+ 0,088	+ 3252,1	+ 3560,1	+ 13579,9
5 28		- 302,2	unruhig	+ 0,20	- 306,2		+ 3262,4	unruhig	+ 0,20	+ 3253,1		
Mai 30												
3 48	9,76990	- 529,7	unruhig	- 0,03	- 528,0	9,75943	+ 708,9	unruhig	- 0,03	+ 710,6		
4 38	$C = 99,9$	- 532,5	unruhig	- 0,03	- 530,8	$C = 97,4$	+ 703,6	unruhig	- 0,03	+ 705,3		
5 27		- 536,6	ruhig	+ 0,088	- 541,7		+ 706,7	ruhig	+ 0,088	+ 701,8	+ 1243,1	+ 14823,0
6 8		- 534,9	ruhig	+ 0,088	- 540,0		+ 708,5	ruhig	+ 0,088	+ 703,6		
Mai 31												
3 48	9,68639	+ 1034,8	sehr unr.	- 0,13	+ 1040,0	0,05346	+ 1695,4	unruhig	- 0,03	+ 1701,6		
4 38	$C = 82,3$	+ 1035,9	unruhig	- 0,03	+ 1037,1	$C = 191,6$	+ 1700,9	unruhig	- 0,03	+ 1707,4		
5 28		+ 1038,9	fast ruhig	+ 0,01	+ 1038,4		+ 1703,9	fast ruhig	+ 0,01	+ 1701,1	+ 656,2	+ 15479,2
6 12		+ 1042,5	ruhig	+ 0,088	+ 1039,0		+ 1710,2	ruhig	+ 0,088	+ 1690,3		
Juni 1												
3 48	9,99328	- 2041,0	zieml. ruh.	+ 0,01	- 2066,1	9,72473	+ 1274,9	zieml. ruh.	+ 0,01	+ 1267,6		
4 38	$C = 166,9$	- 2025,6	unruhig	+ 0,20	- 2058,5	$C = 89,9$	+ 1281,0	etw. unr.	+ 0,15	+ 1273,7	+ 3333,7	+ 18812,9
5 28		- 2016,2	sehr unr.	+ 0,46	- 2095,1		+ 1281,3	unruhig	+ 0,20	+ 1271,8		
Juni 4												
3 50,5	9,97207	- 1669,7	sehr unr.	- 0,13	- 1650,3	9,68088	+ 1007,6	unruhig	- 0,01	+ 1008,8		
4 38,0	$C = 159,0$	- 1669,1	sehr unr.	- 0,13	- 1649,7	$C = 81,3$	+ 1006,8	unruhig	- 0,01	+ 1008,0		
5 27,0		- 1645,1	ruhig	+ 0,088	- 1658,1		+ 1020,0	sehr ruhig	+ 0,088	+ 1016,6	+ 2674,7	+ 21487,6
6 3		- 1630,9	unruhig	+ 0,20	- 1659,8		+ 1029,1	unruhig	+ 0,20	+ 1021,3		
Juni 6												
4 1	9,63139	+ 2266,3	ruhig	+ 0,088	+ 2263,6	9,81535	+ 3090,5	ruhig	+ 0,088	+ 3083,8		
4 38	$C = 72,5$	+ 2267,2	zieml. ruh.	+ 0,150	+ 2262,5	$C = 110,9$	+ 3088,1	zieml. ruh.	+ 0,150	+ 3076,2	+ 817,7	+ 22305,3
5 28		+ 2266,2	zieml. ruh.	+ 0,150	+ 2261,5		+ 3088,8	zieml. ruh.	+ 0,150	+ 3076,9		



Datum und Zeit	$\log D \sin A''$ und $C$	Unverb. Höhe über $\beta^n$ in Zollen	Zustand der Bilder	Angen. Refr. Coeff.	Durch die Refr. verb. Höhe	$\log D \sin A''$ und $C$	Unverb. Höhe über $\beta^n$ in Zollen	Zustand der Bilder	Angen. Refr. Coeff.	Durch die Refr. verb. Höhe	Wahrsch. relative Höhe $p^{n+1} - p^n$	Höhe über dem Asowschen Meere
1837												
Juni 21												
3 47'	9,95853	+ 4757,8	unruhig	- 0,03	+ 4762,0	9,87534	- 1517,2	sehr unruh.	- 0,13	- 1504,8		
4 38	$C = 153,7$	+ 4760,3	fast ruhig	+ 0,01	+ 4758,5	$C = 126,9$	- 1511,2	etw. unr.	- 0,03	- 1507,6		
5 28		+ 4766,6	sehr ruhig	+ 0,088	+ 4750,3		- 1509,6	zieml. ruhig	+ 0,01	- 1506,8	- 6258,9 + 12130,7	
6 8		+ 4770,6	sehr ruhig	+ 0,088	+ 4754,3		- 1506,4	sehr ruhig	+ 0,088	- 1505,9		
Juni 23												
4 41	9,93824	+ 519,5	sehr unr.	- 0,13	+ 526,1	9,88940	+ 881,4	sehr unr.	- 0,13	+ 894,5		
5 27	$C = 146,8$	+ 523,5	unruhig	- 0,03	+ 528,0	$C = 131,2$	+ 896,9	unruhig	- 0,03	+ 899,9		
6 10		+ 529,6	ruhig	+ 0,088	+ 518,4		+ 912,8	ruhig	+ 0,088	+ 903,9	+ 385,5 + 42516,2	
Juni 24												
4 37,5	9,4806	- 27,4	sehr unr.	- 0,13	- 25,4	9,91860	- 804,8	sehr unr.	- 0,13	- 789,7		
5 27,0	$C = 51,2$	- 24,0	etw. unr.	+ 0,01	- 24,2	$C = 140,4$	- 801,7	etwas unr.	+ 0,01	- 803,2	- 785,3	
6 9		- 15,7	sehr ruhig	+ 0,088	- 17,0		- 797,1	sehr ruhig	+ 0,088	- 807,2	+ 14730,9	
Juni 25												
3 48	9,87980	- 280,7	ruhig	+ 0,088	- 287,4	9,87636	+ 1543,5	etw. unr.	- 0,03	+ 1546,4		
4 38	$C = 128,4$	- 280,8	ruhig	+ 0,088	- 288,6	$C = 127,5$	+ 1548,9	zieml. ruh.	+ 0,01	+ 1547,7	+ 1834,8 + 13565,	
5 28		- 277,7	ruhig	+ 0,088	- 286,1		+ 1549,5	zieml. ruh.	+ 0,01	+ 1548,3		
6 9		- 276,9	ruhig	+ 0,088	- 285,4		+ 1556,9	sehr ruhig	+ 0,088	+ 1548,5		
Juni 27												
3 48	9,80434	- 1295,6	zieml. ruh.	+ 0,01	- 1296,5	0,02104	+ 7175,3	ruhig	+ 0,088	+ 7472,9		
4 38	$C = 107,8$	- 1296,0	zieml. ruh.	+ 0,01	- 1296,9	$C = 177,7$	+ 7170,6	ruhig	+ 0,088	+ 7154,3	+ 8453,5 + 22019,	
5 28		- 1299,6	ruhig	+ 0,088	- 1305,5		+ 7164,3	ruhig	+ 0,088	+ 7148,0		
Juni 28												
3 48	9,81915	+ 1604,8	unruhig	- 0,03	+ 1604,0	9,87701	+ 1336,3	unruhig	- 0,03	+ 1339,2		
4 38	$C = 111,8$	+ 1605,1	unruhig	- 0,03	+ 1607,0	$C = 127,7$	+ 1336,6	unruhig	- 0,03	+ 1339,5	- 276,1	
5 28		+ 1611,0	ruhig	+ 0,088	+ 1604,6		+ 1338,1	ruhig	+ 0,088	+ 1329,7		
6 8		+ 1616,0	etw. unr.	+ 0,45	+ 1601,7		+ 1344,7	etw. unr.	+ 0,45	+ 1327,0		

Datum und Zeit	$\log D \sin 1''$ und $C$	Unverb. Höhe über $\beta^n$ in Zollen	Zustand der Bilder	Augen. Refr. Coeff.	Durch die log $D \sin 1''$ und $C$	Unverb. Höhe über $\beta^n$ in Zollen	Zustand der Bilder	Augen. Refr. Coeff.	Durch die Wahrsch. relative Höhe $p_{n+1} - p^n$	Höhe über dem Asowschen Meere
1837										
Juni 30										
3 49'	9,91130	+ 3582,8	unruhig	- 0,03	+ 3586,2	9,85017	+ 2305,1	unruhig	- 0,03	+ 2307,7
4 37	$C = 138,2$	+ 3585,3	ruhig	+ 0,088	+ 3575,5	$C = 120,1$	+ 2304,0	ruhig	+ 0,088	+ 2296,5
5 28		+ 3585,5	ruhig	+ 0,088	+ 3575,6		+ 2306,2	ruhig	+ 0,088	+ 2298,7
Juli 1										
3 48	9,73144	+ 6484,1	ruhig	+ 0,088	+ 6476,8	9,76480	- 562,8	ruhig	+ 0,088	- 567,8
4 38	$C = 91,3$	+ 6479,7	ruhig	+ 0,088	+ 6475,4	$C = 98,7$	- 563,3	ruhig	+ 0,088	- 568,3
5 28		+ 6480,3	ruhig	+ 0,088	+ 6475,9		- 564,5	ruhig	+ 0,088	- 569,5
Juli 2										
3 48	9,84568	- 2418,5	ruhig	+ 0,088	- 2425,8	9,63294	+ 464,3	ruhig	+ 0,088	+ 464,6
4 38	$C = 118,9$	- 2420,7	ruhig	+ 0,088	- 2428,0	$C = 72,8$	+ 462,8	ruhig	+ 0,088	+ 460,1
5 28		- 2418,5	fast ruhig	+ 0,15	- 2431,2		+ 465,7	fast ruhig	+ 0,150	+ 460,9
Juli 3										
3 48	0,04520	+ 403,6	wen. unr.	+ 0,01	+ 400,9	9,80020	+ 269,2	unruhig	- 0,03	+ 274,2
4 38	$C = 188,2$	+ 408,5	fast ruhig	+ 0,01	+ 405,8	$C = 106,9$	+ 276,1	unruhig	- 0,03	+ 275,2
5 28		+ 408,5	ruhig	+ 0,088	+ 390,3		+ 280,6	ruhig	+ 0,088	+ 274,7
6 7		+ 415,8	ruhig	+ 0,088	+ 397,2		+ 283,8	ruhig	+ 0,088	+ 277,9
Juli 5										
3 48	0,04728	+ 4020,7	sehr unr.	- 0,13	+ 4048,0	0,02836	- 294,8	sehr unr.	- 0,13	- 269,7
4 38	$C = 188,9$	+ 4026,3	unruhig	- 0,03	+ 4032,6	$C = 180,9$	- 292,8	unruhig	- 0,03	- 287,0
5 28		+ 4037,0	ruhig	+ 0,088	+ 4018,6		- 287,7	ruhig	+ 0,088	- 302,0
6 13		+ 4056,0	wen. unr.	+ 0,150	+ 4023,8		- 277,5	wenig unr	+ 0,15	- 307,0
Juli 6										
3 48	9,75373	+ 2422,3	unruhig	- 0,03	+ 2423,9	9,75898	+ 2288,2	unruhig	- 0,03	+ 2289,9
4 38	$C = 96,2$	+ 2422,2	fast ruhig	+ 0,01	+ 2421,5	$C = 97,3$	+ 2288,6	fast ruhig	+ 0,01	+ 2287,9
5 28		+ 2425,8	ruhig	+ 0,088	+ 2421,0		+ 2291,9	ruhig	+ 0,088	+ 2287,0

Datum und Zeit	$\log D \sin 1''$ und $C$	Unverb. Höhe über $\beta^n$ in Zollen	Zustand der Bilder	Angen. Refr. Coeff.	Durch die Refr. verb. Höhe	$\log D \sin 1''$ und $C$	Unverb. Höhe über $\beta^n$ in Zollen	Zustand der Bilder	Angen. Refr. Coeff.	Durch die Refr. verb. Höhe	Wahrsch. relative Höhe $p^{n+1} - p^n$	Höhe über dem Meere	
1837													
Juli 7	$P^{66}$												
$3^h 48'$	9,35765	- 295,2	ruhig	+ 0,088	- 295,9	9,33672	+ 442,5	ruhig	+ 0,088	+ 441,8			
4 38	$C = 38,6$	- 295,8	ruhig	+ 0,088	- 296,5	$C = 36,8$	+ 443,1	ruhig	+ 0,088	+ 442,4	+ 738,4	+ 12475,7	
5 28		- 295,8	ruhig	+ 0,088	- 296,5		+ 442,8	ruhig	+ 0,088	+ 442,1			
Juli 8	$P^{67}$												
4 38	9,96057	+ 2097,1	sehr unr.	- 0,13	+ 2115,5	9,80543	+ 3535,2	sehr unruhig	- 0,13	+ 3544,2			
5 28	$C = 154,8$	+ 2103,7	unruhig	- 0,03	+ 2099,4	$C = 108,4$	+ 3537,5	wenig unr.	+ 0,01	+ 3536,6	+ 1441,2	+ 13916,9	
6 9		+ 2104,2	ruhig	+ 0,088	+ 2091,8		+ 3539,1	ruhig	+ 0,088	+ 3533,0			
Juli 9	$P^{68}$	(es wurde am Signal $P^{68}$ beobachtet)											
4 38	0,14697	- 1410,4	ruhig	+ 0,088	- 1439,6	0,08422	+ 153,3	ruhig	+ 0,088	+ 131,4			
5 28	$C = 238$	- 1409,6	ruhig	+ 0,088	- 1438,8	$C = 206,0$	+ 153,2	ruhig	+ 0,088	+ 131,3	+ 1570,3	+ 14046,0	
6 9		- 1403,0	wenig unr.	+ 0,150	- 1453,0		+ 154,0	fast ruhig	+ 0,150	+ 117,0			
Juli 10	$P^{69}$												
3 48	0,07610	- 558,5	unruhig	- 0,03	- 551,3	9,72973	+ 873,9	unruhig	- 0,03	+ 875,3			
4 38	$C = 202,2$	- 560,2	wenig unr.	+ 0,01	- 562,6	$C = 91,1$	+ 874,6	unruhig	- 0,03	+ 876,0	+ 1448,7	+ 15494,7	
5 28		- 553,6	ruhig	+ 0,088	- 574,6		+ 878,3	ruhig	+ 0,088	+ 874,0			
Juli 11	$P^{70}$												
5 28	9,66275	+ 1463,2	wenig unr.	+ 0,150	+ 1457,7	0,08124	- 3712,4	ruhig	+ 0,088	- 3733,9	- 5191,6		
6 10	$C = 78,0$	+ 1469,5	zieml. unr.	+ 0,200	+ 1461,9	$C = 204,4$	- 3697,9	wenig unr.	+ 0,150	- 3734,2	- 5190,1		
Juli 12	$P^{71}$												
3 40,5	+ 1454,9	fast ruhig	+ 0,01	+ 1454,4		- 3720,9	fast ruhig	+ 0,010	- 3724,1	- 5178,6			
4 11,5	+ 1459,9	etw. unr.	+ 0,15	+ 1454,5		- 3718,5	ruhig	+ 0,088	- 3740,0	- 519,4	+ 10304,6		
Aug. 12	$P^{72}$												
4 37,5	9,65834	+ 450,4	etw. unr.	- 0,03	+ 451,4	9,65750	+ 1563,0	fast ruhig	+ 0,01	+ 1562,6			
5 27,5	$C = 77,2$	+ 452,4	zieml. ruh.	+ 0,01	+ 452,0	$C = 77,0$	+ 1566,9	ruhig	+ 0,088	+ 1563,8	+ 1111,1	+ 11415,7	
6 8		+ 459,8	ruhig	+ 0,088	+ 454,4		+ 1569,2	zieml. ruh.	+ 0,15	+ 1563,9			

Datum und Zeit	$\log D \sin 1''$ und $C$	Unverb. Höhe über $\beta^n$ in Zöllen	Zustand der Bilder	Angen. Refr.Coeff.	Durch die log $D \sin 1''$ und $C$ Höhe	Unverb. Höhe über $\beta^n$ in Zöllen	Zustand der Bilder	Angen. Refr.Coeff.	Durch die $P^{n+1} - P^n$	Wahrsch. Höhe über dem Asowschen Meere
<b>1837</b>										
Aug. 13 3 48'	9,91242	+ 582,8	sehr unr.	- 0,13	- 397,5	0,04991 + 1518,2	unruhig	- 0,03	+ 1524,7	
4 38	$C = 138,4$	+ 594,4	zieml. ruh.	+ 0,01	+ 532,6	$C = 190,0$ + 1517,3	wenig unr.	+ 0,01	+ 1514,5	+ 12331,0
5 28		+ 607,6	ruhig	+ 0,088	+ 597,7	+ 1523,7	ruhig	+ 0,088	+ 1505,4	
						+ 1533,8	ruhig	+ 0,088	+ 1515,1	
<b>1838</b>										
Aug. 14 5 28	0,07640	+ 213,5	unruhig	- 0,03	+ 220,7	0,10875 + 1254,0	unruhig	- 0,03	+ 1262,4	
6 11	$C = 202,3$	+ 255,8	ruhig	+ 0,088	+ 234,7	$C = 217,8$ + 1312,5	ruhig	+ 0,088	+ 1288,1	+ 13384,4
<b>1839</b>										
Aug. 15 4 38	9,71158	+ 432,8	{ zieml. ruhig sehr unruhig	- 0,06	+ 435,5	0,12628 - 64,4	ebenso wie	- 0,06	- 46,0	
5 28	$C = 87,3$	+ 436,1	{ unruhig zieml. ruhig	- 0,01	+ 436,5	$C = 226,8$ - 62,1	$P^{74}$	- 0,01	- 59,0	+ 12893,7
6 10		+ 451,7	unruhig	+ 0,20	+ 442,7	+ 12,5		+ 0,20	- 48,0	
<b>1840</b>										
Aug. 16 4 38	9,66640	+ 344,5	sehr unr.	- 0,13	+ 349,3	9,72090 + 453,8	etw. unr.	- 0,03	+ 453,2	
5 28	$C = 78,7$	+ 364,1	ruhig	+ 0,088	+ 358,9	$C = 89,2$ + 467,1	ruhig	+ 0,088	+ 463,0	+ 104,1 + 12997,8
6 9		+ 372,9	unruhig	+ 0,20	+ 365,6	+ 473,5	etw. unr.	+ 0,150	+ 466,3	
<b>1841</b>										
Aug. 17 4 38	9,97149	+ 1041,7	sehr unr.	- 0,13	+ 1034,0	9,92849 - 810,3	sehr unr.	- 0,13	- 794,5	
5 27	$C = 158,6$	+ 1022,6	zieml. ruh.	+ 0,01	+ 1020,7	$C = 143,3$ - 803,2	zieml. ruh.	+ 0,01	- 804,8	- 1825,5 + 11172,3
6 7		+ 1068,5	unruhig	+ 0,20	+ 1038,8	- 764,7	etw. unr.	+ 0,15	- 789,2	
<b>1842</b>										
Aug. 19 4 38	9,7924	+ 345,4	zieml. ruh.	+ 0,15	+ 335,5	9,83730 - 54,5	zieml. ruh.	+ 0,15	- 66,7	
5 28	$C = 105,0$	+ 344,2	zieml. ruh.	+ 0,15	+ 334,3	$C = 116,5$ - 53,2	zieml. ruh.	+ 0,15	- 65,6	- 401,0 + 10771,3
6 6		+ 351,2	unruhig	+ 0,20	+ 338,2	- 49,3	unruhig	+ 0,20	- 65,3	



Datum und Zeit.	$\log D \sin A''$ und $C$	Unverb. Höhe über $\beta^n$ in Zollen	Zustand der Bilder	Angen. Refr. Coeff. Höhe	Durch die $\log D \sin A''$ und $C$	Unverb. Höhe über $\beta^n$ in Zollen	Zustand der Bilder	Angen. Refr. Coeff. Höhe	Durch die $\log D \sin A''$ und $C$	Wahrsch. relative Höhe $P^{n+1} - P^n$ über dem Asowschen Meere
<b>1837</b>										
Aug. 26										
4 38'	9,77943	+ 234,4	unruhig	+ 0,20	+ 222,4	9,78553	- 153,2	unruhig	+ 0,20	- 165,4
5 28	$C = 101,9$	+ 222,7	etw. unr.	+ 0,15	+ 213,7	$C = 103,3$	- 152,4	etwas unr.	+ 0,15	- 161,3
5 55		+ 219,5	ruhig	+ 0,088	+ 214,1		- 157,7	ruhig	+ 0,088	- 163,3
<b>1838</b>										
Aug. 27										
4 38	9,7568	+ 126,6	sehr unr.	- 0,43	+ 133,8	9,7446	- 119,9	unruhig	- 0,03	- 118,4
5 28	$C = 96,6$	+ 151,8	zieml. ruh.	+ 0,45	+ 143,4	$C = 93,3$	- 111,1	ruhig	+ 0,088	- 115,6
6 2		+ 168,0	sehr unr.	+ 0,42	+ 141,6		- 106,3	unruhig	+ 0,15	- 116,6
<b>1839</b>										
Aug. 28										
4 38	9,9126	+ 244,4	unruhig	- 0,03	+ 247,8	9,9136	- 97,7	unruhig	- 0,03	- 94,3
5 27	$C = 138,6$	+ 248,9	ruhig	+ 0,088	+ 239,0	$C = 138,7$	- 92,6	wenig unr.	+ 0,01	- 94,1
5 58		+ 256,8	ruhig	+ 0,088	+ 246,9		- 81,0	ruhig	+ 0,088	- 91,0
<b>1840</b>										
Aug. 31										
4 28	9,8799	+ 490,7	unruhig	- 0,03	+ 493,6	9,8443	- 60,6	sehr unr.	- 0,13	- 49,9
5 28	$C = 128,3$	+ 501,8	sehr ruhig	+ 0,088	+ 493,2	$C = 118,2$	- 31,2	ruhig	+ 0,088	- 38,8
6 0		+ 506,2	etw. unr.	+ 0,15	+ 491,6		- 22,6	etw. unr.	+ 0,15	- 35,2
<b>1841</b>										
Sept. 2										
4 38	9,7693	+ 95,2	zieml. ruh.	+ 0,01	+ 94,4	9,8817	+ 334,5	zieml. ruh.	+ 0,01	+ 333,2
5 28	$C = 99,6$	+ 116,0	sehr ruhig	+ 0,088	+ 110,9	$C = 128,9$	+ 345,9	sehr ruhig	+ 0,088	+ 337,3
6 4		+ 127,0	zieml. ruh.	+ 0,15	+ 118,0		+ 354,3	zieml. ruh.	+ 0,15	+ 341,2
<b>1842</b>										
Sept. 5										
5 27	9,80608	+ 506,8	zieml. rh.	+ 0,15	+ 496,1	9,8322	- 51,4	zieml. ruh.	+ 0,15	- 63,3
6 5	$C = 108,3$	+ 54,5	sehr unr.	+ 0,42	+ 511,3	$C = 115,0$	- 1,7	sehr unr.	+ 0,42	- 39,3
<b>1843</b>										
Sept. 6										
3 48	9,5378	- 50,0	wenig unr.	- 0,03	- 49,4	9,5277	+ 88,3	wenig unr.	- 0,03	+ 88,4
4 38	$C = 58,4$	- 46,8	zieml. ruh.	+ 0,01	- 47,0	$C = 57,0$	+ 89,6	zieml. ruh.	+ 0,01	+ 89,4
5 28		- 41,4	sehr ruhig	+ 0,088	- 43,2		+ 91,1	sehr ruhig	+ 0,088	+ 89,4

Datum und Zeit	$\log D \sin 4''$ und $C$	Unverb. Höhe über $\beta^a$ in Zollen	Zustand der Bilder	Angen. Refr. Coeff.	Durch die Refr. verb. Höhe	$\log D \sin 4''$ und $C$	Unverb. Höhe über $\beta^a$ in Zollen	Zustand der Bilder	Angen. Refr. Coeff.	Durch die Refr. verb. Höhe	$P_{n+1} - P_n$	Höhe über dem Asowschen Meere
<b>1837</b>												
Sept. 7 3 <sup>h</sup> 48'	9,7086	+ 420,7	unruhig	- 0,03	+ 422,0	9,7156	+ 463,8	unruhig	- 0,03	+ 465,2		
4 38	$C = 86,6$	+ 426,3	fast ruhig	+ 0,01	+ 425,7	$C = 87,9$	+ 468,9	fast ruhig	+ 0,01	+ 468,3	+ 42,3	+ 5287,3
5 28		+ 434,0	sehr ruhig	+ 0,088	+ 430,1		+ 476,2	sehr ruhig	+ 0,088	+ 472,2		
<b>1838</b>												
Sept. 8 3 48	9,8477	+ 614,9	sehr unr.	- 0,13	+ 622,8	9,8917	+ 187,1	sehr unruhig	- 0,13	+ 200,4		
4 38	$C = 119,2$	+ 624,1	wenig unr.	+ 0,01	+ 620,0	$C = 131,9$	+ 198,7	wenig unr.	+ 0,01	+ 197,4	- 416,0	+ 4871,3
5 28		+ 638,3	zieml. unr.	+ 0,15	+ 625,4		+ 225,1	zieml. ruh.	+ 0,15	+ 216,1		
<b>1839</b>												
Sept. 9 3 48	9,8362	+ 417,9	fast ruhig	+ 0,01	+ 416,9	9,9484	+ 129,5	wenig unr.	+ 0,01	+ 127,8		
4 38	$C = 116,0$	+ 418,4	ruhig	+ 0,088	+ 411,4	$C = 150,3$	+ 139,9	sehr ruhig	+ 0,088	+ 128,3	- 283,3	+ 4588,0
5 28		+ 428,9	wenig unr.	+ 0,15	+ 416,8		+ 166,5	zieml. unr.	+ 0,20	+ 138,9		
<b>1840</b>												
Sept. 10 3 48	9,8737	+ 471,5	sehr unr.	- 0,13	+ 483,8	9,8992	+ 78,4	sehr unr.	- 0,13	+ 92,2		
4 38	$C = 126,5$	+ 494,0	zieml. ruh.	+ 0,01	+ 492,8	$C = 134,2$	+ 111,3	unruhig	- 0,03	+ 114,7	- 376,8	+ 4211,2
5 28		+ 499,8	ruhig	+ 0,088	+ 491,5		+ 124,9	ruhig	+ 0,088	+ 115,6		
<b>1841</b>												
Sept. 11 4 58	9,7562	+ 314,8	unruhig	- 0,03	+ 316,4	9,8735	- 74,9	unruhig	- 0,03	- 72,1		
5 38	$C = 96,6$	+ 317,5	ruhig	+ 0,088	+ 312,7	$C = 126,5$	- 52,1	ruhig	+ 0,088	- 61,0	- 376,6	+ 3834,6
<b>1842</b>												
Sept. 12 4 38		+ 312,9	zieml. ruh.	+ 0,01	+ 313,4		- 82,7	etw. unr.	- 0,03	- 79,9		
5 28		+ 318,5	ruhig	+ 0,088	+ 313,7		- 57,4	ruhig	+ 0,088	- 65,7		
<b>1843</b>												
Sept. 14 4 38	9,7017	+ 132,4	unruhig	- 0,03	+ 133,6	9,7523	+ 194,6	unruhig	- 0,03	+ 196,2		
5 28	$C = 85,1$	+ 143,9	zieml. ruh.	+ 0,15	+ 137,3	$C = 95,7$	+ 207,8	ruhig	+ 0,088	+ 203,0	+ 65,7	+ 3900,3

Datum und Zeit	$\log D \sin 1''$ und $C$	Unverh. Höhe über $\beta^n$ in Zollen	Zustand der Bilder	Augen. Refr. Coeff.	Durch die Refr. verb. Höhe	$\log D \sin 1''$ und $C$	Unverb. Höhe über $\beta^n$ in Zollen	Zustand der Bilder	Angen. Refr. Coeff.	Durch die Refr. verb. Höhe	Wahrsch. relative Höhe $P^{n+1} - P^n$	Höhe über dem Asowschen Meere
<b>1837</b>												
Sept. 15												
3 <sup>h</sup> 48'	9,7672	- 57,8	etw. unr.	- 0,03	- 56,1	9,8207	+ 109,7	etw. unr.	- 0,03	+ 111,9		
4 38	$C = 99,1$	- 54,1	zieml. ruh.	+ 0,01	- 51,8	$C = 112,1$	+ 114,4	fast ruhig	+ 0,01	+ 113,4	+ 166,2	+ 4066,5
5 28		- 45,7	ruhig	+ 0,088	- 50,8		+ 122,5	ruhig	+ 0,088	+ 116,0		
<b>1838</b>												
Sept. 16												
3 48	9,55784	+ 502,3	unruhig	- 0,03	+ 503,0	9,60245	+ 466,1	unruhig	- 0,03	+ 466,9		
4 37	$C = 61,1$	+ 505,9	ruhig	+ 0,088	+ 504,0	$C = 67,8$	+ 465,7	ruhig	+ 0,088	+ 463,6	- 40,3	+ 4026,2
5 28		+ 508,5	etwas unr.	+ 0,15	+ 505,1		+ 469,0	etw. unr.	+ 0,15	+ 464,9		
<b>1839</b>												
Sept. 17												
3 50	9,9701	+ 384,3	ruhig	+ 0,088	+ 368,2	9,7147	- 47,3	ruhig	+ 0,088	- 51,3		
4 38	$C = 158,1$	+ 381,2	sehr ruhig	+ 0,088	+ 368,2	$C = 87,8$	- 47,1	sehr ruh.	+ 0,088	- 51,1	- 420,3	+ 3605,9
5 28		+ 384,6	ruhig	+ 0,088	+ 371,7		- 47,8	ruhig	+ 0,088	- 51,8		
<b>1840</b>												
Sept. 18												
3 48	9,85532	+ 61,6	wen. unr.	+ 0,01	+ 60,4	9,8118	+ 28,2	wenig unr.	+ 0,01	+ 28,3		
4 38	$C = 121,5$	+ 64,0	sehr ruh.	+ 0,088	+ 56,3	$C = 109,8$	+ 29,6	sehr ruh.	+ 0,088	+ 23,4	- 34,2	+ 3574,7
4 57		+ 71,5	ruhig	+ 0,088	+ 63,9		+ 34,6	ruhig	+ 0,088	+ 28,4		
<b>1841</b>												
Sept. 19												
3 18	9,7077	+ 388,2	zieml. ruh.	+ 0,01	+ 387,6	9,6846	+ 315,0	zieml. ruh.	+ 0,01	+ 314,5		
4 8	$C = 86,4$	+ 388,7	sehr ruhig	+ 0,088	+ 384,9	$C = 81,9$	+ 314,2	sehr ruh.	+ 0,088	+ 310,6	- 74,1	+ 3497,6
4 57		+ 392,5	zieml. ruh.	+ 0,15	+ 385,8		+ 317,1	zieml. ruh.	+ 0,15	+ 311,1		
<b>1842</b>												
Sept. 21												
3 17	0,10910	+ 747,2	unruhig	- 0,03	+ 755,6	9,92502	+ 132,3	unruhig	- 0,03	+ 136,8		
4 7	$C = 217,2$	+ 745,8	zieml. ruhig	+ 0,01	+ 742,1	$C = 142,2$	+ 136,4	zieml. ruh.	+ 0,01	+ 135,3	- 608,0	+ 2889,6
4 44		+ 767,7	ruhig	+ 0,088	+ 743,2		+ 144,6	ruhig	+ 0,088	+ 134,2		

Datum und Zeit	$\log D \sin A''$ und $C$	Unverb. Höhe über $\beta^n$ in Zollen	Zustand der Bilder	Augen. Refr. Coeff.	Durch die Refr. verb. Höhe	$\log D \sin A''$ und $C$	Unverb. Höhe über $\beta^n$ in Zollen	Zustand der Bilder	Angen. Refr. Coeff.	Durch die Refr. verb. Höhe	Wahrsch. relative Höhe $P^{n+1} - P^n$ über dem Asowschen Meere
<b>1837</b>											
Sept. 22											
3 <sup>h</sup> 18'	9,3962	+ 118,2	unruhig	- 0,03	+ 118,5	9,6107	+ 24,4	unruhig	- 0,03	+ 25,2	
4 8	$C = 42,4$	+ 120,2	ruhig	+ 0,088	+ 119,3	$C = 69,2$	+ 25,3	ruhig	+ 0,088	+ 22,7	- 97,0 + 2792,6
4 58	<del>0,0151</del>	+ 121,6	zieml. ruh.	+ 0,15	+ 120,0	<del>0,0142</del>	+ 26,3	zieml. ruh.	+ 0,15	+ 22,0	
<i>P<sup>103</sup></i>											
Sept. 23											
3 18	9,7676	+ 437,0	unruhig	- 0,03	+ 438,5	9,9183	- 47,2	unruhig	- 0,03	- 43,7	
4 8	$C = 99,4$	+ 446,6	ruhig	+ 0,088	+ 442,1	$C = 140,3$	- 31,4	ruhig	+ 0,088	- 44,6	- 483,7 + 2308,9
4 58	<del>0,0151</del>	+ 455,2	unruhig	+ 0,20	+ 444,8	<del>0,0142</del>	- 21,4	zieml. ruhig	+ 0,15	+ 39,2	
<i>P<sup>104</sup></i>											
Sept. 24											
3 18	9,6901	+ 365,5	zieml. ruh.	+ 0,01	+ 365,0	9,6505	+ 263,0	zieml. ruh.	+ 0,01	+ 262,5	
4 8	$C = 82,9$	+ 369,1	ruhig	+ 0,088	+ 363,5	$C = 75,7$	+ 265,4	ruhig	+ 0,088	+ 262,5	- 103,1 + 2205,8
4 58	<del>0,0151</del>	+ 372,2	zieml. ruh.	+ 0,15	+ 366,0	<del>0,0142</del>	+ 266,8	zieml. ruh.	+ 0,15	+ 261,6	
<i>P<sup>105</sup></i>											
Sept. 25											
3 18	9,7331	+ 351,6	zieml. ruh.	+ 0,01	+ 351,0	9,8029	- 182,4	zieml. ruh.	+ 0,01	- 183,5	
4 8	$C = 91,5$	+ 354,5	ruhig	+ 0,088	+ 351,1	$C = 107,5$	- 180,7	ruhig	+ 0,088	- 186,7	- 536,6 + 1669,2
4 58	<del>0,0151</del>	+ 356,0	zieml. ruh.	+ 0,15	+ 348,4	<del>0,0142</del>	- 177,6	zieml. ruh.	+ 0,15	- 188,0	
<i>P<sup>106</sup></i>											
Sept. 26											
3 18	9,5835	+ 264,5	fast ruhig	+ 0,01	+ 264,2	9,7810	- 282,6	fast ruhig	+ 0,01	- 283,4	
4 8	$C = 64,9$	+ 265,0	ruhig	+ 0,088	+ 262,8	$C = 102,2$	- 277,0	ruhig	+ 0,088	- 282,4	- 545,7 + 1123,5
4 58	<del>0,0151</del>	+ 266,0	ruhig	+ 0,088	+ 263,8	<del>0,0142</del>	- 276,9	ruhig	+ 0,088	- 281,3	
<i>P<sup>107</sup></i>											
Sept. 27											
3 18	9,4514	+ 101,4	unruhig	- 0,03	+ 101,5	9,9306	+ 96,0	wenig unr.	+ 0,01	+ 94,4	
4 8	$C = 47,8$	+ 102,8	zieml. ruh.	+ 0,01	+ 102,6	$C = 144,2$	+ 108,4	ruhig	+ 0,088	+ 97,7	- 1,8 + 1121,7
4 58	<del>0,0151</del>	+ 104,9	zieml. ruh.	+ 0,15	+ 102,8	<del>0,0142</del>	+ 114,8	ruhig	+ 0,088	+ 104,0	
<i>P<sup>108</sup></i>											

\* Sept. 27

Datum und Zeit	$\log D \sin 1''$ und $C$	Unverb. Höhe über $\beta^n$ in Zollen	Zustand der Bilder	Angen. Refr. Coeff.	Durch die Refr. verb. Höhe	$\log D \sin 1''$ und $C$	Unverb. Höhe über $\beta^n$ in Zollen	Zustand der Bilder	Angen. Refr. Coeff.	Durch die Refr. verb. Höhe	Wahrsch. relative Höhe über dem Aowsischen Meere
<b>1837</b>											
Sept. 28											
3' 18'	9,8436	+ 467,4	unruhig	- 0,03	+ 496,6	9,7855	- 117,1	unruhig	- 0,03	- 115,2	
4 8	$C = 118'',0$	+ 473,4	zieml. ruh.	+ 0,01	+ 472,3	$C = 103'',3$	- 110,6	zieml. ruh.	+ 0,01	- 111,4	- 585,7 + 536,0
4 58		+ 485,1	ruhig	+ 0,088	+ 478,2		- 103,6	ruhig	+ 0,088	- 109,1	
Sept. 29											
3 18	9,8379	+ 35,6	ruhig	+ 0,088	+ 346,3	9,7623	+ 61,5	ruhig	+ 0,088	+ 56,6	
4 8	$C = 116,5$	+ 360,4	ruhig	+ 0,088	+ 353,1	$C = 97,9$	+ 66,9	ruhig	+ 0,088	+ 61,9	- 290,5 + 245,5
4 58		+ 369,5	etw. unruh.	+ 0,15	+ 357,2		+ 71,9	etw. unruh.	+ 0,15	+ 63,3	
Sept. 30											
3 18	9,9194	+ 257,5	unruhig	- 0,03	+ 254,1	0,0153	+ 58,5	unruhig	- 0,03	+ 67,1	
4 8	$C = 140,6$	+ 263,1	zieml. ruh.	+ 0,01	+ 261,6	$C = 175,3$	+ 68,0	zieml. ruh.	+ 0,01	+ 65,6	- 192,5 + 53,0
4 58		+ 278,0	fast ruhig	+ 0,12	+ 264,0		+ 95,9	fast ruhig	+ 0,12	+ 74,9	
Oct. 2											
3 18	0,0127	+ 238,9	zieml. ruhig	+ 0,01	+ 236,6	9,9054	+ 69,4	zieml. ruh.	+ 0,01	+ 67,7	
4 8	$C = 174,3$	+ 247,8	ruhig	+ 0,088	+ 232,1	$C = 136,1$	+ 78,6	ruhig	+ 0,088	+ 69,5	- 165,6 - 112,6
4 58		+ 260,7	etw. unruh.	+ 0,15	+ 233,3		+ 82,0	zieml. ruh.	+ 0,15	+ 65,3	
Oct. 15											
2 58	9,7372	+ 124,3	ruhig	+ 0,088	+ 119,9	9,7904	+ 34,4	ruhig	+ 0,088	+ 28,8	
3 48	$C = 92,3$	+ 129,9	ruhig	+ 0,088	+ 125,5	$C = 104,4$	+ 40,2	ruhig	+ 0,088	+ 34,8	- 89,8 - 202,4
4 38		+ 133,9	ruhig	+ 0,088	+ 129,5		+ 45,2	ruhig	+ 0,088	+ 39,8	
Oct. 16											
2 57	9,9180	+ 133,3	fast ruhig	+ 0,01	+ 131,8	0,1258	+ 157,9	fast ruhig	+ 0,01	+ 154,0	
3 48	$C = 140,3$	+ 146,1	fast ruhig	+ 0,12	+ 132,1	$C = 226,2$	+ 175,4	ruhig	+ 0,088	+ 149,0	+ 19,7 - 182,1
4 38		+ 159,4	unruhig	+ 0,20	+ 136,2		+ 193,0	fast ruhig	+ 0,15	+ 146,8	

Datum und Zeit	$\log D \sin 4''$ und $C$	Unverb. Höhe über $\beta^n$ in Zollen	Zustand der Bilder	Angen. Refr. Coeff.	Durch die Refr. verb. Höhe	$\log D \sin 4''$ und $C$	Unverb. Höhe über $\beta^n$ in Zollen	Zustand der Bilder	Angen. Refr. Coeff.	Durch die Refr. verb. Höhe	Wahrsch. relative Höhe $p_{n+1} - p_n$ über dem Asowschen Meere
<b>1837</b>											
Oct. 17											
2 57,5	9,8988	+ 176,8	etw. unr.	+ 0,01	+ 175,4	9,8057	+ 101,0	fast ruhig	+ 0,01	+ 100,2	
3 47,5	$C = 13k,3$	+ 193,2	ruhig	+ 0,088	+ 184,4	$C = 108,4$	+ 111,3	ruhig	+ 0,088	+ 105,3	- 260,4
4 37,5		+ 198,1	fast ruhig	+ 0,45	+ 181,9		+ 114,9	fast ruhig	+ 0,15	+ 104,3	
<b>1838</b>											
Oct. 18											
3 21	9,9847	+ 188,9	fast ruhig	+ 0,01	+ 186,9	9,8902	- 7,7	fast ruhig	+ 0,01	- 9,0	
3 47,5	$C = 163,8$	+ 196,8	sehr ruhig	+ 0,088	+ 182,9	$C = 131,8$	- 7,0	sehr ruhig	+ 0,088	- 15,9	- 457,9
4 37,5		+ 213,4	unruhig	+ 0,20	+ 181,8		+ 4,5	unruhig	+ 0,20	- 16,0	
<b>1839</b>											
Oct. 19											
2 58,5	9,9365	+ 39,4	sehr unr.	- 0,13	+ 55,8	9,8470	+ 129,5	sehr unr.	- 0,13	+ 140,4	
3 47,5	$C = 146,4$	+ 64,2	unr. — ruhig	+ 0,03	+ 60,4	$C = 119,1$	+ 139,9	unr. — ruhig	+ 0,03	+ 137,4	- 381,3
4 37		+ 80,5	fast ruhig	+ 0,15	+ 61,5		+ 150,0	fast ruhig	+ 0,15	+ 137,2	
<b>1840</b>											
Oct. 20											
2 57,5	9,8053	+ 194,5	zieml. ruh.	+ 0,01	+ 193,6	9,6864	+ 166,1	zieml. ruh.	+ 0,01	+ 165,6	
3 47,5	$C = 108,4$	+ 199,8	ruhig	+ 0,088	+ 193,8	$C = 82,4$	+ 169,5	ruhig	+ 0,088	+ 163,0	- 410,2
4 22		+ 203,9	ruhig	+ 0,088	+ 197,8		+ 172,7	ruhig	+ 0,088	+ 166,2	
<b>1841</b>											
Oct. 21											
2 57,5	9,9230	+ 191,1	zieml. ruh.	+ 0,01	+ 189,5	9,9151	+ 69,6	zieml. ruh.	+ 0,01	+ 68,1	
3 47,5	$C = 144,0$	+ 197,0	ruhig	+ 0,088	+ 186,5	$C = 139,4$	+ 77,7	ruhig	+ 0,088	+ 67,7	- 118,4
4 28		+ 198,1	ruhig	+ 0,088	+ 187,5		+ 82,3	ruhig	+ 0,088	+ 72,2	- 528,3
<b>1842</b>											
Oct. 23											
2 57,5	9,9600	+ 121,0	etwas unr.	+ 0,01	+ 119,3	9,9403	+ 242,8	etw. unr.	+ 0,01	+ 241,1	
3 47,5	$C = 154,7$	+ 123,3	zml. rh., rh.	+ 0,05	+ 113,3	$C = 147,9$	+ 247,1	zieml. ruh.	+ 0,05	+ 238,3	- 403,3
4 29,5		+ 135,0	unruhig	+ 0,20	+ 106,8		+ 260,9	unruhig	+ 0,20	+ 235,1	

Datum und Zeit	$\log D \sin 1''$ und $C$	Unverb. Höhe über $\beta^n$ in Zollen	Zustand der Bilder	Angen. Refr. Coeff.	Durch die Refr. verb. Höhe	$\log D \sin 1''$ und $C$	Unverb. Höhe über $\beta^n$ in Zollen	Zustand der Bilder	Angen. Refr. Coeff.	Durch die Refr. verb. Höhe	Wahrsch. relative Höhe $p_{n+1} - p_n$	Höhe über dem Asowschen Meere
Oct. 24												
2 57'5	0,0389	+ 146,4	etw. unr.	+ 0,01	+ 143,8	9,8802	+ 138,2	fast ruhig	+ 0,01	+ 137,0		
3 47,5	$C = 185,4$	+ 148,0	unr. — ruh.	- 0,01	+ 150,6	$C = 128,6$	+ 131,3	unr. — ruh.	- 0,01	+ 132,6	- 6,8	- 410,4
4 29		+ 220,6	sehr unr.	+ 0,35	+ 149,4		+ 175,1	sehr unr.	+ 0,35	+ 131,0		

 $P^{121}$  $P^{122}$  $P^{124}$  $P^{122}$  $P^{123}$  $P^{124}$ 

1837

Datum und Zeit	$\log D \sin 1''$ und $C$	Unverb. Höhe über $\beta^n$ in Zollen	Zustand der Bilder	Angen. Refr. Coeff.	Durch die Refr. verb. Höhe	$\log D \sin 1''$ und $C$	Unverb. Höhe über $\beta^n$ in Zollen	Zustand der Bilder	Angen. Refr. Coeff.	Durch die Refr. verb. Höhe	Wahrsch. relative Höhe $p_{n+1} - p_n$	Höhe über dem Asowschen Meere
Oct. 25												
2 57,5	9,8559	+ 400,5	zieml. ruh.	+ 0,01	+ 399,4	9,8452	+ 398,6	zieml. ruh.	+ 0,01	+ 397,5		
3 47,5	$C = 121,5$	+ 406,5	ruhig	+ 0,088	+ 398,6	$C = 118,5$	+ 407,2	ruhig	+ 0,088	+ 400,0	- 0,7	- 410,8
4 29		+ 412,8	ruhig	+ 0,088	+ 405,2		+ 410,4	ruhig	+ 0,088	+ 403,1		

 $P^{124}$  $P^{123}$  $P^{124}$  $P^{122}$  $P^{123}$  $P^{124}$ 

Oct. 27

Datum und Zeit	$\log D \sin 1''$ und $C$	Unverb. Höhe über $\beta^n$ in Zollen	Zustand der Bilder	Angen. Refr. Coeff.	Durch die Refr. verb. Höhe	$\log D \sin 1''$ und $C$	Unverb. Höhe über $\beta^n$ in Zollen	Zustand der Bilder	Angen. Refr. Coeff.	Durch die Refr. verb. Höhe	Wahrsch. relative Höhe $p_{n+1} - p_n$	Höhe über dem Asowschen Meere
Oct. 27												
2 50,5	0,1352	+ 9,6	etw. unr.	+ 0,0256	+ 1,5	0,2262	- 295,7	etw. unr.	+ 0,0256	- 307,4		
3 26,5	$C = 230,9$	+ 14,3	etw. unr.	+ 0,0267	+ 5,8	$C = 284,8$	- 288,8	etw. unr.	+ 0,0267	- 301,8		
4 3		+ 25,6	ruhig	+ 0,0920	- 3,4		- 264,3	ruhig	+ 0,0920	- 308,3		
4 35,5		+ 41,0	zieml. ruh.	+ 0,1309	+ 0,3		- 242,4	zieml. ruh.	+ 0,1309	- 305,0	Mittel . . .	- 306,5

Oct. 28

Datum und Zeit	$\log D \sin 1''$ und $C$	Unverb. Höhe über $\beta^n$ in Zollen	Zustand der Bilder	Angen. Refr. Coeff.	Durch die Refr. verb. Höhe	$\log D \sin 1''$ und $C$	Unverb. Höhe über $\beta^n$ in Zollen	Zustand der Bilder	Angen. Refr. Coeff.	Durch die Refr. verb. Höhe	Wahrsch. relative Höhe $p_{n+1} - p_n$	Höhe über dem Asowschen Meere
Oct. 28												
3 4,5												
3 24,5												

Datum und Zeit	$\log D \sin 1''$ und $C$	Unverb. Höhe über $\beta^n$ in Zollen	Zustand der Bilder	Angen. Refr. Coeff.	Durch die Refr. verb. Höhe	$\log D \sin 1''$ und $C$	Unverb. Höhe über $\beta^n$ in Zollen	Zustand der Bilder	Angen. Refr. Coeff.	Durch die Refr. verb. Höhe	Wahrsch. relative Höhe $p_{n+1} - p_n$	Höhe über dem Asowschen Meere
Oct. 28												
3 24,8												

Mittleres Niveau des Caspischen Meeres über  $P^{124} = - 281,6$ 

folglich das Caspische Meer über dem Asowschen:

= - 998,1 Engl. Zoll = - 83,2 Engl. Fuss.

Ueber die Zuverlässigkeit des Endresultates dieser Nivellirung hat H. Sawitsch folgende Untersuchung angestellt:

Da unsere geodätischen Entfernung für den Zweck der Nivellirung überflüssig genau sind, so können die Ursachen der Fehler in den Höhenunterschieden nur aus den Unrichtigkeiten 1) der scheinbaren Zenithdistanzen und 2) der angebrachten Refractionen hergeleitet werden. — Die Fehler der ersten Art hängen von der Natur der Instrumente und von der Individualität der Beobachter ab. Es ist schon pag. 16 erwähnt worden, dass ich meine Beobachtungen mit einem 8zölligen Theodoliten von Ertel angestellt habe. Die anerkannte und bewundernswürdige Genauigkeit der Theilung der Kreise von Ertel macht jeden Gedanken an die Unsicherheit unserer Angaben, welche von Theilungsfehlern herrühren könnten, unstatthaft; um so mehr, da wir fast überall mehrere Reihen von Zenithdistanzen, von verschiedenen Puncten der Peripherie ausgehend, gemessen haben, indem die Construction der Instrumente beliebige Veränderungen des Ortes des Zeniths erlaubte. Ausserdem beruht jede von unseren Zenithdistanzen auf 4 Einstellungen, 2 bei dem Kreise links, und 2 bei dem Kreise rechts, wobei in jeder Lage die eine durch positive, und die andere durch negative Bewegungen der Micrometerschraube bewerkstelligt wurde, um bei den Theodoliten, wo die Hemmung an der Peripherie des Kreises angebracht ist, die mögliche Biegung der Speichen zu eliminiren. Was die Biegung des Fernrohrs anbetrifft, so scheint diese bei der Construction und der Befestigung des Fernrohrs an zwei Puncten bei den Theodoliten wohl nur höchst unbedeutend sein zu können. Obgleich wir sie nicht durch direkte Messungen zwischen zwei entgegengesetzten Fernröhren ermittelt haben, und diese Untersuchung bei einem Kreise, dessen Verniere nur 10 Secunden angeben, mit gehöriger Genauigkeit auch schwer ausführbar ist, — so geht doch aus der Uebereinstimmung der durch nördliche und südliche Sterne bestimmten Polhöhen hervor, dass wenigstens keine bedeutende Biegung des Fernrohrs vorhanden sein kann.

Die wahrscheinliche Grösse der zufälligen Fehler, die durch das Einstellen und Ablesen entstehen, lässt sich am besten aus astronomischen Beobachtungen ableiten, namentlich aus einer grossen Anzahl von Polhöhen-Messungen durch solche Sterne, die hoch genug über dem Horizonte culminiren, um mit keiner von der Refraction herrührenden Unsicherheit belastet zu sein, und aus der Vergleichung jeder einzelnen Polhöhe mit dem Mittel. Es ergab sich der mittlere Fehler einer Zenithdistanz aus einem Satze von 4 Einstellungen an den 8zölligen Theodoliten  $= 2''\frac{5}{6}$  aus nicht weniger als 60 Reihen; folglich wird der wahrscheinliche Fehler einer Zenithdistanz  $= 2''\frac{5}{6} \times 0,847 = 2''\frac{1}{6}$ . Für die Beobachtungen mit dem grossen Universalinstrument ist er noch geringer, nämlich  $= 1''\frac{1}{6}$ . Es ist noch zu bemerken dass dieser Fehler für Nachtbeobachtungen, wo mit einer Lampe abgelesen wurde, gilt; für die Tagbeobachtungen, wo die Beleuchtung viel besser, und die Ablesung sicherer war, ist er wohl noch kleiner.

Die Ausmittelung der wahrscheinlichen Fehler in den angebrachten Refractionen ist weit schwerer. Wir wollen zuerst diesen Gegenstand bei den gegenseitigen und gleichzeitigen Beobachtungen untersuchen. Um einigermassen die Grenzen zu bestimmen, zwischen welchen die Lokalrefractionen an beiden Endpunkten von einander differiren können, muss man zuerst den wahrscheinlichen Werth der Refractions-Coefficienten bei verschiedenen obwaltenden Umständen, vorzüglich aber bei ruhigen und fast ruhigen Bildern, bei welchen die Hauptbestimmungen gemacht sind, finden. Dann wird sich durch die wahrscheinliche Grösse der Abweichung der jedesmaligen Refraction von dem wahrscheinlichen Werthe derselben, die Wirkung der Localumstände mit mehr oder weniger Richtigkeit ergeben.

Je grösser der Winkel  $C$  der Verticalen oder die in Secunden ausgedrückte Entfernung zwischen den Punkten ist, an welchen man die gegenseitigen Zenithdistanzen misst, und je ruhiger die Bilder sind, desto genauer be-

kommt man unter der Voraussetzung der Gleichheit der Strahlenbrechungen an beiden Endpunkten den Refractions-Coefficienten, weil sowohl die zufälligen Beobachtungsfehler, als auch der störende Einfluss der nächsten Lokalität durch die Division mit dem grösseren  $C$  geschwächt werden; und obgleich die Bahn des Lichtstrahls desto mehr Veränderungen unterworfen ist, je grösser der zurückgelegte Weg ist, so muss man doch zugeben, dass die dadurch verursachte Unregelmässigkeit immer kleiner ist, als die welche von den früher erwähnten Umständen herrührt; und so wird man veranlasst, das Gewicht der jedesmaligen Bestimmung des Refractions-Coefficienten  $= q$  proportional dem  $C$  zu setzen; jede Bestimmung giebt dann die Gleichung  $Cx = qC$ , wo  $x$  der gesuchte wahrsch. Werth des Refractions-Coefficienten ist. Dieser aus allen Beobachtungen geschlossene Werth wird  $= \frac{\sum q \cdot C}{\sum C}$  sein, indem die Summenzeichen auf alle  $q$  und  $C$  ausgedehnt werden. Dieses Verfahren besteht im Grunde darin, dass man den Refractions-Coefficienten aus einer Strahlenbrechung sucht, welche der Summe der einzeln beobachteten Strahlenbrechungen gleich wäre und einem Winkel der Verticalen correspondirte, der so gross ist als alle einzelnen  $C$  zusammen genommen.

Aus unseren Tabellen ergiebt sich der wahrscheinliche Refractions-Coefficient für die Zeit der ruhigen Bilder am Nachmittage  $= +0,088$ . Berechnet man damit die Refractionen für die Reihe der Beobachtungen zur Zeit der ruhigen Bilder, und vergleicht mit ihnen diejenigen, welche wirklich aus den gegenseitigen und gleichzeitigen Beobachtungen unter der Hypothese der Gleichheit der Strahlenbrechung an beiden Endpunkten folgen, so wird man alle Abweichungen bekommen, welche theils durch die verschiedenen Localumstände, theils durch die zufälligen Fehler verursacht sind. Die Summe der Quadrate dieser Abweichungen durch ihre Anzahl weniger 1 dividirt, giebt  $20''5$ ; folglich der mittlere Fehler  $= \sqrt{20''5} = 4''5$  und die wahrscheinliche Abweichung  $= 4''5 \times 0,6747 = 3''04$ . Man kann aber annehmen, dass die Unterschiede zwischen den Local-Refractionen bei den gegenseitigen und gleichzeitigen Messungen und denjenigen Refractionen, welche nach der Hypothese der Gleichheit an den beiden Endpunkten aus den Beobachtungen selbst abgeleitet werden, im Durchschnitt Grössen von derselben Ordnung sein müssen, als jene wahrscheinliche Abweichung; weil beide durch ähnliche Ursachen hervorgebracht sind; man kann sogar behaupten, dass diese Unterschiede kleiner sind, da die angenommenen Refractionen doch von den Localitäten an beiden Endpunkten afficirt sind, und vielleicht von den wahren Refractionen nur um die Hälfte der Differenz zwischen den an beiden Endpunkten stattfindenden Refractionen abweichen. Dennoch nehme ich diesen Unterschied  $= 3''04$  an, insofern er von den zufälligen Beobachtungsfehlern und von den Localitäten abhängt. Die mittlere Entfernung der Punkte, zwischen welchen beobachtet wurde, ist  $= 143640$  engl. Zoll ( $C = 118''$ ) und solcher Linien haben wir 224 gehabt; wäre also jede in Rechnung gebrachte Zenithdistanz um  $\pm 3''0$  fehlerhaft, so wird das Endresultat um  $143640 \sin 3''04 \sqrt{224} = \pm 31,3$  Zoll unrichtig; weil aber an einigen Stationen nur bei nicht völliger Ruhe der Bilder beobachtet werden konnte, so muss der Endfehler um etwas grösser angenommen werden, etwa  $= 36$  Zoll, wobei das Verhältniss  $4:3$  der Genauigkeit der Beobachtungen bei völliger Ruhe und bei schwacher Unruhe der Bilder, mit Berücksichtigung der Anzahl derjenigen Stationen, wo nicht vollkommene Ruhe stattfand, zum Grunde gelegt wurde. So gross wäre die Genauigkeit des Resultates der gegenseitigen und gleichzeitigen Messungen, wenn keine Quelle von constanten Fehlern vorhanden wäre, die Möglichkeit aber einer Biegung des Fernrohrs bei den Theodoliten, die auf beiden Endpunkten der jedesmal zu messenden Linien gebraucht wurden, macht die Unsicherheit viel bedeutender; wir werden auf diesen Gegenstand zurückkommen.

Der Einfluss der Unsicherheit in den angewandten Refractionen ist also leicht zu untersuchen bei den gleichzeitigen reciproken Beobachtungen, wie wir gesehen haben; bei dieser Art von Beobachtungen macht man keine

Hypothese über die numerische Grösse der Strahlenbrechung; man nimmt nur an, dass sie an beiden Endpunkten gleich gross ist; anders verhält es sich aber bei den Messungen der Zenithdistanzen aus der Mitte der Station zwischen zwei vorwärts und rückwärts liegenden Signalen; hier muss man bei der Berechnung der nicht immer gleich gut getheilten Stationen einen numerischen wahrscheinlichen Werth des Refractions-Coefficienten voraussetzen, und wenn noch die Bilder nach jedem der Signale nicht gleich ruhig waren für jedes derselben einen anderen Coeffienten anwenden. Um dann die Fehler der Resultate zu ermitteln, muss man zuerst die wahrscheinlichen Fehler der jedesmal benutzten Coeffienten zu bestimmen suchen. Um diese Fehler zu bestimmen, müssen wir die wahrscheinlichsten Refractions-Coeffienten mit den jedesmaligen während der Ruhe der Bilder vergleichen. Die diesem Zustande der Bilder aber entsprechenden Refractions-Coeffienten in unserer Tabelle (p. 320) sind selbst etwas fehlerhaft 1) wegen der zufälligen kleinen Fehler  $\Delta z$ ,  $\Delta z'$  in den scheinbaren Zenithdistanzen  $z$  und  $z'$  in  $b^n$  und  $P^{n+1}$  beobachtet, und auf die Centra der Signale reducirt; 2) wegen der Unrichtigkeit der Hypothese von der Gleichheit der Strahlenbrechungen an beiden Endpunkten. Wenn wir annehmen dass  $\Delta r$  und  $\Delta r'$  die Verbesserungen der Refraction  $r = \frac{180^\circ + C - (z+z')}{2}$  sind, welche an  $r$  angebracht werden müssen um die 2 wahren localen Refractionen zu haben, so ist offenbar, dass die Refractions-Coeffienten, welche die Tabelle enthält, um die Grösse

$$\frac{1}{2C} \sqrt{(\Delta z^2 + \Delta z'^2 + (\Delta r^2 + \Delta r'^2)) C^2}$$

wo  $C \cdot \Delta r = \Delta r$  und  $C \cdot \Delta r' = \Delta r'$ , fehlerhaft sein werden; setzen wir im Durchschnitt  $\Delta \varrho = \Delta \varrho'$  der Grösse nach, so wird der letztgenannte Fehler

$$= \sqrt{\frac{\Delta z^2 + \Delta z'^2}{4C^2} + \frac{\Delta \varrho^2}{2}}$$

Die wahrscheinlichen Grössen von  $\Delta z$  und  $\Delta z'$  sind  $2,1$  und  $1,1$ , die mittleren  $3,3$  und  $1,6$ ;  $\Delta \varrho$  ist eine Grösse von derselben Ordnung wie die Unterschiede zwischen den wahrscheinlichsten Refractions-Coeffienten und den jedesmaligen, zur Zeit der ruhigen Bilder, und wir werden jetzt  $\Delta \varrho$  aus unserer Tabelle finden. Jeder

der oben bezeichneten Unterschiede ist  $= \sqrt{\frac{\Delta z^2 + \Delta z'^2}{4C^2} + \frac{\Delta \varrho^2}{2}}$ ; aber ebenso wie die Refractions-Coeffienten selbst, werden auch jene Abweichungen desto mehr von ihrem mittleren Werthe differiren, je näher die Beobachtungsorte von einander sich befinden. Dieselben Gewichte also, welche für die Coeffienten gelten, gehören auch den Fehlern derselben an. Wir haben für die Einheit des Gewichtes  $C = 100''$  angenommen. Aus unserer Tabelle bekommen wir die Quadrate der Abweichungen der dort gegebenen Refractions-Coeffienten von ihrer wahrscheinlichen Grösse; multipliciren wir jedes Quadrat mit seinem respectiven Gewichte, so erhalten

wir für die Summe dieser Producte  $\frac{193835}{(1000)^2}$ , und für die Summe der Gewichte  $145,67$ ; also das mittlere Quadrat

$$= \frac{193835}{(1000)^2 \times 145,67} = \frac{1340}{(1000)^2} = \frac{\Delta z^2 + \Delta z'^2}{4C^2} + \frac{\Delta \varrho^2}{2}$$

Nun ergibt sich im Durchschnitt das mittlere Quadrat

$$\frac{\Delta z^2 + \Delta z'^2}{4C^2} = \frac{(3,3)^2 + (1,6)^2}{4C^2} = \frac{285}{(1000)^2},$$

folglich  $\frac{\Delta \varrho^2}{2} = \frac{(1000)^2}{1055}$  und  $\frac{\Delta \varrho}{\sqrt{2}} = \pm 0,0325$

Auf diese Weise bekommen wir den wahrscheinlichen Fehler

$$\frac{\Delta \varrho}{\sqrt{2}} = \pm 0,0325 \times 0,6745 = \pm 0,0219 \text{ und } \Delta \varrho = \pm 0,031.$$

Die Hauptresultate beruhen meistens auf den Beobachtungen zur Zeit der Ruhe der Bilder, aber wir müssen im Allgemeinen sagen, dass unter 5 Stationen eine war, wo nur bei fast ruhigen, wenigstens schwach unruhigen Bildern beobachtet wurde; die Fehler im ersten Falle verhalten sich zu den Fehlern im zweiten, im Mittel wie 3:4. Daher kann man im Durchschnitt  $\frac{\Delta\varrho}{\sqrt{2}} = \pm 0,0232$  oder  $\frac{\Delta\varrho}{\sqrt{2}} = \pm 0,032$  als wahrscheinlichen Werth voraussetzen.

Im Bezug auf die gegenseitigen Entfernungen der Messungspunkte, müssen wir im Mittel folgendes annehmen.

20 ( $= N$ ) Stationen entspricht ein Winkel der Verticalen  $= 47'' = C$

24 " " " " " " " "  $= 77$

72 " " " " " " " "  $= 97$

70 " " " " " " " "  $= 125$

39 " " " " " " " "  $= 158$

13 " " " " " " " "  $= 193$

6 " " " " " " " "  $= 239$

Für die Beobachtungen mit dem Theodoliten an den Basis-Signalen kann man den wahrscheinlichen zufälligen Fehler der Zenithdistanzen  $= 2,1$  annehmen; dann wird in dem Endresultate der Reihe dieser Theodoliten-Beobachtungen während der Ruhe der Bilder, der wahrscheinliche Fehler nach folgender Formel gefunden:

$$\text{wahrsch. F.} = \sqrt{\Sigma M^2 C^2 \sin^2 1'' (\Delta Z^2 + \Delta\varrho^2 \times C^2)} N$$

wo  $M = 1219$  engl. Zoll, welches einer Secunde des grössten Kreises der Erde entspricht;  $\Delta Z = 2,1$   $\Delta\varrho = 0,032$  und das Summenzeichen  $\Sigma$  sich auf alle oben gegebenen  $N$  und  $C$  bezieht; folglich bekommen wir für den wahrscheinlichen Fehler des Endresultates dieser Beobachtungsreihen

$$= \pm 5,2 \text{ englische Fuss.}$$

Unsere Hauptsignale  $P$  haben im Durchschnitt eine etwas höhere Lage als die Basis-Signale und um einigermassen den Gang der Refraction an beiden Endpunkten bei den gleichzeitigen reciproken Beobachtungen zu übersehen, kann man die aus diesen Beobachtungen geschlossenen Höhenunterschiede mit den scheinbaren an beiden Endpunkten vergleichen; es war leicht zu bemerken, dass die Zunahme der Refraction an den flacher liegenden Basis-Signalen in der Regel bedeutender ist, als an den Hauptsignalen. Aber weil gerade die Hauptsignale symmetrisch in der Mitte zwischen zwei Basen lagen, so geht daraus hervor, dass in den Niveauunterschieden der Basis-Signale die Wirkung des oben erwähnten Umstandes im Durchschnitt wenn nicht ganz aufgehoben, doch wenigstens sehr geschwächt werden müsse; überhaupt hat jeder constante Fehler, er mag eine Ursache haben welche er wolle, wenn er nur in den Beobachtungen bei den symmetrisch in der Mitte zwischen zwei Basen gelegenen Hauptsignalen stattfindet, keinen Einfluss auf das Endresultat. Unsere zweite und Hauptmethode, die Refractionen zu eliminiren besteht darin, dass man von einem mittleren Standpunkte aus für denselben Zeitpunkt die Zenithdistanzen zweier gleich weit nach beiden Seiten liegenden Signale misst. Erwägen wir nun die Fehlerquellen dieser Methode, so werden wir allerdings bekennen, dass die hauptsächlichste derselben davon herührt, dass in manchen Fällen die Gleichheit der Refractions-Coefficienten nach allen Seiten nicht stattfindet; aber dieser Umstand ist mehr oder weniger auch der andern Methode eigen, indem bei den gleichzeitigen und reciproken Messungen die Annahme der Gleichheit der Strahlenbrechungen an beiden Endpunkten ebenso problematisch ist. Wir haben übrigens schon erwähnt, wie jener Uebelstand durch die Benutzung der wahrscheinlichen, den verschiedenen Zuständen der Ruhe der Bilder entsprechenden Refractions-Coefficienten vermindert

werden kann. Die zweite, dieser Methode eigenthümliche Fehlerquelle ist die, dass die Localitäten häufig nicht erlaubten, die mittleren Standpunkte genau genug in die Mitte zwischen zwei Signale zu setzen; wie gross dieser Fehler sein kann, hängt von der Richtigkeit der angewandten Refractions-Coefficienten ab, und muss im Ganzen sehr klein sein.

Die letztere Methode beruht noch auf der Voraussetzung, dass die Veränderungen in der Refraction der Zeit proportional gehen. Jetzt wollen wir sehn, was für Fehler aus dieser Voraussetzung entstehen können, indem wir dabei annehmen wollen, dass sowohl die Entfernung zwischen zwei Hauptsignalen  $P_n, P_{n+1}$  genau am Basissignal  $\beta_n$  in zwei gleiche Hälften getheilt wird, als auch dass die Refraction für jede bestimmte Zeit nach beiden Seiten gleich ist. Es seien folgende Ablesungen gemacht:

in der Lage I }  $a$  bei der Einstellung nach  $P_n$  zu der Zeit  $T$

des vert. Kreises }  $\alpha$  " " " " $P_{n+1}$  " " " $T+t$

in der Lage II }  $\beta$  " " " " $P_{n+1}$  " " " $T+2t$

in der Lage II }  $b$  " " " " $P_n$  " " " $T+3t$

es sei noch  $\varrho$  der Refractions-Coefficient, welcher dem Zeitmomente  $T = \frac{T+(T+3t)}{2}$  oder  $\frac{T+t+(T+2t)}{2}$  entspricht;  $\Delta', \Delta'', \Delta''' \dots$  die für die Epoche  $T$  und Zeitinterwalle  $t$  geltenden ersten, zweiten, dritten u. s. w. Differenzen des Refractions-Coefficienten  $\varrho$ ; dann werden wir nach den gewöhnlichen Interpolations-Formeln folgende von den Refractionen befreite Ablesungen haben:

in der Lage I.

$$\text{für } P_n \dots a + \varrho C + C \left\{ -1,5 \cdot t \cdot \Delta' + \frac{1,5 \cdot t \cdot (1,5 \cdot t + 1)}{1 \cdot 2} \cdot \Delta'' - \frac{1,5 \cdot t \cdot (1,5 \cdot t + 1) \cdot (1,5 \cdot t + 2)}{1 \cdot 2 \cdot 3} \cdot \Delta''' + \dots \right\}$$

$$P_{n+1} \dots a + \varrho C + C \left\{ -0,5 \cdot t \cdot \Delta' + \frac{0,5 \cdot t \cdot (0,5 \cdot t + 1)}{2} \cdot \Delta'' - \frac{0,5 \cdot t \cdot (0,5 \cdot t + 1) \cdot (0,5 \cdot t + 2)}{2 \cdot 3} \cdot \Delta''' + \dots \right\}$$

in der Lage II.

$$P_{n+1} \dots \beta - \varrho C - C \left\{ +0,5 \cdot t \cdot \Delta' + \frac{0,5 \cdot t \cdot (0,5 \cdot t - 1)}{2} \cdot \Delta'' + \frac{0,5 \cdot t \cdot (0,5 \cdot t - 1) \cdot (0,5 \cdot t - 2)}{2 \cdot 3} \cdot \Delta''' + \dots \right\}$$

$$P_n \dots b - \varrho C - C \left\{ +1,5 \cdot t \cdot \Delta' + \frac{1,5 \cdot t \cdot (1,5 \cdot t - 1)}{2} \cdot \Delta'' + \frac{1,5 \cdot t \cdot (1,5 \cdot t - 1) \cdot (1,5 \cdot t - 2)}{2 \cdot 3} \cdot \Delta''' + \dots \right\}$$

Daraus folgen die wahren Zenithdistanzen

$$\text{von } P_n \dots z = \frac{a-b}{2} + C \cdot \varrho + C \left\{ \frac{(1,5 \cdot t)^2}{2} \Delta'' - \frac{(1,5 \cdot t)^2}{2} \Delta''' + \dots \right\}$$

$$P_{n+1} \dots \xi = \frac{a-\beta}{2} + C \cdot \varrho + C \left\{ \frac{(0,5 \cdot t)^2}{2} \Delta'' - \frac{(0,5 \cdot t)^2}{2} \Delta''' \right\}$$

Die Differenz dieser Zenithdistanzen wird also

$$= \frac{a-\beta}{2} - \frac{(a-b)}{2} - t^2 \left\{ \Delta'' - \Delta''' \right\} C \dots$$

sein.

Wären die zweiten Differenzen constant, oder  $\Delta''' = 0$  von der Zeit der ersten bis zur zweiten Unruhe, so müssten die Resultate aus allen Sätzen untereinander übereinstimmen und nur um eine constante Grösse, welche von dem Gliede  $t^2 \cdot \Delta'' \cdot C$  abhängt, fehlerhaft sein; wenigstens könnten die Schwankungen nicht viel die Grenzen der zufälligen Fehler überschreiten. Dieses ist aber bei uns nicht der Fall, im Gegentheil haben wir bemerkt, dass die an einem Tage bestimmten Höhenunterschiede sich ziemlich bedeutend, und zwar in einem Sinne ändern; so bekommt man z. B. aus den Beobachtungen in  $B^{16}$  die Höhenunterschiede  $P^{17} - P^{16} = -173,0$  Z.

bei der I-ten Unruhe; — 166,0 bei fast völliger Ruhe; — 158,0 bei der II-ten Unruhe. Also muss das Glied, welches vom Quadrate der Zeit abhängt sehr veränderlich sein, und da wir meistens nur drei Sätze der Zenithdistanzen haben, so fehlen uns die hinreichenden Data, um über diese Veränderlichkeit etwas Sichereres zu sagen; ich glaube aber, dass während der Ruhe der Bilder jenes Glied nahezu = 0 ist, und daher keine erheblichen Fehler verursachen kann; welches entschieden zu folgen scheint aus der Uebereinstimmung unserer Reihe mit derjenigen, welche nach gleicher Methode, aber in umgekehrter Ordnung von Herrn Sabler gefunden ist, indem er gleichzeitig von den vorwärts gelegenen Signalen die Zenithdistanzen zu beobachten anfing, während wir von den rückwärts gelegenen anfingen.

Nachdem wir die Fehlerquellen der Methode der Beobachtungen aus der Mitte durchgegangen sind, dürfen wir nicht den grossen Vortheil dieser Methode vor der der correspondirenden Beobachtungen unerwähnt lassen. Wenn wir in den Zenithdistanzen jedes Beobachters constante Fehler voraussetzen, so werden sie doch bei der erstgenannten Methode auf den Höhenunterschied zwischen zwei vorwärts und rückwärts liegenden Signalen, keinen Einfluss haben, insofern dieser aus den Messungen der Zenithdistanzen von entgegengesetzten Signalen folgt; bei der zweiten Methode aber verhält sich dieses ganz anders. Bei uns, wo an drei verschiedenen Punkten zugleich die correspondirenden Zenithdistanzen gemessen wurden, ist es besonders wichtig die Ursachen der constanten Fehler bei den 8zölligen Theodoliten, mit welchen immer an den beiden äussersten Standpunkten beobachtet wurde, scharf zu untersuchen. So z. B. kann schon eine sehr kleine Biegung des Fernrohrs, etwa von dem Werthe eines Bruches der Secunde mehrere Fuss Unsicherheit in dem Endresultate der Nivellirung aus den gleichzeitigen und gegenseitigen Beobachtungen verursachen, und ohne eine solche Untersuchung könnte die Anhäufung der Fehler nur dann vermieden werden, wenn man übereingekommen wäre, jeden der zwei Theodoliten bald bei den vorwärts und bald bei den rückwärts gelegenen Stationen, regelmässig abwechselnd zu brauchen; aber obgleich ein solches Verfahren vielleicht das allersicherste ist, so wird man doch nicht läugnen, dass dieses in der Praxis oft Schwierigkeiten hat.

#### IV. Höhenbestimmungen aus den Zenithdistanzen von Fuss.

Ganz auf dieselbe Weise wie H. Sawitsch hat auch H. Fuss seine von denselben Standpunkten aus mit einem ähnlichen 8zölligen Theodoliten gemessenen Zenithdistanzen, zur Gewinnung eines unabhängigen Resultates der Nivellirung berechnet, mit Benutzung derselben Argumente und Coefficienten der terrestrischen Refraction welche p. 320 gegeben sind. Die Resultate seiner Rechnungen, für welche also alle Bemerkungen und Schlussfolgerungen des vorigen Abschnittes Platz finden, sind in folgendem Tableau enthalten, dem vorhergehenden ganz analog. Nur gibt H. Fuss die Refractionen schon in Zolle verwandelt. Die dritte Columnne welche den Zustand der Bilder, und die letzte, welche den angewandten Refr. Coeff. enthält, giebt in den wenigen Fällen wo dieselben nach beiden Signalen nicht gleich waren, zwei nebeneinander stehende Resultate an, von denen dasjenige links dem nachfolgenden Signal  $P^n$ , rechts dem vorangehenden  $P^{n+1}$  gehört. Die Bezeichnung des Zustandes der Bilder ist abgekürzt, und nach dem Früheren wohl leicht verständlich, nämlich: r. bedeutet ruhig; f. r. fast ruhig u. s. w.

	3 24	1	1037	+ 8501	+ 119	1152	+ 1200	+ 003
	3 50	K.	0 020	+ 8193	+ 118	0 0500	+ 100	+ 003
10. Joz.	3 28	V.	1536	+ 2139	+ 81	1130	+ 1130	+ 003
11. Joz.	3 30	W.	0 94.	0 94.	0	0	0	0
12. Joz.	3 38	V.	1536	+ 2139	+ 81	1130	+ 1130	+ 003
13. Joz.	5 38	V.	1536	+ 2139	+ 81	1130	+ 1130	+ 003
	3 40	V.	1513	+ 1215	+ 67	1101	+ 2181	+ 003
14. Joz.	3 8	V.	8893	+ 1182	+ 68	3220	+ 2130	+ 002
	3 32	V.	1053	+ 1053	1813	0 0603	+ 1113	+ 003
15. Joz.	3 50	V.	0 9809	+ 1053	+ 30	0	0	0
	3 22	V.	1013	- 1158	+ 08	- 312	+ 3812	+ 003
16. Joz.	3 50	V.	0 9826	- 1136	+ 08	0 0341	+ 3803	+ 003
	3 38	V.	1013	- 1158	+ 08	- 312	+ 3812	+ 003
17. Joz.	3 38	V.	1013	- 1158	+ 08	0 0341	+ 3803	+ 003
	3 38	V.	1013	- 1158	+ 08	0 0341	+ 3803	+ 003
18. Joz.	3 38	V.	1013	- 1158	+ 08	0 0341	+ 3803	+ 003
	3 38	V.	1013	- 1158	+ 08	0 0341	+ 3803	+ 003
19. Joz.	3 38	V.	1013	- 1158	+ 08	0 0341	+ 3803	+ 003
	3 38	V.	1013	- 1158	+ 08	0 0341	+ 3803	+ 003
20. Joz.	3 38	V.	1013	- 1158	+ 08	0 0341	+ 3803	+ 003
	3 38	V.	1013	- 1158	+ 08	0 0341	+ 3803	+ 003
21. Joz.	3 38	V.	1013	- 1158	+ 08	0 0341	+ 3803	+ 003
	3 38	V.	1013	- 1158	+ 08	0 0341	+ 3803	+ 003
22. Joz.	3 38	V.	1013	- 1158	+ 08	0 0341	+ 3803	+ 003
	3 38	V.	1013	- 1158	+ 08	0 0341	+ 3803	+ 003
23. Joz.	3 38	V.	1013	- 1158	+ 08	0 0341	+ 3803	+ 003
	3 38	V.	1013	- 1158	+ 08	0 0341	+ 3803	+ 003
24. Joz.	3 38	V.	1013	- 1158	+ 08	0 0341	+ 3803	+ 003
	3 38	V.	1013	- 1158	+ 08	0 0341	+ 3803	+ 003
25. Joz.	3 38	V.	1013	- 1158	+ 08	0 0341	+ 3803	+ 003
	3 38	V.	1013	- 1158	+ 08	0 0341	+ 3803	+ 003
26. Joz.	3 38	V.	1013	- 1158	+ 08	0 0341	+ 3803	+ 003
	3 38	V.	1013	- 1158	+ 08	0 0341	+ 3803	+ 003
27. Joz.	3 38	V.	1013	- 1158	+ 08	0 0341	+ 3803	+ 003
	3 38	V.	1013	- 1158	+ 08	0 0341	+ 3803	+ 003
28. Joz.	3 38	V.	1013	- 1158	+ 08	0 0341	+ 3803	+ 003
	3 38	V.	1013	- 1158	+ 08	0 0341	+ 3803	+ 003
29. Joz.	3 38	V.	1013	- 1158	+ 08	0 0341	+ 3803	+ 003
	3 38	V.	1013	- 1158	+ 08	0 0341	+ 3803	+ 003
30. Joz.	3 38	V.	1013	- 1158	+ 08	0 0341	+ 3803	+ 003
	3 38	V.	1013	- 1158	+ 08	0 0341	+ 3803	+ 003
31. Joz.	3 38	V.	1013	- 1158	+ 08	0 0341	+ 3803	+ 003
	3 38	V.	1013	- 1158	+ 08	0 0341	+ 3803	+ 003
32. Joz.	3 38	V.	1013	- 1158	+ 08	0 0341	+ 3803	+ 003
	3 38	V.	1013	- 1158	+ 08	0 0341	+ 3803	+ 003
33. Joz.	3 38	V.	1013	- 1158	+ 08	0 0341	+ 3803	+ 003
	3 38	V.	1013	- 1158	+ 08	0 0341	+ 3803	+ 003
34. Joz.	3 38	V.	1013	- 1158	+ 08	0 0341	+ 3803	+ 003
	3 38	V.	1013	- 1158	+ 08	0 0341	+ 3803	+ 003
35. Joz.	3 38	V.	1013	- 1158	+ 08	0 0341	+ 3803	+ 003
	3 38	V.	1013	- 1158	+ 08	0 0341	+ 3803	+ 003
36. Joz.	3 38	V.	1013	- 1158	+ 08	0 0341	+ 3803	+ 003
	3 38	V.	1013	- 1158	+ 08	0 0341	+ 3803	+ 003
37. Joz.	3 38	V.	1013	- 1158	+ 08	0 0341	+ 3803	+ 003
	3 38	V.	1013	- 1158	+ 08	0 0341	+ 3803	+ 003
38. Joz.	3 38	V.	1013	- 1158	+ 08	0 0341	+ 3803	+ 003
	3 38	V.	1013	- 1158	+ 08	0 0341	+ 3803	+ 003
39. Joz.	3 38	V.	1013	- 1158	+ 08	0 0341	+ 3803	+ 003
	3 38	V.	1013	- 1158	+ 08	0 0341	+ 3803	+ 003
40. Joz.	3 38	V.	1013	- 1158	+ 08	0 0341	+ 3803	+ 003
	3 38	V.	1013	- 1158	+ 08	0 0341	+ 3803	+ 003
41. Joz.	3 38	V.	1013	- 1158	+ 08	0 0341	+ 3803	+ 003
	3 38	V.	1013	- 1158	+ 08	0 0341	+ 3803	+ 003
42. Joz.	3 38	V.	1013	- 1158	+ 08	0 0341	+ 3803	+ 003
	3 38	V.	1013	- 1158	+ 08	0 0341	+ 3803	+ 003
43. Joz.	3 38	V.	1013	- 1158	+ 08	0 0341	+ 3803	+ 003
	3 38	V.	1013	- 1158	+ 08	0 0341	+ 3803	+ 003
44. Joz.	3 38	V.	1013	- 1158	+ 08	0 0341	+ 3803	+ 003
	3 38	V.	1013	- 1158	+ 08	0 0341	+ 3803	+ 003
45. Joz.	3 38	V.	1013	- 1158	+ 08	0 0341	+ 3803	+ 003
	3 38	V.	1013	- 1158	+ 08	0 0341	+ 3803	+ 003
46. Joz.	3 38	V.	1013	- 1158	+ 08	0 0341	+ 3803	+ 003
	3 38	V.	1013	- 1158	+ 08	0 0341	+ 3803	+ 003
47. Joz.	3 38	V.	1013	- 1158	+ 08	0 0341	+ 3803	+ 003
	3 38	V.	1013	- 1158	+ 08	0 0341	+ 3803	+ 003
48. Joz.	3 38	V.	1013	- 1158	+ 08	0 0341	+ 3803	+ 003
	3 38	V.	1013	- 1158	+ 08	0 0341	+ 3803	+ 003
49. Joz.	3 38	V.	1013	- 1158	+ 08	0 0341	+ 3803	+ 003
	3 38	V.	1013	- 1158	+ 08	0 0341	+ 3803	+ 003
50. Joz.	3 38	V.	1013	- 1158	+ 08	0 0341	+ 3803	+ 003
	3 38	V.	1013	- 1158	+ 08	0 0341	+ 3803	+ 003
51. Joz.	3 38	V.	1013	- 1158	+ 08	0 0341	+ 3803	+ 003
	3 38	V.	1013	- 1158	+ 08	0 0341	+ 3803	+ 003
52. Joz.	3 38	V.	1013	- 1158	+ 08	0 0341	+ 3803	+ 003
	3 38	V.	1013	- 1158	+ 08	0 0341	+ 3803	+ 003
53. Joz.	3 38	V.	1013	- 1158	+ 08	0 0341	+ 3803	+ 003
	3 38	V.	1013	- 1158	+ 08	0 0341	+ 3803	+ 003
54. Joz.	3 38	V.	1013	- 1158	+ 08	0 0341	+ 3803	+ 003
	3 38	V.	1013	- 1158	+ 08	0 0341	+ 3803	+ 003
55. Joz.	3 38	V.	1013	- 1158	+ 08	0 0341	+ 3803	+ 003
	3 38	V.	1013	- 1158	+ 08	0 0341	+ 3803	+ 003
56. Joz.	3 38	V.	1013	- 1158	+ 08	0 0341	+ 3803	+ 003
	3 38	V.	1013	- 1158	+ 08	0 0341	+ 3803	+ 003
57. Joz.	3 38	V.	1013	- 1158	+ 08	0 0341	+ 3803	+ 003
	3 38	V.	1013	- 1158	+ 08	0 0341	+ 3803	+ 003
58. Joz.	3 38	V.	1013	- 1158	+ 08	0 0341	+ 3803	+ 003
	3 38	V.	1013	- 1158	+ 08	0 0341	+ 3803	+ 003
59. Joz.	3 38	V.	1013	- 1158	+ 08	0 0341	+ 3803	+ 003
	3 38	V.	1013	- 1158	+ 08	0 0341	+ 3803	+ 003
60. Joz.	3 38	V.	1013	- 1158	+ 08	0 0341	+ 3803	+ 003
	3 38	V.	1013	- 1158	+ 08	0 0341	+ 3803	+ 003
61. Joz.	3 38	V.	1013	- 1158	+ 08	0 0341	+ 3803	+ 003
	3 38	V.	1013	- 1158	+ 08	0 0341	+ 3803	+ 003
62. Joz.	3 38	V.	1013	- 1158	+ 08	0 0341	+ 3803	+ 003
	3 38	V.	1013	- 1158	+ 08	0 0341	+ 3803	+ 003
63. Joz.	3 38	V.	1013	- 1158	+ 08	0 0341	+ 3803	+ 003
	3 38	V.	1013	- 1158	+ 08	0 0341	+ 3803	+ 003
64. Joz.	3 38	V.	1013	- 1158	+ 08	0 0341	+ 3803	+ 003
			</					



Datum	Zeit	Zustand der Bilder	$\log D \sin 1''$ und $C$	Erhebung über $\beta^n$ in Zollen	$\log D \sin 1''$ und $C$	Refraction	Erhebung über $\beta^n$ in Zollen	Refraktion	Relative Erhebung $p^n + P^n$	Mittel mit dem gehörigen Gewichte	Erhebung über dem Asowischen Meere	Augenommener Refl. Coeff.
1836												
21. Nov.	3 <sup>h</sup> 17'	f. r.	9,9330	- 26,0	+ 18,5	9,9430	+ 212,4	+ 19,5	+ 237,5	+ 1159,4	+ 0,45	+
						149,0						
25. Nov.	2 55	r. r.	9,9633	+ 324,5	+ 12,9	0,0572	+ 2416,6	+ 19,7	+ 2085,3	+ 3241,2	+ 0,09	- 0,03
	3 36	r. r.	155,7	+ 326,7	+ 12,9	193,5	+ 2414,7	+ 19,7	+ 2078,2	+ 0,09	+ 0,09	
1837												
29. Nov.	2 22	unr. unr.	9,5740	+ 1124,4	- 0,7	9,5302	- 779,3	- 0,5	- 1903,9	- 1342,7	- 0,03	
	3 16	r. r.	63,6	+ 1125,1	+ 2,0	57,5	- 772,5	+ 1,5	- 1897,1	- 1898,5	+ 0,09	
6. April	3 0	r. r.	9,3979	- 592,3	+ 0,8	9,6454	+ 708,4	+ 2,5	+ 1299,0	+ 2641,7	+ 0,08	
			42,3			74,9						
7. April	4 57	r. r.	9,69254	- 84,0	+ 3,7	9,77257	+ 571,9	+ 5,3	+ 644,3	+ 3284,0	+ 0,09	
	5 36	r. r.	83,4	- 68,9	+ 3,7	100,4	+ 575,7	+ 5,3	+ 642,9	+ 0,09	+ 0,09	
8. April	4 20	unr. unr.	9,78272	+ 80,1	- 4,3	9,87371	+ 50,8	- 6,5	- 27,1	- 42,6	3241,4	- 0,07
	5 8	r. r.	102,7	+ 100,4	+ 5,5	126,6	+ 61,8	+ 8,5	+ 41,7	- 47,4	+ 0,09	
	5 57	r. r.		+ 110,2	+ 5,5		+ 65,2	+ 8,5	+ 47,4		+ 0,09	
10. April	3 48	st. unr. - unr.	9,75762	+ 1045,0	- 6,6	9,89829	+ 1074,8	- 3,2	+ 26,4		- 0,42	- 0,03
	4 38	unr. - f. r.	97,0	+ 1058,2	- 1,7	134,0	+ 1077,5	+ 2,1	+ 15,5		- 0,03	+ 0,02
	5 28	f. r. - r.		+ 1061,8	+ 0,8		+ 1079,1	+ 9,6	+ 8,5	+ 9,5	3250,9	+ 0,02
	6 16	f. r. - r.		+ 1087,4	+ 8,4		+ 1091,3	+ 9,6	+ 2,7		+ 0,45	+ 0,09



Datum	Zeit	Zustand der Bilder	$\log D \sin A''$ und $C$	Erhebung über $\beta^n$ in Zollen	$\log D \sin A''$ und $C$	Erhebung über $\beta^n$ in Zollen	Refraction in Zollen	Relative Erhebung $P^n + P^n_{n+1}$	Mittel mit dem gehörigen Gewichte	Erhebung über dem Asowschen Meere	Angenommener Refr. Coeff.
1837			$P^{22}$								
22. April	3 <sup>h</sup> 47'	f. r.	9,78131	+ 391,7	+ 0,6	9,40376	- 99,3	+ 0,1	- 490,5	+ 0,01	
	4 37	r.	102,5	+ 393,3	+ 5,6	43,0	- 97,5	+ 1,0	- 486,2	+ 0,09	
	5 27	schw. unr.		+ 401,0	+ 12,4		- 88,6	+ 2,1	- 479,3	+ 0,20	
			$P^{23}$								
24. April	4 37	f. r.	9,71640	+ 646,5	+ 0,5	0,014190	- 268,3	+ 2,0	- 916,3	+ 0,01	
	5 27	r.	88,3	+ 665,6	+ 4,2	186,6	- 257,9	+ 18,5	- 937,8	+ 0,09	
	6 9	f. r.		+ 683,5	+ 6,9		- 246,0	+ 30,8	- 953,4	+ 0,15	
			$P^{24}$								
25. April	4 37	st. unr.	9,92560	+ 109,4	- 14,4	9,93765	+ 642,4	- 15,3	+ 533,6	- 0,12	
	5 27	r.	142,8	+ 135,3	+ 10,7	146,8	+ 657,4	+ 11,4	+ 521,4	+ 0,09	
			$P^{25}$								
27. April	3 47	f. r.	9,77700	+ 85,0	+ 1,2	9,78682	+ 505,1	+ 1,2	+ 420,4	+ 0,02	
	5 27	schw. unr.	101,5	+ 66,0	- 0,6	103,8	+ 500,4	- 0,6	+ 434,2	- 0,01	
	6 9	r.		+ 82,0	+ 5,5		+ 507,4	+ 5,7	+ 425,5	+ 0,09	
			$P^{26}$								
29. April	3 50	r.	9,71020	- 455,4	+ 4,0	9,72632	+ 673,8	+ 4,3	+ 1428,6	+ 0,09	
	4 40	r.	87,0	- 455,0	+ 4,0	90,3	+ 679,8	+ 4,3	+ 1434,5	+ 0,09	
	5 30	r.		- 450,9	+ 4,0		+ 683,6	+ 4,3	+ 1434,2	+ 0,09	
			$P^{27}$								
2 Mai	3 47	r.	9,82002	+ 1130,5	+ 6,7	9,79850	- 344,5	+ 6,0	- 1474,3	+ 0,09	
	4 37	r.	112,1	+ 1135,5	+ 6,7	106,6	- 343,7	+ 6,0	- 1478,5	+ 0,09	
	5 27	r.		+ 1141,0	+ 6,7		- 344,5	+ 6,0	- 1481,8	+ 0,09	
			$P^{28}$								

Datum	Zeit	Zustand der Bilder	$\log D \sin A''$ und $C$	Erhebung über $\beta''$ in Zollen	Refraction in Zollen	$\log D \sin C''$ und $C$	Erhebung über $\beta''$ in Zollen	Refraction in Zollen	Relative Erhebung $P''+1 - P''$	Mittel mit dem gehörigen Gewichte	Erhebung über dem Asowischen Meere	Angenommener Refr. Coeff.
$P^{28}$												
1837												
5. Mai	3 <sup>h</sup> 47'	st. unr.	9,96550	+ 547,5	- 17,3	9,91825	+ 74,8	- 14,0	- 476,0			- 0,12
	4 37	f. r.	156, <sup>3</sup>	+ 574,5	+ 1,4	140, <sup>2</sup>	+ 80,9	+ 1,2	- 493,5			+ 0,01
	5 27	r.		+ 623,4	+ 13,0		+ 102,5	+ 10,4	- 518,0	- 513,8	2986, <sup>4</sup>	+ 0,09
	6 9	f. r.		+ 655,6	+ 21,5		+ 142,4	+ 17,4	- 539,4			+ 0,15
$P^{29}$												
6. Mai	3 47	r.	9,86471	+ 1054,5	+ 8,2	9,79180	+ 698,8	+ 5,8	- 353,3			+ 0,09
	4 37	r.	123,9	+ 1058,7	+ 8,2	104,8	+ 703,8	+ 5,8	- 352,7	- 354,3	2632, <sup>1</sup>	+ 0,09
	5 27	r.		+ 1058,3	+ 8,2		+ 699,1	+ 5,8	- 357,0			+ 0,09
$P^{30}$												
8. Mai	3 47	r.	9,74764	+ 116,5	+ 4,8	9,90790	- 126,5	+ 9,9	- 248,1			+ 0,09
	4 37	r.	94,9	+ 115,8	+ 4,8	137,2	- 125,6	+ 9,9	- 246,5	- 245,9	2386,2	+ 0,09
	5 27	r.		+ 116,4	+ 4,8		- 121,7	+ 9,9	- 243,1			+ 0,09
$P^{31}$												
9. Mai	3 47	r.	9,70830	+ 158,7	+ 4,0	9,70900	+ 134,5	+ 4,0	- 24,2			+ 0,09
	4 37	r.	86,7	+ 160,8	+ 4,0	86,8	+ 136,7	+ 4,0	- 24,1	- 24,0	2362,2	+ 0,09
	5 27	r.		+ 162,8	+ 4,0		+ 139,4	+ 4,0	- 23,7			+ 0,09
$P^{32}$												
10. Mai	3 47	st. unr.	9,76490	+ 232,6	- 6,9	9,82005	+ 273,5	- 8,8	+ 44,8			- 0,12
	4 37	f. r.	98,8	+ 239,1	+ 0,5	112,1	+ 296,9	+ 0,7	+ 57,6			+ 0,01
	5 27	r.		+ 249,4	+ 5,2		+ 316,6	+ 6,7	+ 65,7	+ 63,4	2425,6	+ 0,09
	6 4	f. r.		+ 251,0	+ 8,6		+ 325,3	+ 11,0	+ 71,9			+ 0,15
$P^{33}$												
11. Mai	3 47	f. r. — st. unr.	9,81950	+ 166,7	+ 0,8	9,81480	+ 266,2	- 8,7	+ 109,0			+ 0,01 - 0,12
1838	4 37	r. — f. r.	111,9	+ 171,0	+ 6,6	110,7	+ 275,3	+ 0,8	+ 109,1	+ 106,3	2531,9	+ 0,09 + 0,01
	5 27	r.		+ 174,5	+ 6,6		+ 277,8	+ 6,6	+ 103,3			+ 0,09

Datum	Zeit	Zustand der Elder	$\log D \sin A''$ und $C$	Erhebung über $\beta_n$ in Zollen	$\log D \sin A''$ und $C$	Refraction in Zollen	Refraction über $\beta_n$ in Zollen	Refraction in Zollen	Mittel mit dem gehörigen Gewichte	Erhebung über dem Asowschen Meere	Angenommener Refr. Coeff.
1837											
13. Mai	3 <sup>h</sup> 47'	f. r.	9,92130	+ 16,4	+ 4,1	9,51980	+ 384,2	+ 0,2	+ 368,7	+ 0,01	
	4 37	r.	141,6	+ 23,9	+ 10,6	56,2	+ 386,5	+ 1,6	+ 371,6	+ 0,09	
	5 27	r.		+ 47,0	+ 10,6		+ 393,5	+ 1,6	+ 355,5	+ 0,09	
	6 9	f. r.		+ 80,3	+ 17,6		+ 398,7	+ 2,7	+ 333,3	+ 0,15	
14. Mai	3 47	unr.	0,03782	- 646,3	- 6,0	0,00763	+ 1859,3	- 5,2	+ 2504,6	- 0,03	
	4 37	r.	185,2	- 642,5	+ 18,2	172,7	+ 1875,9	+ 15,8	+ 2520,8	+ 0,09	
	5 27	r.		- 627,3	+ 18,2		+ 1909,1	+ 15,8	+ 2338,8	+ 0,09	
	6 9	f. r.		- 611,1	+ 30,3		+ 1918,2	+ 26,4	+ 2533,2	+ 0,15	
16. Mai	3 47	f. r.	9,99800	+ 924,2	+ 1,7	9,91691	+ 496,9	+ 1,1	- 426,7	+ 0,01	
	4 37	f. r.	168,8	+ 940,0	+ 1,7	140,1	+ 496,9	+ 1,1	- 442,5	+ 0,01	
	5 27	f. r.		+ 955,4	+ 25,3		+ 498,1	+ 17,3	- 449,3	+ 0,15	
	6 9	r.		+ 945,7	+ 15,4		+ 508,4	+ 10,3	- 432,5	+ 0,09	
17. Mai	4 37	f. r. — unr.	9,91757	+ 429,3	+ 1,1	0,00625	+ 1166,5	- 5,2	+ 743,5	+ 0,01	- 0,03
	5 27	f. r. — unr.	140,3	+ 430,6	+ 1,1	172,0	+ 1173,9	- 5,2	+ 749,6	+ 0,01	- 0,03
	6 9	r.		+ 441,2	+ 10,1		+ 1227,3	+ 15,7	+ 780,5	+ 0,09	
18. Mai	3 47	f. r.	0,02644	- 242,8	+ 1,8	0,01105	+ 1055,7	+ 1,7	+ 1298,6	+ 0,01	
	4 37	r.	180,3	- 226,8	+ 17,1	173,9	+ 1083,7	+ 16,0	+ 1341,7	+ 0,09	
	5 27	r.		- 205,7	+ 17,1		+ 1113,7	+ 16,0	+ 1320,6	+ 0,09	
	6 9	f. r.		- 191,6	+ 28,8		+ 1136,6	+ 26,7	+ 1330,0	+ 0,15	
19. Mai	3 47	schw. unr.	9,62913	- 9,5	- 0,3	9,86050	- 57,9	- 0,9	- 47,8	- 0,01	
	4 37	f. r.	72,4	- 6,4	+ 0,3	123,0	- 53,6	+ 0,8	- 47,7	+ 0,01	
	5 27	r.		+ 0,3	+ 2,7		- 49,2	+ 8,0	- 54,8	+ 0,09	

\*



Datum	Zeit	Zustand der Bilder	$\log D \sin 1''$ und $C$	Erhebung über $\beta_n^m$ in Zollen	Refraktion in Zollen	$\log D \sin 1''$ und $C$	Erhebung über $\beta_n^m$ in Zollen	Refraktion in Zollen	Refraction in Zollen	Refraction in Zollen	Mittel mit dem gehörigen Gewichte	Erhebung über dem Asowschen Meere	Angenommener Refr. Coeff.
1837													
31. Mai	3 <sup>h</sup> 47'	unr.	9,99328	- 2990,0	- 4,9	9,72473	+ 1248,0	- 1,4	+ 3334,5	+ 3336,6	+ 3337,8	18816,8	- 0,03
	4 37	f. r.	166,9	- 2980,0	+ 1,7	89,9	+ 1255,4	+ 0,5	+ 3336,6	+ 3339,2	+ 3339,2	+ 0,01	+ 0,09
	5 27	r.	- 2964,6	+ 14,8		+ 1264,1	+ 4,3						+ 0,09
1. Juni	3 47	r.	9,97207	- 1652,4	+ 13,4	9,68088	+ 1016,0	+ 3,4	+ 2678,4	+ 2680,4	+ 21497,2	21497,2	+ 0,09
	4 37	schw. unr.	159,0	- 1636,0	+ 29,7	81,3	+ 1028,4	+ 7,8	+ 2686,3	+ 2686,3	+ 2686,3	+ 0,20	+ 0,20
4. Juni	4 37	f. r.	9,63139	+ 2258,5	+ 0,3	9,81535	+ 3077,4	+ 0,7	+ 818,5	+ 814,5	+ 815,8	22313,0	+ 0,01
	5 27	r.	72,5	+ 2266,8	+ 2,8	110,9	+ 3085,0	+ 6,5	+ 814,5	+ 814,5	+ 814,5	+ 0,09	+ 0,09
6. Juni	3 47	r.	9,72170	+ 2610,0	+ 4,1	9,70123	- 1312,5	+ 3,7	- 3922,4	- 3942,8	- 3930,6	18382,4	+ 0,09
	4 37	f. r.	89,2	+ 2614,4	+ 0,5	84,8	- 1328,5	+ 0,4	- 3942,8	- 3933,0	- 3933,0	- 3933,0	+ 0,09
	5 27	r.	+ 2614,5	+ 4,1		+ 1318,9	+ 3,7						+ 0,09
8. Juni	4 37	r.	0,03513	+ 4640,6	+ 17,8	9,80668	- 1485,1	+ 6,1	- 6114,0	- 6109,8	- 6112,1	12270,3	+ 0,09
	5 27	r.	183,4	+ 4645,2	+ 17,8	108,2	- 1476,3	+ 6,1	- 6114,0	- 6112,6	- 6112,6	- 6112,6	+ 0,09
	6 9	r.	+ 4653,7	+ 17,8		+ 1470,6	+ 6,1						+ 0,09
11. Juni	4 37	f. r.	9,76490	+ 1555,8	+ 0,5	9,49553	+ 2250,1	+ 0,1	+ 694,7	+ 689,7	+ 694,2	12961,5	+ 0,01
	5 27	r.	98,5	+ 1564,0	+ 5,1	53,0	+ 2250,0	+ 1,4	+ 690,9	+ 690,9	+ 690,9	+ 690,9	+ 0,09
	6 7	r.	+ 1564,6	+ 5,1		+ 2251,8	+ 1,4						+ 0,09
17. Juni	4 37	f. r.	9,63132	+ 618,0	+ 0,3	9,90893	+ 992,2	+ 1,1	+ 373,4	+ 373,4	+ 373,4	13334,3	+ 0,01
	5 27	f. r.	72,4	+ 620,5	+ 0,3	137,3	+ 994,7	+ 1,1	+ 373,4	+ 373,4	+ 373,4	+ 373,4	+ 0,01
	6 9	r.	+ 627,6	+ 2,7		+ 1007,2	+ 10 0	+ 10 0	+ 372,3	+ 372,3	+ 372,3	+ 372,3	+ 0,09

Datum	Zeit	Zustand der Bilder	$\log D \sin 1''$ und $C$	Erhebung über $\beta_n^n$ in Zollen	Refraktion in Zollen	$\log D \sin 1''$ und $C$	Erhebung über $\beta_n^n$ in Zollen	Refraction in Zollen	Relative Erhebung $P^n + P^n - P^n$	Mittel mit dem gehörigen Gewichte	Erhebung über dem Asowschen Meere	Angenommener Refr. Coeff.
$P^{52}$												
1837												
18. Juni	3 <sup>h</sup> 47'	f. r.	9,95370	+ 1087,5	+ 1,4	9,87739	+ 4641,1	+ 0,9	+ 3554,4	+ 0,01		
	4 37	r.	158,8	+ 1096,1	+ 12,3	127,6	+ 4644,6	+ 8,5	+ 3552,0	+ 0,09		
	5 27	r.	+ 1102,7	+ 12,3		+ 4646,6	+ 8,5	+ 3547,5	+ 0,09			
$P^{53}$												
19. Juni	4 37	schw. unr.	9,04560	- 35,9	0,0	9,19835	+ 1472,9	- 0,1	+ 1508,9	- 0,01		
	5 27	r.	48,8	- 35,9	+ 0,2	26,7	+ 1472,6	+ 0,3	+ 1508,4	+ 0,09		
$P^{54}$												
20. Juni	4 37	unr.	9,93853	+ 4747,8	- 4,4	9,87534	- 1520,7	- 2,8	- 6269,8	- 0,03		
	5 27	r.	153,7	+ 4758,9	+ 12,5	126,9	- 1516,4	+ 8,5	- 6271,2	+ 0,09		
	6 9	r.	+ 4761,4	+ 12,5		- 1508,5	+ 8,5	- 6265,5	+ 0,09			
$P^{55}$												
21. Juni	3 47	unr.	9,93824	+ 512,2	- 3,7	9,88940	+ 874,9	+ 3,0	+ 362,0	- 0,03		
	4 37	f. r.	146,8	+ 517,6	+ 1,2	134,2	+ 886,1	+ 1,0	+ 368,6	+ 0,01		
	5 27	r.	+ 527,4	+ 11,3		+ 900,7	+ 9,1	+ 375,5	+ 0,09			
$P^{56}$												
23. Juni	4 37	st. unr. — f. r.	9,48051	- 30,8	- 1,8	9,91860	- 816,7	+ 1,1	- 788,8	- 0,12	+ 0,01	
	5 27	f. r.	51,2	- 19,8	+ 0,1	140,4	- 811,7	+ 1,4	- 792,8	+ 0,01		
	6 9	r.		- 17,3	+ 1,3		- 806,8	+ 10,3	- 798,5	+ 0,09		
$P^{57}$												
24. Juni	4 37	f. r. — st. unr.	9,87980	- 282,3	+ 1,0	9,87636	+ 1527,6	- 11,3	+ 1822,2	+ 0,01	- 0,42	
	5 27	r. — f. r.	128,4	- 284,8	+ 8,6	127,5	+ 1542,1	+ 0,8	+ 1834,7	+ 1835,4	+ 0,09	+ 0,01
	6 9	r.	+ 284,0	+ 8,6		+ 1554,0	+ 8,4	+ 1838,2	+ 0,09			

Datum	Zeit	Zustand der Bilder	$\log D \sin 1''$ und $C$	Erhebung über $\beta^n$ in Zollen	$\log D \sin 1''$ und $C$	Refraction in Zollen	Erhebung über $\beta^n$ in Zollen	Refraction in Zollen	Relative Erhebung $P^{n+1} - P^n$	Mittel mit dem gehörigen Gewicht	Erhebung über den Asowschen Meere	Angenommener Refr. Coeff.
1837												
25. Juni	3 <sup>h</sup> 47'	schw. unr.	9,80434	- 1319,0	- 0,6	0,02084	+ 7144,4	- 1,8	+ 8464,4	+ 0,01	- 0,01	
	4 37	f. r.	107,8	- 1310,6	+ 0,6	177,7	+ 7154,1	+ 1,8	+ 8460,5	+ 0,01	+ 0,01	
	5 27	r.		- 1309,0	+ 6,0		+ 7149,3	+ 16,6	+ 8447,7	+ 0,09	+ 0,09	
26. Juni	3 47	f. r. — st. unr.	9,81915	+ 1636,4	+ 0,7	9,87701	+ 1346,4	- 11,5	- 278,1	+ 0,01	- 0,12	
	4 37	schw. unr.-f.r.	111,8	+ 1626,0	- 0,7	127,7	+ 1346,0	+ 1,0	- 281,7	- 0,01	+ 0,01	
	5 27	r.		+ 1607,2	+ 6,6		+ 1336,3	+ 8,5	- 272,8	+ 0,09	+ 0,09	
28. Juni	4 37	f. r.	9,91127	+ 3575,9	+ 1,1	9,85017	+ 2296,7	+ 0,9	- 1279,0	+ 0,01		
	5 27	r.	138,3	+ 3580,5	+ 9,9	120,4	+ 2296,3	+ 7,5	- 1281,8	- 1278,6	+ 0,09	
	5 58	r.		+ 3584,7	+ 9,9		+ 2307,0	+ 7,5	- 1275,3	+ 0,09	+ 0,09	
30. Juni	3 47	unr.	9,73094	+ 6473,4	- 1,4	9,76480	- 575,1	- 1,7	- 7048,2	- 0,03		
	4 37	f. r.	91,3	+ 6475,5	+ 0,5	98,7	- 572,9	+ 0,6	- 7048,5	- 7048,7	+ 0,01	
	5 27	r.		+ 6480,3	+ 4,3		- 577,8	+ 5,1	- 7048,9	- 7048,9	+ 0,09	
1. Juli	6 0	r.	9,84568	- 2418,1	+ 7,4	9,63294	+ 466,2	+ 2,7	+ 2889,0	+ 2889,0	+ 0,09	
			118,9			72,8						
2. Juli	3 47	r.	0,04520	+ 400,0	+ 18,8	9,80020	+ 271,0	+ 6,0	- 116,2	+ 0,09		
	4 37	r.	188,2	+ 402,1	+ 18,8	106,9	+ 267,5	+ 6,0	- 121,8	- 117,5	+ 0,09	
	5 27	r.		+ 404,0	+ 18,8		+ 276,6	+ 6,0	- 114,6	- 114,6	+ 0,09	



Datum	Zeit	Zustand der Bilder	$\log D \sin 1''$ und $C$	Erhebung über $\beta''_n$ in Zollen	$\log D \sin 1''$ und $C$	Refraction in Zollen	$\log D \sin 1''$ und $C$	Erhebung über $\beta''_n$ in Zollen	Refraktion in Zollen	Mittel mit dem gehörigen Gewichte	Erhebung über dem Asowischen Meere	Angenommener Relr. Coeff.
1837												
10. Juli	4 <sup>h</sup> 37'	f. r.	9,66675	+ 1448,3	+ 0,3	0,08124	- 3724,9	+ 2,5	- 5175,4	+ 0,01		
	5 27	f. r.	78,0	+ 1449,3	+ 0,3	204, <sup>4</sup> <sub>4</sub>	- 3729,2	+ 2,5	- 5180,7	+ 0,01		
	6 9	r.		+ 1461,2	+ 3,2	- 3710,7	+ 22,2	- 5190,9		+ 0,09		
10. Aug.	4 37	f. r.	9,65834	+ 4427	+ 0,3	9,65750	+ 1556,9	+ 0,3	+ 1114,2	+ 0,01		
	5 27	r.	77,2	+ 4514	+ 3,2	77,0	+ 1560,4	+ 3,2	+ 1109,0	+ 0,09		
	6 9	umr.		+ 4649	+ 7,0	+ 1571,1	+ 7,0	+ 1106,2		+ 0,20		
12. Aug.	5 27	f. r.	9,91242	+ 582,8	+ 1,1	0,04991	+ 1505,2	+ 2,1	+ 921,4	+ 0,01		
	6 9	f. r.	138,4	+ 592,9	+ 16,9	190,0	+ 1547,2	+ 31,9	+ 939,3	+ 0,15		
13. Aug.	4 37	schw. unr.	0,07640	+ 219,9	- 2,4	0,10875	+ 1254,9	- 2,8	+ 1033,4	- 0,01		
	5 27	f. r.	202 3	+ 230,9	+ 2,4	217,8	+ 1266,7	+ 2,8	+ 1035,4	+ 0,01		
	6 5	r.		+ 254,8	+ 24,6	+ 1313,4	+ 25,0	+ 1055,2		+ 0,09		
14. Aug.	4 44	unr.	9,71158	+ 441,8	- 1,3	0,12628	- 57,7	- 9,0	- 461,8	- 0,03		
	5 27	f. r. u. r.	87,3	+ 438,4	+ 2,1	226,8	- 31,7	+ 15,0	- 483,0	+ 0,05		
	6 9	f. r.		+ 454,3	+ 6,7	+ 27,9	+ 45,6	- 46,5,2	- 46,5,2	+ 0,15		
15. Aug.	4 37	f. r.	9,66656	+ 333,7	+ 0,3	9,72090	+ 454,2	+ 0,4	+ 120,4	+ 0,01		
	5 27	r.	78,7	+ 346,7	+ 3,2	89,2	+ 455,4	+ 4,1	+ 107,8	+ 0,09		
	5 58	r.		+ 353,9	+ 3,2	+ 458,6	+ 4,1	+ 103,8		+ 0,09		

Datum	Zeit	Zustand der Bilder	$\log D \sin 4''$ und $C$	Erhebung über $\beta''$ in Zollen	Refraction in Zollen	$\log D \sin 4''$ und $C$	Erhebung über $\beta''$ in Zollen	Refraction in Zollen	Erhebung über $\beta''$ in Zollen	Refraction in Zollen	Mittel mit dem gehörigen Gewichte	Erhebung über dem Asowschen Meere	Angenommener Refr. Coeff.
1837													
16. Aug.	4 <sup>h</sup> 37'	f. r.	9,97131	+ 1048,1	+ 1,4	9,92850	- 788,9	+ 1,1	- 1836,8		+ 0,01		
	5 27	r.	158'',6	+ 1064,9	+ 13,2	143'',7	- 769,6	+ 10,8	- 1832,1	- 1833,4	+ 0,09	+ 0,09	
	5 58	schw. unv.	+ 1083,2	+ 29,7		- 755,0	+ 23,8		- 1832,3		+ 0,20		
17. Aug.	5 27	f. r.	9,79240	+ 312,0	+ 0,6	9,83730	- 76,6	+ 0,7	- 388,7		+ 0,01		
	6 10	f. r.	105,0	+ 352,5	+ 9,7	116,5	- 46,4	+ 11,9	- 401,1	- 394,9	10778,0	+ 0,15	
19. Aug.	4 37	f. r.	9,72110	+ 465,7	+ 0,4	9,83570	- 178,4	+ 0,8	- 644,5		+ 0,01		
	5 27	r.	89,1	+ 472,7	+ 2,3	116,0	- 160,9	+ 3,9	- 635,9	- 640,0	10138,0	+ 0,05	
	6 0	r.	+ 469,1	+ 4,0		- 167,4	+ 7,0	- 639,5			+ 0,09		
20. Aug.	3 47	r.	9,93251	+ 608,8	+ 11,0	9,78490	- 308,2	+ 5,7	- 911,7		+ 0,09		
	4 37	r.	144,8	+ 607,8	+ 11,0	103,2	- 305,1	+ 5,7	- 907,6	- 910,4	9227,6	+ 0,09	
	5 27	r.	+ 615,2	+ 11,0		- 302,0	+ 5,7	- 911,9			+ 0,09		
21. Aug.	5 27	f. r.	9,79920	+ 443,8	+ 0,6	9,74650	- 219,0	+ 0,5	- 662,7		+ 0,01		
	6 12	r.	106,5	+ 460,3	+ 6,0	94,4	- 208,8	+ 4,7	- 667,8	- 666,1	8564,5	+ 0,09	
22. Aug.	3 47	r.	9,80945	+ 718,0	+ 6,2	9,80070	- 148,2	+ 6,0	- 866,1		+ 0,09		
	4 37	r.	109,2	+ 715,5	+ 6,2	107,0	- 154,4	+ 6,0	- 869,7	- 868,9	7692,6	+ 0,09	
	5 27	r.	+ 720,5	+ 6,2		- 150,7	+ 6,0	- 871,0			+ 0,09		
23. Aug.	5 27	r. — f. r.	9,72445	+ 446,4	+ 4,2	9,74658	+ 10,1	+ 0,5	+ 432,6		+ 0,09		
	6 9	r.	89,7	+ 454,4	+ 4,2	94,4	+ 32,2	+ 4,7	+ 422,7	- 426,9	7265,7	+ 0,09	









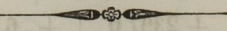
Datum	Zeit	Zustand der Bilder	$\log D \sin A''$ und $C$	Erhebung über $\beta^n$ in Zollen	Refraction und $C$	$\log D \sin A''$ und $C$	Erhebung über $\beta^n$ in Zollen	Refraction und $C$	$\log D \sin A''$ und $C$	Erhebung über $\beta^n$ in Zollen	Refraction und $C$	$\log D \sin A''$ und $C$	Erhebung über $\beta^n$ in Zollen	Refraction und $C$	$\log D \sin A''$ und $C$	Erhebung über dem Asowschen Meere	Angenommener Refr. Coeff.
1837																	
29. Sept.	3 <sup>h</sup> 17'	r.	9,91942	+ 269,1	+ 10,4	0,01533	+ 77,4	+ 16,2	- 197,4	- 195,0	- 194,0	+ 17,9	-	+ 0,09	+ 0,09	+ 0,09	
	4 7	r.	140,6	+ 273,3	+ 10,4	175,3	+ 84,1	+ 16,2	- 195,0	- 195,0	- 194,0	+ 17,9	-	+ 0,09	+ 0,09	+ 0,09	
	4 57	f. r.		+ 278,6	+ 17,4		+ 103,3	+ 27,4	- 185,0	- 185,0	- 184,0	+ 17,9	-	+ 0,15	+ 0,15	+ 0,15	
30. Sept.	3 17	f. r.	0,01275	+ 224,4	+ 1,7	9,90544	+ 60,6	+ 1,0	- 160,4	- 160,4	- 160,4	-	+ 0,01	+ 0,01	+ 0,01	+ 0,01	
	4 7	r.	174,3	+ 232,2	+ 16,4	136,1	+ 65,4	+ 9,7	- 160,7	- 160,7	- 160,7	- 142,6	-	+ 0,09	+ 0,09	+ 0,09	
	4 57	f. r.		+ 259,5	+ 26,9		+ 88,5	+ 16,4	- 160,5	- 160,5	- 160,5	-	+ 0,15	+ 0,15	+ 0,15	+ 0,15	
14. Oct.	3 47	f. r.	9,73916	+ 120,4	+ 0,5	9,79042	+ 31,4	+ 0,6	- 89,4	- 89,4	- 89,4	-	+ 0,01	+ 0,01	+ 0,01	+ 0,01	
	4 37	r.	92,6	+ 128,8	+ 4,5	104,8	+ 38,5	+ 5,7	- 91,5	- 91,5	- 91,5	- 233,3	-	+ 0,09	+ 0,09	+ 0,09	
15. Oct.	3 47	f. r. u. r.	9,91806	+ 132,5	+ 5,8	0,12583	+ 150,6	+ 15,0	+ 8,9	+ 10,2	+ 10,2	- 223,1	-	+ 0,05	+ 0,05	+ 0,05	
	4 37	r.	140,3	+ 140,5	+ 10,4	226,2	+ 168,3	+ 27,0	+ 11,2	+ 11,2	+ 11,2	- 223,1	-	+ 0,09	+ 0,09	+ 0,09	
16. Oct.	2 57	f. r.	9,89883	+ 177,5	+ 1,0	9,80575	+ 99,9	+ 0,7	- 77,3	- 77,3	- 77,3	-	+ 0,01	+ 0,01	+ 0,01	+ 0,01	
	3 47	r.	134,5	+ 187,7	+ 9,6	108,5	+ 109,4	+ 6,2	- 74,9	- 74,9	- 74,9	- 300,3	-	+ 0,09	+ 0,09	+ 0,09	
	4 37	r.		+ 197,8	+ 9,6		+ 114,8	+ 6,2	- 79,5	- 79,5	- 79,5	-	+ 0,09	+ 0,09	+ 0,09	+ 0,09	
17. Oct.	2 58	unr.	9,98470	+ 165,8	- 4,6	9,89024	- 26,7	- 3,0	- 194,1	- 194,1	- 194,1	-	- 0,03	- 0,03	- 0,03	- 0,03	
	3 47	r.	163,6	+ 192,1	+ 14,0	131,6	- 6,1	+ 9,1	- 193,2	- 193,2	- 193,2	- 492,5	-	+ 0,09	+ 0,09	+ 0,09	
	4 37	f. r.		+ 204,1	+ 23,4		+ 6,7	+ 15,2	- 189,3	- 189,3	- 189,3	-	+ 0,15	+ 0,15	+ 0,15	+ 0,15	
18. Oct.	3 0	f. r.	9,93651	+ 51,4	+ 1,1	9,84705	+ 137,4	+ 0,8	+ 86,6	+ 86,6	+ 86,6	-	+ 0,01	+ 0,01	+ 0,01	+ 0,01	
	3 47	r.	146,4	+ 62,4	+ 11,2	119,1	+ 141,9	+ 7,4	+ 83,4	+ 83,4	+ 83,4	+ 408,5	-	+ 0,09	+ 0,09	+ 0,09	
	4 37	f. r.		+ 76,7	+ 19,0		+ 152,7	+ 12,5	+ 82,5	+ 82,5	+ 82,5	-	+ 0,15	+ 0,15	+ 0,15	+ 0,15	



Erhebung über dem Asowschen Meere einiger fester Punkte der Operationslinie.

$\log D \sin 1''$ und $C$	Erhebung über $\beta^n$ in Zollen	Refraction in Zollen	$\log D \sin 1''$ und $C$	Erhebung über $\beta^n$ in Zollen	Refraction in Zollen	Relative Erhebung	Mittel mit dem gehörigen Gewichte	Erhebung über dem Asowschen Meere	Refr. Coeff.
$K =$ Kagalnik, steinerne Dorfkirche, Kreuzspitze									
9,19657	+ 41,9	+ 0,3	9,29435	+ 2021,7	+ 0,5	+ 1979,6	+ 1979,8	2125,8	+ 0,08
26,7	+ 41,5	+ 0,3	33,4	+ 2021,7	+ 0,5	+ 1980,0			
$P 1$ (von $b^1$ aus)									
$K =$ Novo-Nicolaewka Kirche Kuppel Kreuzspitze									
9,7284	+ 878,2	+ 1,0	9,8784	+ 1092,4	+ 1,9	+ 213,3	+ 213,3	1896,4	+ 0,04
90,7									
$P 5$ (von $b^5$ aus)									
$K =$ Novo-Bataisk Kirche Kuppel Kreuzspitze									
9,9450	+ 815,6	+ 11,9	9,1108	+ 537,2	+ 0,2	- 266,7	- 266,7	1403,3	+ 0,09
149,3			21,9						
$P 7$ (von $b^7$ aus)									
$K =$ Kagalnitzkaja Stanitsa Kirche Kuppel Kreuzspitze									
9,5740	+ 1124,4	- 0,7	9,4894	- 248,4	- 0,5	- 1373,0	- 1374,4	1866,8	- 0,03
63,6	+ 1125,1	+ 2,0	52,3	- 246,9	+ 1,4	- 1374,8			+ 0,09
$P 10$ (von $b^{10}$ aus)									
$K =$ Pestschanokopsk Kirche, Glockenturm Kugel									
9,8500	+ 316,2	+ 7,4	9,8597	+ 71,9	+ 7,9	- 244,8	- 243,5	4380,8	+ 0,09
119,9	+ 329,0	+ 17,0	122,8	+ 88,7	+ 17,7	- 241,0			+ 0,20
$P 21$ (von $b^{20}$ aus)									
$K =$ Novo-Egorlik, Kirche Kuppel Kugel unter dem Kreuz									
9,7985	- 344,5	+ 6,0	9,6355	+ 46,6	+ 2,8	+ 394,3	- 393,8	3894,0	+ 0,09
106,6	- 343,7	+ 6,0	73,3	+ 46,4	+ 2,8	+ 393,3			+ 0,09
$P 28$ (von $b^{27}$ aus)									
$K =$ Letnitzkoe Kirche Kuppel Kugel, unterer Rand									
9,7090	+ 134,5	+ 4,0	9,3617	+ 294,3	+ 0,7	+ 163,1	+ 161,4	2523,6	+ 0,09
86,8	+ 139,1	+ 4,0	39,1	+ 295,5	+ 0,7	+ 159,7			+ 0,09
$P 32$ (von $b^{31}$ aus)									
$K =$ Novotroitzk Kirche Kuppel Kugel									
0,0480	+ 230,9	+ 2,1	9,8089	- 351,7	+ 0,7	- 581,2	- 578,1	6344,1	+ 0,01
189,4	+ 242,3	+ 18,9	109,1	- 346,9	+ 6,3	- 576,6			+ 0,09
$P 41$ (von $b^{40}$ aus)									
$K =$ Stawropol Cathedrale Kuppel Kreuzknopf									
9,8153	+ 3085,0	+ 6,5	9,8287	+ 2397,0	+ 6,8	- 688,3	- 688,3	21624,7	+ 0,09
110,9			114,3						

$\log D \sin 1''$ und $C$	Erhebung über $\beta^n$ in Zollen	Refraction in Zollen	$\log D \sin 1''$ und $C$	Erhebung über $\beta^n$ in Zollen	Refraction in Zollen	Relative Erhebung	Mittel mit dem gehörigen Gewichte	Erhebung über dem Asowschen Meere	Refr. Coeff.
<i>P 53</i> (von $b^{52}$ aus)					<i>K</i> = Beschpagir Kirche Kuppel kleine Kugel unter dem Kreutz				
9,8774 127,6	+ 4641,1	+ 0,9	9,7832 102,9	+ 2068,5	+ 0,6	- 2572,3	- 2572,3	14312,6	+ 0,01
<i>P 63</i> (von $b^{62}$ aus)					<i>K</i> = Alexandrow Kirche Hauptthurm vergoldete Kugel				
9,6329 72,8	+ 466,2	+ 2,7	9,6493 75,7	- 3212,5	+ 2,9	- 3678,9	- 3678,9	12597,0	+ 0,09
<i>B 70</i> (von $p^{71}$ aus)					<i>K</i> = Alexandria Kirche Kuppel Querstange des Kreuzes				
0,0812 204,4	+ 3688,6	+ 19,6	9,8116 109,8	+ 506,8	+ 5,6	- 3167,8	- 3169,4	10847,0	+ 0,08
<i>P 84</i> (von $b^{83}$ aus)					<i>K</i> = Ekaterinograd Kirche Kuppel Fuss des Kreuzes				
9,8037 107,7	- 29,1	+ 0,6	9,4941 52,9	+ 726,4	+ 1,5	+ 754,6	+ 754,6	7718,1	+ 0,01
<i>P 89</i> (von $b^{88}$ aus)					<i>K</i> = Mosdok Cathedrale Kuppel Knopf am Fusse des Kreuzes				
9,8817 128,9	+ 321,1	+ 0,9	9,7007 85,2	+ 356,6	+ 0,4	+ 36,0	+ 36,0	5713,6	+ 0,01
<i>P 97</i> (von $b^{96}$ aus)					<i>K</i> = Naur Kirche Kuppel Kugel unter dem Kreutze				
9,7524 95,7	+ 184,2	- 1,6	9,9284 143,9	+ 262,9	- 3,6	+ 80,7	+ 80,7	3952,9	- 0,03
<i>P 115</i> (von $b^{114}$ aus)					<i>K</i> = Kisljar Armenische Cathedrale Kugel unter dem Kreutze				
0,1258 226,2	+ 150,6	+ 15,0	0,56046 616,9	+ 1802,1	+ 112,0	+ 1554,5	+ 1554,5	1331,4	+ 0,05
<i>P 123</i> (von $p^{124}$ aus)					<i>B</i> = Tschernoi Rynok Herrnhaus Belvedere Dach				
0,22634 285,0	+ 338,0	+ 33,7	0,01200 173,9	+ 448,8	+ 12,3	+ 132,2			+ 0,07
	+ 314,0	+ 12,5		+ 443,1	+ 4,5	+ 137,1	+ 132,0	- 303,8	+ 0,026
	+ 353,4	+ 43,0		+ 456,4	+ 15,9	+ 130,1			+ 0,09
Erboden am Hause = 585 Zoll unter <i>B</i>					= - 888,8				



V. Endresultat aus allen Beobachtungen, für den wahrscheinlichsten Niveau-<sup>IV</sup>  
Unterschied des Caspischen und Asowschen Meeres.

Es bleibt uns nur noch übrig das wahrscheinlichste Endresultat für die Depression des Caspischen Meeres aus dem Complexe unserer sämtlichen Beobachtungen zu ziehen. Das Resultat aus den gegenseitigen Zenithdistanzen darf nach den Bemerkungen pag. 319 hiebei nicht mitstimmen. Die wahrscheinlichen Fehler der übrigen von einander gänzlich unabhängigen Endresultate sind pag. 318 und 346 untersucht. Folgendes ist also ihre Zusammenstellung:

	E. Fuss	w. F.	Gew.
Depression des Caspischen Meeres nach Sabler (Reihe $\beta$ )	= 83,95	1,63	0,376
“ “ (Reihe $P$ )	= 83,00	2,19	0,209
“ Sawitsch . . . . .	= 83,2	5,2	0,040
“ Fuss . . . . .	= 85,0	5,2	0,040
Mittel aus allen mit Berücksichtigung der resp. Gewichte . . . . .	= 83,67	1,23	0,665

Es lag also das mittlere Niveau des Caspischen Meeres im Jahre 1837 tiefer als das mittlere Niveau des Asowschen:

**83,67 Englische Fuss oder 13,09 Toisen,  
mit einer wahrscheinlichen Unsicherheit von:  
 $\pm 1,23$  Engl. Fuss.**

## VI. Berechnung der Höhe einiger Hauptspitzen des Caucasus über der Meeresfläche.

Da mit dem Vorhergehenden der Haupttheil unserer Arbeit, das eigentliche Nivellement abgeschlossen ist, und durch die detaillierte Mittheilung desselben sowohl rücksichtlich der Beobachtungen als auch der Rechnungen dieses Werk bereits so umfangreich geworden, so sehe ich mich genötigt die Mittheilung der übrigen Nebentheile der Arbeit kürzer zu fassen, und werde daher hauptsächlich nur die Resultate der Rechnungen geben, welche übrigens aus den Beobachtungen in der ersten Abtheilung, wo es wünschenswerth erscheinen sollte, von Jedem controlirt werden können.

Zur Berechnung der Höhe der beobachteten Caucasusspitzen bedürfen wir zuerst ihrer Entfernungen von den Beobachtungspuncten. Die Richtungswinkel welche zu diesem Behufe von uns gemessen wurden sind p. 45, 46 zusammengestellt. — Bergspitzen erscheinen aus verschiedenen Puncten gesehen, immer in mehr oder weniger veränderter Form, und man wird daher selten genau denjenigen Punct wieder treffen können, welchen man früher beobachtet hat. Wir hatten es uns freilich zur Regel gemacht, bei der Winkelmessung immer auf den höchsten sichtbaren Punct der Berggipfel einzustellen. Dieser Punct ist aber bei flach abgerundeten Gipfeln bisweilen ziemlich unbestimmt. Es entstehen dadurch kleine Unsicherheiten in den Richtungen, welche auf die berechneten Distanzen einen desto grösseren Einfluss haben, je spitzer die gebrauchten Dreiecke sind; da nun jeder Berg von mehreren Puncten unserer Operationslinie beobachtet ist, so bekäme man durch unmittelbare Auflösung der Dreiecke Bestimmungen von ungleicher Genauigkeit. Um dieses zu vermeiden und die wahrscheinlichsten Resultate zu erhalten, hat H. Sawitsch, welcher die Berechnung aller nöthigen Entfernungen der Bergspitzen mit vieler Umsicht geführt hat, folgendes einfache Verfahren eingeschlagen.

Es seien z. B. aus vier bekannten Puncten:  $A, A', A'', A'''$  die Richtungen zu einem Berge  $M$  hin beobachtet; aus dem vortheilhaftesten Dreiecke, z. B.  $A A''' M$  bestimmt man zuerst die Distanz  $AM=r$  und berechnet in den Dreiecken  $A A' M, A' A'' M, A'' A''' M$  nur nahezu die Seiten  $A' M, A'' M, A''' M$  und die sphärischen Excesse, um die Winkel auf die Ebene zu reduciren; dann wird man alles als wirklich in der Ebene liegend betrachten können. Nehmen wir nun den Aufangspunct der Coordinaten in  $A$ , die Linie  $AA'$  als Axe der Ordinaten  $y$ , und eine Senkrechte dazu als Axe der Abscissen  $x$  an, so sind die Coordinaten der Beobachtungspuncte:  $o, o; o, n; n', m'; n'', m''$ ; und die Richtungen  $\alpha', \alpha'', \alpha''',$  der Linien  $A' A'', A'' A''',$  gegen die Axe der Ordinaten  $AA'$  bekannte Grössen. Mit den vorläufig angenommenen  $AM=r$  und Winkel  $A' A M = \varphi$ , berechnet man jetzt die genäherten Coordinaten  $y=r \cos \varphi, x=r \sin \varphi$ , und indem alle Winkel auf gleiche Weise von der Linken zur Rechten gezählt werden, sucht man mit diesen Datis die Richtungen  $\varphi', \varphi'', \varphi''''$  der Linien  $A' M, A'' M, A''' M$  gegen die  $A' A'', A'' A''',$  und die Verlängerung von  $A'' A'''$  nach den Formeln:

$$\tan. \varphi = \frac{x}{y}; \tan. (\alpha' + \varphi') = \frac{x}{y-n}; \tan. (\alpha'' + \varphi'') = \frac{x-m'}{y-n'}; \tan. (\alpha''' + \varphi''') = \frac{x-m''}{y-n''}.$$

Nennen wir nun  $dx, dy$  die zu bestimmenden Verbesserungen von  $x$  und  $y$ , so wird die Vergleichung dieser Werthe von  $\varphi, \varphi', \varphi'', \varphi''''$  mit den wirklich beobachteten  $\psi, \psi', \psi'', \psi''''$  folgende Ausdrücke zur Bestimmung von  $dx$  und  $dy$  geben:

$\psi - \varphi = \text{Arc. tang. } \frac{x+dx}{y+dy} - \text{Arc. tang. } \frac{x}{y}; \psi' - \varphi' = \text{Arc. tang. } \frac{x+dx}{y+dy-n} - \text{Arc. tang. } \frac{x}{y-n}$ ; u. s. w., oder:

$$\begin{aligned}(\psi - \varphi)r \sin. 1'' &= \cos. \varphi dx - \sin. \varphi dy; \\(\psi' - \varphi')r' \sin. 1'' &= \cos. (\varphi' + \alpha') dx - \sin. (\varphi' + \alpha') dy; \\(\psi'' - \varphi'')r'' \sin. 1'' &= \cos. (\varphi'' + \alpha'') dx - \sin. (\varphi'' + \alpha'') dy; \\(\psi''' - \varphi''')r''' \sin. 1'' &= \cos. (\varphi''' + \alpha''') dx - \sin. (\varphi''' + \alpha''') dy;\end{aligned}$$

wo  $r, r', r'', r'''$  resp. den Linien  $AM, A'M, A''M, A'''M$  gleich sind.

Behandelt man diese Gleichungen nach der bekannten Vorschrift der Methode der kleinsten Quadrate, so bekommt man dadurch die wahrscheinlichsten Werthe von  $dx, dy$ , und die Richtungen werden vollkommen ausgeglichen. H. Sawitsch hat so gefunden, dass die Richtungen nach den Bergen bis auf etwa  $8''$  richtig sind.

#### Höhenbestimmung des Beschtaw d. 13. Juli 1837 (vergl. p. 175).

Aus den Richtungswinkeln p. 45 ergeben sich folgende aufs Meeressniveau projecirte Entfernung, nebst den entsprechenden Winkeln der Verticalen,  $C$ :

$P^{70}$ Beschtaw	=	1204530 Engl. Zoll;	$C = 16' 29''2$
$P^{70} Q$	=	397050 " "	$= 5 26,8$
$Q$ Beschtaw	=	960730 " "	$= 13 8,5$
$Q D$	=	484410 " "	$= 6 37,8$
$D$ Beschtaw	=	506704 " "	$= 6 55,6$

Die Berechnung der gleichzeitigen Beobachtungen an den 3 Puncten  $P^{70}, Q, D$  ergiebt dann:

$$\begin{aligned}\text{Erhebung von } Q \text{ über } P^{70} &= + 2324,2 \text{ E. Z. und den Refr. Coeff.} = + 0,062 \\ " " D " Q &= + 398,5 " " " " " = + 0,086\end{aligned}$$

Mit der Höhe von  $P^{70}$  über dem Meere = 15448 E. Z. (nach p. 297) erhält man zugleich unabhängig von der Refraction die Höhe des Beschtaw über dem Asowschen Meere:

$$\begin{array}{l|l} \text{durch die Combination der Beob. in } P^{70} \text{ u. } D = 55078 \text{ E. Z.} & + 0,0726 \text{ Refr. Coeff.} \\ " " " " " " " Q " D = 55072 " & + 0,0801 " " \\ \hline \text{im Mittel} & = 55075 "\end{array}$$

Die Höhenbestimmung des Beschtaw, die wie man sieht sehr genau ausgesunken ist, wurde von uns zu dem Zwecke unternommen, um einen Vergleichspunkt bei der Messung der höheren Caucasus-Gipfel zur Bestimmung des Refractions-Coefficienten zu haben. Indessen zeigte es sich bald, dass dieser Berg noch immer zu wenig entfernt und verhältnissmässig zu niedrig war, um den Refractions-Coefficienten für die 4 bis 5 mal höheren und entfernteren Gipfel mit völliger Sicherheit zu ergeben. Doch sind die so gewonnenen Resultate als erste Annäherung immer brauchbar. Hat man nämlich erst genäherte Werthe der Berghöhen, so lassen sich diese auf folgende Weise genauer finden, wie H. Sawitsch zuerst gezeigt hat. Die Bergspitzen sind von uns an verschiedenen Puncten und in ziemlich verschiedenen Entfernungen beobachtet worden. Bestimmt man also den Refractions-Coefficienten an einem Standpunkte nach dem entferntesten Berge mit dessen genauerer Höhe, so erhält man die Höhe der näheren Berge im umgekehrten Verhältniss der Quadrate der Entfernungen genauer. Mit diesen verbesserten Höhen kann man alsdann von einem andern Standpunkte aus den Refractions-Coefficienten zur Bestimmung der genaueren Höhe des ersten Berges finden, und dieses Verfahren wiederholen, bis man sich der Wahrheit so weit genähert hat, als die Umstände es erlauben. Zum Beispiel: von dem Signal  $A^{87}$  ist der

Elbrus anderthalbmal so weit entfernt als der Kasbek; bestimmt man also den Refr. Coeff. nach dem Elbrus mit dessen genäherter Höhe, so wird die mit diesem Coefficienten berechnete Höhe des Kasbek  $2\frac{1}{4}$  mal genauer als die angenommene des Elbrus. Hierauf kann man den Kasbek mit dem Anonymus vergleichen wo Kasbek am weitesten und Anonymus am nächsten ist, beim Signal  $B^{80}$ , von welchem ersterer  $1\frac{1}{4}$  Mal so weit absteht als letzterer; folglich wird die Höhe des Anonymus auf diese Weise 1,56 mal genauer als die des Kasbek, oder 3,5 mal genauer als die ursprüngliche des Elbrus. Jetzt kann man bei dem Signale  $P^{75}$  den Refr. Coeff. nach dem Anonymus bestimmen, da der freilich dazu noch vortheilhaftere Kasbek wegen zu schwacher Sichtbarkeit nicht mitbeobachtet wurde, und damit die Höhe des Elbrus berechnen. Es ist zwar von  $P^{75}$  aus der Elbrus noch 1,14 mal weiter als Anonymus, und der Fehler in der Höhe des letzteren wird in Bezug auf den Elbrus 1,29 mal vergrössert. Dennoch erhält man so die Höhe des Elbrus noch 2,7 mal genauer als die ursprüngliche Annahme war. Mit diesem genaueren Werthe der Elbrus-Höhe wiederholt man alsdann die ganze Rechnung, und setzt dies Verfahren fort, so lange bis der Endwerth der Höhe des Elbrus mit dem ursprünglich angenommenen übereinkommt. — Hierbei macht man keine andere Hypothese als: dass der Refractions-Coefficient für die in verschiedenen Richtungen fast in gleicher Höhe und bedeutender Entfernung liegenden Bergspitzen in demselben Momenten gleich ist, welche Hypothese höchst wahrscheinlich ist, und bisher von allen Geodäten angenommen wurde, wie schon der Ausdruck: »Refractions-Coefficient« andeutet.

Ehe ich an die Berechnung der übrigen Berghöhen gehe, gebe ich hier eine Zusammenstellung der Logarithmen der Entfernungen der Berge von allen Beobachtungspuncten in Englischen Zollen,  $D^*$ ), nebst den entsprechenden Winkeln der Verticalen  $C$ , nach der Berechnung des H. Sawitsch.

	log. $D$ .	$C$		log. $D$ .	$C$
$B^{70}$ Beschtaw	6,085826	0° 16' 40,6	$P^{82}$ Anonymus	6,641854	1° 0' 2,6
$B^{70}$ Elbrus W.	6,688502	1 6 52,8	$P^{82}$ Kasbek	6,691034	1 7 19,5
$B^{70}$ Elbrus O.	6,687830	1 6 47,0	$P^{82}$ Elbrus W.	6,759791	1 18 40,3
$P^{75}$ Beschtaw	6,324303	0 28 51,4	$P^{82}$ Elbrus O.	6,756919	1 18 8,7
$P^{75}$ Elbrus W.	6,669298	1 3 54,6	$B^{82}$ Anonymus	6,646443	1 0 45,3
$P^{75}$ Elbrus O.	6,666918	1 3 33,3	$B^{82}$ Kasbek	6,685867	1 6 31,7
$P^{75}$ Anonymus	6,621159	0 57 19,2	$B^{83}$ Kasbek	6,674156	1 4 55,5
$B^{79}$ Beschtaw	6,514634	0 44 44,4	$B^{83}$ Elbrus O.	6,778915	1 22 11,5
$B^{79}$ Kasbek	6,702184	1 9 3,9	$A^{87}$ Kasbek	6,657470	1 2 20,2
$B^{80}$ Beschtaw	6,546018	0 48 5,5	$A^{87}$ Elbrus W.	6,847887	1 36 19,9
$B^{80}$ Anonymus	6,609761	0 55 46,7	$A^{87}$ Elbrus O.	6,845262	1 35 46,3
$B^{80}$ Kasbek	6,691412	1 7 22,8	$S$ Stawropol Elbrus W.	6,878202	1 43 37,8
$B^{81}$ Anonymus	6,629649	0 58 22,5	$S$ Stawropol Elbrus O.	6,880370	1 44 8,4
$B^{81}$ Kasbek	6,688972	1 7 0,0			

\*<sup>o</sup>)  $D$  ist eigentlich die auf die Höhe des Horizontes des Beobachtungspunctes bezogene Chorde des geodätischen, aufs Meer niveau projecirten Bogens zwischen dem Beobachtungspuncte und dem Berge,

Bei allen Berechnungen der Berghöhen ist die bekannte strenge Formel anzuwenden:

$$\gamma = D \frac{\sin(a + \frac{C}{2} - r)}{\cos a + C - r}$$

wo  $\gamma$  den Höhenunterschied;  $D$  die Entfernung;  $a = 90^\circ$  — Zenithdistanz,  $C$  den Winkel der Verticalen, und  $r$  die Refraction bezeichnet. Hieraus erhält man zur Berechnung von  $r$  wenn  $\gamma$  als bekannt voraus gesetzt wird, durch eine leichte Transformation:

$$\tan r = \frac{\sin(a + \frac{C}{2}) - \frac{\gamma}{D} \cos(a + C)}{\frac{\gamma}{D} \sin(a + C) + \cos(a + \frac{C}{2})}$$

Wenden wir uns jetzt zu den Beobachtungen in  $b^{70}$  (p. 176) so folgen aus der ersten und letzten Zenithdistanz des Beschtaw um  $17^h 40'$  und  $21^h 40'$  resp. die Refractions-Coefficienten  $+ 0,098$  und  $+ 0,068$  und damit die Höhen des Elbrus über dem Meere:

der Westkuppe  $17^h 40' = 219890$  E. Z.; der Ostkuppe  $= 219190$  E. Z.

“ “  $21^h 40' = 222290$  “ “ “  $= 221570$  “

also Unterschiede von 2400 Zoll; die blosse Ansicht der Zenithdistanzen, welche sich innerhalb der angegebenen Zeit nach dem Beschtaw fast doppelt so stark änderten als nach dem 4 mal entfernteren Elbrus, zeigt auch schon, dass die nach ersterem bestimmten Refr. Coefficienten sehr unsicher sein müssen. Ohne mich daher weiter mit solchen Vergleichungen des Beschtaw mit dem Elbrus, Anonymus und Kasbek in  $p^{75}$ ,  $b^{79}$  und  $b^{80}$  aufzuhalten, werde ich für die Höhen des Elbrus schon genauertere Werthe zu Grunde legen, die aus H. Sawitsch früheren Rechnungen folgen. Diese sind:

für den westl. Gipfel (W.)  $= 221790$  E. Z.

“ “ östl. “ (O.)  $= 220980$  “

Diese Werthe wollen wir jetzt aus sämmtlichen Beobachtungen verbessern, und dazu zuerst die Messungen in  $a^{87}$  (p. 178) vornehmen.

Die Höhe von  $a^{87}$  über dem Meere ist nach p. 304  $= 5478$  Z.; füglich die der beiden Theodoliten  $= 5386$  Z.; hiemit und mit der obigen Angabe der Entfernung und angenommenen Höhe des Elbrus erhält man die Refr. Coeff.  $= \varrho$

um  $5^h 29'$  nach Elbrus W.  $\varrho = + 0,06998$  und damit Kasbek über dem Meere  $= 198331$  E. Z.

“ 6 2 “ “ “  $= + 0,07332$  “ “ “ “ “  $= 198309$  “

“ 6 9 “ “ “  $= + 0,07361$  “ “ “ “ “  $= 198273$  “

“ — — “ “ O.  $= + 0,07160$  “ “ “ “ “  $= 198438$  “

Mittel  $= 198338$  “

Etwas unvorteilhafter ist die Ableitung der Höhe des Kasbek aus der Vergleichung mit dem Elbrus in  $p^{82}$  und  $b^{83}$ .

Höhe  $P^{82}$  über dem Meere  $= 7679$  Z. (p. 302) also Höhe des Univ. Instr.  $= 7589$  Z.

die Beob. von Elbrus W. um  $6^h 11'$  giebt  $\varrho = + 0,07065$ ; Höhe des Kasbek  $= 198421$  E. Z.

“ “ “ “ O. “ “ “  $= + 0,07081$  “ “ “  $= 198409$  “

Mittel  $= 188415$  “

Höhe  $\beta^{83}$  über dem Meere  $= 6964$  Z. (p. 302) also Höhe des Theodoliten  $= 6872$  Z.

die Beob. von Elbrus O. um  $20^h 0'$  giebt  $\varrho = + 0,07864$ ; Höhe des Kasbek  $= 198130$  E. Z.

Da nun die wahrscheinlichen Fehler dieser drei Höhenbestimmungen im umgekehrten Verhältnisse mit den Quadraten der Entfernungen des Kasbek, im directen aber mit der Quadratwurzel der Anzahl der Beobachtungen und mit den Quadraten der Entfernungen des Elbrus, nach welchem der Refr. Coeff. bestimmt wurde, stehen, so werden hiernach die relativen Gewichte dieser 3 Bestimmungen nahezu wie  $10:2:1$ ; also die Höhe des Kasbek über der Meeresfläche im Mittel  $= 198335$  Engl. Zoll, mit dem wahrscheinlichen Fehler  $= \pm 23$  E. Z.

Mit dieser Bestimmung können wir jetzt an die Berechnung der Höhe des Anonymus gehen, wozu die Messungen in  $b^{80}$ ,  $b^{81}$ ,  $p^{82}$  und  $t^{82}$  dienen.

Höhe  $\beta^{80}$  über dem Meere  $= 8749$  Z. (p. 301) also des Theodoliten  $= 8660$  Z.

die Beob. des Kasbek giebt um  $18^h 43'$   $\varrho = + 0,08479$ ; Höhe des Anonymus  $= 202878$  E. Z.

" " " " "  $19^h 30$  (F.) "  $= + 0,07957$  " " "  $= 203027$  "

" " " " "  $19^h 30$  (S.) "  $= + 0,07770$  " " "  $= 203083$  "

Mittel  $= 202996$  "

Höhe  $\beta^{81}$  über dem Meere  $= 7819$  Z. also des Theodoliten  $= 7731$  Z.

aus der Beob. des Kasbek um  $6^h 10'$  folgt  $\varrho = + 0,07279$ ; Höhe des Anonymus  $= 202906$  E. Z.

Höhe  $P^{82}$  über d. Meere  $= 7679$  Z. also des Univ. Instr.  $= 7589$  Z.

die Beob. des Kasbek giebt um  $4^h 12'$   $\varrho = + 0,06810$ ; Höhe des Anonymus  $= 203083$  E. Z.

$6^h 11$  "  $= + 0,07147$  " " "  $= 203083$  "

Mittel  $= 203083$  "

Höhe  $\beta^{82}$  über d. Meere  $= 7227$  Z. also des Theodoliten  $= 7127$  Z.

die Beob. des Kasbek um  $4^h 27'$  giebt  $\varrho = + 0,06651$ ; Höhe des Anonymus  $= 203201$  E. Z.

$5^h 27$  " "  $= + 0,06888$  " " "  $= 203297$  "

Mittel  $= 203249$  "

Das Mittel dieser 4 Höhenbestimmungen des Anonymus mit gehöriger Rücksicht aufs Gewicht der einzelnen ist  $= 203070$  Engl. Zoll mit dem wahrscheinlichen Fehler  $= \pm 42$  E. Z.

Mit der gefundenen Höhe des Anonymus können wir jetzt endlich die des Elbrus bestimmen aus den Beobachtungen in  $p^{75}$ .

Höhe  $P^{75}$  über d. Meere  $= 12864$  Z. (p. 299) also des Univ. Instr.  $= 12787$  Z.

der beiden Theodoliten  $= 12770$  "

	$\varrho$	Elbrus W.	Elbrus O.
aus der Beob. des Anonymus v. Sabl. $18^h 54'$ folgt	$+ 0,07445$	221975 Z.	221185 Z.
" $20^h 25$ " $+ 0,06826$	222015 "	221189 "	
Saw. $18^h 43'$ " $+ 0,07520$	222083 "	221227 "	
" $20^h 30$ " $+ 0,06752$	222055 "	221087 "	
Fuss $21^h 17$ " $+ 0,06629$	221739 "	—	
Mittel $=$	221973 "	221172 "	
wahrsch. F. $=$	$\pm 36$ "	$\pm 19$ "	

Diese gefundenen Werthe für die Höhe des westlichen und östlichen Gipfel des Elbrus über dem Meere weichen von den zuerst angenommenen resp. um  $+ 183$  und  $+ 192$  Zoll ab, im Mittel  $+ 188$  Z.; und es

\*) Der Refr. Goeff. für  $18^h 43'$ , wo der Anonymus von H. Sawitsch nicht mitbeobachtet worden ist, wurde aus dem meistigen nahe liegenden durch Interpolation gefunden.

muss jetzt mit den neuen Werthen die ganze Rechnung wiederholt werden. Bei der Kleinheit dieser Correction die weniger als  $\frac{1}{1000}$  beträgt, genügt es indess, dieselbe an die gefundene Höhe des Kasbek im Verhältniss des Quadrats der Entferungen des Kasbek und Elbrus von den Beobachtungspuncten anzubringen, und sofort nach derselben Regel mit dem Anonymus und Elbrus zu versfahren. Man sieht überdies sogleich dass noch mehrere Aproximationen nöthig sein werden, bis die angenommene und zuletzt sich ergebende Höhe des Elbrus genau zusammen stimmen werden. Nach dem obigen genäherten Ueberschlage der Entferungen wird der Fehler der ersten Annahme der Elbrushöhe zuletzt ungefähr 2,7 mal vermindert, oder genauer 2,2 mal, wenn man alle Distanzen gehörig berücksichtigt; und wir würden demnach durch successive Aproximationen die Differenzen bekommen: 188, 85, 39, 18, 8, 4, 2. Wenn wir also jetzt an die ursprünglich angenommene Höhe des Elbrus sogleich die Summe dieser geometrischen Reihe  $= + 344$  Zoll anbringen, so werden wir der Wahrheit schon sehr nahe kommen.

Es sind demnach die Höhen der Berge über dem Meere:

$$\begin{array}{l} \text{Elbrus W. Kuppe} = 222130 \text{ E. Z.} \\ \text{“ O. “} = 221328 \text{ “} \end{array} \left. \begin{array}{l} \\ \end{array} \right\} \text{Annahme}$$

$$\text{damit ergiebt sich für den Kasbek} = 198501 \text{ “}$$

$$\text{hieraus folgt für den Anonymus} = 203196 \text{ “}$$

$$\text{und daraus endlich für Elbrus W.} = 222130 \text{ “}$$

$$\text{“ O. “} = 221327 \text{ “}$$

$$\left. \begin{array}{l} \\ \end{array} \right\} \text{Endwerth}$$

wo der Endwerth mit dem angenommenen innerhalb eines Zolles übereinstimmt. Wir haben demnach der einzigen hier anwendbaren und bisher allgemein angenommenen Hypothese: nämlich der Gleichheit des Coefficien-ten der terrestrischen Refraction nach verschiedenen Entfernungen für denselben Moment, vollkommen Genüge gethan.

Die wahrscheinliche Unsicherheit dieser Höhenbestimmungen kann, nach der Uebereinstimmung der einzelnen, von verschiedenen Standpuncten und zu verschiedenen Tageszeiten gemachten Beobachtungen zu urtheilen, nicht höher als 42 Zoll oder 3,5 Fuss angeschlagen werden, und fällt daher noch innerhalb der Gränze der Veränderungen, welche wahrscheinlich die Höhen der Berggipfel durch Anhäufung oder Schmelzung des Schnees erleiden. Da nun auch die Höhen der Standpuncte über der Meeresfläche gleichfalls keiner grösseren Unsicherheit als 1,6 Fuss unterworfen sind (p. 318) so glaube ich, dass man es für keine Anmassung halten wird, wenn ich unsere Bergmessungen den genauesten bisher gemachten an die Seite setze. — Zum Beschluss gebe ich hier noch die von uns bestimmten Höhen der Caucasusspitzen über der Meeresfläche in Toisen, nebst einer Vergleichung der früheren Bestimmungen derselben.

Casp. Exp. 1837	Wis- niewsky 1813	Parrot und Engelhard 1812	Kupffer 1829	Meyer 1829	Kolenati 1844
Elbrus westlicher Gipfel $= 2894,8$	2898				
“ östlicher Gipfel $= 2884,3$	2878				
Anonymous . . . . . $= 2648,0$					
Kasbek . . . . . $= 2586,8$		2400		2455	2308
Beschtau . . . . . $= 717,7$		700			

Merkwürdig ist die nahe Uebereinstimmung des von H. Akademiker Wisniewsky erhaltenen Resultates mit dem unsrigen; obgleich dabei die Höhe der Standpuncte über dem Meere nur barometrisch bestimmt war,

die Zenithdistanzen des Berges mit einem Sextanten gemessen, und die Refractionen mit einem supponirten mittleren Coefficienten 0,08 berechnet wurden. — Die übrigen barometrischen Bestimmungen, bei denen mit Ausnahme des Beschtau überall nicht die höchste Spitze erreicht wurde, geben wie man sieht alle zu kleine Resultate, was sich wahrscheinlich aus der zu geringen Schätzung des noch übrig gebliebenen unerstiegenen Theiles erklärt.

Die oben berechneten Refractions-Coefficienten fallen mit den zuletzt angenommenen Werthen der Berghöhen nur um ein wenig kleiner aus; sie variiren, obgleich zu ganz verschiedenen Tageszeiten, Morgen- und Abendstunden, doch nur innerhalb sehr mässiger Grenzen, und unterscheiden sich darin wesentlich von den durch nahe terrestrische Objecte beim Nivellement bestimmten, welche durch locale Störungen so grossen Veränderungen unterworfen sind. Das Mittel aus allen 20 nach den zuletzt gefundenen Höhen der Bergspitzen bestimmten Refractions-Coefficienten ist  $= + 0,0716$  mit dem wahrsch. Fehler  $\pm 0,0006$ ; reducirt man aber alle Refractionen  $r$ , um einen festen Vergleichspunct zu haben auf die dem Barometerstande von 332,7 Par. Linien und der Temperatur von  $+ 7^{\circ},4$  Ream. entsprechenden  $r'$  durch die Formel:

$$\log r' = \log r - A\beta - \lambda\gamma + \frac{70}{8} A\tau.$$

wo  $\tau$  die Temperatur des Quecksilbers am Barometer bedeutet,  $A$  und  $\lambda$  die von Bessel in den Fund. Astr. p. 50 gegebenen Factoren;  $\beta$  und  $\gamma$  die vom Barometer- und Thermometerstande abhängigen Grössen sind, die aus den Struveschen Refractionstafeln genommen werden können, — so erhält man als Mittel aus allen den Refractions-Coefficienten der dem angegebenen Barometer- und Thermometerstande entspricht  $= + 0,0774 \pm 0,0006$ , und dieser Coefficient kann vielleicht bei künftigen trigonometrischen Bergmessungen von Nutzen sein.

Die zahlreichen Elbrus-Beobachtungen in Stawropol (p. 174) sind gleichfalls zur Bestimmung der Refraction anwendbar. Da es zu weitläufig wäre diese einzeln anzuführen, so gebe ich hier den mittleren Coefficienten aus allen, gleichfalls auf obigen Barometer- und Thermometerstand reducirt; dieser ist  $= + 0,0880 \pm 0,0012$ . Dieser Coefficient, der für die Wintermonate gilt ist nur um  $1/8$  stärker als der obige für die Sommermonate gültige, und hiermit wird die geringe Veränderlichkeit des Refractions-Coefficienten nach hohen und entfernten Gegenständen sowohl in Bezug auf die tägliche als auch in Bezug auf die jährliche Periode bestätigt.

Barometer 1811	Barometer 1812	Barometer 1813	Barometer 1814	Barometer 1815	Barometer 1816	Barometer 1817	Barometer 1818	Barometer 1819	Barometer 1820	Barometer 1821	Barometer 1822	Barometer 1823	Barometer 1824	Barometer 1825	Barometer 1826	Barometer 1827	Barometer 1828	Barometer 1829	Barometer 1830	Barometer 1831	Barometer 1832	Barometer 1833	Barometer 1834	Barometer 1835	Barometer 1836	Barometer 1837	Barometer 1838	Barometer 1839	Barometer 1840	Barometer 1841	Barometer 1842	Barometer 1843	Barometer 1844	Barometer 1845	Barometer 1846	Barometer 1847	Barometer 1848	Barometer 1849	Barometer 1850	Barometer 1851	Barometer 1852	Barometer 1853	Barometer 1854	Barometer 1855	Barometer 1856	Barometer 1857	Barometer 1858	Barometer 1859	Barometer 1860	Barometer 1861	Barometer 1862	Barometer 1863	Barometer 1864	Barometer 1865	Barometer 1866	Barometer 1867	Barometer 1868	Barometer 1869	Barometer 1870	Barometer 1871	Barometer 1872	Barometer 1873	Barometer 1874	Barometer 1875	Barometer 1876	Barometer 1877	Barometer 1878	Barometer 1879	Barometer 1880	Barometer 1881	Barometer 1882	Barometer 1883	Barometer 1884	Barometer 1885	Barometer 1886	Barometer 1887	Barometer 1888	Barometer 1889	Barometer 1890	Barometer 1891	Barometer 1892	Barometer 1893	Barometer 1894	Barometer 1895	Barometer 1896	Barometer 1897	Barometer 1898	Barometer 1899	Barometer 1900	Barometer 1901	Barometer 1902	Barometer 1903	Barometer 1904	Barometer 1905	Barometer 1906	Barometer 1907	Barometer 1908	Barometer 1909	Barometer 1910	Barometer 1911	Barometer 1912	Barometer 1913	Barometer 1914	Barometer 1915	Barometer 1916	Barometer 1917	Barometer 1918	Barometer 1919	Barometer 1920	Barometer 1921	Barometer 1922	Barometer 1923	Barometer 1924	Barometer 1925	Barometer 1926	Barometer 1927	Barometer 1928	Barometer 1929	Barometer 1930	Barometer 1931	Barometer 1932	Barometer 1933	Barometer 1934	Barometer 1935	Barometer 1936	Barometer 1937	Barometer 1938	Barometer 1939	Barometer 1940	Barometer 1941	Barometer 1942	Barometer 1943	Barometer 1944	Barometer 1945	Barometer 1946	Barometer 1947	Barometer 1948	Barometer 1949	Barometer 1950	Barometer 1951	Barometer 1952	Barometer 1953	Barometer 1954	Barometer 1955	Barometer 1956	Barometer 1957	Barometer 1958	Barometer 1959	Barometer 1960	Barometer 1961	Barometer 1962	Barometer 1963	Barometer 1964	Barometer 1965	Barometer 1966	Barometer 1967	Barometer 1968	Barometer 1969	Barometer 1970	Barometer 1971	Barometer 1972	Barometer 1973	Barometer 1974	Barometer 1975	Barometer 1976	Barometer 1977	Barometer 1978	Barometer 1979	Barometer 1980	Barometer 1981	Barometer 1982	Barometer 1983	Barometer 1984	Barometer 1985	Barometer 1986	Barometer 1987	Barometer 1988	Barometer 1989	Barometer 1990	Barometer 1991	Barometer 1992	Barometer 1993	Barometer 1994	Barometer 1995	Barometer 1996	Barometer 1997	Barometer 1998	Barometer 1999	Barometer 2000	Barometer 2001	Barometer 2002	Barometer 2003	Barometer 2004	Barometer 2005	Barometer 2006	Barometer 2007	Barometer 2008	Barometer 2009	Barometer 2010	Barometer 2011	Barometer 2012	Barometer 2013	Barometer 2014	Barometer 2015	Barometer 2016	Barometer 2017	Barometer 2018	Barometer 2019	Barometer 2020	Barometer 2021	Barometer 2022	Barometer 2023	Barometer 2024	Barometer 2025	Barometer 2026	Barometer 2027	Barometer 2028	Barometer 2029	Barometer 2030	Barometer 2031	Barometer 2032	Barometer 2033	Barometer 2034	Barometer 2035	Barometer 2036	Barometer 2037	Barometer 2038	Barometer 2039	Barometer 2040	Barometer 2041	Barometer 2042	Barometer 2043	Barometer 2044	Barometer 2045	Barometer 2046	Barometer 2047	Barometer 2048	Barometer 2049	Barometer 2050	Barometer 2051	Barometer 2052	Barometer 2053	Barometer 2054	Barometer 2055	Barometer 2056	Barometer 2057	Barometer 2058	Barometer 2059	Barometer 2060	Barometer 2061	Barometer 2062	Barometer 2063	Barometer 2064	Barometer 2065	Barometer 2066	Barometer 2067	Barometer 2068	Barometer 2069	Barometer 2070	Barometer 2071	Barometer 2072	Barometer 2073	Barometer 2074	Barometer 2075	Barometer 2076	Barometer 2077	Barometer 2078	Barometer 2079	Barometer 2080	Barometer 2081	Barometer 2082	Barometer 2083	Barometer 2084	Barometer 2085	Barometer 2086	Barometer 2087	Barometer 2088	Barometer 2089	Barometer 2090	Barometer 2091	Barometer 2092	Barometer 2093	Barometer 2094	Barometer 2095	Barometer 2096	Barometer 2097	Barometer 2098	Barometer 2099	Barometer 2100	Barometer 2101	Barometer 2102	Barometer 2103	Barometer 2104	Barometer 2105	Barometer 2106	Barometer 2107	Barometer 2108	Barometer 2109	Barometer 2110	Barometer 2111	Barometer 2112	Barometer 2113	Barometer 2114	Barometer 2115	Barometer 2116	Barometer 2117	Barometer 2118	Barometer 2119	Barometer 2120	Barometer 2121	Barometer 2122	Barometer 2123	Barometer 2124	Barometer 2125	Barometer 2126	Barometer 2127	Barometer 2128	Barometer 2129	Barometer 2130	Barometer 2131	Barometer 2132	Barometer 2133	Barometer 2134	Barometer 2135	Barometer 2136	Barometer 2137	Barometer 2138	Barometer 2139	Barometer 2140	Barometer 2141	Barometer 2142	Barometer 2143	Barometer 2144	Barometer 2145	Barometer 2146	Barometer 2147	Barometer 2148	Barometer 2149	Barometer 2150	Barometer 2151	Barometer 2152	Barometer 2153	Barometer 2154	Barometer 2155	Barometer 2156	Barometer 2157	Barometer 2158	Barometer 2159	Barometer 2160	Barometer 2161	Barometer 2162	Barometer 2163	Barometer 2164	Barometer 2165	Barometer 2166	Barometer 2167	Barometer 2168	Barometer 2169	Barometer 2170	Barometer 2171	Barometer 2172	Barometer 2173	Barometer 2174	Barometer 2175	Barometer 2176	Barometer 2177	Barometer 2178	Barometer 2179	Barometer 2180	Barometer 2181	Barometer 2182	Barometer 2183	Barometer 2184	Barometer 2185	Barometer 2186	Barometer 2187	Barometer 2188	Barometer 2189	Barometer 2190	Barometer 2191	Barometer 2192	Barometer 2193	Barometer 2194	Barometer 2195	Barometer 2196	Barometer 2197	Barometer 2198	Barometer 2199	Barometer 2200	Barometer 2201	Barometer 2202	Barometer 2203	Barometer 2204	Barometer 2205	Barometer 2206	Barometer 2207	Barometer 2208	Barometer 2209	Barometer 2210	Barometer 2211	Barometer 2212	Barometer 2213	Barometer 2214	Barometer 2215	Barometer 2216	Barometer 2217	Barometer 2218	Barometer 2219	Barometer 2220	Barometer 2221	Barometer 2222	Barometer 2223	Barometer 2224	Barometer 2225	Barometer 2226	Barometer 2227	Barometer 2228	Barometer 2229	Barometer 2230	Barometer 2231	Barometer 2232	Barometer 2233	Barometer 2234	Barometer 2235	Barometer 2236	Barometer 2237	Barometer 2238	Barometer 2239	Barometer 2240	Barometer 2241	Barometer 2242	Barometer 2243	Barometer 2244	Barometer 2245	Barometer 2246	Barometer 2247	Barometer 2248	Barometer 2249	Barometer 2250	Barometer 2251	Barometer 2252	Barometer 2253	Barometer 2254	Barometer 2255	Barometer 2256	Barometer 2257	Barometer 2258	Barometer 2259	Barometer 2260	Barometer 2261	Barometer 2262	Barometer 2263	Barometer 2264	Barometer 2265	Barometer 2266	Barometer 2267	Barometer 2268	Barometer 2269	Barometer 2270	Barometer 2271	Barometer 2272	Barometer 2273	Barometer 2274	Barometer 2275	Barometer 2276	Barometer 2277	Barometer 2278	Barometer 2279	Barometer 2280	Barometer 2281	Barometer 2282	Barometer 2283	Barometer 2284	Barometer 2285	Barometer 2286	Barometer 2287	Barometer 2288	Barometer 2289	Barometer 2290	Barometer 2291	Barometer 2292	Barometer 2293	Barometer 2294	Barometer 2295	Barometer 2296	Barometer 2297	Barometer 2298	Barometer 2299	Barometer 2300	Barometer 2301	Barometer 2302	Barometer 2303	Barometer 2304	Barometer 2305	Barometer 2306	Barometer 2307	Barometer 2308	Barometer 2309	Barometer 2310	Barometer 2311	Barometer 2312	Barometer 2313	Barometer 2314	Barometer 2315	Barometer 2316	Barometer 2317	Barometer 2318	Barometer 2319	Barometer 2320	Barometer 2321	Barometer 2322	Barometer 2323	Barometer 2324	Barometer 2325	Barometer 2326	Barometer 2327	Barometer 2328	Barometer 2329	Barometer 2330	Barometer 2331	Barometer 2332	Barometer 2333	Barometer 2334	Barometer 2335	Barometer 2336	Barometer 2337	Barometer 2338	Barometer 2339	Barometer 2340	Barometer 2341	Barometer 2342	Barometer 2343	Barometer 2344	Barometer 2345	Barometer 2346	Barometer 2347	Barometer 2348	Barometer 2349	Barometer 2350	Barometer 2351	Barometer 2352	Barometer 2353	Barometer 2354	Barometer 2355	Barometer 2356	Barometer 2357	Barometer 2358	Barometer 2359	Barometer 2360	Barometer 2361	Barometer 2362	Barometer 2363	Barometer 2364	Barometer 2365	Barometer 2366	Barometer 2367	Barometer 2368	Barometer 2369	Barometer 2370	Barometer 2371	Barometer 2372	Barometer 2373	Barometer 2374	Barometer 2375	Barometer 2376	Barometer 2377	Barometer 2378	Barometer 2379	Barometer 2380	Barometer 2381	Barometer 2382	Barometer 2383	Barometer 2384	Barometer 2385	Barometer 2386	Barometer 2387	Barometer 2388	Barometer 2389	Barometer 2390	Barometer 2391	Barometer 2392	Barometer 2393	Barometer 2394	Barometer 2395	Barometer 2396	Barometer 2397	Barometer 2398	Barometer 2399	Barometer 2400	Barometer 2401	Barometer 2402	Barometer 2403	Barometer 2404	Barometer 2405	Barometer 2406	Barometer 2407	Barometer 2408	Barometer 2409	Barometer 2410	Barometer 2411	Barometer 2412	Barometer 2413	Barometer 2414	Barometer 2415	Barometer 2416	Barometer 2417	Barometer 2418	Barometer 2419	Barometer 2420	Barometer 2421	Barometer 2422	Barometer 2423	Barometer 2424	Barometer 2425	Barometer 2426	Barometer 2427	Barometer 2428	Barometer 2429	Barometer 2430	Barometer 2431	Barometer 2432	Barometer 2433	Barometer 2434	Barometer 2435	Barometer 2436	Barometer 2437	Barometer 2438	Barometer 2439	Barometer 2440	Barometer 2441	Barometer 2442	Barometer 2443	Barometer 2444	Barometer 2445	Barometer 2446	Barometer 2447	Barometer 2448	Barometer 2449	Barometer 2450	Barometer 2451	Barometer 2452	Barometer 2453	Barometer 2454	Barometer 2455	Barometer 2456	Barometer 2457	Barometer 2458	Barometer 2459	Barometer 2460	Barometer 2461	Barometer 2462	Barometer 2463	Barometer 2464	Barometer 2465	Barometer 2466	Barometer 2467	Barometer 2468	Barometer 2469	Barometer 2470	Barometer 2471	Barometer 2472	Barometer 2473	Barometer 2474	Barometer 2475	Barometer 2476	Barometer 2477	Barometer 2478	Barometer 2479	Barometer 2480	Barometer 2481	Barometer 2482	Barometer 2483	Barometer 2484	Barometer 2485	Barometer 2486	Barometer 2487	Barometer 2488	Barometer 2489	Barometer 2490	Barometer 2491	Barometer 2492	Barometer 2493	Barometer 2494	Barometer 2495	Barometer 2496	Barometer 2497	Barometer 2498	Barometer 2499	Barometer 2500	Barometer 2501	Barometer 2502	Barometer 2503	Barometer 2504	Barometer 2505	Barometer 2506	Barometer 2507	Barometer 2508	Barometer 2509	Barometer 2510	Barometer 2511	Barometer 2512	Barometer 2513	Barometer 2514	Barometer 2515	Barometer 2516	Barometer 2517	Barometer 2518	Barometer 2519	Barometer 2520	Barometer 2521	Barometer 2522	Barometer 2523	Barometer 2524	Barometer 2525	Barometer 2526	Barometer 2527	Barometer 2528	Barometer 2529	Barometer 2530	Barometer 2531	Barometer 2532	Barometer 2533	Barometer 2534	Barometer 2535	Barometer 2536	Barometer 2537	Barometer 2538	Barometer 2539	Barometer 2540	Barometer 2541	Barometer 2542	Barometer 2543	Barometer 2544	Barometer 2545	Barometer 2546	Barometer 2547	Barometer 2548	Barometer 2549	Barometer 2550	Barometer 2551	Barometer 2552	Barometer 2553	Barometer 2554	Barometer 2555	Barometer 2556	Barometer 2557	Barometer 2558	Barometer 2559	Barometer 2560	Barometer 2561	Barometer 2562	Barometer 2563	Barometer 2564	Barometer 2565	Barometer 2566	Barometer 2567	Barometer 2568	Barometer 2569	Barometer 2570	Barometer 2571	Barometer 2572	Barometer 2573	Barometer 2574	Barometer 2575	Barometer 2576	Barometer 2577	Barometer 2578	Barometer 2579	Barometer 2580	Barometer 2581	Barometer 2582	Barometer 2583	Barometer 2584	Barometer 2585	Barometer 2586	Barometer 2587	Barometer 2588	Barometer 2589	Barometer 2590	Barometer 2591	Barometer 2592	Barometer 2593	Barometer 2594	Barometer 2595	Barometer 2596	Barometer 2597	Barometer 2598	Barometer 2599	Barometer 2600	Barometer 2601	Barometer 2602	Barometer 2603	Barometer 2604	Barometer 2605	Barometer 2606	Barometer 2607	Barometer 2608	Barometer 2609	Barometer 2610	Barometer 2611	Barometer 2612	Barometer 2613	Barometer 2614	Barometer 2615	Barometer 2616	Barometer 2617	Barometer 2618	Barometer 2619	Barometer 2620	Barometer 2621	Barometer 2622	Barometer 2623	Barometer 2624	Barometer 2625	Barometer 2626	Barometer 2627	Barometer 2628	Barometer 2629	Barometer 2630	Barometer 2631